



**APLICACIÓN DE ANÁLISIS TAFONÓMICOS Y EXPERIMENTALES
EN LOS ESTUDIOS DEL APROVECHAMIENTO DE RECURSOS
CÁRNICOS DEL YACIMIENTO DE MONTLLEÓ**

Alexandra Viva Rodríguez

NIUB: 16164481

Trabajo de Final de Grado

Bloque: Prehistoria y Protohistoria

Curso 2016-2017

Tutor: Dr. Xavier Mangado Llach

RESUMEN

En este trabajo se pretende abordar una aproximación a las estrategias de subsistencia alimentaria, empleadas por las comunidades humanas que habitaron el yacimiento de Montlleó (*Prats i Sansor, La Cerdanya*). A través de un primer análisis sobre una parte los restos de fauna indeterminada recuperados hasta el momento, los cuales, representan el mayor porcentaje de material faunístico encontrado, debido a las condiciones que presenta la localización del yacimiento y su exposición a los agentes naturales. La metodología empleada en este estudio, incluye el análisis zooarqueológico y tafonómico de los restos óseos, así como también la realización de un estudio experimental, para poder obtener patrones de fracturación ósea causada por acción antrópica. La contrastación de los resultados arqueológicos y experimentales, indican la presencia de estrategias orientadas a la maximización carnica y de los recursos óseos. Después de la desocupación humana, el material quedó expuesto a la acción de agentes postdeposicionales, dado, como resultado un alto grado de alteración y degradación de los restos óseos.

PALABRAS CLAVE: Estrategias de subsistencia, comunidades humanas, restos de óseos, agentes naturales, análisis zooarqueológico y tafonómico, estudio experimental, patrones de fracturación.

ABSTRACT

The following paper pretends to be an approach of the food consumption subsistence strategies used by the human communities that inhabited the archaeological site of Montlleó (*Prats i Sansor, La Cerdanya*), through the analysis effected on a part of the undetermined fragments of fauna recovered to date, which represents the highest percentage of faunal bones remains found in the archaeological deposit, due to the location conditions and its exposure to the action of natural agents. The methodology used in this work includes a zooarchaeological and taphonomical analysis of the bone remains, as well as the elaboration of an experimental research to obtain breakage patterns on bones caused by anthropic actions. The comparison of archaeological and experimental results, indicates the presence of strategies that aimed at optimising the use of the meat and bone resources in animals. The bone remains, were found highly degraded and altered in its surface, due to the action of natural agents after the human occupation.

KEYWORDS: Subsistence strategies, human communities, bone remains, natural agents, zooarchaeological and taphonomical analysis, experimental research, breakage patterns.

AGRADECIMIENTOS

En primer lugar, agradecer a mi Tutor el Dr. Xavier Mangado Llach por su profesionalidad a la hora de guiarme y coordinar el trabajo.

Quiero dar las gracias de manera muy especial, tanto al Dr. Lluís Lloveras por instruirme en el campo de la tafonomía, y aclararme siempre que hizo falta todas mis dudas, como al Dr. Jordi Nadal, por regalarme todo su conocimiento sobre el campo de la arqueozoológia y la etnoarqueología, ya que gracias a sus instructivas charlas pude acabar de moldear la dirección de este trabajo. Gracias también a ambos, por toda la bibliografía prestada, por sus críticas constructivas, y por darme la oportunidad de realizar este estudio.

También me gustaría dar las gracias a todos aquellos alumnos que han contribuido de una manera u otra, bien sea completando la base de datos utilizada en este trabajo, o prestando su ayuda en la experimentación realizada. Así como al profesor Ramón Álvarez por dedicar parte de su tiempo a realizar las fotos de la fase experimental, y abrirme la entrada al laboratorio siempre que me fue necesario.

Agradezco también a los miembros de este tribunal el tiempo dedicado a la lectura de este trabajo.

Por último, pero no menos importante, me gustaría agradecer a todas aquellas personas de mi entorno cercano, por apoyarme y alentarme durante el proceso de realización de este trabajo.

ÍNDICE

1. INTRODUCCIÓN	2
1.1. Presentación.....	2
1.2. La maximización de recursos animales	4
1.3. Objetivos	8
2. CONTEXTO: EL YACIMIENTO DE MOTLLEÓ	9
3. MATERIAL Y METODOLOGÍA	13
3.1. Material	13
3.2. Metodología de la fase experimental	13
3.3. Metodología de laboratorio: Ficha de análisis.....	15
3.3.1. <i>Referencia, cuadro y número de coordenada</i>	16
3.3.2. <i>Taxonomía y anatomía</i>	17
3.3.3. <i>Lateralización</i>	18
3.3.4. <i>Parte</i>	19
3.3.5. <i>Edad</i>	20
3.3.6. <i>Fractura</i>	20
3.3.7. <i>Fractura antrópica</i>	22
3.3.8. <i>Cut marks</i>	23
3.3.9. <i>Burnt</i>	24
3.3.10. <i>Acción de carnívoros</i>	25
3.3.11. <i>Otras alteraciones tafonómicas y observaciones</i>	26
4. RESULTADOS	28
4.1. Resultados experimentación.....	28
4.2. Resultados del material arqueológico.....	42
5. DISCUSIÓN GENERAL.....	48
5.1. Discusión de los resultados experimentales	48
5.2. Discusión sobre el material arqueológico	50
5.3. Los resultados experimentales aplicados al conjunto arqueológico	52
6. CONCLUSIÓN	55
7. BIBLIOGRAFÍA.....	56
ANEXOS	
I. Fase experimental	
II. Muestras experimentales	
III. Base de datos arqueológica y experimental	

1. INTRODUCCIÓN

1.1. Presentación

El siguiente trabajo aborda un primer estudio de las dinámicas de procesamiento cárnico en las comunidades cazadoras-recolectoras de Montlleó (Cerdanya), a través de su rico registro en restos de fauna. No obstante, aunque la cantidad de material faunístico recuperado, sea de una proporción notable, cabe destacar que en más del 90% del total se trataría de elementos indeterminados, sobre, una parte de los cuáles, se ha realizado este trabajo. Para ello, el análisis se ha basado en estudios zooarqueológicos y tafonómicos.

Se les llama restos de fauna indeterminados, a aquellos elementos en los que no ha sido posible una caracterización taxonómica, es decir, que no se ha podido identificar el animal al cual pertenecen. Esta imposibilidad para determinar un hueso, puede incluso llegar al extremo de no poder identificarlo tampoco a nivel anatómico. En el caso que aquí se presentará, la singular localización del yacimiento en estudio, y su condición al estar al aire libre, nos ha dejado un conjunto faunístico con un alto grado de fragmentación, por tanto, difícilmente se podría llevar a cabo un estudio taxonómico. Lo que no quiere decir, que no nos pueda proporcionar otro tipo de información (Yravedra, 2006).

En la mayoría de los restos de fauna arqueológica, la fragmentación ósea se debe a una serie de varios factores, entre ellos la actividad humana (Todd & Rapson, 1988). Esta modificación antrópica de los huesos, se relaciona con el procesamiento de los recursos cárnicos (Johnson, 1985), sobre todo con la intensidad de tal procesamiento. Es decir, cuanto más fragmentado se encuentre el hueso, más intensa habrá sido la acción antrópica (Todd & Rapson, 1988).

La fragmentación ósea puede servir para identificar patrones de conducta humana, puesto que, la acción antrópica, se encuentra relacionada con la tecnología (Mateos, 1999a). Los útiles y técnicas que hacen servir los humanos para estas tareas, dejan reflejados en los restos una serie de patrones determinados en la fractura. El problema principal es, si estos patrones pueden diferenciarse de los que se crean a causa de otros factores no antrópicos (Johnson, 1985). Ya que, con frecuencia, muchos procesos diagenéticos producen los mismos efectos de fragmentación (Mateos, 1999a).

La comparación de patrones de fractura es el paso inicial para poder identificar los diferentes procesos que ha sufrido un resto óseo (Todd & Rapson, 1988). Es por ello, que el trabajo mostrado a continuación se centrará sobre todo en el análisis de la fractura, utilizando una fase

experimental en muestras óseas modernas, para observar cómo afecta la acción de percusión humana.

La experimentación en arqueología, es un método utilizado para poder crear analogías a procesos que ocurrieron en el pasado (Karr & Outram, 2012). La denominada arqueología experimental, aporta al campo arqueológico una fuente de información científica y a la vez, en muchos casos, un complemento muy didáctico para la posterior difusión. Hay que aclarar que, aunque en los últimos años se haya utilizado la experimentación como una forma de atracción cultural, como es el caso por ejemplo de talleres de manufactura de útiles líticos o recipientes cerámicos en museos u otras localizaciones de carácter cultural, todos los resultados y estudios realizados en este campo conllevan una metodología científica. Como toda ciencia, los resultados obtenidos se basan en procesos bien documentados y en una o más hipótesis previas, así como la debida información de las técnicas, materiales y métodos que se han utilizado. Todo ello debe estar cuidadosamente cuantificado y bien documentado, de forma que cualquier otro investigador pueda reproducir los mismos parámetros empleados.

Desde finales del s.XX, los estudios experimentales aplicados a la fracturación de materia ósea son cada vez más comunes dentro de la investigación arqueológica. El interés comienza, en muchos casos, a partir de los trabajos de Binford (1978, 1980, 1981), quien defiende esta utilización de estudios comparativos, sobre todo basándose en estudios etnográficos (Binford, 1978). En lo que a modificación o fractura de hueso se refiere, muchos investigadores han intentado abordar la gran diversidad de factores que se ven implicados. En algunos casos el interés se ha puesto sobre las estrategias culturales de modificación en la superficie ósea, como sería el caso de marcas de corte (Blumenschine & Selvaggio, 1988; Lloveras, Moreno-García y Nadal, 2009; Fernández-Jalvo y Cáceres, 2010), en la mecánica y morfología de la fractura (Johnson, 1985; Villa & Mahieu, 1991; Alcántara *et al*, 2006), o incluso la importancia del ambiente y las condiciones en las que se encuentran los restos que se utilizan para la experimentación (Karr & Outram, 2012).

Sin embargo, para el estudio de restos óseos en contextos arqueológicos, y en especial, en casos donde el material se presenta con un alto grado de fragmentación, han de tenerse en cuenta, como he comentado antes, las alteraciones producidas también por otros agentes no antrópicos. Es por eso, que también muchos investigadores han planteado sus experimentos con el objetivo de entender los efectos causados por procesos tafonómicos, como por ejemplo las alteraciones térmicas (Stiner *et al*, 1995) o la acción de carnívoros (Binford, 1981; Quintana, 2007; Lloveras, Moreno-García y Nadal, 2008).

Todas estas alteraciones reflejadas en el material óseo (tanto naturales como antrópicas), se analizan desde el campo de la tafonomía. Según Johnson (1985), la tafonomía es el estudio de las condiciones que han influido en la formación de conjuntos fósiles desde la muerte de un individuo hasta que se convierte en materia fósil. Y es por ello, que en el hueso queda registrada información de gran interés, aunque el material que se analice sean pequeños fragmentos.

1.2. La maximización de los recursos animales

La alimentación es una acción voluntaria y consciente, que consiste en proporcionar al cuerpo los productos que son necesarios para su nutrición. Es por tanto una actividad biológica, pero también de carácter cultural. En la mayoría de los casos, la explotación de recursos alimenticios por parte de los humanos no se trata de una decisión al azar (Blasco, 2011), sino que es una respuesta a una serie de circunstancias. Las condiciones que se establecen a la hora de elegir un recurso, se engloban en la teoría del forrajeo óptimo u *optimal foraging theory* (OFT).

Según la OFT, para que los recursos alimenticios sean propiamente recursos, tienen que proporcionar más energía al ingerirlos que la gastada en conseguirlos, es decir que lo elegido para comer serían aquellos alimentos que presentan una buena relación entre costes y beneficios. Por tanto, esta teoría no sólo contempla lo que comemos, sino que también las técnicas o estrategias que utilizamos para conseguirlo (caza, recolección, carroñeo, pesca, etc.) (Winterhalder, 1981). Según estos parámetros, el estudio de los restos de fauna de un yacimiento, pueden reflejar las decisiones paleo-económicas escogidas por la comunidad humana que habitaba allí (Blasco, 2011).

La importancia de la carne como fuente proteica en la dieta humana, es relevante. La incorporación de los recursos de origen animal a nuestra dieta, deriva del alto grado de encefalización que tenemos. Todo organismo necesita un mínimo de energía necesario para que sus células funcionen, a esto se le denomina tasa metabólica basal (TMB), la cual, calcula los requerimientos diarios totales necesarios por unidad de peso. Es decir, la energía que emplea un organismo para moverse varía entre el peso y las calorías, a más masa que haya que mover, más alimento se necesitará. Además, también sirve para mantener la temperatura corporal, por ejemplo, los grupos humanos que viven en condiciones de frío extremo como los esquimales, tienden a tener TMB más altas porque gastan más energía, al mantener la temperatura, y por

¹ El término *foraging* hace referencia a las tácticas utilizadas para obtener recursos no producidos, no cultivados, y no manipulados por una comunidad humana, sin descartar que éstos se puedan conservar o tratar de forma antrópica (Winterhalder, 1981).

tanto necesitan más calorías. La edad, el sexo, las enfermedades u otros factores también influyen en el aumento o disminución de la TMB. El cerebro es un órgano que gasta mucha energía. Cuando en los humanos, se incrementó la medida cerebral, la tasa metabólica basal que teníamos no se vio alterada, seguía siendo un total aproximadamente parecido al de otros mamíferos, pero a diferencia de éstos, nuestro cerebro era mucho más caro a nivel energético. Que no hubiera una elevación de la tasa metabólica basal, aun cuando poseíamos un órgano caro, quiere decir que la energía necesaria para hacer funcionar el cerebro se consiguió a costa de otras partes de nuestro cuerpo, es decir, hubo una redistribución de la energía. En nuestro caso la energía se obtuvo del tracto digestivo, a causa justamente de la incorporación de recursos más ricos en nutrientes que los vegetales, como es el caso de la carne.

Según la OFT, una carcasa dejará de procesarse cuando la acción requiera más tiempo y esfuerzo que el valor energético que se obtiene. Es por eso que desde los estudios paleo-económicos, siempre se ha dado una mayor importancia al consumo cárnico, y se ha identificado como factor de estrés el procesado intensivo de las carcasas, sobre todo en elementos anatómicos de poca retribución energética (falanges, mandíbulas y escápulas) (Volart, 2013).

Pero en muchos casos, el proceso de caza de animales comporta un gasto energético importante, y además no siempre una retribución energética asegurada (Mateos, 1999a). Por tanto, en períodos de escasez en la caza, las estrategias de subsistencia de los humanos tendrían que orientarse de cara al consumo de la medula y grasa ósea, es decir, a una maximización de los recursos.

Las grasas también juegan un papel importante en la dieta de las comunidades cazadoras-recolectoras, tienen un valor calórico mayor al de las proteínas y los carbohidratos (Outram, 2012). En cualquier comunidad donde haya una situación de estrés alimenticio, la máxima explotación de este recurso puede ser esencial para su supervivencia. Una de las mejores fuentes para conseguir grasas son los huesos, ya que en sus cavidades contienen la médula ósea². Además, cuando un animal se encuentra también en condiciones de estrés alimentario, la médula ósea es la última reserva de grasa en ser agotada (Outram, 2012; Volart, 2013).

² Es un tipo de tejido biológico que se encuentra en el interior de huesos largos, pelvis, escápula, vértebras, costillas, cráneo y esternón (Solomon, Berg & Martin, 2008).

Existen dos tipos de médula ósea (fig. 1): la médula ósea amarilla³, que se encuentra principalmente en las cavidades medulares de los huesos largos y está formada por un gran número de células adiposas (grasas), y la médula ósea roja, que se encuentra en el tejido esponjoso de las epífisis apendiculares y los elementos axiales ⁴(Solomon, Berg & Martin, 2008).

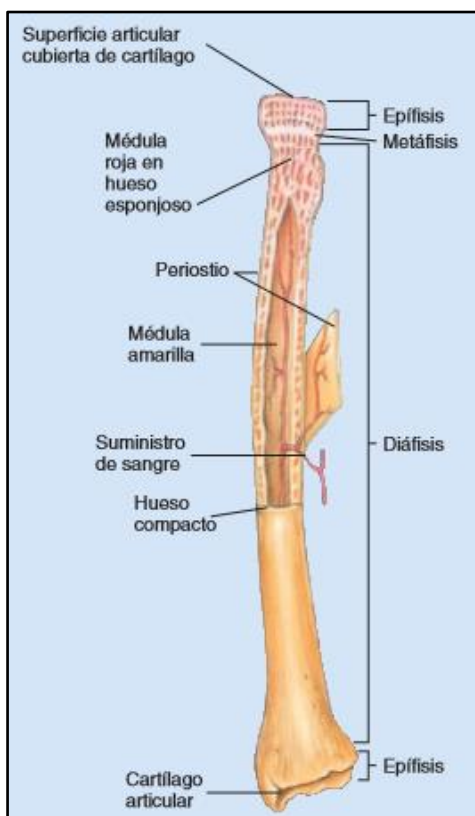


Fig. 1. Estructura de hueso largo. Imagen extraída de Solomon, Berg & Martin, 2008:848.

La extracción de la médula ósea amarilla es la más común y utilizada, se obtiene fracturando las diáfisis de los huesos largos. Sin embargo, en casos extremos, se puede extraer también grasa de la médula ósea roja (Outram, 2012), aunque tiene menos cantidad de grasa que la amarilla. En muchos casos etnográficos⁵, se ha registrado la obtención de esta fuente de grasa hirviendo la parte esponjosa de los huesos (los cuales han de fragmentarse lo máximo posible). La grasa es posteriormente extraída de la superficie del agua una vez se ha enfriado (con la adición de agua fría o nieve) (Binford, 1978).

³ También conocido coloquialmente con el término gastronómico tuétano.

⁴ El esqueleto axial está formado por: los huesos del cráneo, esternón, caja torácica y vértebras. El resto de huesos conforman el esqueleto apendicular (Solomon, Berg & Martin, 2008).

⁵ Sobre todo, en base a los estudios realizados por Binford sobre el pueblo esquimal nunamiut.

Para la detección de estas estrategias de maximización de recursos en conjuntos arqueológicos, Mateos (1999a) indica que se tiene que conocer la estacionalidad del yacimiento. Esto es debido a que la grasa y médula animal varía en proporción según la época, el sexo y la edad de los animales. Conocer los ciclos biológicos del animal, y los factores ambientales en los que se encontraban cuando fueron procesados, nos indicaría si se encontraban en épocas donde poseían su máximo o mínimo de reservas de grasa. En resumen, conociendo los factores que condicionan si un animal proporcionaría más o menos calorías, se puede inferir a través de la OFT la estrategia de consumo de los grupos humanos. Ya que, partiendo de la hipótesis de conocimiento de estos ciclos biológicos por parte de las comunidades cazadoras-recolectoras, en épocas donde el animal no presentara las condiciones óptimas de reserva de grasas, los humanos seguirían una maximización de los recursos para que la caza fuera rentable (Mateos, 1999a; Volart, 2013). Ya que, en definitiva, cada estrategia conlleva una serie de hechos característicos, que identificados los conjuntos arqueológicos, aportan más conocimiento sobre las comunidades que los generaron.

1.3. Objetivos

Una vez contempladas las estrategias de subsistencia seguidas por los grupos de cazadores recolectores, y la importancia de la maximización de los recursos cárnicos dentro del marco paleo-económico, nos disponemos a centrarnos en el caso de estudio concreto de restos de fauna indeterminada de Montlleó. Dado que se trata de un yacimiento al aire libre (Mangado *et al.*, 2006), y con lo cual, expuesto a la mayoría de alteraciones postdeposicionales (Mangado *et al.*, 2006: 38), nos encontramos con esta variable tafonómica importante a tener en cuenta de cara a posibles interpretaciones de actividad antrópica.

Por tanto, el principal objetivo de este estudio será la evaluación del origen del conjunto faunístico indeterminado de Montlleó, y las causas de su actual estado, el cual se realizará a través del análisis de las alteraciones tafonómicas sobre las superficies de los huesos, con especial incidencia en los patrones de fragmentación. Con la finalidad de:

- Detectar los agentes que provocan las alteraciones, tanto bioestratinómicos como diagenéticos. Para poder valorar tanto la intervención antrópica como natural en el conjunto faunístico.
- Distinguir patrones de fractura y fragmentación que indiquen una actividad biótica y específicamente antrópica. E intentar comprender que estos patrones pueden funcionar como un indicador paleo-cultural.
- Estudio de las características de la fragmentación antrópica, mediante una fase experimental.
- Interpretación del conjunto a nivel cultural, evaluando los procesos seguidos por la maximización de los recursos cárnicos, en una comunidad cazadora-recolectora que se encuentra en un contexto de estrés ecológico, como es el entorno frío pleniglacial de finales del Pleistoceno. De esta forma intentaremos inferir en el comportamiento alimentario humano, y si por consiguiente, el estado de máxima fracturación que comportan los restos de fauna de Montlleó, indican una estrategia de subsistencia dirigida a la optimización total de los recursos como una respuesta de adaptación al medio, debido a las condiciones climáticas y de localización del yacimiento.

2. CONTEXTO: EL YACIMIENTO DE MONTLLEÓ

Los restos de fauna analizados en el siguiente trabajo, pertenecen a un conjunto mucho más amplio recuperado durante las intervenciones arqueológicas realizadas en el yacimiento de Montlleó (Prats i Sansor, Cerdanya). Es un yacimiento al aire libre situado a 1.134 m sobre el nivel del mar, en un lugar llamado *coll de Saig* (Mangado *et al*, 2011). Se localiza sobre unas arcillas con bloques de conglomerado datados en el post-mioceno, en el valle de la Cerdanya. El yacimiento se identificó como consecuencia de la desestabilización de la colina, por tanto, no se conoce la extensión real del yacimiento (Mangado *et al*, 2015).



Fig. 2. Mapa de localización del yacimiento de Montlleó. Imagen extraída del ICGC, modificada.

Se descubrió después de unas exhaustivas prospecciones por la zona, realizadas por Jordi Grima en el 1998. El hallazgo no fue del todo por casualidad, Grima decidió prospectar por aquella zona porque presentaba unas características propias de un lugar estratégico para una comunidad de cazadores y recolectores (Mangado *et al*, 2006:25). Seguidamente recogió parte del material que había encontrado, y se lo comunicó al director del *Museu Cerdà* de Puigcerdà, el Sr. Oriol Mercadal (Mangado *et al*, 2006;26), quién a su vez se puso en contacto con el *Seminari d'Estudis i Recerques Prehistòriques* (SERP) de la Universidad de Barcelona (Sánchez, 2015). Los primeros trabajos arqueológicos comenzaron en el año 2000, una vez conseguido el permiso por parte del *Servei d'Arqueologia* dentro del programa del SERP, bajo la

dirección de Xavier Mangado, Josep Maria Fullola y Oriol Mercadal (Mangado *et al*, 2011:29). Para su excavación el yacimiento se subdividió en tres sectores (A, B y C), aunque el sector A se desestimó después de la primera campaña. El sector C no se comenzó a trabajar hasta la campaña del 2003, debido a la caída de un bloque de conglomerado que dejó al descubierto una superficie de excavación de 6 m² (posteriormente 11 m²), y una secuencia estratigráfica en el perfil norte de los cuadros 4H y 4I (Mangado *et al*, 2011:37).

Se han obtenido cuatro dataciones absolutas AMS-C14 realizadas por el Laboratorio de Radiocarbono de la Universidad de Oxford, que confirman la antigüedad pleistocena de las ocupaciones (tabla. 1).

Referencia	Materia	Sector	Datación BP	Cal BP	Cal BC
OxA-9017	Molar de caballo	B	14440±80	18650±50	16700±50
OxA-1403	Carbón	C	15550±140	18710±80	16760±80
OxA-X2234-52	Molar de caballo	B	16900±110	10320±120	18320±120
OxA-23973	Carbón	B	18860±80	22700±233	20750±233

Tabla. 1. Dataciones radiocarbónicas con su calibración realizadas en Montlleó. Extraída de Mangado *et al*, 2015:29. Modificada.

La primera datación (OxA-9017) se efectuó previamente a las campañas de excavación, y dató el yacimiento en una cronología de Magdaleniense Inferior final, en concordancia con el material lítico que se había encontrado. De la segunda datación (OxA-14034) se obtuvieron unos resultados similares (Mangado *et al*, 2011:29). La tercera datación situaba la ocupación también dentro del marco cronológico del Magdaleniense Inferior, pero en una etapa más inicial. En cambio, la última realizada (OxA-23973) se desvía de esta periodización y desplaza la cronología a un Solutrense final o Badeguliense (Mangado *et al*, 2015:30).

Las ocupaciones humanas en Montlleó se dieron durante unas condiciones climáticas frías y relativamente húmedas, que se situarían justo con posterioridad al pleniglacial (Mangado *et al*, 2015). Tenemos evidencias en el yacimiento de algunas estructuras antrópicas, relacionadas con la ocupación del lugar. En el 2001, se encontró una estructura de combustión, la cual debido a la termoalteración de las gravas de alrededor, se pudo identificar, gracias al análisis micromorfológico, que habría llegado a una temperatura de entre 300-400 °C. Posteriormente,

en el 2003 también se halló un conjunto de carbones en un hogar plano y sin delimitación clara, estas estructuras fueron debidamente documentadas a pesar de su estado (Sánchez, 2015).

En lo referente al material que aporta el yacimiento, éste es abundante y variado. En Montlleó se ha constatado un predominio de elementos de retoque abrupto, en su mayoría laminitas y puntas de dorso, los cuales indican una producción de proyectiles y la función de la caza en relación con el asentamiento (Sánchez, 2015:185). En menor representación aparecen perforadores, aunque son un buen indicador de fases magdalenienses. Con retoque simple hay una alta representación de raederas, pero no de raspadores. Se observan también buriles, aunque son bastante diversos y escasos, además de numerosos núcleos agotados en su mayoría. Además, los estudios líticos han evidenciado que las comunidades humanas tendrían un buen conocimiento de la geología de la zona, Montlleó presenta materias primas locales como la riolita y cuarzo, pero también posee sílex, material exógeno, y que configura el grueso del material lítico retocado encontrado (Mangado *et al*, 2015:33).

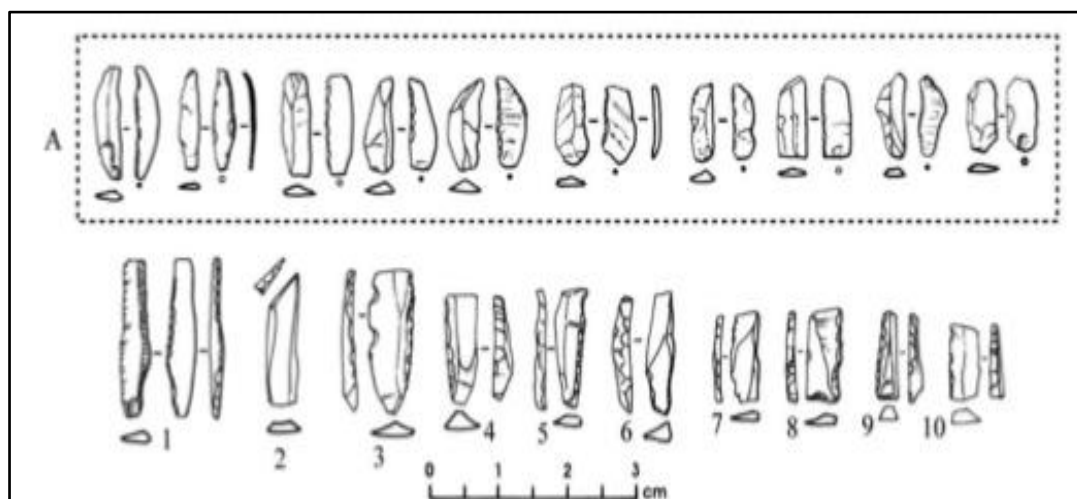


Fig. 3. Arriba: microlaminitas de dorso dextre inverso; abajo: diversos tipos de laminitas. Imagen extraída de Sánchez, 2015.

Desde las primeras campañas se han encontrado elementos trabajados en materias duras animales. En el caso de elementos ornamentales tenemos varias piezas óseas (caninos atrofiados de ciervo) perforados. El resto de material es malacológico (bivalvos, gasterópodos y escafópodos), la mayoría perforados (Sánchez, 2015:184). Los restos malacológicos tienen origen marino, concretamente del Mediterráneo, a excepción de un ejemplar de *Littoria obtusata* procedente del Atlántico (Mangado *et al*, 2015). Es por ello, qué sumado a las evidencias líticas, estos materiales plantean vías de acceso al Pirineo y redes de intercambio

regional entre comunidades magdalenienses de la zona (Mangado *et al*, 2015:34). También se produjo el hallazgo en el 2009, de útiles hechos sobre asta, entre ellos dos azagayas (Sánchez, 2015).

La macrofauna aún se encuentra en fase de estudio exhaustivo, pero contamos con algunos estudios preliminares realizados por, el investigador del SERP, Dr. Jordi Nadal (Mangado *et al*, 2011). De las muestras analizadas hasta la fecha, se observa que el número de material determinado no supera en absoluto el 2-4 %, razón por la cual se realiza este estudio del material no determinado, ya que constituye la mayoría de restos de fauna encontrados en Montlleó, que por otra parte no es un volumen para nada pequeño. Tal grado de fragmentación general de la fauna, que provoca su indeterminación, podría indicar un proceso de maximización de recursos cárnicos.

Entre los taxones identificados, destacan especies de gran tamaño como el caballo salvaje (*Equus ferus*) y el ciervo (*Cervus elaphus*). En segundo lugar, tendríamos mamíferos de tamaño medio, que corresponderían en todos los casos a pequeños bóvidos, de los cuales claramente predomina el rebecho⁶ (*Rupicapra rupicapra*), aunque no se descarta que algún elemento pueda corresponder a cabra montés (*Capra pyrenaica*). Por último, hay algún conjunto no muy amplio, de animales de pequeño tamaño que corresponden a lepóridos (liebre o conejo) aún por determinar. Aunque hay alguna pieza todavía en fase de estudio, que podría corresponder a un carnívoro de tamaño pequeño, posiblemente un mustélido. No se han identificado por el momento otras clases de vertebrados, como aves o peces.

Por lo que respecta a la distribución anatómica de los elementos identificados, hay un claro sesgo a favor de las piezas dentarias, las cuales se conservan muy fragmentadas. Otros elementos anatómicos que se han podido clasificar más fácilmente, son aquellos de carácter más masivo y difícil fragmentación como carpos, tarsos o falanges. No se han conservado en ningún caso huesos largos (apendiculares) enteros. Desde el punto de vista económico, se evidencia un procesamiento de las carcasas en el yacimiento, lo que sugiere una proximidad con la zona de caza (Mangado *et al*, 2015:32).

De todos modos, hay que insistir que todas estas reflexiones al respecto del material determinado no son cuantitativas, en tanto que aún se deben finalizar los análisis y los cálculos pertinentes (Nº de restos totales, NMI⁷, NME⁸ y frecuencias de representatividad).

⁶ También conocido como gamuza

⁷ Número mínimo de individuos

⁸ Número mínimo de elementos

3. MATERIAL I METODOLOGIA

Debido al carácter experimental que también se muestra presente en este trabajo, creo conveniente realizar una breve aclaración en cuanto al conjunto escogido y la metodología usada. Es por ello que en los siguientes apartados, se diferenciarán en todo momento las dos vertientes de la investigación, dado que cada una de ellas contiene sus particularidades, aunque el análisis sea globalmente realizado de la misma forma.

3.1. Material

Para la realización de este estudio se han analizado dos conjuntos diferentes de muestras. Por una parte, del conjunto faunístico arqueológico de Montlleó, se ha escogido concretamente sólo el material que no ha podido determinarse ni de forma anatómica ni taxonómica, proveniente de las campañas realizadas entre los años 2000-2015, a excepción de las de los años 2003 y 2014. Dicho material se encuentra en un estado de conservación deficiente, y con un grado de fragmentación muy elevado, de forma que la mayoría del conjunto analizado se compone de pequeños fragmentos de hueso bastante alterado tafonómicamente. Como todo material arqueológico, éste fue recuperado y debidamente etiquetado. Por otra parte, el material utilizado para la experimentación se compone de huesos largos procedentes de ejemplares de vaca y cerdo doméstico, los cuales han sido obtenidos de restos no vendidos en carnicerías. En total se han fracturado 12 huesos (8 de cerdo y 4 de vaca), todos pertenecientes a individuos sub-adultos, algunos incluso aún con las epífisis sin fusionar. El objetivo principal de este estudio es identificar patrones de fragmentación antrópica, es por ello que se decidió escoger huesos de animales que, aunque no fueran exactamente los taxones identificados en Montlleó, entraran dentro de las dos categorías mayoritarias identificadas: fauna de tamaño grande y mediano, como serían el caballo, ciervo y cabra (Mangado *et al*, 2011).

3.2. Metodología de la fase experimental

La experimentación de fractura intensiva de huesos largos pertenecientes a individuos de tamaño medio (*MS:Middle size*), en este caso el cerdo doméstico, y de tamaño grande (*LS:Large size*) como la vaca doméstica, se realizó el día 3 de Junio del 2016, en el patio del Laboratorio de Arqueología de la UB (Anexo I, fig. 1) desde las 10h de la mañana hasta las 13h, con la

colaboración de los profesores Jordi Nadal, Lluís Lloveras y Ramon Álvarez (fotografía) y de los alumnos del Grado de Arqueología, pertenecientes ese año al curso de tercero: David Arias, Àngels Fernández, Marta Lucas, Rubén Salazar y yo misma, Alexandra Viva.

La experimentación (fig. 4) se llevó a cabo, en gran parte, en base a los estudios etnográficos realizados por Binford (1978), sobre las conductas de procesamiento de recursos animales por parte de los esquimales Nunamiut. Las muestras a fragmentar, aun conservaban la mayor parte de la carne procedente de la carcasa, de acuerdo con los estudios etnográficos, la fragmentación del hueso ocurría una vez agotado el procesamiento del recurso cárnico (Binford, 1978). Por tanto, primeramente se comenzó limpiando la carne de las corticales (grasa, carne y periostio) hasta donde pudiera realizarse mediante lascas de sílex, las cuales no representan en la experimentación la industria lítica del yacimiento de Montlleó, debido a que el interés experimental se debe especialmente a los patrones de fractura.

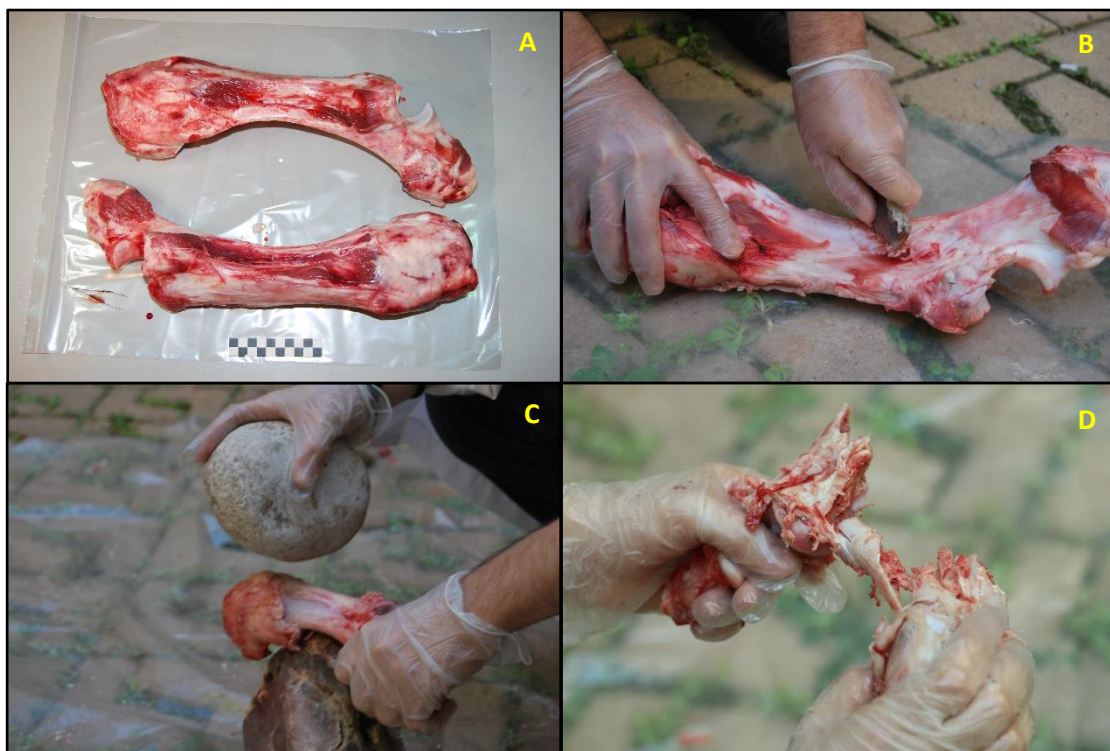


Fig. 4. Metodología de experimentación, ejemplo en ulna de cerdo. **(A)** Muestra de ulna de cerdo. **(B)** Limpieza de la diáfisis con lasca de sílex. **(C)** Acción de fracturar con la utilización de un percutor y un yunque. **(D)** Ulna fracturada

Una vez quedaba limpio, al menos una gran parte de la diáfisis, se comenzó con la percusión para fragmentar los huesos. Se pusieron a nuestra disposición un número diverso de percutores (Anexo I, fig. 3; tabla. 1) y dos tipos de yunque, plano de piedra caliza y anguloso de sílex (Anexo

I, fig. 2), de esta forma se realizaron las diferentes pruebas experimentales⁹, con el objetivo de obtener resultados diversos e intentar abarcar la mayoría de procesos que se pueden ocasionar de forma antrópica.

Aunque globalmente se quisieron observar dos tipos de finalidades al fragmentar (fig. 5), golpear sólo hasta que el hueso colapsara (extracción del tuétano), o machacar el material lo máximo posible.



Fig. 5. Tipos de finalidad al fragmentar. (A) Colapsar. (B) Máxima fragmentación

3.3. Metodología de laboratorio

En el laboratorio, el estudio del material se ha dividido en dos fases, la primera corresponde a la preparación de las muestras obtenidas de la fase experimental, las cuales se congelaron previamente a su análisis, de cara a una mejor conservación de la muestra. Los fragmentos recogidos en la experimentación, aún se encontraban, en su mayoría, con una gran cantidad de producto cárnico pegado al hueso, hecho que dificulta la observación de la muestra y su posterior análisis. Es por ello que todas las muestras fueron hervidas por al menos 2 horas y media cada una, en el período de aproximadamente dos meses (Octubre y Noviembre del 2016). Una vez teníamos la carne cocinada, ésta se extrajo de forma manual, descarnando la pieza con la utilización solamente de las manos, o en casos más complicados, con la ayuda de un cuchillo metálico.

Las muestras procedentes de partes anatómicas de vaca, no obstante, tuvieron que hervirse una vez más como mínimo cada una de ellas, porque sólo con una cocción no se desprendía con

⁹ Para más imágenes sobre la fase experimental de este trabajo, véase el Anexo I.

fácilidad la proporción de carne suficiente, y ésta comenzaba a descomponerse alterando el hueso.

Para terminar de limpiar la superficie cortical de los fragmentos, éstos fueron sumergidos en acetona y almacenados en un recipiente de plástico cerrado herméticamente durante dos semanas. Posteriormente, una vez extraída la acetona, se dejaban secar las muestras durante unos días y se embolsaban individualmente para su siguiente análisis.

La segunda fase corresponde al análisis y descripción de cada elemento, tanto el arqueológico como el experimental, siguiendo las bases de la metodología clásica arqueozoológica (taxonomía y anatomía) y tafonómica. Para ello se ha configurado una ficha de trabajo (fig. 6) para el análisis de cada fragmento, la cual incluye campos con atributos tanto taxonómicos/anatómicos como tafonómicos, de forma que dichas categorías puedan funcionar posteriormente como variables para un estudio estadístico.

Fig. 6. Ejemplificación de la ficha de análisis, base de datos arqueológica. En azul: los campos de análisis zooarqueológicos; en rosa: los campos de análisis tafonómico. Para ver la base de datos completa, véase el Anexo III.

A continuación, se expondrá detalladamente cada campo analizado en la ficha, teniendo en cuenta que la información según el campo puede cambiar entre las muestras arqueológicas y experimentales.

3.3.1. Referencia, cuadro y número de coordenada

Estos campos vienen determinados por la información de la etiqueta hecha en el campo arqueológico, como forma de identificar cada elemento con una identidad, de la cual también

nos revela la procedencia dentro del yacimiento. Para las muestras experimentales, el campo de cuadro no se rellena, ya que no existe cuadro de procedencia, la referencia pasa a nombrarse con el número de la prueba a la que pertenece (ej: p7: prueba 7), y el número de coordenada pasa a ser un conteo de las piezas.

3.3.2. Taxonomía y anatomía

La taxonomía se refiere a la identificación de la especie animal a la cual pertenece la muestra, y el campo de anatomía, a la parte esquelética. Normalmente en estudios de arqueozoología se analiza primero de qué parte anatómica se trata, para posteriormente poder identificar el taxón al cual pertenece.

En el caso de nuestras muestras de origen arqueológico, como se indica al principio del trabajo, se trata de elementos indeterminados tanto a nivel taxonómico como anatómico, ya que su grado de fragmentación y alteración nos impide la observación de caracteres diagnósticos. Por tanto, se procede, en este caso a realizar un pseudo-estudio de cada categoría.

La taxonomía se clasificará en base a la talla en peso del animal, a partir del grosor y robustez del fragmento. La siguiente pseudo-clasificación, se ha realizado en base a los conocimientos de la fauna determinada de Montlleó, así pues, taxonómicamente encontramos estos códigos:

- **LS (large size):** fragmentos que podrían pertenecer a animales de un tamaño y peso considerable, entre los 100-300 kg, como *Bos, Equus, Cervus...*
- **MS (middle size):** fragmentos de individuos de tamaño medio, 20-100 kg, como *Rupicapra, Capreolus, Sus, Canis...*
- **SS (small size) :** <20 kg, *Vulpes, Felis, Lepus, Oryctolagus...*
- **IN:** código para fragmentos en los que es difícil diferenciar la robustez y grosor.

Para la pseudo-clasificación anatómica, tendremos en cuenta a qué tipo de hueso podría pertenecer el elemento, según estos tipos:

- **LB (Long bone):** fragmento de diáfisis de huesos largos.
- **FB (Flat bone):** fragmento perteneciente a huesos planos, como por ejemplo escápulas, vértebras, costillas, pelvis o cráneo.
- **AB (Articular bone):** carpos, tarsos o epífisis de huesos largo (si éste presenta parte de la diáfisis, se clasifica directamente como *Long bone*).
- **IN:** indeterminado.

Para los elementos procedentes de la fase experimental del estudio, la clasificación taxonómica ya es conocida desde el principio, pudiendo encontrar o vaca (*Bos*), o cerdo (*Sus*). La clasificación anatómica se realizó consultando varios atlas de anatomía animal, tanto generales como específicos (Alimen, 1966; Schmid, 1972), y en algunos casos también se ha utilizado la comparación con la colección de referencia del SERP (*Seminari d'Estudi i Recerques Prehistòriques*), que se encuentra depositada en el Laboratorio de Arqueología de la Universidad de Barcelona. Cada elemento anatómico es nombrado debidamente en la base de datos, pero dado el poco espacio en la ficha de trabajo para este campo, los elementos se codificaron tal y como se expresa en la *tabla 2*.

ELEMENTO	CÓDIGO
Fémur	FEM
Húmero	HUM
Ulna	ULN
Radio	RAD
Tibia	TIB
Fíbula	FIB
Pelvis	PEL
Astrágalo	AST
Calcáneo	CAL
Carpo/Escapoides	CAR/SCA
Carpo/Semilunar	CAR/LUN
Carpo/Piramidal	CAR/PYR
Tarso/Cuneiforme	TAR/CUN
Tarso/Cuboide	TAR/CUB
Tarso/Navicular	TAR/NAV

Tabla 2. Codificación anatómica

3.3.3. Lateralización

La mayoría de los huesos que componen un esqueleto animal pertenecen o al lado derecho o al lado izquierdo del cuerpo. En la categoría de lateralización se busca encontrar si el hueso estudiado pertenece a la parte derecha o izquierda. En el análisis arqueológico, esta casilla es imposible de llenar, debido a que no se le puede determinar tampoco la parte anatómica de que se trata. Para la parte de experimentación, es un dato que nos permite identificar la localización del elemento dentro del animal, y obtener más información como por ejemplo cuál es la cara craneal, caudal, lateral o medial del hueso (Schmid, 1972). Este dato nos servirá posteriormente para la identificación de marcas de fragmentación antrópica, ya que las podemos reconstruir y hacernos una ligera idea de por donde se ha podido golpear el hueso. En

todo caso, la lateralización de los elementos experimentales se ha realizado gracias a atlas generales como Schmid (1972). En la ficha se representa con:

- **L (Left)** Izquierda
- **R (Right)** Derecha

3.3.4. Parte

Se indica de forma numérica, y corresponde cada parte de los distintos tipos de hueso como se describe en la *figura 7*.

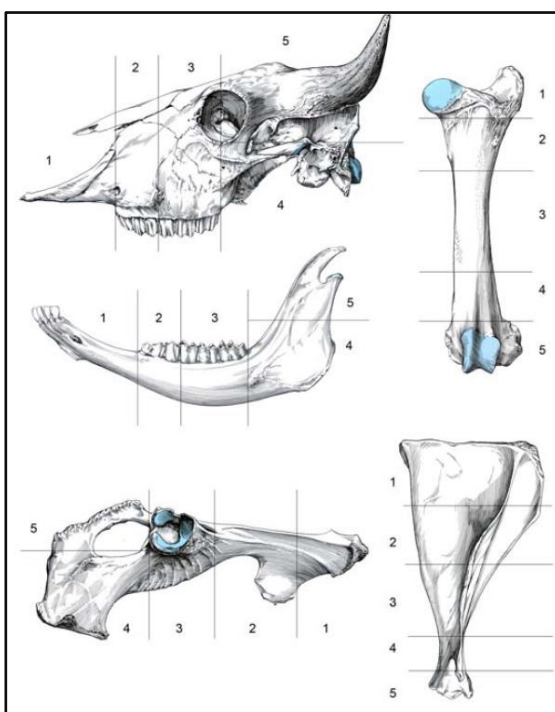


Fig. 7. Numeración para indicar la parte del hueso a la que pertenece el elemento. Imagen extraída de Blasco, 2011.

Así pues, como se observa en la *figura 7*, por ejemplo, para los huesos largos las epífisis se codifican con el número 1 si es proximal y 5 si es distal. En la mayoría de los casos si no se encuentra parte del fragmento de la epífisis en un *Long bone*, se le colocará por defecto el número 3, identificándolo como parte de la diáfisis.

En el caso de muestras de tarsos o carpos entre los elementos de la experimentación, este campo se deja en blanco. Cuando no se puede determinar con exactitud, a qué parte atribuir la muestra se puede colocar un **IN** (indeterminado).

3.3.5 Edad

Al tratarse de fragmentos, este campo quedará en blanco para los análisis de material arqueológico. No obstante, para el experimental, se utilizará una clasificación de la edad no muy específica, es decir, no se mirarán al detalle los procesos de epífisis para darnos un dato numérico, sino que se detallará en base al grado de fusión de la epífisis, una aproximación según estas categorías:

- **F** (fusionado): La epífisis se encuentra totalmente fusionada con el hueso, y ya no se distingue, o se distingue pero muy levemente, la línea de fusión.
- **NF** (no fusionado): Las epífisis todavía no se han fusionado, y por lo tanto se han desprendido y separado una vez hemos eliminado el tejido cárnico.
- **SA** (sub-adulto/en proceso): Sirve para denominar aquellas epífisis que, aunque no se encuentran aisladas del hueso, se les puede distinguir perfectamente la línea de fusión.

3.3.6. Fractura

La fragmentación ósea puede deberse a diferentes procesos y agentes, esto es una variable importante a tener en cuenta en el campo de la arqueología, ya que es el dato que nos puede proporcionar la posible causa de creación del conjunto arqueológico (Volart, 2013). Numerosos estudios llegan a la conclusión de que la fragmentación de un hueso presenta distintos patrones según el estado en que éste se encontraba al ser fracturado, y por tanto a partir de una serie de características se puede definir si el hueso se fragmentó en estado fresco o seco (Blasco, 2011).

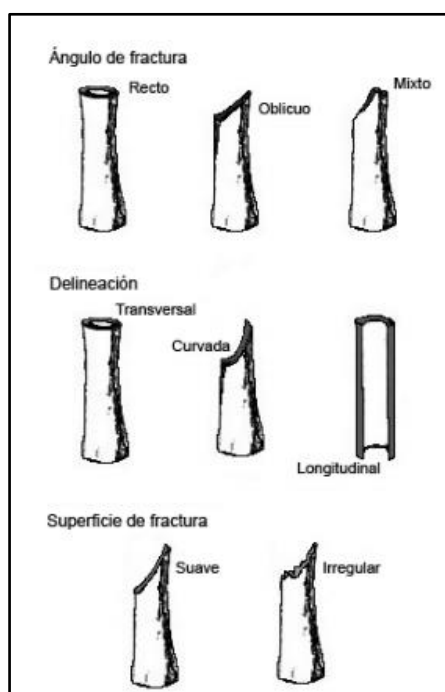


Fig. 8. Rasgos morfológicos de las fracturas según Villa y Mahieu (1991). Extraído de Blasco, 2011.

Dependiendo de este estado del hueso durante su fracturación, se puede relacionar con unos determinados agentes o procesos.

A partir de la metodología utilizada por Villa y Mahieu (1991) y Blasco (2011), se observarán la línea de fractura (transversal, oblicua, longitudinal), el ángulo (recto, oblicuo, mixto), la superficie (suave o irregular), parámetros mostrados en la *figura 8*, y el color (más blanco, o de igual color al hueso), para clasificarlos en las fichas según estos parámetros:

- **FF (*fresh fracture*):** Las fracturas frescas se realizan cuando el hueso aún mantiene sus propiedades elásticas (Johnson, 1985), por tanto se han producido bajo un golpe potente, por lo que se relaciona con acciones de actividad antrópica o animal. Suelen ser curvas, con ángulos oblicuos y superficies suaves.
- **DF (*dry fracture*):** Las fracturas en seco se configuran cuando el hueso ha tenido una pérdida importante de humedad y colágeno, por lo cual se encuentra en un estado más frágil (Alcántara García *et al*, 2006), es por eso que se asocian a procesos post-depositacionales y no a una acción inmediata del agente. La fragmentación es transversal, con ángulos rectos y bordes irregulares y rugosos.
- **MF (*modern fracture*):** Fracturas realizadas durante las fases de extracción del material en el yacimiento, el transporte o el estudio de las muestras. La fractura se distingue por el color mucho más claro que presenta, a diferencia de la coloración de la muestra. En las muestras arqueológicas, debido a su alto grado de fragmentación, su observación se hace de forma secundaria, por tanto, sólo se colocará en caso de no poder determinar la fractura principal.
- **IN:** Indeterminado. No se encuentran los criterios necesarios para clasificarlo en alguna de las categorías estudiadas.

Debido al objetivo principal del trabajo, el cual se basa en patrones de fragmentación, tanto este punto, como la variable que se explicará a continuación (fractura antrópica), se realizaron de la misma forma, tanto en las muestras experimentales como en las arqueológicas.

3.3.7. Fractura antrópica

La fragmentación producida por la acción antrópica, en un hueso fresco, deja una serie de marcas ocasionadas por la percusión realizada en el hueso. Este tipo de marcas, no obstante, son difícilmente identificables en fragmentos de hueso donde se hayan realizado acciones como: congelación, ser calentados cerca del fuego, o en el agua, e incluso quemados, antes de fracturar. En estos casos la fractura se produce cuando el hueso ya no está en completo estado "fresco" (Outram, 2002). En el siguiente trabajo se analizarán aquellas evidencias de acción antrópica más comunes, y según los criterios de los trabajos realizados por Blasco (2011), las cuales se encuentran en las bases de datos codificadas de esta forma:

- **EPE** (estigmas de percusión): Depresiones o hundimientos en el tejido óseo, debido a un golpe de poca intensidad.
- **IP** (impacto de percusión): Depresiones o hundimientos en la parte cortical del hueso, debidos a la intensidad de un impacto fuerte y causante de la fractura ósea. Pueden producirse más de un punto de impacto, por ejemplo si se han realizado varios golpes contra el tejido hasta colapsarlo, en tal caso, quedará en la base de datos especificados el número de puntos de impacto sobre cada elemento. En el caso de que pueda observarse, los puntos de impacto se clasificarán bajo la metodología utilizada por Blasco (2011) (fig. 9) o se señalizará la localización anatómica donde se encuentra (lateral, medial, craneal o caudal), y se anotará en el apartado de observaciones de la ficha de trabajo.

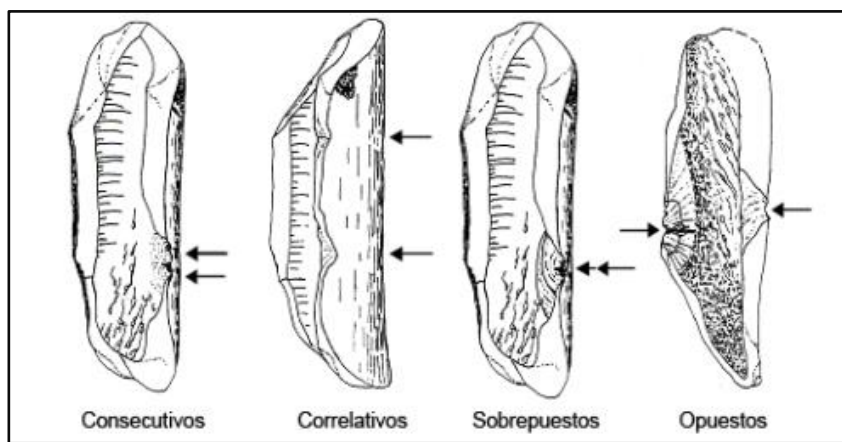


Fig. 9. Tipos de impactos de percusión. Extraída de Blasco, 2011

- **CP** (cono de percusión): De morfología cónica, son pequeños fragmentos que se desprenden de la zona de impacto. Suelen mantener poca parte cortical ya que se constituyen en su mayoría de tejido medular, dejando negativos en la cara medular del hueso. Muchas veces presentan características típicas de las lascas líticas (como la presencia de bulbo y talón).
- **LM** (lasca medular) y **LC** (lasca cortical): Son pequeños desprendimientos de hueso. Las lascas medulares son muy similares a los conos de percusión, con la diferencia de que éstas no se producen directamente en la zona de impacto, sino en las proximidades. En el caso de las lascas corticales, el desprendimiento de tejido ocasiona zonas negativas en la pared cortical del hueso.
- **EP** (esquirlas parásitas): Son conos de percusión que todavía no han acabado de desprenderse de la zona de impacto. Como en el caso de los puntos de impacto, pueden haber más de una esquirla parásita en el elemento, por lo cual se cuenta la cantidad que hay.

3.3.8. Cut Marks (CM)

Las marcas de corte son unas de las evidencias más características de la actividad antrópica a nivel de procesamiento cárnico (Blasco, 2011). Se trata de modificaciones de carácter involuntario¹⁰, realizadas por los humanos en la superficie cortical de un hueso, con la ayuda de un instrumento lítico. Por lo tanto, son marcas accidentales que se producirían durante la preparación para el consumo de la carne, en las fases de extracción de la carne, la piel y los tendones. Se definen como estrías alargadas, frecuentemente lineales, de longitud y anchura variables (Binford, 1981; Blasco, 2011) con presencia de micro-estrías en su interior dispuestas de forma longitudinal y paralela al eje, sección transversal en forma de “V”, barbas (también llamadas estrías secundarias), conos hercianos y la observación del “efecto shoulder” que son otro tipo de estrías secundarias paralelas al eje (Fernández-Jalvo y Cáceres, 2010; Blasco, 2011) (fig. 10).

¹⁰ Aunque la acción de utilizar un instrumento lítico para desgarrar la carne sea intencionada, las marcas que se dejan en la superficie a causa de ello son accidentales. Por lo tanto, no habría un carácter voluntario de dejar marcas de dicha acción en el hueso.

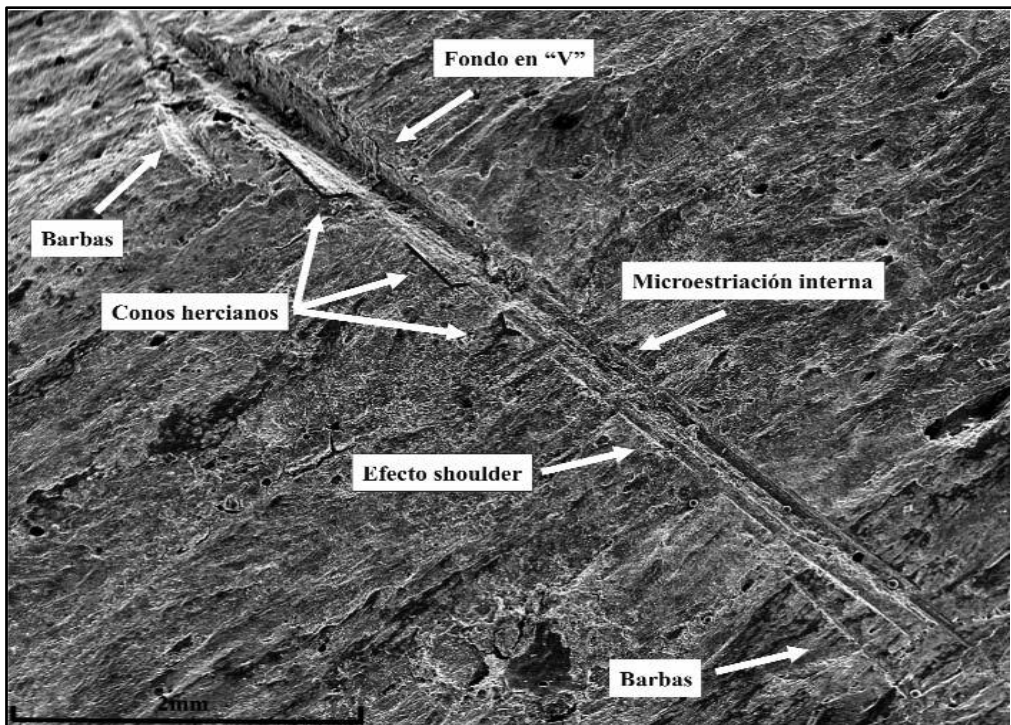


Fig. 10. Modelo y principales características morfológicas de las marcas de corte. Ejemplo de una incisión.
Extraída de Fernández-Jalvo y Cáceres, 2010

Aunque en la mayoría de los casos, es difícil distinguir este tipo de marca de la alteración bioestratinómica llamada *trampling* (“pisada”). El *trampling* hace referencia a las marcas producidas en la cortical del hueso por la fricción de humanos o animales, mientras éstos transitan por el espacio ocupado (Volart, 2013), son muy similares a las *cut marks* pero suelen presentar trazos discontinuos y menos rectos.

Para el análisis de este campo se ha seguido la metodología empleada por Lloveras, Moreno-García y Nadal (2009), primeramente registrando el número de incisiones en el elemento y siguiendo con las características de orientación (**T**: transversal, **O**: oblicuo, **L**: longitudinal) y la intensidad (**S**: superficial, **M**: moderada, **F**: fuerte). Esta clasificación se ha realizado de igual forma para las muestras experimentales y arqueológicas.

3.3.9. Burnt

Campo referido a las alteraciones térmicas, las cuales se clasificarán a partir de la coloración que presenta la superficie del hueso, a partir de un análisis macroscópico en el laboratorio. Los restos óseos pueden adquirir diferentes tonalidades una vez son expuestos al fuego. El color que finalmente presentan, depende normalmente del tiempo de exposición soportado y la

intensidad de la temperatura (Blasco, 2011), aunque existen diversas variables más, como por ejemplo, la composición de los suelos o la distancia al fuego (Stiner *et al*, 1995).

Para la representación de esta variable en la base de datos, el estudio se ha basado en la gama cromática propuesta por Stiner *et al.* (1995), en la cual existirían 6 grados de cremación según la coloración que presenta el hueso. En el presente trabajo, obviaremos el “grado 0” ya que se refiere a la ausencia de cremación, si el elemento no presenta alteraciones térmicas, simplemente se dejará la casilla de la ficha en blanco. La codificación se realizó de forma que cada color se identificara con un número, en una escala creciente de “grado de cremación” (**1**: Marrón claro, **2**: Marrón oscuro, **3**: Negro (carbonización), **4**: Gris, **5**: Blanco (calcinación)).

En algunos elementos se podría apreciar más de una tonalidad, en tal caso, se colocarían separados por un guión los números de todos los colores representados.

Esta variable no se observará en las muestras experimentales, ya que no han sido expuestas, en ninguna fase del estudio, a una intensidad térmica lo suficientemente alta como para alterar su coloración.

3.3.10. Acción de Carnívoros

Para el análisis de las muestras arqueológicas, se ha tenido en cuenta la posible acción de los animales carnívoros registrando si se observaban marcas de digestión o de dentición.

En el caso de la digestión, se observa una corrosión a causa de la acción de los ácidos digestivos. Cuando una muestra presente esta alteración, se analizará el grado de digestión siguiendo los criterios de presencia de porosidades, perforaciones, destrucción de la matriz ósea y pulido de la superficie de fractura (Lloveras, Moreno-García y Nadal, 2008). Según la metodología de Lloveras, Moreno-García y Nadal (2008), la intensidad de corrosión se marcará numéricamente de menos a más: 1) *light*; 2) *moderate*; 3) *heavy*; 4) *extreme*.

En lo referente a marcas de dentición, el análisis se basará en las pautas realizadas por Binford (1981):

- **TPI** (*Tooth pits*): Depresiones o pequeños hundimientos sobre la superficie ósea, debidos principalmente a una acción de mordisqueo por parte del animal.
- **TPU** (*Tooth Punctures*): Depresiones más profundas que los *tooth pits*, y que pueden incluso atravesar el hueso. También se conocen como perforaciones (Blasco, 2011).
- **SCO** (*Scores*): Estrías que se producen por la acción de desgarre de los dientes.

- **NOT** (*Notches*): Muescas producidas por la compresión de los dientes en la capa cortical del hueso.
- **GW** (*Gnawing*): Marcas producidas por la acción de roer el hueso.

3.3.11. Otras alteraciones tafonómicas y observaciones

El siguiente apartado, engloba una serie de alteraciones de tipo bioestratinómico y diagenético. La observación de estos parámetros se realizará solamente en las muestras de material arqueológico, y nos servirán tanto para poder evidenciar datos sobre el contexto arqueológico, como marcador para una posible evaluación del grado de actividad antrópica, o no, que pueda haber.

- **W** (*Weathering* o meteorización): Alteraciones que consisten en agrietamientos, fisuras y exfoliaciones sobre la superficie de restos óseos, a causa de la exposición a los agentes atmosféricos (cambios de humedad, temperatura y exposición a rayos UV) en ambientes abiertos (Blasco, 2011: 130). Aunque también pueden darse en restos enterrados (Johnson, 1985).
- **R** (Marcas de roedores): Surcos amplios con fondos planos y paralelos entre si (Volart, 2013: 42). Las marcas suelen tener unos patrones distintivos por sus dientes incisivos (Johnson, 1985) y más homogéneos que los dejados por un carnívoro (Quintana, 2007).
- **A** (Raíces): Alteraciones químicas producidas por la acción de la vegetación (Yravedra, 2006). Suelen ser surcos ramificados (vermiculaciones), de longitud y profundidad variable representados a lo largo de la superficie ósea. Cuando la señal es de vegetación reciente puede teñir el hueso (Blasco, 2011).
- **C** (Concreciones): Alteración producida por cambios de humedad, que produce una cimentación parcial o total de sedimento en los restos.
- **Mn** (Manganeso): Manchas de pigmentación negruzca dispersas o concentradas en la superficie ósea. Se producen normalmente en ambientes húmedos a causa de la acción de bacterias. El análisis espacial de estas manchas puede indicar condiciones como corrientes hídricas o charcos en la zona (Blasco, 2011: 133).
- **Ab** (Abrasiones): Alteraciones producidas en la superficie del hueso, a causa de acciones erosivas (fricción de partículas sedimentarias) como el transporte eólico o hídrico. Suelen observarse en forma de estrías pequeñas o incluso superficies pulidas.

- **P** (Pulido): Se añadirá cuando se registre un alto grado de superficie pulida. Esta alteración puede ser producida por alguna de las anteriores explicadas. En la mayoría de los casos indica que el resto ha sido transportado por acción de un agente.

Para completar la ficha de análisis, tratándose del estudio de unos fragmentos, se contemplará la medida de longitud máxima de cada elemento. Además, se dejará un campo con la variable de observaciones, para comentar cualquier otra cuestión no contemplada en el estudio, pero que pueda ser interesante para aclarar aspectos de cara a los resultados.

4. RESULTADOS

A continuación, se expondrán los resultados del análisis tanto de la experimentación realizada, como de la parte arqueológica.

4.1. Resultados experimentación

La fracturación intensiva de los 12 huesos utilizados durante la experimentación (tabla. 3) ha dado como resultado 792 fragmentos, de los cuales se han analizado en profundidad aquellos que tenían una longitud máxima mayor a 5 mm (N= 511), el resto (N=281) se han clasificado como astillas y sólo se han contabilizado. También se han identificado 30 elementos completos (epífisis no fusionadas, astrágalos, carpos, tarsos y calcáneos) que no formarán parte de la muestra de este estudio.

	Taxón	Anat.	Edad	Obj.	Percutor	Base	Nºf. total	Nº f+ast.	L.min (mm)	L.máx (mm)	f.d	f.e	f.t	f.in
P1	Sus	FEM	sa	1	-	A	6	6	24	133	4	1	1	0
P2	Bos	RAD/ULN	sa	1	6	A	16	16	11	165	9	2	3	2
P3	Bos	FEM	nf	1	10	P	73	73	8	157	71	0	2	0
P4	Sus	RAD/ULN	sa	1	7	A	23	23	7	128	19	4	0	0
P5	Sus	HUM	sa	1	4	A	7	7	7	109	5	2	0	0
P6	Sus	FEM	sa	1	13	P	12	12	9	122	10	2	0	0
P7	Sus	PEL	nf	2	12	P	70	70	10	65	4	7	3	56
P8	Bos	FEM	sa	2	va	A	68	87	8	107	53	0	4	11
P9	Sus	TIB/FIB	nf	2	8	P	33	33	11	82	23	6	4	0
P11	Sus	RAD/ULN	sa	2	va	P	52	131	11	93	30	2	7	13
P12	Sus	TIB/FIB	sa	2	va	P	32	32	7	86	19	2	7	4
P13	Bos	RAD/ULN	sa	2	va	P	119	302	8	127	107	4	3	5

Tabla.3. Resumen de los casos experimentales. Taxón; Anatomía; Edad; Objetivo; Percutor; Base; Número de fragmentos totales; Número de fragmentos más astillas; Longitud mínima; Longitud máxima; Fragmentos de la diáfisis; Fragmentos de la epífisis; Fragmentos transicionales; Fragmentos indeterminados. sa: sub-adulto con las epífisis fusionándose; nf: epífisis no fusionadas. va: varios percutores. A: angulosa; P: plana.

Descripción de los casos

Prueba 1:

- Elemento: Fémur de cerdo.
- Objetivo: Colapsar la diáfisis para extraer la médula ósea.
- Método: El hueso se sostuvo por la epífisis proximal y se golpeó contra un yunque de sílex. La diáfisis acabó colapsando al tercer impacto.

- Nº de fragmentos generados: 6 (1,1%)
- Clasificación anatómica de los fragmentos: 4 se han clasificado como parte de la diáfisis, los dos restantes como parte de epífisis y con ambas partes (transicional).
- Evidencias antrópicas: Destaca la identificación de 3 puntos de impacto seguramente correspondientes a los tres golpes realizados.

Prueba 2:

- Elemento: Radio y ulna de vaca (Anexo II, fig. 1)
- Objetivo: Colapsar la diáfisis para extraer la médula ósea
- Método: Se golpeó el hueso con un percutor plano sobre una superficie angulosa. El hueso colapso después de varios golpes.
- Nº de fragmentos generados: 16 (3,1%)
- Clasificación anatómica de los fragmentos: Más de la mitad se han clasificado como parte de la diáfisis (56%), solo 2 elementos se han clasificado como epífisis.
- Evidencias antrópicas: Gran número de impactos de percusión (N=38), 7 lascas corticales, 2 esquirlas parasitas y un cono de percusión.

Prueba 3:

- Elemento: Fémur de vaca
- Objetivo: Colapsar la diáfisis para extraer la médula ósea
- Método: Se golpeó el hueso con un percutor de bordes angulosos sobre una superficie plana. Se necesitaron dos personas para fracturarlo, una sujetó el hueso con las manos, y la otra golpeó con el percutor, el hueso colapso después de varios golpes.
- Nº de fragmentos generados: 73 (14,2%)
- Clasificación anatómica de los fragmentos: La mayoría se han clasificado como parte de la diáfisis (N=71), y 2 fragmentos transicionales.
- Evidencias antrópicas: Proporciones similares de lascas corticales, conos de percusión e impactos de percusión, entre el 16 y 19%. Presencia de un estigma de percusión y una lasca cortical negativa, muy poco representadas en el total de la muestra estudiada.

Prueba 4:

- Elemento: Radio y ulna de cerdo
- Objetivo: Colapsar la diáfisis para extraer la médula ósea
- Método: Se golpeó el hueso con un percutor plano sobre una base angulosa. Se realizaron diversos impactos en la cara craneal y caudal, donde se hunde parte de la

cortical. Acaba colapsando en los golpes realizados en la cara caudal después de haberse formado primeramente una brecha longitudinal.

- Nº de fragmentos generados: 23 (4,5%)
- Clasificación anatómica de los fragmentos: La mayoría se han clasificado como parte de la diáfisis, y 4 fragmentos como parte de la epífisis.
- Evidencias antrópicas: Los impactos de percusión (N=8) y las lascas corticales (N=6) son las que se encuentran más representadas. También se han identificado algunas esquirlas parasitas y conos de percusión.

Prueba 5:

- Elemento: Húmero de cerdo
- Objetivo: Colapsar la diáfisis para extraer la médula ósea
- Método: Se golpeó con la utilización de un percutor anguloso sobre una base también angulosa. Colapsó muy rápidamente con sólo tres impactos.
- Nº de fragmentos generados: 7 (1,3%)
- Clasificación anatómica de los fragmentos: 5 de los fragmentos se han clasificado como diáfisis y el resto (N=2) como epífisis.
- Evidencias antrópicas: Se han registrado en proporciones bajas y similares, esquirlas parasitas e impactos de percusión. También un estigma de percusión, de los cuales sólo hay 2 documentado en la totalidad de la muestra.

Prueba 6:

- Elemento: Fémur de cerdo
- Objetivo: Colapsar la diáfisis para extraer la médula ósea
- Método: El hueso se golpeó con la utilización de un percutor anguloso sobre una superficie plana. Se realizaron varios impactos, y cuando colapsó quedó a medio fracturar. La separación definitiva se realizó estirando con las manos de ambos extremos.
- Nº de fragmentos generados: 12 (2,3%)
- Clasificación anatómica de los fragmentos: La mayor parte se han clasificado como parte de la diáfisis, y 2 como epífisis.
- Evidencias antrópicas: 8 impactos de percusión y proporciones similares de lasca cortical, conos de percusión y esquirlas parasitas. Destaca que es una de las dos pruebas donde se han documentado lascas corticales negativas (Anexo II, fig. 7)

Prueba 7:

- Elemento: Pelvis de cerdo
- Objetivo: Fracturar el hueso lo máximo posible
- Método: El hueso se golpeó utilizando un percutor plano y una base también plana. Se realizaron varios impactos con la finalidad de machacar el hueso.
- Nº de fragmentos generados: 70 (13,6%)
- Clasificación anatómica de los fragmentos: destaca que el 80% (N=56) de los fragmentos no han podido determinarse, siendo globalmente la prueba en la que más fragmentos indeterminados se han registrado. 4 elementos han podido identificarse como diáfisis, 7 como epífisis y 3 transicionales.
- Evidencias antrópicas: Elevado número de impactos de percusión (N=38), y cantidades similares de lascas corticales (N=11) y esquirlas parasitas (N=10)

Prueba 8:

- Elemento: Fémur de vaca
- Objetivo: Fracturar el hueso lo máximamente posible
- Método: El hueso se golpeó con la utilización de un percutor plano, y primeramente se utilizó una base angulosa. Después de que el hueso colapsara rápidamente, se utilizó una base plana para machacarlo.
- Nº de fragmentos generados: 68 fragmentos (13,3%) y 19 astillas
- Clasificación anatómica de los fragmentos: el 78% se ha clasificado como diáfisis, y se ha registrado una proporción significativa (16%) de fragmentos indeterminados.
- Evidencias antrópicas: Cantidad elevada de impactos de percusión (N=89). Se han documentado también, varias esquirlas parasitas y lascas corticales.

Prueba 9:

- Elemento: Tibia y fíbula de cerdo
- Objetivo: Fracturar el hueso lo máximamente posible
- Método: El hueso se golpeó con la utilización de un percutor plano sobre una base también plana.
- Nº de fragmentos generados: 33 (6,4%)
- Clasificación anatómica de los fragmentos: La mayoría de los fragmentos se han clasificado como parte de diáfisis.
- Evidencias antrópicas: No se ha documentado una cantidad muy elevada de impactos de percusión (N=23), ni de otras evidencias antrópicas.

Prueba 11:

- Elemento: Radio y ulna de cerdo
- Objetivo: Fracturar el hueso lo máximo posible
- Método: Se golpeó con la utilización de diversos percutores y la superficie plana del suelo como base.
- Nº de fragmentos generados: 52 fragmentos (10,1%) y 79 astillas
- Clasificación anatómica de los fragmentos: Más de la mitad (57%) se han clasificado como diáfisis, aunque presenta también una proporción alta de fragmentos indeterminados (25%).
- Evidencias antrópicas: Presenta bastantes puntos de impacto (N=49) y una alta representación de lascas corticales (N=14).

Prueba 12:

- Elemento: Tibia y fíbula de cerdo
- Objetivo: Fracturar el hueso lo máximo posible
- Método: Se golpeó con la utilización de diversos percutores y la superficie plana del suelo como base.
- Nº de fragmentos generados: 32 (6,2%)
- Clasificación anatómica de los fragmentos: La mayoría se han clasificado como diáfisis (N=19), y muy pocos como epífisis (N=2)
- Evidencias antrópicas: Elevada cantidad de puntos de impacto (N=45), y representación de esquirlas parasitas (N=6) y lascas corticales (N=7).

Prueba 13:

- Elemento: Radio y ulna de vaca
- Objetivo: Fracturar el hueso lo máximo posible
- Método: Se golpeó con la utilización de diversos percutores y la superficie plana del suelo como base.
- Nº de fragmentos generados: 119 fragmentos (23,2%) y 183 astillas
- Clasificación anatómica de los fragmentos: El 90% (N=107) se han clasificado como diáfisis. Destaca la poca representatividad de fragmentos indeterminados (4%), dado que fue la prueba que más se fracturó.
- Evidencias antrópicas: Una muy elevada cantidad de impactos de percusión (N=136), y proporciones similares de lascas corticales, esquirlas parasitas y conos de percusión.

Resultados globales

Longitud máxima de los fragmentos

Globalmente se observa que más de la mitad de las muestras (54,7%), corresponden a fragmentos con una longitud menor a los 20 mm. Los otros dos grupos mayor representados serían los fragmentos (Anexo II, fig.5) entre los 21-36 mm (23,7%) y entre los 37-52 mm (10,9%). En general, sólo el 10,5% tienen una longitud mayor a los 50 mm.

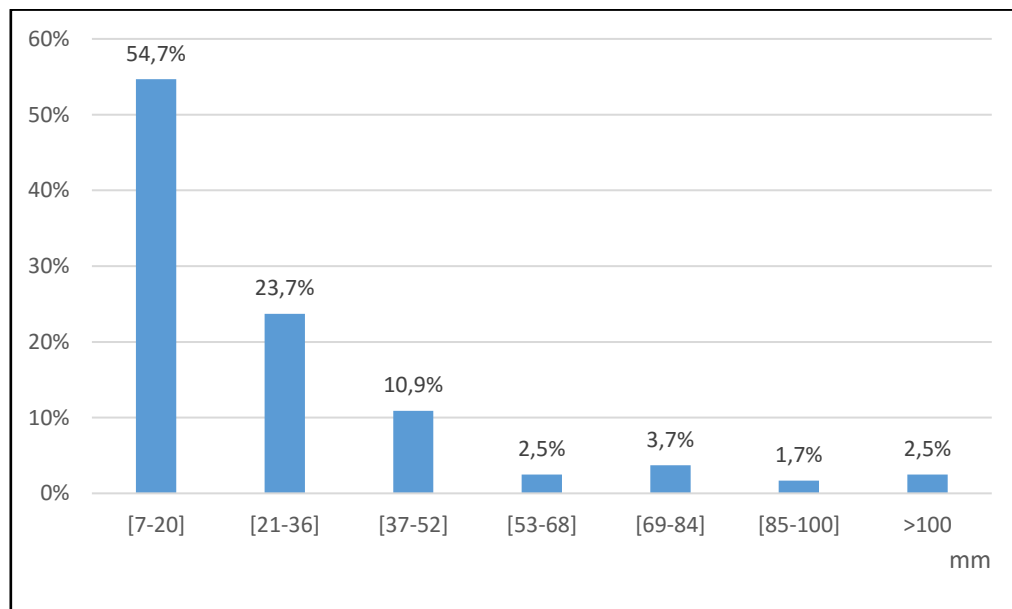


Fig.11. Porcentajes según la longitud máxima de los fragmentos. Las longitudes se han agrupados en intervalos de 15 mm.

Parte anatómica

Para el análisis de parte anatómica (diáfisis o epífisis), los fragmentos se han clasificado en 4 grupos: f.d (fragmentos de la diáfisis), f.e (fragmentos de la epífisis), f.t (fragmentos transicionales que contienen parte de epífisis y parte de diáfisis), y f.in (fragmentos de parte indeterminada).

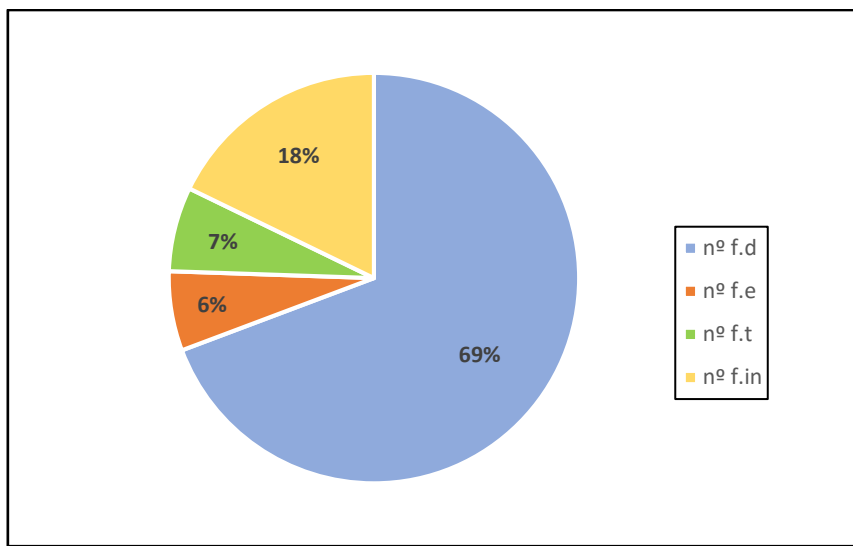


Fig.12. Porcentajes de la identificación de partes de elementos anatómicos

Según los resultados, la mayor parte de los fragmentos (69%) se clasificarían como parte de la diáfisis. En cambio, las epífisis parecen más difíciles de identificar, esta poca representatividad podría deberse a su dificultad para fragmentarlas y en que en general, la acción de percutir se realizó más en las diáfisis.

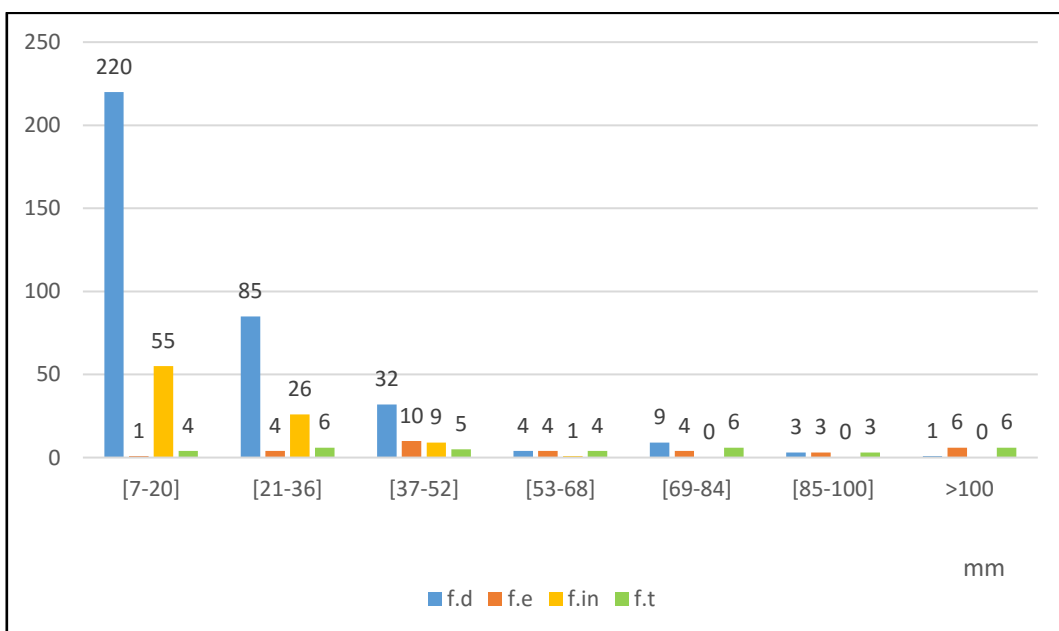


Fig. 13. Cuantificación de fragmentos según su longitud y parte del elemento anatómico identificada

Según los datos de la *figura 13*, existe una correlación entre la identificación de epífisis o diáfisis según la medida del fragmento. Cuando la muestra se encuentra compuesta por fragmentos más pequeños, las epífisis son más difíciles de identificar, y además se observan más muestras sin determinar. En el caso de fragmentos de mayor longitud, la proporción de fragmentos identificados como parte de la diáfisis disminuye en proporción a lo que se observa en longitudes menores.

Tipo de fractura

Se observa una clara predominancia de la fractura en fresco, estando representada en el 89% (N=453) de las muestras. No obstante, en el 11% (N=56) de los fragmentos la fractura no ha podido determinarse, y se observan dos casos con características de fractura en seco.

Evidencias de fractura antrópica

En total se han cuantificado 653 evidencias antrópicas. Más de la mitad (69,4%) corresponderían a la identificación de puntos de impacto (Anexo II, fig. 4 y 6), evidencia mayoritaria en todo el conjunto. Seguidamente encontraríamos las lascas corticales (14,5%), las esquirlas parásitas (9,3%) y los conos de percusión (5,9%). Por último, se observa una proporción muy baja de identificación de estigmas de percusión y lascas corticales negativas, de las cuales contamos con muy pocas evidencias.

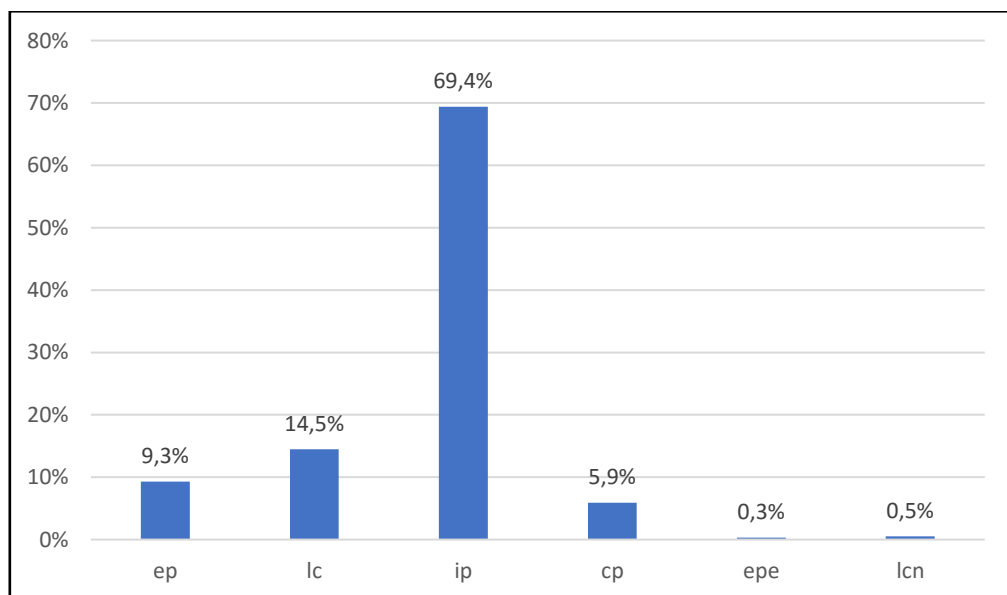


Fig. 14. Porcentajes de evidencias de fracturación antrópica. ep: Esquirlas parásitas; lc: Lascas corticales; ip: Impactos de percusión; cp: Conos de percusión; epe: Estigmas de percusión; lcn: Lascas corticales negativas

Casos comparativos

Comparación taxonómica *Bos/Sus* según el objetivo de la experimentación

	Taxón	Anat.	Objetivo	Nºf	Nºast.	Evidencias Antr.							
						cm	ep	ip	lc	cp	epe	lcn	
Caso 1													
P2	<i>Bos</i>	RAD/ULN		1	16	0	3	2	38	7	1	0	0
P4	<i>Sus</i>	RAD/ULN		1	23	0	0	3	8	6	1	0	0
Caso 2													
P11	<i>Sus</i>	RAD/ULN		2	52	79	0	4	49	14	0	0	0
P13	<i>Bos</i>	RAD/ULN		2	120	183	2	12	136	16	16	0	0

Tabla. 4. Pruebas utilizadas para los casos de comparación taxonómica, con la cuantificación de evidencias antrópicas. cm: *Cut marks* (marcas de corte)

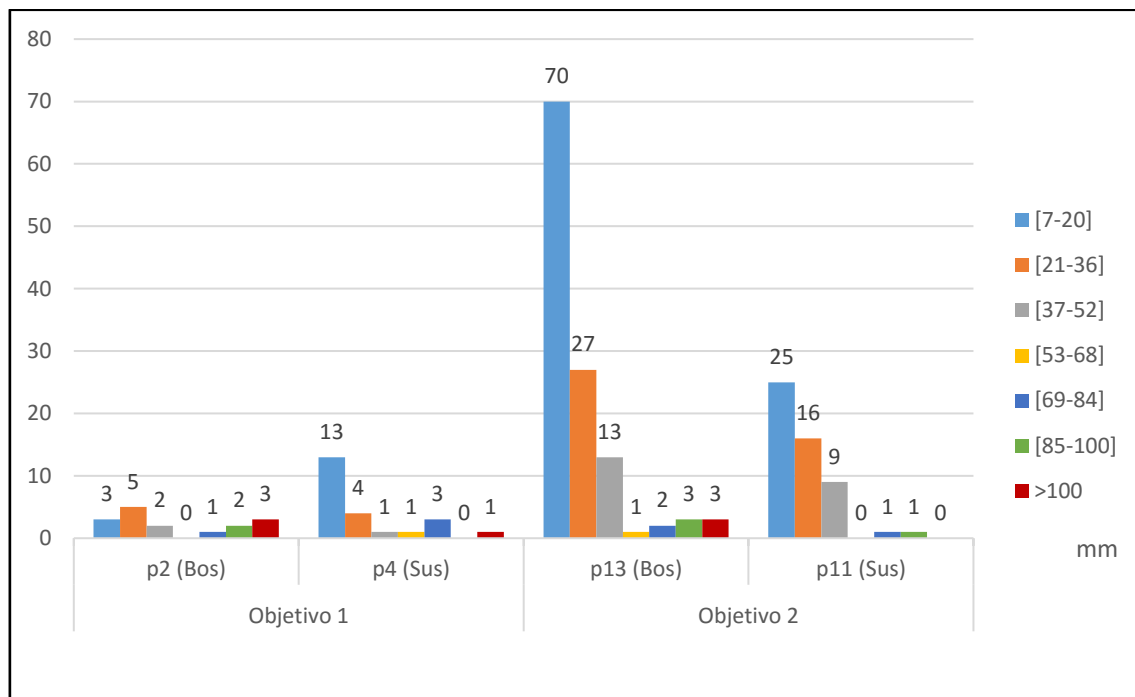


Fig.15. Cuantificación de los casos de comparativos según la longitud máxima de los fragmentos. Los intervalos están en mm.

Caso 1: Comparación de radio/ulna de animales de talla grande y media. Objetivo 1.

Para esta comparación se han escogido las pruebas: p2 (*Bos*) y p4 (*Sus*). Ambas han recibido el mismo sistema de percusión, con la utilización de un nódulo calizo como percutor y una base de soporte (yunque) de sílex anguloso. Las dos pruebas han sido realizadas con el objetivo de golpear el hueso hasta colapsarlo para la extracción de la médula ósea. Respecto al número de fragmentos generados en los dos casos, no se observa una gran diferencia, aunque en la p4 se han registrado 7 fragmentos más. En ninguno de los dos casos se han contabilizado astillas (fragmentos menores a 5mm). En cuanto a la longitud global de los fragmentos, se observa una mayor representación de fragmentos entre los 7-20 mm para *Sus*, en cambio *Bos* tiene unas longitudes más variadas y en general más fragmentos mayores a los 85 mm que *Sus*. En la p4 parecen identificarse con más facilidad los elementos de la diáfisis y de la epífisis, en cambio, en p2 se observa más variedad en los resultados, pero podría deberse también a que en la p2 se insistió en golpear algunas veces más la epífisis de la ulna para fragmentarla.

Entre las evidencias de procesamiento antrópico, las marcas de corte sólo se encuentran presentes en *Bos*, otras como las lascas corticales o las esquirlas parasitas, se encuentran presentes en las dos pruebas con una proporción similar. Destacan, pero, los impactos de percusión, que se encuentran con unas cifras mucho más elevadas en *Bos* (38 ip) que *Sus* (8 ip), factor que puede ser debido a que los huesos de animales de talla grande, necesiten de más impactos para poder fragmentarse de forma similar a los de un animal de talla media.

Caso 2: Comparación de radio/ulna de animales de talla grande y media. Objetivo 2.

Para este caso, se han escogido la p13 (*Bos*) y la p11 (*Sus*), ambas al igual que en el caso anterior han sido fragmentadas siguiendo el mismo sistema, utilizando diversos percutores y el suelo como soporte. Las dos pruebas se han realizado con el objetivo de máxima fragmentación del hueso, aunque la p13 fue en la que más se insistió en fracturar, del total de pruebas realizadas. En total se han registrado una elevada cantidad de fragmentos en las dos pruebas, pero en el caso de *Bos* (119 fragmentos) se generan algo más del doble los resultados de *Sus* (52 fragmentos). En las dos pruebas se ha contabilizado también una gran cantidad de astillas, 79 en la p11 y 183 en p13, en este caso parecen generarse muchas más astillas durante la fragmentación de *Bos* que de *Sus*. Los elementos identificados como epífisis o diáfisis presentan resultados similares, con una proporción más alta en fragmentos de diáfisis, aunque en *Sus* parece poder determinarse más elementos articulares (epífisis). En lo referente a la distribución según la longitud de los fragmentos, se observa una mayor diversidad de tamaños en *Bos*, pero

en general los dos taxones presentan la mayoría de los fragmentos con longitudes entre los 7 y 50 mm.

Como en el caso 1, sólo se encuentran marcas de corte en fragmentos del taxón *Bos*, 2 casos con un total de 6 incisiones. Globalmente la p13 (*Bos*) presenta más evidencias de procesamiento antrópico en todos los campos, salvo estigmas de percusión y lascas corticales negativas que no se han documentado en ninguno de los dos casos. Pero sobre todo, al igual que en el caso 1, *Bos* presenta una elevada cantidad de impactos de percusión con respecto a *Sus*.

Comparación anatómica en *Sus*, patrones de fragmentación en hueso plano/hueso largo

En cuanto al procesamiento de los huesos planos, el objetivo a la hora de fracturarlos siempre será machacarlos, debido a que la extracción de médula ósea es más complicada. Es por ello, que en este apartado se procederá a observar, si el resultado de procesar huesos planos se asemeja más a los casos producidos en huesos largos con el objetivo de colapsar la diáfisis, o en los que el hueso largo se ha fracturado con el objetivo de machacarlo. Se utilizará la prueba 7 como referencia ya que es el único hueso plano fracturado en la experimentación.

Evidencias Antr.										
Taxón	Anat.	Objetivo	Nºf	Nºast.	ep	ip	Ic	cp	epe	Icn
P7	<i>Sus</i>	PEL	2	70	0	12	39	11	2	0
Caso 1										
P4	<i>Sus</i>	RAD/ULN	1	23	0	3	8	6	1	0
P6	<i>Sus</i>	FEM	1	12	0	2	8	3	4	0
Caso 2										
P9	<i>Sus</i>	TIB/FIB	2	33	0	5	23	7	1	0
P11	<i>Sus</i>	RAD/ULN	2	52	79	4	49	14	0	0

Tabla. 5. Resumen de los elementos utilizados para la comparación anatómica

Caso 1: Comparación anatómica con huesos largos fracturados con objetivo diferente a la pelvis.

Para este primer caso, se han comparado con la pelvis dos huesos largos (radio/ulna y fémur) fracturados siguiendo el objetivo de colapsar la diáfisis. En general la fragmentación de la pelvis, como es de esperar, ha generado una cantidad mayor de fragmentos que los huesos largos (tabla. 5), entre los cuales, el radio/ulna ha producido casi el doble que el fémur. No se han documentado la presencia de astillas en ninguna de las tres pruebas.

En lo referente a la identificación de partes anatómicas (epífisis o diáfisis) se observa una clara diferencia entre los resultados de hueso plano y largo (fig. 16). Tanto el radio/ulna como el fémur, han generado unas proporciones similares entre sí. En los huesos largos la identificación entre fragmentos de la diáfisis y de las epífisis es bastante clara, no se han registrado fragmentos indeterminados, aunque hay una proporción mayor de fragmentos de diáfisis debido a que es la parte donde se produjeron la mayoría de los impactos.

En cambio, la pelvis presenta un patrón totalmente distinto, en el cual, la identificación de las epífisis y la diáfisis son muy bajas, y ha resultado en que el 80% de los fragmentos obtenidos se clasifiquen como fragmentos indeterminados.

En cuanto a las evidencias de fractura antrópica, como era de esperar, el procesamiento de la pelvis en este caso ha generado muchos más impactos de percusión (tabla. 5) que en los huesos largos, debido a que ésta fue machacada. Las proporciones entre otras evidencias son bastante similares, aunque parecen producirse un número mayor de esquirlas parasitas en los huesos planos.

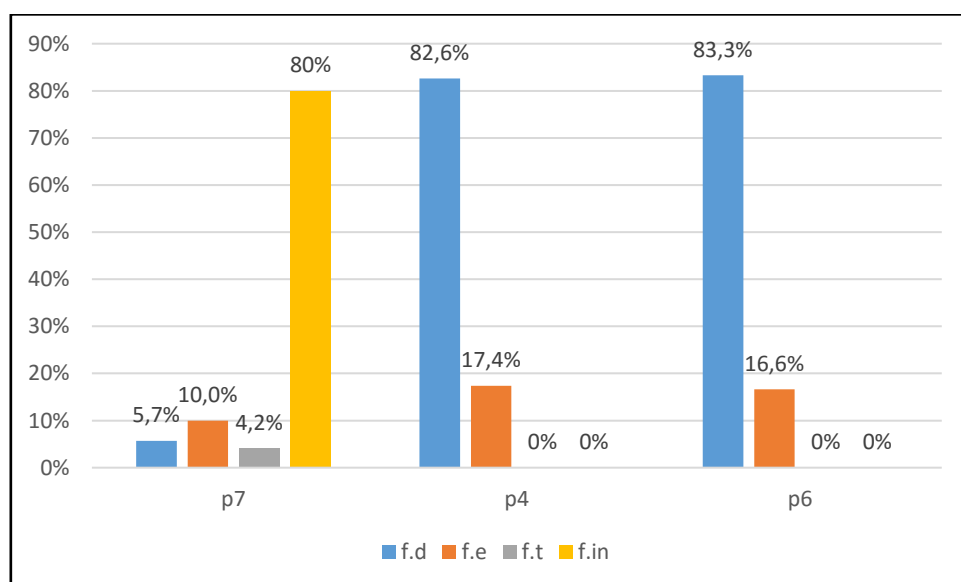


Fig. 16. Porcentajes comparativos entre las distintas partes de los elementos anatómicos. Caso 1

Caso 2: Comparación anatómica con huesos largos procesados con el objetivo similar a la pelvis.

Para este caso se han comparado 2 huesos largos (tibia/fíbula y radio/ulna), los cuales han sido procesados con el objetivo de fracturárselos lo máximo posible al igual que la pelvis. En general, puede observarse que la cantidad de fragmentos generados, en las mismas condiciones, es más elevado en el hueso plano (N= 70) en comparación a los huesos largos. No obstante, el resultado se acercaría más a la cantidad generada por el radio/ulna (N= 52), que no por la tibia/fíbula (N= 33), aunque a diferencia tanto de la pelvis como la tibia/fíbula, el radio/ulna ha producido además un gran número de astillas (N= 79).

En lo referente a la identificación de partes anatómicas, volvemos a ver, como en el caso 1, una gran diferencia entre los huesos planos y los largos. Aunque los dos tipos de hueso hayan sido machacados, las proporciones de identificación entre epífisis y diáfisis en los huesos largos siguen siendo muy elevadas (fig. 17), no obstante, se observa que la identificación de las epífisis ha disminuido de forma considerable en el radio/ulna (4%). Los fragmentos de identificación indeterminada en huesos largos, aunque ahora presentes al menos en la p11 (25%), se encuentran en unas cantidades muy minoritarias en comparación a la proporción de la pelvis (80%).

En cuanto a las evidencias antrópicas, se observa que las proporciones son más similares entre los dos tipos de hueso que lo contemplado antes en el caso 1, aunque sigue habiendo una producción más elevada de esquirlas parasitas por parte de la pelvis.

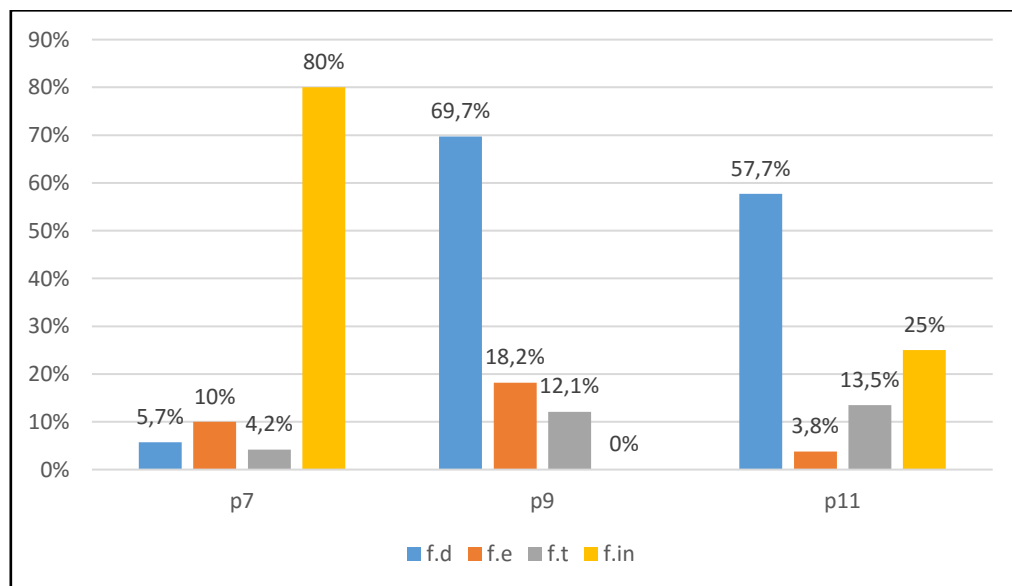


Fig. 17. Porcentajes comparativos entre las distintas partes de los elementos anatómicos. Caso 2

Otras observaciones

Percutores y bases

Para la experimentación realizada, en 3 de las pruebas se utilizaron percutores con bordes angulosos (p3, p5, p6), en 4 de ellas percutores planos (p2, p4, p7, p9), y también en otras 4 la combinación de los dos tipos (p8, p11, p12, p13). Tan sólo en una de las pruebas (p1) no se utilizó ningún tipo de percutor.

Como se observa en la *figura 18*, la utilización de un percutor con bordes angulosos da unos porcentajes globales bastante similares entre las distintas evidencias antrópicas, siendo éste el único en el cual se ha documentado alguna evidencia de estigmas de percusión y lascas corticales negativas. En comparación, la utilización de un percutor plano muestra una mayor representatividad de los impactos de percusión, en cambio los percutores angulosos causarían unos porcentajes más elevados de conos de percusión. No parece que haya mucha diferencia entre la utilización de uno u otro en cuanto a la formación de esquirlas parasitas o de lascas corticales. En las pruebas donde se utilizaron los dos percutores, se han registrado unos resultados más parecidos a la utilización de percutores planos, que no de angulosos. Los resultados indicarían que la combinación de los dos tipos sólo incrementaría el número de impactos de percusión.

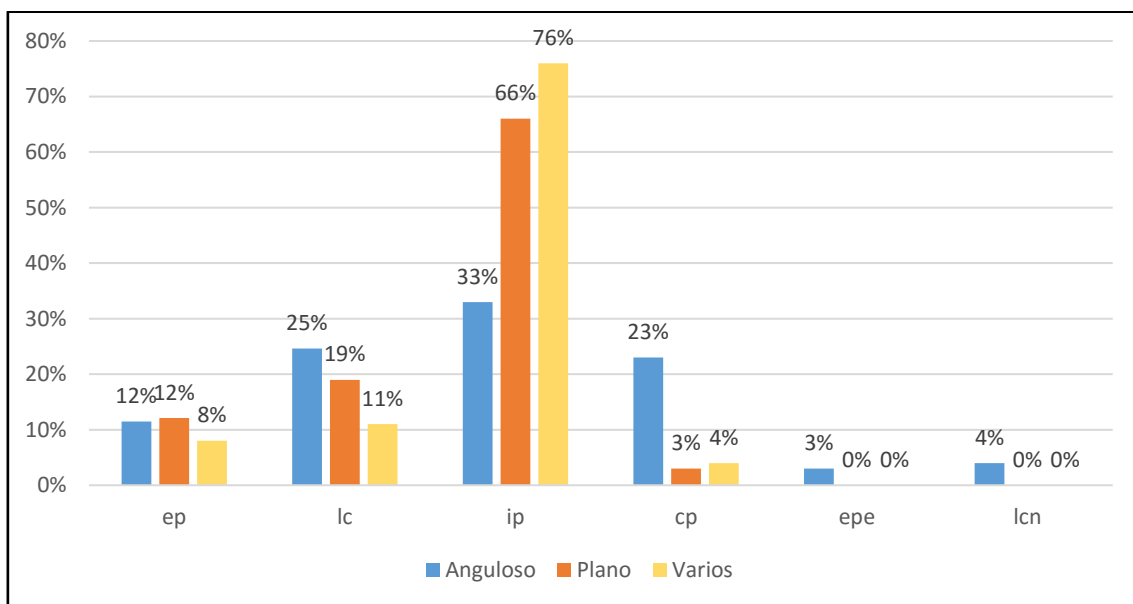


Fig. 18. Porcentajes comparativos de las evidencias de fractura antrópica observadas, según la utilización de percutores angulosos, planos o ambos

En el caso de las bases (yunques) utilizados, se diferencian también por la presencia de superficies angulosas o superficies planas. Hay predominancia en la utilización de superficies planas, las cuales han servido como base en 7 de las 12 pruebas (tabla. 1). Los porcentajes comparativos (fig. 19) no parecen indicar diferencias muy significativas salvo en la producción de conos de percusión, que es más elevada cuando se ha utilizado un soporte plano, y un incremento de los impactos de percusión al utilizar superficies angulosas.

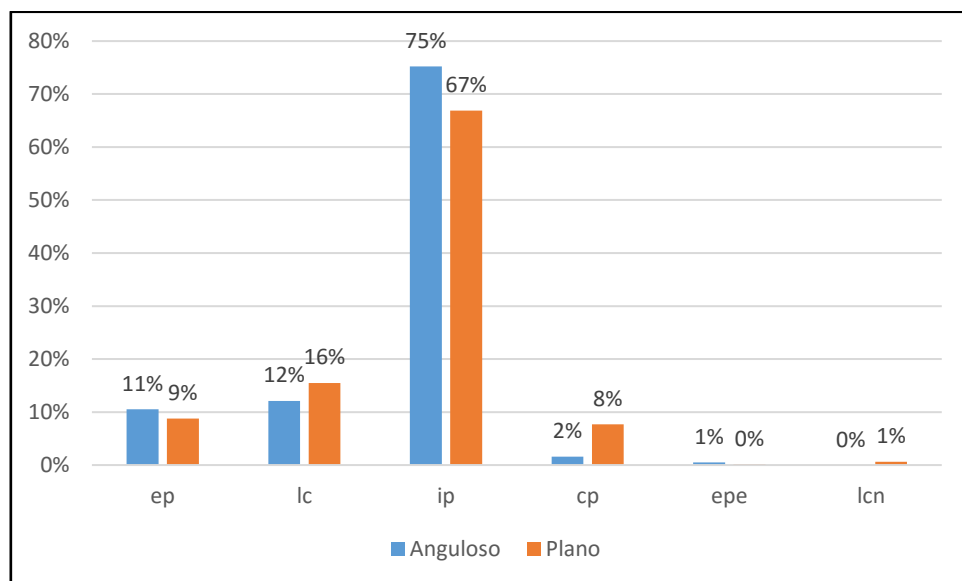


Fig. 19. Porcentajes comparativos entre las evidencias antrópicas según el tipo de base utilizada

4.2. Resultados del material arqueológico

El análisis en el laboratorio de la muestra arqueológica, ha dado como resultado la identificación de 3.972 fragmentos de hueso y 280 fragmentos de diente.

Taxonomía	Anatomía				
	LB	AB	FB	IN	D
LS	696	35	73	97	66
MS	866	78	250	232	74
SS	272	5	40	74	7
IN	289	26	93	845	133
Total	2123	144	456	1.249	280

Tabla. 6. Cuantificación taxonómica y anatómica del material arqueológico. LS: talla grande; MS: talla media; SS: talla pequeña; IN: indeterminado; LB: hueso largo; AB: hueso articular; FB: hueso plano; D: diente

Resultados globales en fragmentos de hueso

Taxonomía y anatomía

En lo referente a la clasificación taxonómica, se observa una mayor representatividad en animales de talla media (36%), seguidos de los animales de talla grande (23%), y con un porcentaje menor, los de talla pequeña (10%). No obstante, el 31% (N= 1.253) de la muestra se ha clasificado como indeterminado.

En cuanto a la clasificación anatómica, un poco más de la mitad de las muestras (53%) se han clasificado como huesos largos. Hay poca representatividad en huesos planos (12%) y huesos articulares (4%), y un porcentaje bastante significativo de elementos indeterminados (31%).

Tipo de fractura

Tanto la fractura en fresco (37,6%), como la fractura en seco (38,5%), se encuentran representadas con unos porcentajes muy similares, aunque se observa una cantidad un poco más elevada de fragmentos con fractura en seco. El 16,5% de la muestra se ha clasificado con fractura indeterminada, el 7% restante presentaban una fractura moderna.

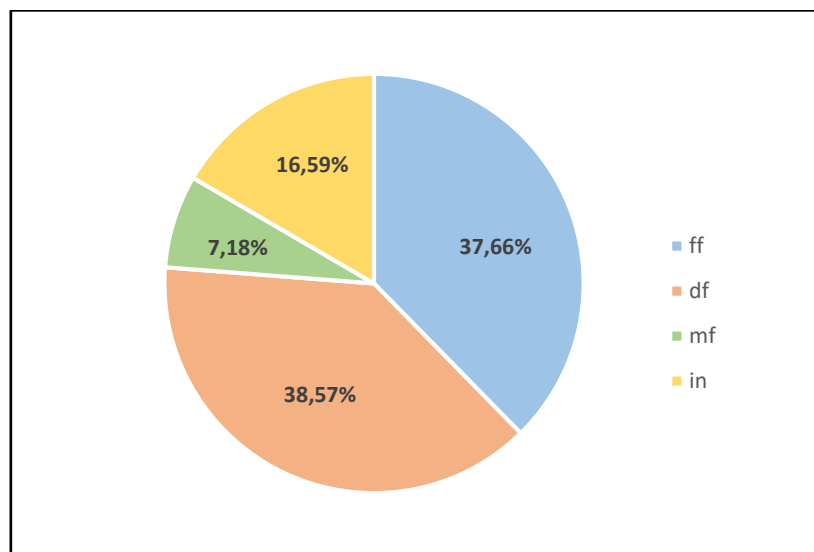


Fig. 20. Porcentajes de tipo de fractura. ff: Fractura en fresco; df: Fractura en seco; mf: Fractura moderna; in: Fractura indeterminada



Fig. 21. *Fresh fracture*. Material arqueológico indeterminado de Montlleó, elemento 6AC-516

Longitud máxima

Aunque el total de la muestra comprende fragmentos de longitudes entre los 4-90 mm, casi la totalidad de los fragmentos (91%) no presenta una longitud mayor a los 30 mm.

Alteraciones

No se ha identificado un alto grado de alteración por parte de animales, ni por acción de roedores, de los cuales no se ha encontrado ninguna evidencia, ni por acción de carnívoros, en los que sólo se han documentado 2 fragmentos con perforaciones presentes y ninguna muestra digerida.

Se han identificado 371 fragmentos quemados. La mayor parte de ellos (87%) presenta una coloración negra, y el 12% coloraciones entre gris y blanco, lo que indicaría que casi la totalidad de los fragmentos que han aparecido quemados (salvo 5 fragmentos con coloración marrón), ha sido por exposición a temperaturas relativamente altas.

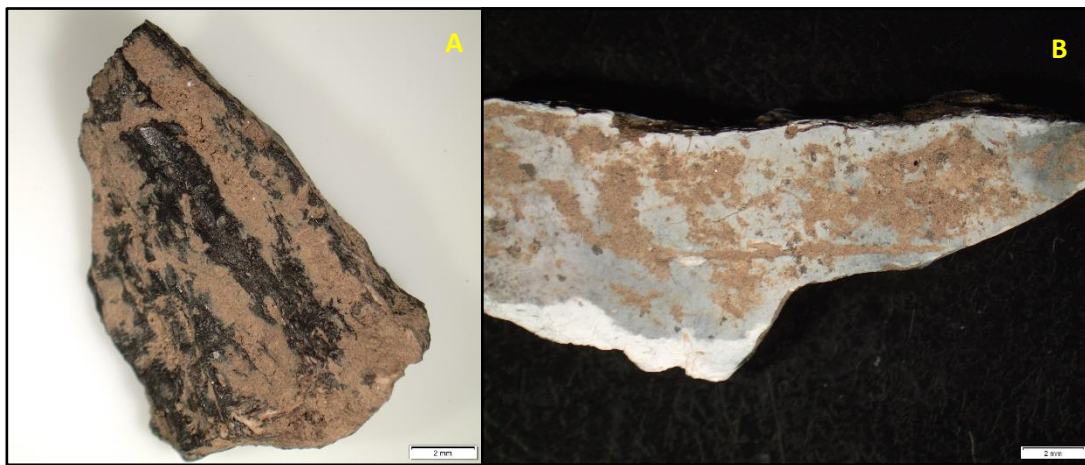


Fig. 22. Ejemplos de restos óseos con alto grado de cremación en Montlleó. (A) 6AF-162, carbonizado.
(B) 6AF-258, coloración gris-blanca (calcinación)

Globalmente, el conjunto presenta un alto grado de alteración de carácter post-deposicional. El 96,2% de los fragmentos presentan al menos una de estas alteraciones. En la mayoría de los fragmentos se pueden observar más de un tipo de alteración, siendo la presencia de concreciones (66%) la mayoritaria en el conjunto. Seguidamente se encuentran también alterando gran parte de los fragmentos, las marcas de raíces (46%), manchas de manganeso (35%) y abrasiones (34%). En proporciones menores, encontramos que el 19% de las muestras han sufrido la acción de la meteorización, y el 8% se han encontrado con la superficie pulida.

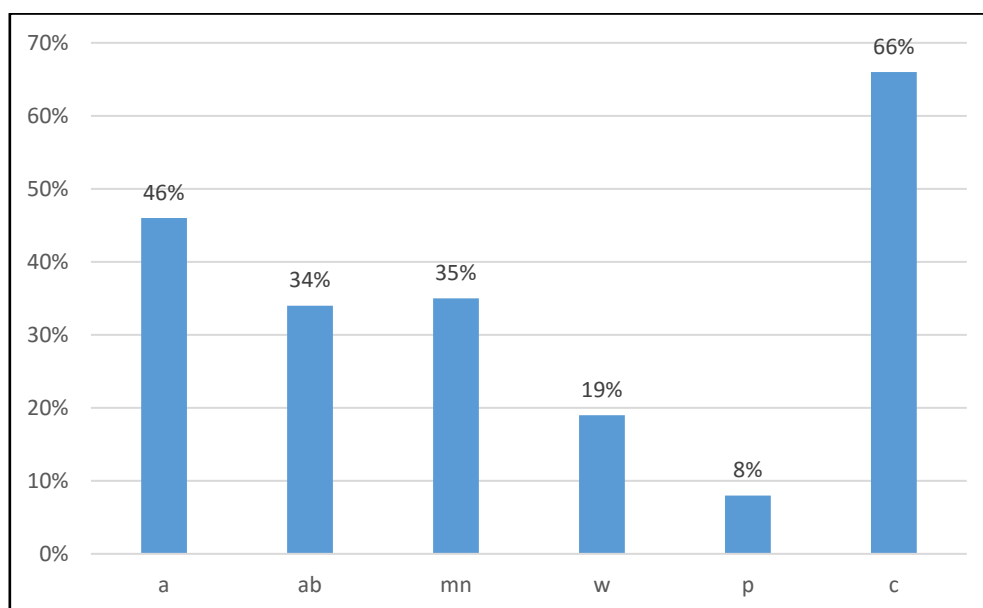


Fig. 23. Cuantificación de las alteraciones observadas. Los porcentajes se han calculado sobre el total de elementos estudiados. a: Marcas de raíces; ab: Abrasiones; mn: Manchas de manganeso; w: Meteorización; p: Superficie pulida; c: Concreciones.

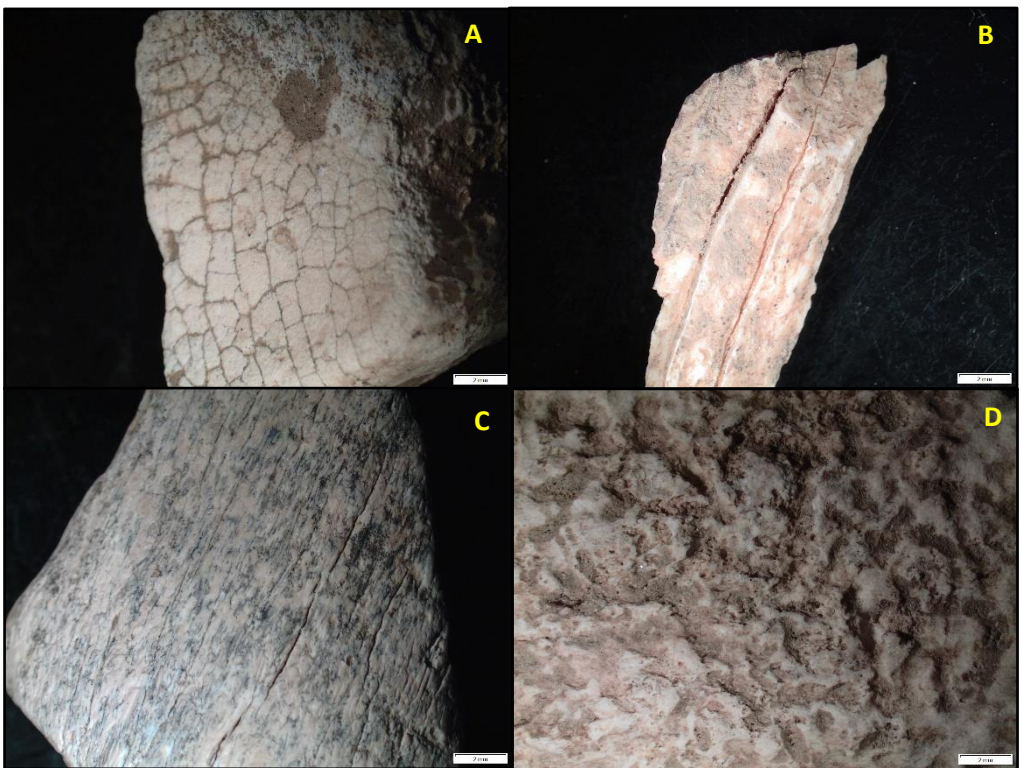


Fig. 24. Evidencias de alteraciones post-deposicionales en el material arqueológico. A: superficie craquelada a causa de meteorización. B: fracturas en seco provocadas por meteorización (gelifracción). C: acción de meteorización y marcas de manganeso en la superficie. D: marcas de raíces

Evidencias de procesamiento antrópico

Se han registrado muy pocos fragmentos con marcas de corte presentes (N=14), la mayoría de las incisiones son de orientación oblicua e intensidad moderada.

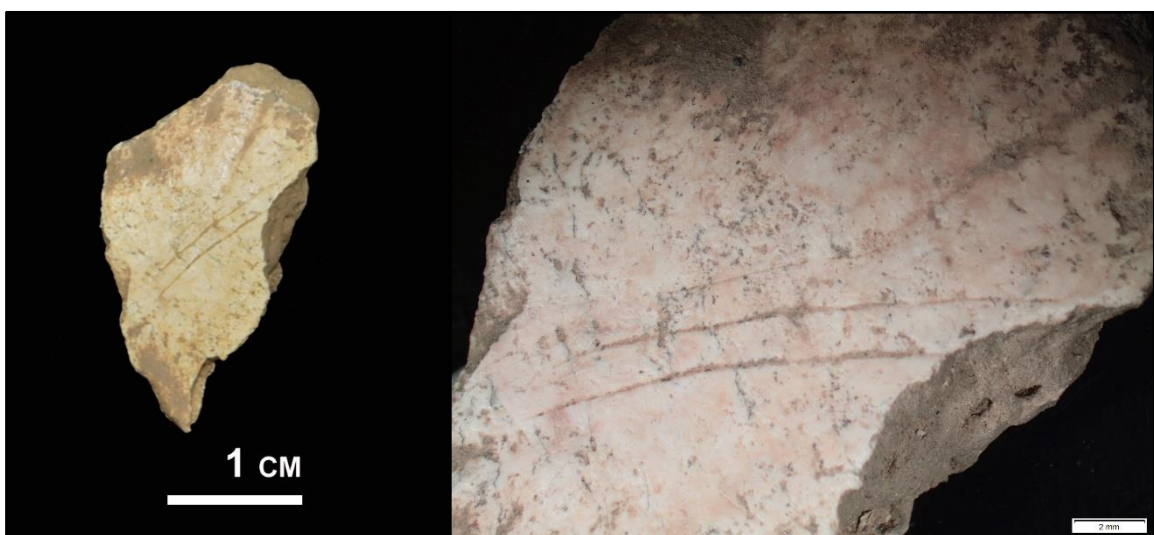


Fig. 25 . Cut marks, detalle. Fauna indeterminada de Montlleó, 6AC-1228. (Izquierda) vista macroscópica. (Derecha) vista a lupa binocular

En cuanto a evidencias de fracturación antrópica, también se han identificado muy pocas seguramente debido al alto grado de alteración post-deposicional del conjunto. Mayoritariamente se han registrado 23 conos de percusión y 20 lascas corticales. También se han documentado, pero muy pocas evidencias, lascas corticales negativas ($N=7$), esquirlas parasitas ($N=1$) e impactos de percusión ($N=7$).



Fig. 26. Ejemplos de evidencias de fracturación antrópica en material de Montlleó. Izquierda: lasca cortical negativa; Derecha: esquirla parasita

Resultados globales en fragmentos de diente

En la identificación taxonómica, se observan en general unas proporciones similares entre los fragmentos pertenecientes a animales de talla grande (23%) y los de talla media (26%), y una baja proporción de talla pequeña (3%). Aunque la mayoría, han sido clasificados como fragmentos indeterminados (47%).

El 75% del conjunto cuenta con evidencias de alteraciones post-deposicionales, siendo la presencia de concreciones la predominante (58%). Seguidamente, un alto número de fragmentos presenta manchas de manganeso (38%), y en proporciones más bajas encontramos las marcas por raíces (17%) y las abrasiones (9%). Sólo en uno de los fragmentos se ha registrado evidencia de afectación por meteorización. En cuanto a termo-alteraciones, se han encontrado 11 fragmentos quemados (4%), todos con coloraciones entre negro y blanco, sobre todo negro ($N=8$).

5. DISCUSIÓN GENERAL

Seguidamente, se explicará en este punto la discusión generada a partir de los resultados. Debido a las dos fases de análisis que se incluyen en este trabajo, la discusión se ha dividido en tres sub-apartados. Un primer sub-apartado donde se discutirán los resultados experimentales, seguidamente otro con la discusión sobre el material arqueológico, y por último una contrastación entre la experimentación y el análisis arqueológico.

5.1. Discusión de los resultados experimentales

Los resultados obtenidos de la parte experimental de este trabajo, nos ayudan a poder determinar una serie de patrones de fragmentación, con el objetivo de averiguar cómo se comportaría un conjunto óseo originado por una acción antrópica.

Se ha podido constatar, como en otros trabajos relacionados con el procesamiento de huesos animales (Blumenschine & Selvaggio, 1988; Todd & Rapson, 1988; Alcántara García *et al*, 2006; Pickering & Egeland, 2006; Fernández-Jalvo y Cáceres, 2010; Karr & Outram, 2012), que los fragmentos producidos por la acción de percutir, presentan un rango de longitudes que van de 20 a 50 mm. Sobre todo, destacan las cantidades comprendidas entre los 20-30 mm, aunque en el caso aquí expuesto, a diferencia de los estudios ya nombrados, el porcentaje más elevado de fragmentos se encuentra entre los que no alcanzan los 20 mm. Hay que tener en cuenta, no obstante, que la mitad de las pruebas que se han llevado a cabo en este análisis, se realizaron con el objetivo de machacar el hueso, hecho que explicaría el registro de longitudes tan poco elevadas. Ya que normalmente, en los otros estudios realizados, el hueso sólo se fractura para la extracción de la médula. Sólo el experimento realizado por Pickering & Egeland (2006) parece constatar unos resultados más aproximados, ya que presenta una gran cantidad de fragmentos en longitudes comprendidas entre los 10-20 mm.

Se observa en los resultados de la experimentación, una alta cantidad de fragmentos identificados como diáfisis de huesos largos, no así de las epífisis (partes articulares). Pero estos resultados podrían estar condicionados por las muestras que sólo se han fragmentado hasta el colapso de la diáfisis, en las cuales no se incidió en fracturar las epífisis, además de la dificultad para fracturar dichas partes, debido a que aun conservaban algo de carne y grasa (Anexo II, fig. 2; 3). Por tanto, en general las epífisis se encuentran menos fragmentadas, y, por lo tanto, se identifican más en fragmento de longitudes mayores a los 100 mm.

Hay que tener también en cuenta, que un 18% (N=91) de los fragmentos no han podido determinarse ni como diáfisis, ni como epífisis. No obstante, esta no determinación, parece más

relacionada con la fragmentación de hueso plano; el 60% de los fragmentos indeterminados se han documentado en la pelvis, más que como posibles fragmentos articulares.

Es por ello, que dentro del estudio se contempla una comparación entre los patrones de fractura generados según sea un hueso largo o un hueso plano. En cuestiones de fracturación realizadas en huesos planos, no se encuentran muchos estudios en los que se contemple este tipo de elemento. Sí que se han podido encontrar, en algunos casos, trabajos como el de Ana Mateos Cachorro (1999b) en el que se analizan las mandíbulas de la cueva de las Caldas (Oviedo), lo cual no sería el ejemplo más aplicable comparativamente a la experimentación de este trabajo, ya que además se trata de un estudio solamente arqueológico.

Para la comparación anatómica de este trabajo (véase apartado 4.1, tabla. 5), se utilizó como ejemplo de hueso plano una pelvis, y como huesos largos, radios/ulnas, fémur, y tibia/fíbula, todos pertenecientes a cerdo. Según el objetivo planteado durante la experimentación, se establecieron dos estrategias: fracturación del hueso para la obtención de la médula, y fracturación y machacado del hueso para su procesado en la extracción de grasas y colágeno, aunque la fractura de los huesos planos siempre se realiza con el objetivo de machacar el hueso. Los datos obtenidos, reflejan que en general los huesos planos se asemejan más en resultados, a los huesos largos procesados también con un objetivo de maximización del hueso. Así pues, los datos obtenidos para la pelvis doblarían las cantidades tanto de fragmentos, como de evidencias antrópicas de procesado, documentadas en huesos largos percutidos sólo hasta el colapso de la diáfisis para la extracción de la médula.

La principal diferencia que se aprecia en los dos tipos de huesos, independientemente del objetivo para el que se han procesado, es el grado de indeterminación a nivel de parte anatómica que se registra en la pelvis. Mientras que los huesos largos, sobre todo en los fracturados para el objetivo 1, la identificación de fragmentos pertenecientes a epífisis y diáfisis es bastante alta¹¹, en la pelvis no alcanza el 20%, por lo que respecta a la identificación del hueso, obteniendo así un muy elevado porcentaje de fragmentos indeterminados.

La experimentación también ha permitido documentar diferencias entre los propios huesos largos. En gran medida los datos obtenidos en la experimentación, concuerdan con los registrados en los estudios de Todd & Rapson (1988) y Pickering & Egeland (2006). Los radios/ulnas serían lo que más cantidad de fragmentos generarían, según Pickering & Egeland

¹¹ Se ha documentado un porcentaje del 100% en los huesos fracturados (no se han registrado elementos indeterminados en los casos utilizados en la comparación), y un porcentaje del 60% en los huesos machacados.

(2006), debido a que se necesitaron más impactos para romperlos, hecho que también se observa en este estudio ya que los radios/ulnas presentan evidencias más elevadas de impactos de percusión. Seguidamente las tibias/fíbulas generarían también cantidades de fragmentos significativas, y después encontraríamos el fémur y húmero en proporciones similares.

Al igual que en los estudios realizados por Blumenschine & Selvaggio (1988) y Pickering & Egeland (2006), la evidencia antrópica mejor representada serían los puntos de impacto. Pickering & Egeland (2006) opinan que normalmente se generan menos puntos de impacto, que impactos se realizan. Esto se debería a que durante la acción de golpear consecutivamente el hueso, muchos de los impactos se realizarán sobre un impacto anterior, cubriendo la evidencia previa. No obstante, a diferencia de los resultados que se podrían esperar, como en el estudio realizado por Blumenschine & Selvaggio (1988) donde se registra un 37% de evidencias de impacto, en esta experimentación se ha documentado hasta un 64% de evidencias. Dicho porcentaje, no obstante, podría deberse a que en ninguno de los dos estudios (Blumenschine & Selvaggio, 1988; Pickering & Egeland, 2006), a diferencia de este trabajo, se han fracturado los huesos hasta machacarlos, hecho que como es de esperar aumenta la cantidad de percusiones que recibirá el hueso.

5.2. Discusión sobre el material arqueológico

Por lo que respecta a los restos arqueológicos procedentes de las excavaciones de Montlleó, lo primero que hemos de destacar es su alto grado de alteración, el cual dificulta en gran medida su clasificación taxonómica o anatómica.

En todo caso, aquellos fragmentos que han podido pseudo-clasificarse, indicarían una caza mayoritaria de animales de talla grande y talla media. Aunque también presentes en la muestra, los animales de talla pequeña habrían tenido una menor importancia. Este dato es consistente con el análisis de los restos determinados, como ya hemos visto en el apartado 2 de este trabajo, las dos especies predominantes serían el caballo y el ciervo, seguidos de pequeños bóvidos como el rebeco o la cabra montés.

En cuanto a la clasificación anatómica, se ha constatado un gran número de elementos indeterminados (31%), y una representación muy elevada de hueso largo (53%). Esto podría indicar que o bien, desde un origen la muestra estaba compuesta por un mayor número de este tipo de hueso, o se conservan mejor que otros tipos de hueso o de partes articulares de estos mismos huesos largos (epífisis). Así pues, hay muy poca representatividad de huesos planos y

articulares, aunque la cantidad de dientes recuperados tanto en el material faunístico indeterminado, como determinado (Mangado *et al.*, 2011), indicarían más bien un aprovechamiento del animal completo en el yacimiento hasta el punto que dicha maximización impide el reconocimiento de determinados huesos o determinadas partes de los huesos. Cabe recordar que huesos planos y articulares, pueden presentar mayor tejido esponjoso, y que ello implique su reducción a elementos anatómicamente no identificables, mientras que las astillas y los fragmentos de diáfisis, son más fácilmente reconocibles a través de la conservación de una mínima parte de la circunferencia del cilindro diafisario.

El conjunto de fragmentos se encuentra dominado en proporciones similares por la fractura en fresco y la fractura en seco. La fractura en fresco la mayoría de las veces, indica que el agente que actuó sobre el hueso para fracturarlo, tiene un origen animal (carnívoros) o antrópico (Johnson, 1985; Blasco, 2011; Karr & Outram, 2012). Aunque no parecen registrarse evidencias significativas de consumo por parte de animales (ni carnívoros, ni roedores), y, por lo tanto, este modelo de fragmentación se podría vincular sin demasiado problema a una actividad mayoritariamente antrópica. La fractura en seco por otra parte, se relaciona con la acción de otros agentes naturales y diagenéticos sobre la estructura ósea.

Todo parece indicar, pues, que se trataría de un conjunto de huesos fragmentados originalmente en estado fresco, pero que se volverían a fracturar posteriormente, a causa de agentes post-deposicionales, mayoritariamente por la acción de las raíces y la meteorización. En el caso de una meteorización grave, esto puede implicar que los restos de fauna estuvieron expuestos a los agentes naturales en superficie durante un tiempo bastante prolongado, aun así, estas alteraciones también pueden producirse una vez enterrado el hueso. Aunque en el análisis de las muestras, la meteorización se ha registrado cuando se encontraban evidencias de exfoliación de la superficie ósea, señales de craquelado, o presencia de estrías longitudinales. Las abrasiones y las superficies pulidas también son indicativo de meteorización. En todo caso, según algunos estudios, la presencia de exfoliaciones sugiere un estado de meteorización grave en las muestras (Johnson, 1985; Lyman, 1994). Las superficies pulidas, por otra parte, pueden indicar movimientos de transporte, y por tanto entrada de material exógeno en el yacimiento. No obstante, la infrarrepresentación de esta evidencia en el conjunto observado en Montlleó, indicaría que el material se generó originalmente donde se ha encontrado.

Pero el conjunto arqueológico también presenta 10% de sus fragmentos termo-alterados. Según los estudios realizados por Stiner *et al.* (1995) los huesos quemados solo indicarían una aproximación entre el hueso y un foco térmico, no una obligada acción antrópica directa, como

cocinar. Normalmente se originan al exponerse cerca de fuegos intensos, llegando a veces a calcinarse. Stiner *et al.* (1995) en base a sus estudios, también constata que si un hueso queda enterrado, aunque sea solo unos centímetros de la superficie, la fase máxima que puede alcanzar es la carbonización. Porcentajes similares de fragmentos termo-alterados se han constatado por ejemplo en la cueva de Santa Catalina (Arribas & Berganza, 2010), situada en Vizcaya, donde la mayor parte de ellos presentan coloraciones negras o blancas, y con unas longitudes menores a los 20 mm. Estas mismas características pueden observarse en los restos encontrados en Montlleó, el 87% de los fragmentos quemados presentan un estado de carbonización, y un 12% calcinación. Los huesos quemados se vuelven más frágiles, y por tanto, más vulnerables a la acción de procesos diagenéticos, además de que la termo-alteración suele provocar la reducción del tamaño del fragmento (Stiner *et al*, 1995). Estas evidencias, podrían indicarnos la posible degradación de parte de los restos de Montlleó a causa de la acción del fuego sumada a otros procesos post-deposicionales.

5.3. Los resultados experimentales aplicados al conjunto arqueológico

La experimentación nos permite reconstruir posibles analogías de lo que esperaríamos encontrar, en un conjunto faunístico originado por acción antrópica. No obstante, aunque la experimentación sirve para explicar los procesos antrópicos, no explica otros procesos de fragmentación que han generado las fracturas en seco, y, en cualquier caso, el presente estudio se ha centrado fundamentalmente en la caracterización de acciones desempeñadas por los grupos humanos del pasado.

Los huesos utilizados durante la experimentación, proceden de restos obtenido de carnicerías, por tanto, han sido refrigerados, para su mejor conservación, hasta que se fracturaron. Estudios sobre el contexto ambiental en el que se encuentra un hueso antes de ser procesado, como los de Karr & Outram (2012), demuestran que los índices de hueso en estado fresco no se ven gravemente afectados por una congelación previa no muy duradera. Sólo se constatan cambios a nivel de la morfología que presenta la fractura (no en el tipo), debido al alto grado de variabilidad en las muestras arqueológicas, no se ha profundizado en análisis de estas morfologías, por tanto, no supone un problema para este trabajo.

Tampoco parece serlo el no poder determinar la edad de los animales procesados en Montlleó. Aunque los huesos utilizados en la experimentación, proceden todos de individuos sub-adultos, Karr & Outram (2012), aseguran no haber encontrado indicios de una diferenciación muy marcada entre los resultados obtenidos de fracturar huesos adultos o subadultos.

Una vez aclarado este punto, me parece importante incidir en los patrones de representatividad anatómica que se observan. Como ya he comentado anteriormente (véase apartado 5.2), la identificación mayoritaria en el conjunto arqueológico, está representada por los huesos largos. En contrastación con los resultados obtenidos de la fragmentación de huesos largos en la parte experimental, se constataría que la determinación de partes anatómicas del hueso largo (epífisis y diáfisis) es elevada. Por tanto, es normal que en el conjunto arqueológico, la identificación de fragmentos de hueso largo sea mayor a la de otros tipos de hueso.

En un principio, esta elevada cantidad de huesos largos documentados en Montlleó, hace más evidente la infrarrepresentación de los huesos articulares (4% de la muestra arqueológica). Si partimos de que al menos cada hueso largo procesado *in situ*, contaría con sus correspondientes epífisis (partes articulares), es difícil pensar que ese 4%, sea el porcentaje original del conjunto. Una posible explicación es que los huesos articulares en un conjunto arqueológico, normalmente se ven más representados por elementos como los tarsos, carpos, falanges, etc. Esto es a causa de que son elementos más difíciles de fracturar, que las epífisis, por los procesos post-depositacionales (Volart, 2013). Algunos de estos elementos han sido documentados en la fauna determinada de Montlleó.

Sin embargo, los resultados de la parte experimental indican que en los huesos largos, entre fragmentos de la diáfisis y epífisis, es complicado diferenciar las partes articulares, y en muchos casos algunas de ellas pueden haberse clasificado como diáfisis, sobre todo en fragmentos de tamaño muy reducido.

Por otro lado, partiendo de la hipótesis en que estas comunidades optarían por una estrategia de maximización de los recursos, los huesos articulares se habrían fracturado hasta ser machacados, y posteriormente hervido para extraer la grasa del tejido óseo esponjoso (Binford, 1978). Este tipo de tratamiento, reduciría mucho el tamaño de los fragmentos articulares, y sumado a la gran afección post-deposicional que sufren los restos de Montlleó, parte del material puede haberse desintegrado.

En el caso de los huesos planos (12%), aunque en un principio la respuesta a su poca representatividad podría haber sido, una posible estrategia de selección de elementos apendiculares por parte de los humanos que ocuparon el yacimiento. Ésta queda refutada por el gran número de dientes registrados, no sólo en las muestras de fauna indeterminada, sino también porque las piezas dentales suponen el grueso de los restos faunísticos determinados.

Por tanto, no tenemos el número de fragmentos de hueso plano que cabría esperar si el animal ha sido procesado por completo en el yacimiento. Esto plantea también, que el causante de esta

infrarrepresentación, sean los procesos post-depositacionales. Pero en este caso, los resultados observados en la fracturación de una pelvis en la fase experimental, hacen que decante por una explicación diferente. Lo que ha podido documentarse en los resultados experimentales, es que el 80% de los fragmentos generados por la pelvis, no han podido determinarse como ninguna parte anatómica. Esto podría sugerir, que posiblemente una gran parte de los fragmentos de hueso plano se encontrarían incluidos dentro del gran porcentaje (31%) de fragmentos indeterminados de la muestra arqueológica. Es decir, no habría una gran pérdida de material, sino una incapacidad de identificar ciertos tipos de hueso tras una maximización de la caracasa. Aunque por supuesto, no descarto que una elevada cantidad de evidencias se hayan desintegrado a causa de procesos diagenéticos.

Por último, en cuanto a las evidencias dejadas a causa de acciones de procesamiento antrópico, los estudios realizados por Blasco (2011), demuestran que la fractura antrópica puede proporcionar un elevado número de elementos que no reflejen indicios diagnósticos de esta acción. Esto se puede constatar tanto en las muestras arqueológicas, como experimentales, ya que la proporción de evidencias es bastante minoritaria. Como es de esperar, en los resultados experimentales, sí encontramos una elevada cantidad de puntos de impacto con respecto al arqueológico. Pero tanto estos resultados, como las proporciones de marcas de cortes, pueden estar muy condicionados en la parte arqueológica, debido a que el 66% de las muestras presentan un alto grado de concreción en la superficie, además de otros tipos de alteraciones que han ocultado, o hecho desaparecer, la cortical de los huesos (raíces, tinción por óxidos de manganeso, etc...).

6. CONCLUSIÓN

Referente al análisis efectuado sobre material arqueológico, la contrastación de marcas de fractura a través de la experimentación, la contrastación bibliográfica tanto en estudios experimentales previos, como en estudios arqueológicos sobre modelos de fragmentación, y en parte también a través de estudios etnoarqueológicos, las conclusiones son:

En primer lugar, y desde una perspectiva metodológica, el estudio de los restos faunísticos no determinados taxonómicamente, permite dar consistencia estadística a los datos procedentes del análisis de los elementos sí determinados, anatómica y taxonómicamente. Teniendo en cuenta, además, que los yacimientos de cazadores-recolectores del paleolítico superior, suelen presentar índices de identificabilidad muy bajos. En mi caso, el estudio corrobora la importancia económica de los diferentes grupos de tamaño animal identificados en el análisis arqueozoológico, aunque de hecho incrementa la importancia de los animales de tamaño medio. Es decir, que encontraríamos un aumento de material faunístico relacionado con el consumo de rebeco y cabra montés, animales poco representados en el estudio de elementos identificados.

Determinadas variables en el estudio de los restos, demuestran una gran alteración en el conjunto óseo de carácter postdeposicional¹², que se observa en el alto porcentaje de fracturas en seco registradas. Por tanto, hay que tener en cuenta una pérdida importante de información de carácter no cultural, causada en su mayoría por la acción de las raíces y la meteorización (sobre todo por la gelifracción). Además del alto grado de concreción, en el que se encuentran los fragmentos de hueso, el cual dificulta la identificación y análisis de muchas de las variables estudiadas.

En materia de cuestiones de interpretación cultural, el estudio permite observar un aprovechamiento intensivo de las carcasas de los animales cazados, de los cuales después de la extracción de la piel y paquetes musculares, la parte esquelética continuó siendo aprovechada con finalidades alimentarias. La contrastación experimental, y la contrastación con datos arqueológicos y también etnográficos, permite observar dos tiempos en el procesado de la parte esquelética.

Primeramente, se realizaría la extracción mecánica de la médula ósea amarilla (o tuétano), muy rica en grasa, con la simple fractura de las diáfisis de huesos largos. En un segundo paso,

¹² Englobando cualquier proceso tanto bioestratinómico, como diagenético, ocurrido una vez el material ha sido abandonado por las comunidades humanas.

cualquier tipo de hueso o parte del hueso, pero especialmente aquellos con mayor tejido esponjoso presente (huesos planos, huesos articulares y epífisis de huesos largos), serían colapsados hasta fragmentos de tamaños ínfimos, de los que se extraería, seguramente a través del hervido (disolución de grasas y proteínas), los últimos nutrientes que contiene el hueso, y que no pueden ser extraídos de forma mecánica, como el colágeno y las grasas de la médula ósea roja.

Todas estas cuestiones, demostrarían que las poblaciones paleolíticas que ocuparon Montlleó, estaban realizando cacerías estratégicas, puede que con un carácter estacional. De las cuales aprovecharían todos los recursos alimentarios disponibles que pueden aportar las carcasas animales, tal vez para el acopio de tales recursos en otras épocas del año donde escaseasen los recursos vegetales, o la caza fuera menor. Estos resultados son consistentes con otros datos arqueológicos, como por ejemplo la situación del yacimiento, o las condiciones climáticas que acontecieron en la época magdaleniense (cronología en la que se ha datado el yacimiento).

Para concluir, espero haber demostrado a través de este trabajo, la importancia del estudio de estos fragmentos óseos tan pequeños y alterados, los cuales quedan muchas veces relegados en las investigaciones arqueológicas, por no poder identificarlos a nivel taxonómico y anatómico.

7. BIBLIOGRAFÍA

- ALCÁNTARA, V., BARBA, R., BARRAL DEL PINO, J., CRESPO, A., EIRIZ, A., FALQUINA, Á., HERRERO, S., IBARRA, A., MEGÍAS, M., PÉREZ, M., PÉREZ, V., ROLLAND, J., YRAVEDRA, J., VIDAL, A. DOMÍNGUEZ-RODRIGO, M. (2006). "Determination of the fracture processes of fresh bone: an analytical system of the angles of fracture planes as an indicator of biotic agents". *Trabajos de Prehistoria*, 63.
- ALIMEN, H. (1966). "Faunes et flores préhistoriques". *Atlas de préhistoire Tome 2*. París: Boubée.
- ARRIBAS, J.L.; BERGANZA, E. (2010). "Los restos óseos quemados del yacimiento tardiglaciado de la cueva de Santa Catalina (Lekeito, Bizkaia). Estudio preliminar." Serie paleoantropología 29: 19-34.
- BINFORD, L. R. (1978). "Nunamiut Ethnoarchaeology". Academic Press. New York.
- BINFORD, L.R. (1980). "Willow smoke and dog's tails: Hunter-gatherer settlement systems and archaeological site formation". *American Antiquity* 45: 4-20.
- BINFORD, L. R. (1981). "Bones: Ancient Men and Modern Myths". Academic Press, New York.
- BLASCO , R. (2011). "La amplitud de la dieta cárnica en el Pleistoceno Medio Peninsular: Una aproximación a partir de la Cova del Bolomor (Tavernes de la Valldigna, Valencia) y del Subnivel TD10-1 de Gran Dolina (Sierra de Atapuerca, Burgos)". Tesis doctoral. Universitat Rovira i Virgili, Tarragona.
- BLUMENSCHINE, R.; SELVAGGIO, M. (1988). "Percussion marks on bone surfaces as a new diagnostic of hominid behaviour". *Nature* 333: 763-765.
- FERNÁNDEZ JALVO, Y., CÁCERES, I. (2010). "Tafonomía e industria lítica: marcas de corte y materias primas". Cuaternario y arqueología: homenaje a Francisco Giles Pacheco, 169-177.
- JOHNSON, E. (1985). "Developments in bone technology". *Advances in Archaeological Method and Theory* vol. 8: 157-235.
- KARR, L.; OUTRAM, A. (2012). "Bone Degradation and environment: Understanding, Assessing and Conducting Archaeological Experiments Using Modern Animal Bones". *International Journal of Osteoarchaeology* 25: 201-2012.
- LYMAN, R.L. (1994). "Vertebrate Taphonomy". New York: 524 p.

LLOVERAS, L.; MORENO-GARCÍA, M.; NADAL, J. (2008). "Taphonomic study of leporid remains accumulated by Spanish Imperial Eagle (*Aquila adalberti*)". *Geobios* 41: 91-100.

LLOVERAS, L.; MORENO-GARCÍA, M.; NADAL, J. (2009). "Butchery, Cooking and Human Consumption. Marks on rabbits (*Oryctolagus cuniculus*) bones: an experimental study". *Journal of Taphonomy*, 7 (2-3): 179 - 201.

MANGADO, X.; MERCADAL, O.; FULLOLA, J.M.; ESTEVE, X.; LANGLAIS, M.; NADAL, J.; ESTRADA, A.; SÁNCHEZ, E.; LACRUZ, S.; GRIMAO, J. (2006) "Montlleó (Prats i Sansor, Cerdanya). El primer jaciment magdalenià a l'aire lliure en altitud al cor dels Pirineus". *Tribuna d'Arqueologia* 2003-2004, 23-44.

MANGADO, X.; MERCADAL, O.; BERGADÀ, M.M.; NADAL, J. ESTEVE.; LANGLAIS, M.; TEJERO, J.M.; ESTEVE, X.; MEDINA, B.; RODRÍGUEZ, N.; GRIMAO, J.; FULLOLA, J.M. (2011) "Montlleó (Prats i Sansor, Cerdanya). Balanç de 10 campanyes d'excavació". *Tribuna d'Arqueologia* 2009-2010: 27-52.

MANGADO, X.; SÁNCHEZ, M.; FULLOLA, J.M.; MERCADAL, O.; RODRÍGUEZ, N.; GRIMAO, J.; LANGLAIS, M.; TEJERO, J.M.; NADAL, J.; BERGADÀ, M. (2015)."Montlleó (Prats i Sansor, la Cerdanya) de la descoberta a la internacionalització". *ERA, revista cerdana de recerca*, 25-36.

MATEOS, A. (1999a). "El consumo de grasa en el Paleolítico Superior. Implicaciones paleoeconómicas: nutrición y subsistencia". *Espacio, Tiempo y Forma, Serie I, Prehistoria y Arqueología* 12: 161-184.

MATEOS, A. (1999b). "Alimentación y consumo no cárnico en el Solutrense Cantábrico: Mandíbulas y falanges fracturadas intencionalmente en el Nivel 9 de la Cueva de las Caldas (Priorio, Oviedo)". *Zephyrus*, 52: 33-52

OUTRAM, A. (2002). "Bone fracture and within-bone nutrients: An experimentally based method from investigating levels of marrow extraction". *Consuming Passions and Patterns of consumption*, P. Miracle, N. Milner (eds.). McDonald Institute for Archaeological Research. Cambridge: 51-63.

PICKERING, T.; EGELAND, C.P. (2006). "Experimental patterns of hammerstone percussion damage on bones: implications for inferences of carcass processing by humans." *Journal of Human Evolution*, 33: 459-469.

QUINTANA, C.A. (2007). "Marcas de dientes de roedores en huesos de sitios arqueológicos de las sierras de Tandilia, Argentina". *Archaeofauna* 16: 161-167.

SÁNCHEZ, M. (2015) "Las sociedades cazadoras-recolectoras del Paleolítico superior final pirenaico: territorios económicos y sociales". Monografías del SERP, 11. 314 p.

SCHMID, E. (1972). "Atlas of animal bones. For prehistorians, archaeologist and quaternary geologist". Elsevier Publishing Company.

SOLOMON, E.; BERG, L.; MARTIN, D. (2008). "Biología". 8^a edición, ed. McGraw-Hill.

STINER, M.C., KUHN, S.L., WEINER, S., BAR-YOSEF, O. (1995). "Differential burning, recrystallization, and fragmentation of archaeological bone". *Journal of Archaeological Science* 22, 223-237.

TODD, L.; RAPSON, D. (1988). "*Long bone fragmentation and interpretation of faunal assemblages: Approaches to comparative analysis*". *Journal of Archaeological Science* 15: 307-325.

VILLA, P.; MAHIEU E. (1991). "Breakage patterns of human long bones". *Journal of Human Evolution* 21: 27-48.

VOLART, E. (2013). "La maximització dels recursos animals durant l'Epipaleolític. El cas dels autopodis d'ungulats de la Balma del Gai". Barcelona: Universitat de Barcelona. Trabajo de final de master. Inédito, 100 p.

WINTERHALDER, B. (1981). "Optimal foraging strategies and hunter-gatherer research in anthropology: Theory and methods". In Winterhalder, B., and Smith, E. A. (eds.), *Hunter-Gatherer Foraging Strategies*. University of Chicago Press, Chicago: 13-35.

YRAVEDRA, J. (2006). Tafonomía aplicada a zooarqueología. Aula Abierta. Universidad Nacional de Educación a Distancia, Madrid

ANEXOS

Anexo I: Fase experimental

- Material y localización



Fig. 1. Patio de la Universidad de Barcelona. Localización donde se efectuó la experimentación.



Fig. 2. Yunques utilizados: 3 planas de piedra calcárea (fila delantera) y 2 angulosos de sílex (fila trasera).



Fig. 3. Percutores utilizados durante la experimentación.

Anexo I

Nº	Percutor	Borde	Material	Medidas (cm)	Peso (g)
1	Nódulo sub-cuadrangular	anguloso	cuarcita	5,9x5,4x4,7	312,5
2	Nódulo sub-redondeado	plano	cuarcita	5x5x59,2	1036,8
3	Nódulo ovoide	plano	cuarcita	7,8x5,8x4,7	301
4	Nódulo sub-cuadrangular	anguloso	cuarcita	8,7x8,2x5,6	647,5
5	Nódulo sub-cuadrangular	anguloso	cuarcita	9,3x8,5x7,5	880,7
6	Nódulo sub-redondeado	plano	calcárea	14x12x8	1838,3
7	Nódulo sub-redondeado	plano	calcárea	14x12x6	1464,2
8	Nódulo ovoide	plano	calcárea	12x10x6	1060,3
9	Nódulo sub-redondeado	plano	calcárea	12x13x8	1549,7
10	Nódulo sub-redondeado	anguloso	calcárea	15x15x8	2002,9
11	Nódulo sub-cuadrangular	anguloso	calcárea	15x11x7	979,3
12	Nódulo sub-cuadrangular	plano	calcárea	18x12x8	2550
13	Nódulo sub-cuadrangular	anguloso	calcárea	14x9x7	533,2
14	Lasca retocada	anguloso	sílex	13,5x8x3,5	421,6

Tabla. 1. Características de los percutores utilizados. Nº: numeración de los percutores

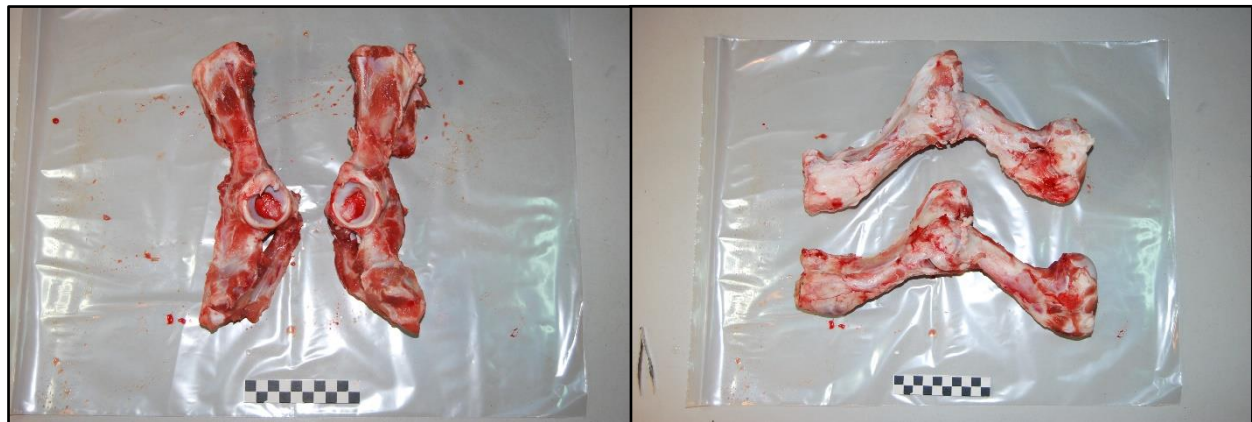


Fig. 4. Huesos de cerdo para fractura. A la izquierda: pelvis; a la derecha: radio/ulna y húmero aún en conexión anatómica

Anexo I

- Proceso de experimentación



Fig. 5. Limpieza de la cortical del hueso estirando la carne con las manos



Fig. 6. Limpieza de la carne aún adherida a la cortical del hueso. Proceso realizado con el raspado de la superficie ósea utilizando una lasca de sílex.



Fig. 7. Desarticulación de huesos en conexión anatómica, con la ayuda de una lasca de sílex. Proceso realizado por dos personas



Fig. 8. Prueba 2; fragmentación de un radio/ulna de vaca con la utilización de un yunque angulosos de sílex, y un percutor plano

Anexo I



Fig. 9. Prueba 2. Vista del hueso después del primer impacto con el percutor, la fuerza del impacto produce una brecha longitudinal en la cortical del hueso. A la izquierda: vista general del impacto; A la derecha: detalle ampliado del punto de impacto.



Fig. 10. Prueba 3; fémur de vaca. Utilización de un percutor con bordes angulosos y un yunque plano



Fig. 11. Primeros impactos en la prueba 3. La fuerza de los impactos no ha sido la suficiente para colapsar el hueso, se han creado hundimientos en la cortical, y generado astillas.

Anexo I



Fig. 12. Cambio de estrategia en la prueba 3. Una persona se encarga de sujetar el fémur, el impacto con el percutor se puede realizar a dos manos, permitiendo una fuerza de impacto mayor. Después de varios golpes el hueso colapsa



Fig. 13. Fémur de vaca colapsado por la mitad de la diáfisis.



Fig. 14. Detalle de la fractura del fémur. Se pueden observar varios puntos de impacto



Fig. 15. Ulna de cerdo fracturada. Se acabaron de separar las partes a través de la técnica *peeling*, la cual consiste en estirar con la ayuda de las manos, hasta que el tejido que sigue uniendo la fractura se separe.

Anexo I



Fig. 16. Ejemplo de máxima fracturación sobre la diáfisis de un hueso de vaca. Se generaron diversas astillas y fragmentos de medidas muy pequeñas durante el proceso de fragmentación.



Fig. 17. Fragmentación de una epífisis (parte articular) con la utilización de dos percutores diferentes. El que presentaba bordes angulosos se apoyó en el hueso, el percutor plano se usó para producir los golpes.

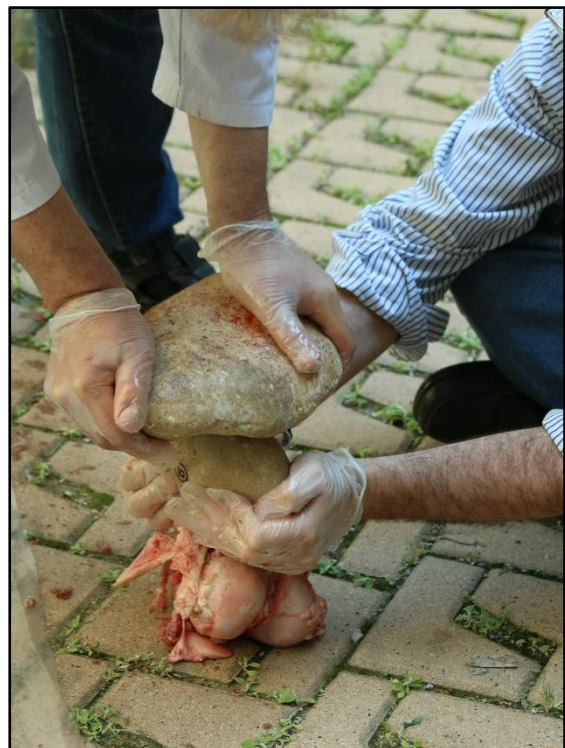


Fig. 18. Utilización de la misma técnica observada en la figura 17. Esta vez con se hicieron servir dos percutores con bordes planos.

Anexo I



Fig. 19. Hueso fracturado utilizando el suelo directamente como base de apoyo.



Fig. 20. Fragmentación en una parte articular, proceso de maximización de los recursos óseos.



Fig. 21. Huesos colapsados por la diáfisis para la extracción del tuétano. Se puede observar que el tuétano es fácilmente accesible sólo fracturando el hueso por la mitad.

Anexo II: Material experimental



Fig. 1. Prueba 2: Radio y Ulna de vaca con la diáfisis colapsada



Fig. 2. Prueba 11: Radio y Ulna de cerdo machacados. Se puede observar la cantidad de astillas que ha generado.



Fig. 3. Prueba 12: Tibia y Fíbula de cerdo. Pocos fragmentos generados, aunque la intención era machacar la muestra.



Fig. 4. Punto de impacto en un fragmento de la prueba 8. La potencia del golpe a craquelado el hueso



Fig. 5. Fragmentos generados en la prueba 3.

Anexo II

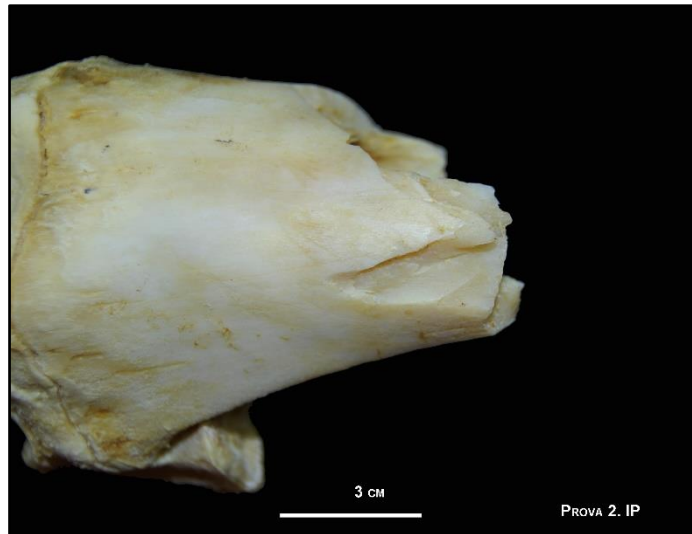


Fig. 6. Diversos puntos de impacto.



Fig. 7. Lasca cortical negativa.



Fig. 8. Brecha longitudinal causada por la fuerza de los impactos

Anexo III

Anexo III: Base de datos

- Arqueológica

Ref	Quadrat	Nº coor	Taxa	Anatòm	Costat	Part	Edat	Frac t	Fract ant	CM	Burnt	Diges	Carniv	L màx	Altres	Observacions
Mo'15	6af	1082	in	dent		f		in						16,1	mn-c	
Mo'15	8ad	1244	ss	lb		3		ff						15,4	mn-p	
Mo'15	6ad	1427	ms	in				ff						22,6	w	
Mo'15	6ac	1277	in	dent		f		in						17,6	c	
Mo'15	8ag	0596	ab	in				in						11,1	mn	
Mo'15	7ac	1775	ls	lb		3		ff						34,3	w-mn	
Mo'15	6ae	1110	in	in				ff						14,7	mn-w	
Mo'15	7ac	1772	ls	lb		3		ff						41,6	a-ab-mn	
Mo'15	7ab	0872	in	in				ff	cp					19,4	c	
Mo'15	6ac	1158	ms	mandíbul a		2-3		df	2om					27,2	ab	mandíbula
Mo'15	6af	1065	in	in				in						17,2	mn	
Mo'15	7ab	0882	in	in				ff						17,2	a-mn	
Mo'15	6af	1059	ms	fb				df						15,4	mn	
Mo'15	7ac	1698	in	dent		f		in						14,4		
Mo'15	7ae	1385	in	in				df			4			06	c	
Mo'15	7ae	1385	in	in				df						08	w	
Mo'15	6ac	1131	ms	lb		3		ff						36,1	w-ab-mn	
Mo'15	5ac	0017	in	ab				in						14,8	c	
Mo'15	5ac	0017	in	dent		f		in						09	mn	
Mo'15	6af	1064	in	lb		3		in						29,8	mn-c	
Mo'15	6ac	1466	ls	lb		3		ff						51	mn-p-ab	
Mo'15	6ad	1456	ms	lb		3		mf						32,7	mn-a	
Mo'15	6ad	1456	ms	in				ff						31,1	mn	
Mo'15	7ab	0989	in	in				df						25,4	ab	
Mo'15	5ae	0101	in	in				ff						24,4	mn	
Mo'15	5ae	0101	in	in				ff						16,1	mn	
Mo'15	5ae	0101	in	in				ff						07	c	
Mo'15	7ad	1533	ms	lb		3		ff						26,1	mn	
Mo'15	7ad	1533	in	in				ff						15,5	mn-ab	
Mo'15	7ad	1533	in	in				mf						12,2	c	
Mo'15	7ad	1522	in	in				ff						15,9	p	
Mo'15	8ae	1365	ss	lb		3		ff						11,1	mn	
Mo'15	8ad	1346	in	in				ff			3			14,4		
Mo'15	8ad	1332	ms	in				in						23,7	mn	

Anexo III

Mo'15	8ae	1328	ls	lb		3		ff			3			26,1		
Mo'15	6ac	1497	ls	in				df						26,1	ab	
Mo'15	8ad	1326	ls	lb				ff						20,5	mn	
Mo'15	8ae	1378	in	in				in						21,1	mn	
Mo'15	8ae	1378	in	in				in						18,3	ab	
Mo'15	6af	1133	ms	ab				ff						20,9	mn-ab	
Mo'15	6af	1133	ms	lb		3		df						27,2	mn	
Mo'15	6af	1133	ms	in				df						18,3	ab	
Mo'15	6af	1133	ss	lb		3		ff						10,5	mn	
Mo'15	6af	1133	in	in				df						14,8	mn	
Mo'15	6af	1133	in	in				mf						10,5	mn	
Mo'15	6af	1100	ls	lb		3		ff						50	ab-mn	
Mo'15	6ac	1391	ls	lb		3		ff						52	w	
Mo'15	6ac	1391	ms	lb		3		ff						48,3	mn-w	
Mo'15	6ac	1391	ms	lb		3		ff						30,9	c	
Mo'15	6ac	1391	ls	lb		3		ff						51	mn-w	
Mo'15	7ae	1398	ms	dent		f		in			3			18,8		
Mo'15	8ae	1348	ss	lb		3		ff						13,3	mn	
Mo'15	7af	1381	in	in				in						13,3	mn	
Mo'15	7af	in	in	in				mf						09	c-mn	
Mo'15	8ae	1384	ms	lb		2		ff						26,5	mn	
Mo'15	8ae	1384	ms	in				ff						23,7	p	
Mo'15	8ae	1384	ms	lb		2		ff						32,6	ab-mn	
Mo'15	8ae	1384	in	in				ff						17,2	p	
Mo'15	8ae	1384	ms	lb		3		ff						24,4	mn-w	
Mo'15	8ae	1384	ss	lb		3		ff						17,2	mn	
Mo'15	8ae	1384	in	in				ff			3			19,4		
Mo'15	8ae	1384	in	in				ff			3			10,5		
Mo'15	5ae	79	ms	lb		3		ff						31,6	c-mn	
Mo'15	6ac	1270	ms	lb		3		ff						26,1	mn-w	
Mo'15	8ac	1466	ms	lb		3		df						40,4	ab	
Mo'15	6af	1074	in	in				in			3			11,1		
Mo'15	6ae	1062	in	in				ff						15,4	mn	
Mo'15	6ae	1062	in	in				ff						18,2	mn-p	
Mo'15	6ae	1062	in	in				ff						15,4	mn	
Mo'15	7ad	1459	ls	lb		2-4		df						45,4	mn	
Mo'15	8ag	0578	ms	in				ff						32,2	c	
Mo'15	8ag	0578	ms	in				ff						20,5	mn-c	
Mo'15	8ag	0578	in	in				ff						16,1	mn	
Mo'15	7af	1388	ms	lb		2-4		df						23,3	ab-w-p	
Mo'15	7af	1388	ms	lb		3		ff						24,3	w-mn	
Mo'15	7af	1388	in	in				mf						18,3	mn-c	
Mo'15	6af	1067	in	lb		3		ff						19,4	mn-c	
Mo'15	7ag	0985	ms	lb		3		ff						36,1	ab-a	

Anexo III

Mo'15	7ae	1410	ms	in				ff					17,2	w-c	
Mo'15	7ae	1410	ms	in				in					17,6	mn-c	
Mo'15	7ae	1410	in	in				ff					10,5	mn	
Mo'15	5ad	0057	ss	lb		3		ff					16,1	mn-c	
Mo'15	5ad	0057	in	in				df					17,2	p	
Mo'15	8ad	1305	ms	lb				ff		3			16,1		
Mo'15	6ad	1428	ms	lb		3		ff					26,1	mn	
Mo'15	6af	1034	ms	lb		3		ff					31,1	w-mn	
Mo'15	7af	1340	ms	lb		3		ff					27,2	w-c-mn	
Mo'15	7af	1340	ms	lb		3		ff					19,4	w-mn	
Mo'15	6af	1072	ms	dent		f		in					12,2	mn	
Mo'15	8ac	1429	in	in				mf					09	mn	
Mo'15	8ac	1429	in	in				ff					12,2	ab	
Mo'15	6ac	1258	ls	dent		f		in					14,4	mn	podria ser cavall
Mo'15	6ae	1116	ms	in				ff					12,2	w	
Mo'15	6ae	1116	ss	in				ff		3			10,5		
Mo'15	8ac	1474	ms	fb				df					17,2	c	
Mo'00	6af	0488	ss	lb		3		ff		5			13,8	c	
Mo'00	6af	0196	ms	in				df					34,3	w-a-ab	
Mo'00	6af	0196	in	in				df					14,4	c	
Mo'00	6af	0387	ms	in				ff					32,2	w-c	
Mo'00	6af	0239	ms	lb		3		ff					38,3	a-c	
Mo'00	6af	0110	ms	lb		3		ff		30m			55	a-ab	
Mo'00	6af	0487	ss	lb		3		ff					15,5	mn	
Mo'00	6af	0358	ms	in				ff					15,4	ab	
Mo'00	6ae	0322	ms	lb		3				3			19,8	w	
Mo'00	6ae	0338	ms	lb		3		ff					21,1	mn-w	
Mo'00	6af	191	ms	fb				ff		4			23,3	mn	
Mo'00	6ae	0086	in	in				df		3			12,2	c	
Mo'00	6af	0090	ms	lb		3		ff					24,4	a	
Mo'00	6af	0090	ms	lb		3		ff					23,2	a	
Mo'00	6ae	0209	ms	lb		3		ff					30,5	a	
Mo'00	6ae	0199	ms	lb		3		ff					21,5	c-mn	
Mo'00	6ae	0083	ms	in				df					24,4	a	
Mo'00	6af	0413	ss	lb		3		df					30,4	c-mn-w	
Mo'00	6ae	0102	ss	lb				ff					15,4	mn	
Mo'00	6ae	0114	in	in				df		3			14,8	w	
Mo'00	6ae	0399	ss	dent		f		in					13,7	mn	
Mo'00	6ae	51	in	in				df		3			13,3	a	
Mo'00	6ae	0342	ms	lb		1		mf					14,4	c	
Mo'00	5ae	0055	ms	fb				ff					17,1	c	
Mo'00	6ae	0267	ms	fb		3		df					14,4	mn	
Mo'00	6af	0418	ms	lb		3		ff					14,4	a-c	
Mo'00	6af	0150	in	in				ff					10,5	a	

Anexo III

Mo'00	6af	0117	ms	lb		3		ff					37,2	a-c	
Mo'00	6af	0497	in	in				ff					21,1	w-mn-c	
Mo'00	6ae	0136	in	in				ff			3		23,3	c	
Mo'00	6af	0487	ss	lb		3		ff					15,5	mn-w	
Mo'00	6ae	0199	ms	lb		3		ff					26,5	c-a	
Mo'00	6af	0123	ms	in				ff			3		21,1	c	
Mo'00	6ae	0049	ms	in				ff			3		16,1	c	
Mo'00	6ae	0162	in	in				ff		4lm	3		14,4	c	
Mo'00	6af	0394	ms	ab				ff					18,2	a-mn	
Mo'00	6ae	0333	ms	lb		3		ff					34,4	mn-w-c	
Mo'00	6af	0397	ss	in				ff					10,4	mn-c	
Mo'00	6af	0496	in	in				ff					23,2	mn-ab	
Mo'00	6af	0047	in	in				in					05	mn	
Mo'00	6ae	0407	ms	in				ff					19,3	mn	
Mo'00	6af	0469	in	in				df			3		13,7	a	
Mo'00	6af	0424	ms	lb		3		ff					22,2	w-a-c	
Mo'00	6af	0158	ms	lb		3		ff			3		20,5	a	
Mo'00	6ae	0091	ms	in				df					18,3	a-ab	
Mo'00	6af	0353	in	in				ff					17,2	ab-mn	
Mo'00	6af	0195	ms	lb		3		ff			3		21,1	w	
Mo'00	6af	0295	in	in				df					24,3	a-ab-c	
Mo'00	7ag	0622	ss	lb		3		ff					13,2	c-ab	
Mo'00	7ah	0422	ms	lb		2-4		ff					33,2	a-ab-c	
Mo'00	8ae	0884	in	in				ff					20,4	c	
Mo'00	7ag	0597	ms	in				ff					17,2	c	
Mo'00	4ah	0238	ms	in				ff					17,2	mn-c	
Mo'00	7af	0820	ss	lb		3		ff					08	c-mn	
Mo'00	8af	1058	ms	lb		3		ff					16,1	mn-a	
Mo'00	8af	1161	ms	in				ff	cp		3		12,2		
Mo'00	7ag	0625	ms	in				df					16,1	c-mn	
Mo'00	7af	0649	ms	lb		3		ff					14,4	a-c	
Mo'00	4ah	0152	ms	lb				ff					20,9	c-w	
Mo'00	7ag	0600	ms	lb				ff					17,2	c	
Mo'00	7ag	0593	in	in				in					16,6	a-ab-c	
Mo'00	7ag	0593	ms	ab				in					13,7	a-c	
Mo'00	7ad	0440	in	in				ff					12,2	w-c	
Mo'00	8af	1257	ms	lb		3		df					13,7	c-mn	
Mo'00	4ah	0156	ms	lb				ff			3		15,4	c-w	
Mo'00	7af	0858	ms	d		f		in					17,2	c-mn	
Mo'00	7ag	0537	ms	lb		2-4		df		1os			19,5	c	macro dubtosa
Mo'00	8ae	0711	ss	lb		3		ff					12,2	mn-w	
Mo'00	8ac	0716	ms	lb		3		ff					17,1	mn-w	
Mo'00	7ad	0429	in	in				ff					14,8	mn-c-w	
Mo'00	7ag	0527	ms	lb		3		df					14,4	a-c	

Anexo III

Mo'00	7agt	0527	in	in			in					11,6	c-a	
Mo'00	8ab	0638	ms	d		f	ff		3			09		
Mo'00	7ag	0598	in	in			df					12,2	c	
Mo'00	7af	0810	ms	lb		3	ff					21,6	mn-c-a	
Mo'00	7ag	0619	ms	lb		3	ff					14,8	c	
Mo'00	8ad	0525	in	in			mf					15,5	mn-c-p	
Mo'00	7ah	0418	ms	in			in					20,4	ab	
Mo'00	7ag	0579	ms	fb			df					18,7	a-c	
Mo'00	8ac	0754	ms	d		f	ff					14,7	mn	
Mo'09	7af	0488	ms	lb		3	ff					18,7	c	
Mo'09	9ab	0225	ms	lb		1-5	ff					15,4	c-mn	
Mo'09	7af	0719	ms	lb		3	ff					24,8	w-mn	
Mo'09	7af	0732	ls	dent		f	in					21,5		
Mo'09	8ad	0550	ls	lb		3	ff					35,9	c	
Mo'09	8ad	0508	ms	in			df					17,2	c	
Mo'09	7ag	0526	ms	lb			ff					20,4	c	
Mo'09	7ad	0451	ms	lb		3	df					16,5	mn-w	
Mo'09	7ad	0437	in	in			ff					13,7	w-mn	
Mo'09	7af	0781	in	in			mf					10,4		
Mo'09	7ad	0450	in	in			in					14,4	ab	
Mo'09	7ad	0454	ls	dent		f	in					15,9	mn	
Mo'09	8ad	0641	in	in			mf					13,7	ab-mn	
Mo'09	9ab	0236	ms	lb			mf					42,1	ab-a-c	
Mo'09	7af	0509	in	in			ff					18,7	c	
Mo'09	7af	0710	in	lb			mf					15,5	c-mn	
Mo'09	9af	0406	in	in			ff		3			08	c	
Mo'09	7af	0593	in	in			ff					15,4	cn	
Mo'09	8ab	0542	in	in			ff					15,4	c-mn	
Mo'09	8ad	0521	in	in			in					13,2	ab	
Mo'09	7af	0485	ss	lb			ff					13,3	mn-ab	
Mo'15	6ac	1297	ms	in			df		4tm			20	rt	a discutir. separada per foto (JN: que és la T?)
Mo'15	6ac	1451	in	in			in					40	ab-mn-w	
Mo'15	6ac	1455	ls	lb		3	ff					46	mn	
Mo'15	7ae	1415	ms	in			df					28	mn	
Mo'15	7ae	1415	ls	lb		3	ff					30	mn	
Mo'15	7ae	1446	in	in			df					10		
Mo'15	7ag	1022	ms	in			df					11	mn	
Mo'15	7ag	1022	ms	in			ff					19	mn	
Mo'15	6ac	1513	ms	fb			df					26,5	w-mn-a	
Mo'15	7ae	1432	ms	lb		3	ff					19	mn-a	
Mo'15	7ae	1432	ms	dent		f	in					11,3	mn	
Mo'15	7ae	1432	ss	fb			in					12	mn	
Mo'15	7ae	1432	ms	lb			in					13	w-ab	
Mo'15	7ac	1916	ls	lb		3	ff					27,9	mn	

Anexo III

Mo'15	7ac	1916	ms	ab			in					18,6	p	epifisi, rodat
Mo'15	7ac	1916	ms	lb		3	ff					22		
Mo'15	7ac	1916	ms	in			df					17,4	ab	
Mo'15	7ac	1916	in	in			ff					23		
Mo'15	7ac	1916	in	in			in					16		
Mo'15	7ac	1916	ms	lb		3	ff					16,2	w-mn	
Mo'15	7ac	1916	ms	fb			ff					11	a-w	possible apòfisi de vèrtebra
Mo'15	5ac	0037	ls	lb		3	ff	lcn				33	w-mn	
Mo'15	6ag	0505	ss	lb		3	ff					09	mn	
Mo'15	6ag	0505	ms	in			in					06	w-mn	
Mo'15	8ac	1290	ls	lb		3	ff					52	mn-ab-a	
Mo'15	6ac	1280	ls	lb		3	ff					46,6	w-mn-ab-a	
Mo'15	7ad	1553	ls	lb		3	ff	lcn				41	mn-a-w-p	
Mo'15	6ac	1228	ms	fb			in					30,5	mn-p	
Mo'15	8ac	1457	ms	fb			ff					18,6	mn-w	podria ser frag. costella
Mo'15	8ac	1451	ms	ab			df					20,5	a-w-mn-ab	
Mo'15	8ac	1449	ms	lb		3	df					22,5	a-ab-mn	
Mo'15	8ac	1449	ms	lb		3	ff					25	a-ab-mn	
Mo'15	6ab	452	ls	lb		3	ff					35,5	mn-a	
Mo'15	8ac	1470	in	dent		f	in					07	mn	
Mo'15	7ad	1586	in	lb		3	in					18	mn-w-c	
Mo'15	7ad	1586	ls	lb		3	ff					28,6	mn-a	
Mo'15	6ac	1249	ms	ab			in					17,4	mn-p	
Mo'15	7ac	1750	in	lb		3	ff		3			16	ab	
Mo'15	8ac	1482	ls	lb		3	ff		2-3			18,8	a-mn	
Mo'15	7ac	1733	ls	fb			ff					37	a	esquerdes postdepositacionals
Mo'15	8ac	1462	ls	lb		3	in					22	mn	
Mo'15	7ab	0977	ms	lb		3	ff					31,8	mn-w-ab	
Mo'15	8ae	1340	in	lb		3	mf					13,3	mn	
Mo'15	6ag	0520	ls	lb		3	ff					30,2	mn-w-a	
Mo'15	6ag	0507	ls	fb			in					21	mn-ab	
Mo'15	6ag	0507	ls	fb			ff					16,5	mn-ab	
Mo'15	6ag	0507	in	lb		3	ff		3			16	c	
Mo'15	8ac	1335	ls	lb		3	ff					60	a	
Mo'15	8ad	1298	ms	fb			in					25,5	mn-a	
Mo'15	7ac	1518	ms	lb		4	ff					19,6	mn-w-a	
Mo'15	7ac	1518	ls	lb		3	in					25	a-ab-p	
Mo'15	7ac	1518	in	dent		f	in					08	mn	
Mo'15	7ad	1538	ls	lb		3	ff					28,5	w-mn-a	
Mo'15	6ac	1367	ls	lb		3	ff					36,8	p-mn	
Mo'15	7ac	1728	ls	dent		f	in					31	mn	hi ha una osca
Mo'15	8ac	1390	ls	lb		3	ff					60	mn-a-ab	
Mo'15	8ac	1390	ls	lb		3	ff					19	a-ab	

Anexo III

Mo'15	8ad	1335	ls	lb		3		ff					34,4	a-w-mn	
Mo'15	7ac	1638	in	in				in					21,6	a-w-mn	
Mo'15	8ae	1336	in	in				ff					19,5	a-mn	
Mo'15	6ae	1038	ms	ab				in					18,3	mn	
Mo'15	6ae	1038	ms	lb		3		ff					28,5	mn-a	
Mo'15	6af	0091	ms	lb		3		ff					25	a-c	
Mo'15	6ae	0209	in	lb		3		in					30	a-c	
Mo'15	6af	0080	in	in				ff					12	ab-c	
Mo'15	6af	0402	ms	lb		3		df					11,5	a-c	
Mo'15	6ae	0056	in	in				df		3			09	c-ab	
Mo'15	6af	0462	ls	lb		2-4		in		3-4			17	p	
Mo'15	6af	0462	in	in				in					14,4	mn-c	
Mo'15	6af	0462	ls	lb		3		ff					31	mn-w	
Mo'15	6af	0462	in	in				in					13	ab-a	
Mo'15	6af	0462	ms	lb		3		ff		3			11,3	a-w	
Mo'15	6af	0462	ms	lb		3		in	lmn				11	a	
Mo'15	6af	0462	ss	lb		3		in					10	a	
Mo'15	6af	0462	ms	lb		3		ff					17	a	
Mo'15	6af	0462	in	in				in		3			09	w-ab	
Mo'15	6af	0462	in	in				in		3-4			04	ab	
Mo'15	8ad	1341	ls	fb				in					32	a	en 2 frags. moderns
Mo'15	6ab	0145	ms	lb		3		in					33	mn	
Mo'15	6ad	0145	lb			3		mf					23	a	
Mo'15	6ab	0145	ms	fb				df					30	a	encara presenta arrels
Mo'15	6ab	0145	ms	lb		3		ff					25	mn	
Mo'15	6af	1025	ls	lb		3		df					40	mn	
Mo'15	7ac	1890	ls	ab				df					17	p	en 2 frags.
Mo'15	8ac	1485	ms	in				df		3			15	in	
Mo'15	6ad	1438	ls	lb		3		ff					31	a	
Mo'15	7ac	1898	ls	lb		3		ff					31	mn	
Mo'15	7ac	1747	ls	lb		3		df					29	p	
Mo'15	8ad	1342	ms	lb		3		df					24	mn	2 frags
Mo'15	8af	1579	ls	lb		3		ff					64	mn	
Mo'15	8af	1579	ms	lb		3		ff					15	mn	
Mo'15	8af	1579	ms	in				ff					09		
Mo'15	8ac	1438	ls	dent		f		in					19		
Mo'15	7af	1389	ms	in				mf					11	mn	
Mo'15	7af	1389	ss	in				in					11		
Mo'15	8ae	1367	ls	lb		3		mf					30	mn	
Mo'15	8ae	1367	ms	lb		3		mf					15	mn	
Mo'15	5ac	0068	ms	lb		3		df					30	a	
Mo'15	5ac	0068	ms	lb		3		df					21	p	
Mo'15	5ac	0068	ms	lb		3		ff					24	mn	
Mo'15	5ac	0068	ms	lb		3		ff					10	mn	

Anexo III

Mo'15	5ac	0068	ss	in			ff					12	mn	
Mo'15	5ac	0068	ms	lb		3	ff					14	mn	
Mo'15	8ac	1446	ms	in			df		3			10		
Mo'15	8ad	1223	ms	lb		3	mf					16		
Mo'15	8ad	1223	ms	lb		3	ff					18	ab-w	
Mo'15	8ad	1223	ms	lb		3	ff		3			12	c	
Mo'15	8ad	1223	ss	in			df		4			09		
Mo'15	8ad	1223	ss	in			df		3			06	ab	
Mo'15	8ad	1223	ss	fb			ff					14	mn	
Mo'15	8ad	1223	ss	lb		3	ff					09		
Mo'15	8ad	1223	ss	in			df					10	mn	
Mo'15	8ae	1391	ms	ab			in					11	mn-w	
Mo'15	8ae	1391	ms	lb		3	df		3			15		
Mo'15	8ae	1391	ms	lb		3	in					14	w-ab	
Mo'15	8ae	1391	ms	in			ff		3			13	ab	
Mo'15	6ac	1221	ls	lb		3	df					24	ab-p-mn	
Mo'00	6ae	0461	ss	lb		3	ff					09	mn-a	
Mo'00	6ae	0461	ss	in			ff					12	mn	
Mo'00	6ae	0461	ms	in			df					14	mn	
Mo'00	6ae	0461	ss	in			df					13	p	
Mo'00	6ae	0461	ss	lb		3	mf					12	p	
Mo'00	6ae	0461	ss	in			ff		3			13		
Mo'00	6ae	0461	ss	in			ff		3			06		
Mo'00	6ae	0461	ms	lb		3	ff					14		
Mo'00	6ae	0461	ms	lb		3	ff					14	p-a	
Mo'00	6ae	0461	ms	lb		3	ff					11	a	
Mo'00	6ae	0461	ms	lb		3	df					14	mn	
Mo'00	6ae	0461	in	dent		f	df					12		podria ser ms o ls
Mo'00	6ae	0461	ss	lb		3	ff					09	mn	
Mo'00	6ae	0461	in	lb		3	df		3			15		
Mo'00	6ae	0461	ms	lb		3	ff					27	mn	
Mo'00	6ae	0461	in	lb		3	ff					11	mn	
Mo'09	8ae	0788	in	in			mf					12		
Mo'09	7af	0648	ms	in			df					14	mn	
Mo'09	8ae	0757	ms	lb		3	mf					16		
Mo'09	8ae	0764	ms	dent		f	ff					11		
Mo'09	7af	0647	msb	lb		3	ff					16		
Mo'09	7af	0646	ms	lb		3	ff					20	mn	
Mo'09	7af	0588	ls	lb		3	ff					43		
Mo'09	7af	0605	in	in			ff		3			10	p	
Mo'09	8ae	0900	ls	lb		3	ff		3			22	p	
Mo'09	8af	1283	in	in			df					09	mn	
Mo'09	7ag	0397	ms	in			df		3			07	p	
Mo'09	7ag	0390	ms	lb		3	df					17	a	

Anexo III

Mo'09	7ah	0428	ls	lb		3		df					27	a-p	
Mo'09	9af	0410	in	in				df					14	a	
Mo'09	7ag	0406	ls	in				mf					18	a-p	
Mo'09	8af	1292	in	in				df					17	w	
Mo'09	8af	1286	ss	in				ff		3			06		
Mo'09	8af	1289	ms	lb		3		ff					23	mn	
Mo'09	8af	1294	in	in				df					15	w	
Mo'09	8af	1295	ls	in				df					21	a-mn	
Mo'09	7ab	0434	ls	lb		3		df					30	c	
Mo'09	9af	0408	ms	lb		3		in					22	ab-a	
Mo'09	9af	0408	in	in				ff					16	ab-a	
Mo'09	9af	0408	ms	lb		3		ff					21	ab-a	
Mo'09	7ag	0408	ss	lb		3		ff		3			12		
Mo'09	9af	0416	in	lb		3		mf					10	a	
Mo'00	6ae	0206	ls	in				ff					14	a-w	
Mo'00	6af	0202	ls	lb		3		ff		3			24	a	
Mo'00	6af	0116	ls	lb		3		ff					32	a-ab	
Mo'00	5ae	0084	in	in				ff					12	a	
Mo'00	5ae	0084	in	in				ff		3			06		
Mo'00	6af	0024	ls	lb		3		ff					38	a-mn-ab	
Mo'00	6af	0024	ls	lb		3		ff					21	a	
Mo'00	6af	0024	ls	lb		3		ff					31	a-mn	
Mo'00	6af	0024	ls	lb		3		ff					29	a-mn-ab	
Mo'00	6af	0024	ls	lb		3		ff					11	ab-mn-a	
Mo'00	6ae	0347	ls	lb		3		ff					20	ab-mn	
Mo'00	6ae	0347	ls	lb		3		ff					12	mn	
Mo'00	6ae	0088	ls	lb		3		ff					23	a-mn	
Mo'00	6af	0186	ls	lb		3		ff					25	a-ab	
Mo'00	6af	0186	ls	lb		3		ff			2-3		24		
Mo'00	6af	0186	in	dent		f		in					13		
Mo'00	6af	0186	ls	lb		3		ff					12	a-mn	
Mo'00	6af	0186	ls	lb		3		ff					21	ab	
Mo'00	6af	0186	ls	lb		3		ff					18	a-ab-mn	
Mo'09	8af	1193	ls	lb		3		ff					28	a-w	
Mo'09	8ae	0703	ms	lb		3		ff					12	a	
Mo'09	8ae	0712	ms	ab				ff					18	a-w	
Mo'09	8ad	0523	ss	lb		3		ff					13	mn-w	
Mo'09	8ad	0523	ss	lb		3		ff					11	mn	
Mo'09	8ad	0523	ss	lb		3		ff					08	mn-ab	
Mo'09	8ae	0780	ms	fb				ff					14	a	
Mo'09	9ae	0156	ls	lb		3		ff		3			11		
Mo'09	9ae	0156	ms	lb		3		ff					12	ab	
Mo'09	9ae	0156	ms	lb		3		ff					14		
Mo'09	9ae	0156	ms	lb		3		ff					11	a	

Anexo III

Mo'09	8af	1165	ms	lb		3		ff					17	a	
Mo'09	8ac	0771	ls	lb		3		ff					12	mn-w	
Mo'09	8ac	0771	ls	lb		3		ff					12	mn-w	
Mo'09	8af	1171	ls	lb		3		ff					18	a	
Mo'09	7ag	0553	ms	lb		3		ff					14	mn	
Mo'09	8af	1185	ls	fb				ff					11	a	
Mo'09	7ad	0463	ls	lb		3		ff					20	c	molt concrecionat
Mo'09	8ae	0765	ms	lb		3		ff					17	a	
Mo'09	7af	0418	ss	lb		3		ff					09	mn-w	
Mo'09	7ad	0465	ls	lb		3		ff					11	a-mn	
Mo'09	7af	0415	ss	lb		3		ff					10	w	
Mo'09	7af	0403	ss	lb		3		ff					09	mn-w	
Mo'09	8ad	0635	ls	lb		3		ff					13	a-mn	
Mo'09	7ag	0432	ms	lb		3		ff					18	a-w-mn	
Mo'09	8af	1125	ms	lb		3		ff					15	a-mn-w	
Mo'09	8ac	0810	ls	fb				ff					22	a-mn	
Mo'09	7ad	0468	ms	lb		3		ff					10	mn-w	
Mo'09	8ac	0814	ms	lb		3		ff					13	w-mn-a	
Mo'09	8ac	0814	ms	lb		3		ff					16	a-mn-w	
Mo'09	7af	0422	ss	lb		3		ff					16	w-a	fragmentat en 2
Mo'09	8af	1147	in	in		3		ff					23	a-mn	
Mo'09	8af	1136	in	fb				ff					06	m	altres fragments que es podrien associar
Mo'09	8af	1106	in	in									3		teixit esponjós
Mo'09	8ag	460	in	lb		3		ff					17	a	
Mo'09	7af	0400	in	lb		3		ff					21	a-mn-ab	
Mo'09	8ac	0677	ls	fb				ff					13	mn-a	amb fragments cremats no analitzats (')
Mo'09	8ac	0761	ls	fb				ff					10		
Mo'09	7af	834	ls	lb		3		ff					33	a- mn	
Mo'09	7af	0834	ls	lb				ff					27	a-mn	
Mo'09	8af	1304	in	in				ff					16	a	
Mo'09	7ag	0681	in	in				ff					18	a-mn	
Mo'09	7af	0611	in	in				ff					22	a-mn	
Mo'09	7af	0611	in	in				ff					21	w-a-mn	
Mo'09	8ae	0987	ls	lb		3		ff					26	a-ab	
Mo'09	8ae	0987	ls	lb		3		ff					39	a-mn	
Mo'09	8ac	0765	in	in				ff					13	mn	
Mo'09	8ac	0765	in	in				ff					10	mn-a	
Mo'09	7ae	0649	in	in				ff					18	mn-w	
Mo'09	7ae	0503	in	fb				ff					08		
Mo'09	7ae	0522	in	in				ff					13	mn-a	
Mo'09	7ag	0400	ls	in				in					14	c	molt concrecionat
Mo'09	7ag	0400	ms	lb		3		ff					15	w-a	
Mo'09	7ag	0400	in	in				ff					14	w-mn-a	fragmentat en 2
Mo'09	7ae	0646	ls	lb		3		ff					20	mn-w	

Anexo III

Mo'09	7ae	0640	in	fb				ff					16	mn	
Mo'09	7ae	0633	in	in				df					26	a-w-mn	
Mo'09	7ae	0641	in	in				ff					18	mn-w	
Mo'09	7ae	0641	in	in				ff					13	w-mn	
Mo'09	7ae	0641	in	in				ff					16	mn-w-c	
Mo'09	7af	0634	ls	lb		3		ff					25	a-mn	
Mo'09	4ah	00293	in	lb		3		ff					19	a-w	
Mo'09	4ah	0295	in	lb		3		ff					23	w	
Mo'09	4ah	0295	in	fb				ff					13		
Mo'09	4ah	0295	in	lb		3		ff					19	a-ab	
Mo'09	4ah	0295	in	in				ff					18	mn-w	
Mo'15	6ae	1125	in	in				df					11		
Mo'15	6ae	1125	in	in				df					13	mn	
Mo'15	6ae	1125	ms	fb				ff					11	a-mn	
Mo'15	8ae	1357	ms	lb		3		ff					13	mn	
Mo'15	6ad	1376	in	ab				df					14	c	en diversos frags actuals
Mo'15	8ae	1272	ls	fb				ff					40	w-a-ab	
Mo'15	8ae	1272	ls	fb				df					15	w-a-ab	
Mo'15	8ae	1272	in	in				df					24	mn-c	
Mo'15	8ae	1272	in	in				df					16	mn	
Mo'15	8ae	1272	in	in				mf					13	w-mn	
Mo'15	8ae	1272	in	in				mf					14	mn	
Mo'15	6ae	1118	ls	in				df					21	ab-mn	
Mo'15	6ae	1118	ls	in				df					16	w-ab	
Mo'15	6ae	1118	ls	fb				df					13	w-mn	
Mo'15	6ae	1118	ls	lb		3		df					30	w-ab	
Mo'15	6ae	1118	in	fb				ff					16	w-a	
Mo'15	6ae	1118	in	in				mf					10	w	
Mo'15	7ac	1774	ms	lb		3		df				tpi	32	w-a	separada per foto
Mo'15	8af	1482	ss	lb		3		ff					19	a	
Mo'15	8af	1482	in	fb				mf					15	w-ab	
Mo'15	8af	1482	in	fb				mf					14	w-ab	
Mo'15	8af	1482	in	fb				mf					12	w-ab	
Mo'15	6ad	1452	in	in				df					23	w	
Mo'15	6ad	1452	in	in				df					21	w	
Mo'15	6ad	1452	in	in				mf					20	w	
Mo'15	6ad	1452	in	in				mf					20	w	
Mo'15	6ad	1452	in	in				ff	lcp				13	w-mn	
Mo'15	7af	1344	ms	lb		3		ff					16	w	
Mo'15	7af	1344	in	in				in					09	w	
Mo'15	7af	1344	in	in				in					09	w	
Mo'15	8ae	1333	in	ab				mf					10	w	
Mo'15	8af	1550	ms	lb		3		ff					18	w-mn	
Mo'15	8af	15550	ms	lb		3		df					08	w-mn	

Anexo III

Mo'15	8af	1550	ms	lb		3		df					10	w-mn	
Mo'15	8af	1550	in	in				in					14	mn	
Mo'15	6ad	1412	ls	lb		3		df					32	w	
Mo'15	6ad	1412	in	lb		3		ff					25	c	
Mo'15	7ae	1382	in	ab				in					13		
Mo'15	7ae	1382	in	lb		3		df					23	w-mn-c	
Mo'15	7ae	1382	ls	in				df					13	w	
Mo'15	7ae	1382	ms	fb				df					12	w	
Mo'15	6af	1026	ms	lb		3		df					26	w-mn-c	
Mo'15	7ab	0842	ls	dent		f		in					15	mn	possible Equus
Mo'15	7ab	0842	in	in				ff					20	w-mn-c	
Mo'15	7ab	842	in	in				in					14	c	
Mo'15	7ab	0842	ms	dent		f		in					12	mn	
Mo'15	7ab	842	in	in				df					12	ab-mn	
Mo'15	6ae	1060	ms	lb		3		ff					24	mn	
Mo'15	6ae	1060	ms	in				ff	lcp				13	mn-ab	
Mo'15	6af	1128	in	ab				in					16		
Mo'15	7ag	1029	ms	lb		3		df					17	w-a-ab	
Mo'15	7ag	1029	in	ab				in					12	w	
Mo'15	7ag	1029	in	in				mf					11	c	
Mo'15	7ag	1029	ms	lb		3		df					21	w-mn	
Mo'15	7ag	1029	ms	lb		3		df					12	w-mn	
Mo'15	7ag	1029	ms	lb		3		df					13	w-mn	
Mo'15	7ag	1029	in	in				ff	lcp				13	w	
Mo'15	7ag	1029	in	ab				in					12	w-ab	
Mo'15	7ag	1029	in	lb		3		df	2				17		
Mo'15	6ad	1448	in	lb		3		ff					15	mn	
Mo'15	6ad	1447	ms	lb		3		ff					32	mn	en 3 frags moderns
Mo'15	6ad	1447	ms	lb		3		ff					16	a	
Mo'15	6ad	1447	in	ab				mf					09		
Mo'15	6ad	1447	in	in				df					13	w	
Mo'15	7af	1355	in	in				in					17	w-mn	
Mo'15	7af	1355	in	in				df					09	w	
Mo'15	8ad	1270	in	fb				ff					12	a	
Mo'00	6af	0198	in	in				in		4			14		
Mo'00	6af	0198	ls	fb				df		4-5			16	c	
Mo'00	6af	0198	ls	fb				df		5			15		
Mo'00	6af	0198	ls	ab				df		5			21	div. fragments de la mateixa peça	
Mo'00	6af	0197	ls	lb		3		ff	lcp				34	a	
Mo'00	6af	0413	ms	fb		2		df					30	w-c	
Mo'00	6af	0406	ms	lb		3		ff					22	a-w	un parell de frags associables
Mo'00	6ae	0053	ls	lb		3		df		3			24	a-c	
Mo'00	6af	0147	ms	lb		3		ff					51	a	
Mo'00	6af	0358	in	fb				ff					16	a	

Anexo III

Mo'00	6ae	0086	in	in			in			3			12	w	
Mo'00	6ae	0338	ms	lb		3	ff						21	w-mn	
Mo'00	6ae	0322	in	in			in			3			18,5	w-p	
Mo'00	6af	0090	ms	fb			ff						25	a	
Mo'09	7ag	0377	in	fb			mf						17	c	
Mo'09	7ag	0379	in	in			df						07	w-a-mn	div. fragments que remunten
Mo'09	8ae	0704	ms	lb		3	in						25	w-a-ab-p	
Mo'09	7ac	0633	in	in			in			3			06	c	
Mo'09	4ah	0216	ms	fb			ff						23	w	
Mo'09	4ah	0215	in	lb		3	ff						23	w-a	
Mo'09	8ac	0773	ls	lb		3	in			3			18	w-a	
Mo'09	7ac	0547	in	in			in						26	w-a	
Mo'09	4ah	0217	in	ab			in			3			12	c	
Mo'09	8ac	0786	in	lb		3	df						13	w	
Mo'09	4ah	0219	ls	lb		3	ff						24	w-c	
Mo'09	8af	1179	ls	in			ff	lcp					21	a	
Mo'09	7af	0715	ms	lb		3	ff						27	w-a	
Mo'09	8ad	0509	ls	fb		2	in						20	w-a	ident. anatòmica dubtosa
Mo'09	7af	0511	in	dent		f	in						08		fragment esmalt
Mo'09	7af	0786	in	in			mf						07	c-mn	
Mo'09	7af	0783	ms	lb		3	ff						14	c-mn	
Mo'09	8ae	0768	ms	lb		3	ff	lcn					21	c	
Mo'09	7ae	0592	ms	in			in	lcp					11	c	
Mo'09	8af	1176	in	in			ff						11		
Mo'09	8af	1184	ls	in			ff						18	w-mn	
Mo'09	8ae	0990	ls	lb		3	ff						25	a	
Mo'09	8af	1082	ls	dent		f	in						04		frag. esmalt rugós . resta passada als det.
Mo'09	8ae	0991	ls	lb		3	ff						56	a	
Mo'09	8af	1085	ls	fb			in						18	ab	
Mo'09	8af	1071	in	in			ff	lcp					20	w-mn	
Mo'09	7af	520	in	fb			ff						17	w-mn	
Mo'09	7af	0540	in	fb			ff						11	w-a	
Mo'09	7ae	0621	ms	dent		f	in						06		fragment esmalt
Mo'09	7ae	0626	in	in			ff			3			12		
Mo'09	7ag	0486	in	in			ff						21	c	
Mo'09	7ag	0461	ms	lb		3	ff						43	w-a	
Mo'09	8af	1088	ms	dent		f	in						07		
Mo'09	7ae	0579	ms	fb			ff						11		
Mo'09	8af	1092	ss	lb		3	ff						15	w-a	
Mo'09	7ae	0576	ls	dent		f	in						12	mn	
Mo'09	7ae	0519	in	in			ff	lcp					07		
Mo'09	7ae	0583	in	in			ff						17	w	
Mo'09	8af	1087	ms	in			in						15	w-ab-p	
Mo'09	8ac	0793	in	in			df			3			11	w	

Anexo III

Mo'09	8af	1258	ms	lb		3		ff					15	w-ab-a	
Mo'09	8ab	0526	ms	lb		3		ff			3		16	w-a	
Mo'09	8ab	0525	ls	lb		3		ff					36	w-c-mn	
Mo'09	8ah	1154	in	in				in					16	w-c	
Mo'09	8ab	0600	ms	fb				ff					17	w-mn	
Mo'09	7ae	0605	ms	lb		3		ff			3		12	c	
Mo'09	8ab	0566	ls	dent		f		in					09		per rugositat esmalt
Mo'09	8ae	0948	ms	lb		3		in					09	w	
Mo'09	8ae	0941	ms	lb		3		ff					13	a-mn	
Mo'09	8ae	0947	in	in				in					18	c	
Mo'09	8af	1298	in	in				in					16	ab	
Mo'09	8ac	0822	ls	ab				in			3		15		
Mo'09	8ae	0953	ls	ab				mf					17	w	
Mo'09	8ae	0955	ls	lb		3		df					38	w	
Mo'09	7ad	0640	in	lb		3		df					17	c	
Mo'09	7af	0827	ms	fb				in					10	w	
Mo'09	7ag	0698	in	in				in			3		06		
Mo'09	8af	1116	ms	lb		3		ff					20	w-a	
Mo'09	7af	0832	in	in				in					11	w	
Mo'09	7ag	0697	in	in				in			3		06		
Mo'09	7af	0806	ms	dent		f		in					17	mn-c	fragment esmalt petit bòvid
Mo'09	8af	1129	ms	lb		3		mf					13	c	
Mo'09	8af	1313	in	in				in					10	mn	
Mo'09	7ad	0675	ls	in				ff					13	ab	
Mo'09	7ag	0426	ms	lb		3		in					25	w-ab-a	
Mo'09	8ag	0484	ms	fb				in					11	ab	
Mo'09	8ag	0475	in	in				in			3		11	c	
Mo'09	8ad	0596	ms	lb		3		in					29	w-a-ab	
Mo'09	7ad	0598	in	in				ff					16	w-a	
Mo'09	8ae	0701	ls	lb				in					16	w-ab-a	
Mo'09	4ah	0269	ms	fb				ff					13	w-c	
Mo'09	4ah	0270	ms	lb		3		in					21	w-a	
Mo'09	8af	1145	ms	lb		3		ff	lcp				27		
Mo'09	4ah	0284	ms	lb		3		ff					20	a	
Mo'09	7ae	0552	ls	in				ff	lcp				21	a	
Mo'09	4ah	0256	ms	lb		3		ff					25		
Mo'09	7af	0417	in	in				ff					13		
Mo'09	7ae	0478	in	in				in			3		08		
Mo'09	7ae	0422	ms	d		f		in					05		fragment esmalt
Mo'09	7af	0396	ms	lb		3		in					19	c	
Mo'09	8af	1035	ms	fb				ff			1(2)l m		18		
Mo'09	8af	1135	ms	lb		3		ff					16	a	en 2 frags moderns
Mo'09	8af	1036	ls	fb				in					31	w-a	en 2 frags moderns

Anexo III

Mo'09	7af	0824	in	dent		f		in					07		fragment esmalte
Mo'09	7ae	0479	in	in				in			3		14		
Mo' (?)	9ac	0438	ls	fb				in					20	w	
Mo'09	7af	0441	in	fb				in					20	c	
Mo'09	7ag	0422	in	lb		3		ff					22		
Mo'09	8ac	0721	in	in				in					15	w-p	
Mo'09	8ad	0660	in	in				in					20		
Mo'09	9ac	0414	in	in				in					09	c	
Mo'09	8ad	0599	ms	lb		3		ff					22		en 2 frags moderns
Mo'09	4ah	0190	ls	in				in		3			08	c	
Mo'09	7af	0779	in	in				in					13	ab	
Mo'09	4ah	0248	ls	lb		3		ff					27	a	
Mo'09	7af	0429	ss	lb		3		in					24,9	c	
Mo'09	8af	1143	lb	in		3		mf					36,6	c-ab	
Mo'09	8af	1143	in	lb		3		in					18,7	c	
Mo'09	8af	1143	in	lb		3		mf					20,4	c	
Mo'09	7ae	0530	in	lb		3		ff					23,5	c-p	
Mo'09	8af	1240	ms	lb		3		ff					19,9	w-c-ab	
Mo'09	8af	1246	ms	lb		3		ff					20,1	a-mn	
Mo'09	8ad	0587	ss	lb		3		df					19,2	c	
Mo'09	9ac	0433	ss	lb		3		in					12,3	p	
Mo'09	9ac	0433	ss	lb		3		in					12,8	p-ab	
Mo'09	7af	0338	ms	lb		3		ff					25,2	c	
Mo'09	7af	0334	in	lb		3		df					15,1	c	
Mo'09	8af	1218	ms	fb				df					18,1	p-mn-a	
Mo'09	7ae	0598	ms	lb		3		ff					34,4	p-a-w	
Mo'09	7ac	0580	ms	lb		3		ff					29,1	c	
Mo'09	9ad	0304	ls	lb		3		in					27,7	ab	
Mo'09	4ah	0191	ls	lb		3		ff		3			18,6	c	
Mo'09	4ah	0186	ss	lb		3		mf					14,8	c	
Mo'09	8ac	0665	ms	lb		3		ff					20,5	mn-c-a	
Mo'09	9ab	0244	ms	in				in					29,8	ab-c	
Mo'09	8ac	0667	in	in				in					21,1	ab	
Mo'09	8ad	0568	in	in				in		3			09		
Mo'09	7ag	0447	ms	lb		3		ff					13,5	c	
Mo'09	9af	0415	ms	lb		3		in					16,9	ab	
Mo'09	8ag	0412	ms	lb		3		ff					13,1	c	
Mo'09	7ae	0483	ms	fb				ff					11,4	c-mn-a	
Mo'09	9ab	0238	ms	lb		3		ff					46,2	c-a-ab	
Mo'09	4ah	0182	ms	lb		3		ff					21,5	c-ab	
Mo'09	8ae	0729	ms	lb		3		df					16,1	mn-w	
Mo'09	8af	1297	ss	lb		3		ff					13,1	a-c	
Mo'09	8ae	893	in	in				ff					16,1	c-mn	

Anexo III

Mo'09	8ae	903	in	in				mf					17,5	c-w	
Mo'09	8ae	0896	in	dent			f	in					13,6	mn	
Mo'09	4ah	0189	ls	lb		3	ff						45,1	c-a-ab	
Mo'09	4ah	108	ls	lb		3	ff						39,1	w-c-ab	
Mo'09	7af	0851	ss	lb		2	ff						13,1	c	
Mo'09	4ah	0187	ss	lb		3	ff						15,1	c	
Mo'09	8ae	727	ms	lb		2	ff						24,3	p-w	
Mo'09	7ag	0413	ss	lb		3	df						10,1	c	
Mo'09	7ag	0398	ms	lb		3	ff						12,3	c-ab	
Mo'09	4aa	0184	in	lb		3	ff						20,1	c	
Mo'09	8ag	0433	ss	lb		3	df						19,1	c	
Mo'09	8ad	0561	ms	lb		3	ff						25,1	c-w	
Mo'09	7ag	0548	ms	lb		3	df						19,4	a-ab-c	
Mo'09	8ae	0823	ms	ab			in			3			12	w3	
Mo'09	7ah	0415	ls	lb		3	ff						55	a-ab-c	
Mo'09	7af	0487	ss	lb		3	df			3			07		
Mo'09	7ag	0602	ls	lb		3	ff						15,7	c	
Mo'09	7ac	0596	ms	dent		f	in						08	mn	
Mo'09	8ag	0413	ms	lb		3	ff						17,1	ab-c	
Mo'09	8ag	0419	ms	lb		3	mf						26,4	c-ab	
Mo'09	8ae	0877	in	lb		3	in			3-5			08		
Mo'09	7ae	0460	ls	lb		3	ff						26,1	c-a-ab-w	
Mo'09	8ae	0787	ss	in			ff					tpu	10,1	c	
Mo'09	7af	0853	ss	lb		3	ff						20,1	c	
Mo'09	7af	853	ss	lb		3	in						21,1	p-c	
Mo'09	7af	0853	ms	in			ff						14,1	ab-c	
Mo'09	7af	0853	in	lb		3	in						11,1	c-w	
Mo'09	7af	0853	ss	lb		3	ff						13,1	p-c	
Mo'09	8af	1301	ss	lb		3	mf						11,7	c	
Mo'09	7ag	0446	ms	lb		3	ff						20,9	ab-c	
Mo'09	8ad	0531	ss	ab			df			3			08	c	
Mo'09	7ag	0517	ms	lb		3	ff						20,2	c-ab	
Mo'09	8ac	0770	ss	lb		2-4	in						12,1	c-ab	
Mo'09	8ac	0770	ss	lb		3	ff						11,1	c	
Mo'09	7ag	0557	ls	in			ff						33,1	a-mn	
Mo'09	7ag	0365	ss	lb		3	ff						11,7	c-ab	
Mo'09	7ad	0638	ms	fb			ff						16,4	c-mn	
Mo'09	7af	0814	in	in			in						11,5	ab-c	
Mo'09	8ab	0620	ss	lb		3	ff						15,1	w-mn	
Mo'09	8ab	0620	ss	lb		3	ff						09	mn	
Mo'09	7ad	0623	ms	lb		3	ff						22,8	mn-c-ab	
Mo'09	7ac	0607	in	in			ff			3			05		
Mo'09	7ac	0607	in	in			ff			3			06		
Mo'09	8ae	0822	ms	lb		3	ff						38,7	ab-a-w	

Anexo III

Mo'09	7ad	0595	ms	lb		3		in					16,8	ab-c	
Mo'09	8ae	0751	ms	lb		3		in					31,7	ab	
Mo'09	7ah	0441	ms	lb		3		df					tpu	17,5	ab-a
Mo'09	7ah	0441	ms	fb				in					16,3	c-a	
Mo'09	7ah	0441	ms	lb		3		df					19,1	w-c	
Mo'09	7ah	0441	in	lb		3		ff					20,4	c	
Mo'09	7ag	0656	ss	lb		3		df		3			08		
Mo'09	7af	0831	ms	in				ff					21,1	c	
Mo'09	8ad	0539	ms	lb		3		in					27,6	c-ab	
Mo'09	7ae	0430	in	lb		3		in					16,1	c-mn	
Mo'09	7ae	0452	ms	lb		3		ff					11,1	c-a	
Mo'09	7ac	0611	in	dent		f		in					08		
Mo'09	7ac	0611	ms	lb		3		mf					14,5	c	
Mo'09	7ac	0611	ss	in				df					12,1	mn-c-ab	
Mo'09	7ac	0611	ms	in				in					14,1	c-mn-a	
Mo'09	7ac	0611	ss	fb				df					09	c-mn	
Mo'09	7ac	0611	in	lb				in					10,8	c-mn	
Mo'09	7ae	0429	ms	lb				df					18,1	mn-c-a	
Mo'09	7ag	0533	ms	in				in					18,1	c-ab	
Mo'09	7ag	0533	in	in				ff					16,1	c-ab	
Mo'09	7ae	0864	ms	dent		f		in					18,1	mn-a	
Mo'09	7af	0s0s	ss	fb				mf					13,1	c	
Mo'09	7ag	0535	ls	lb		3		df					15,1	c-ab-a	
Mo'09	8ad	0524	ms	dent		f		in					04	c-mn	
Mo'09	8ad	0524	ms	dent		f		in					07	mn	
Mo'09	8ad	0524	ms	dent		f		in					05	c	
Mo'09	7ag	0519	ms	ab				in					18,2	c	
Mo'09	7ag	0519	ms	ab				ff					16,2	c-ab	
Mo'09	7ag	0519	ms	ab				in					14,7	c	
Mo'09	7ad	0456	ms	lb		3		mf					12,7	ab-a-mn	
Mo'09	7af	0724	ls	lb		3		ff					25,5	c	
Mo'09	7af	0520	ms	lb		3		in					12,1	c	
Mo'09	7af	0717	ss	lb		3		ff					21,1	c	
Mo'09	7ad	0455	in	in				in					09		
Mo'09	7ag	0588	ms	lb		3		df					16,1	c	
Mo'09	7ag	0588	ms	lb		3		df					16,1	c	
Mo'09	7ag	0588	ms	lb		3		df					17,1	c	
Mo'09	7ag	0588	ms	lb		3		df					14,8	c	
Mo'09	7ag	0588	ss	lb		3		in					14,6	c	
Mo'09	8ae	0745	ss	lb		3		mf					08	c	
Mo'09	7af	0507	ms	lb		3		in					16,1	c-mn-a	
Mo'09	7ae	0527	ss	lb		3		in					11,4	mn-c	
Mo'09	7ag	0375	in	lb		3		mf					13,4	c	
Mo'09	7ad	0422	ms	fb				df					13,6	c-mn	

Anexo III

Mo'09	7ad	0447	ss	fb			ff					09	mn	
Mo'09	8ae	0740	ls	dent		f	in					13,1	c	
Mo'09	8ad	0516	ms	fb			df					19,7	ab-c	
Mo'09	8ad	0516	ms	lb		3	in					17,6	ab-c	
Mo'09	7af	0712	ms	lb		3	ff					27,7	c-ab-mn	
Mo'09	4ah	0234	ms	lb		3	mf					19,1	c	
Mo'09	7af	0736	ms	lb		3	ff					34,8	c-a	
Mo'09	8ad	0510	ls	lb		3	ff					16,2	a-c	
Mo'09	8ad	0543	in	lb		3	in					16,1	c-ab	
Mo'09	7af	0787	ss	lb		3	ff					09	c	
Mo'09	7af	0733	ss	lb		3	ff					16,1	c	
Mo'09	7af	0789	ms	lb		3	ff					14,6	c	
Mo'09	8ad	0540	ls	lb		3	df					15,5	c-mn-a	
Mo'09	8ad	0548	in	in			df			3		10,1	c	
Mo'09	8ad	0519	ls	lb		3				3		19,1	c	
Mo'09	7af	0734	ms	lb		3	in					22,1	c-w-ab	
Mo'09	7af	0727	ss	lb		3	ff					11,4	c-w	
Mo'09	7af	0725	ss	lb		3	ff					20,1	c-ab	
Mo'09	7af	0728	ms	lb		3	df					21,7	c-a	
Mo'09	7af	0726	ms	lb		3	in					16,1	mn-c	
Mo'09	7ag	0364	ms	lb		3	mf					13,1	c	
Mo'09	8ae	0741	ms	lb		3	in			3		11,3	c	
Mo'09	8ad	058	ls	lb		3	in					13,1	p-mn-a	
Mo'09	7af	0480	ms	lb		3	ff					13,9	c	
Mo'09	7ag	0580	in	dent		f	in					12,1		
Mo'09	7af	0479	ms	lb		3	in					13,7	ab-c-mn	
Mo'09	7af	0460	in	dent		f	in					10,1	mn	
Mo'09	7ab	0340	ms	ab			mf					13,2	c	
Mo'09	8ad	0545	ms	lb		3	ff					20,7	c	
Mo'09	7af	0517	ss	lb		3	ff					15,7	c-ab	
Mo'09	7ac	0589	ms	lb		3	ff					25,8	mn-ab-a-w-c	
Mo'09	8af	1066	in	dn		f	in					08		
Mo'09	7af	0519	ms	lb		3	df			3		12,9	c	
Mo'09	7af	0516	ms	ab			ff					15,5	c	
Mo'09	9ae	0143	ss	lb		3	ff					10,1	c-mn-a	
Mo'09	7af	0501	ms	lb		3	in					13,1	c	
Mo'09	7af	0623	ss	lb		3	ff					13,1	c	
Mo'09	7af	0475	ls	lb		3	ff					19,1	w-mn-a	
Mo'09	7af	0587	in	lb		3	in					12,9	c	
Mo'09	7af	0591	in	in			mf					15,9	c	
Mo'09	4ah	0153	ls	lb		3	ff					15,8	a-p-c	
Mo'09	7af	0464	ss	lb		3	mf					14,1	c	
Mo'09	7af	0610	ss	lb		3	in					13,5	c	
Mo'09	7af	0491	ss	lb		3	in					13,1	c	

Anexo III

Mo'09	8ac	0785	ls	lb		3		df					18,1	a-c	
Mo'09	8ad	0538	ms	in				in					22,2	a-c	
Mo'09	8ad	0542	ms	lb		3		df			3		10,2	c	
Mo'09	8af	1260	ls	lb		3		ff					35,1	c-w-a	
Mo'09	8af	1280	ls	lb		3		ff					44,6	c-w-ab-a	
Mo'09	8ac	0784	ls	lb		3		in			3		15,1	c-p	
Mo'09	7ag	0520	in	in				in					16,9	c	
Mo'09	7ag	0541	ms	lb		3		fe					15,1	c-a-mn	
Mo'09	8ae	0851	ms	lb		3		df					34,1	c-ab	
Mo'09	8ae	0851	ms	lb		3		ff					31,9	c-ab-a-mn	
Mo'09	7ag	0554	ss	lb		3		ff					14,7	c	
Mo'09	8ab	0635	in	dent		f		in					08	mn	
Mo'09	7a	0442	ms	lb		3		ff			3-5		18,1	ab-c	
Mo'09	7af	0629	ms	lb		3		ff					36,1	a-c	
Mo'09	7ad	0541	ss	lb		3		ff					19,1	mn-ab-c	
Mo'09	7ad	0541	ms	fb				ff					19,7	a	
Mo'09	7ad	0541	ss	lb		3		in					12,5	p-mn-c	
Mo'09	7ad	0541	in	in				ff					14,6	mn-c	
Mo'09	8ae	0837	ms	lb		3		in					16,9	c	
Mo'09	8ae	0850	ss	lb		3		ff					16,8	c-mn	
Mo'09	7af	0853	ls	lb		3		ff					26,9	mn-a-ab-w	
Mo'09	7af	0506	ls	lb		3		ff					16,1	c	
Mo'09	9ae	0146	ls	lb		3		df					16,7	c-mn	
Mo'09	8ad	0520	ls	ab				in					17,2	c-mn	
Mo'09	7af	0784	ms	lb		3		ff					23,7	c	
Mo'09	8ae	0835	ms	lb		3		ff					36,7	c-a	
Mo'09	8ae	0835	in	lb		3		ff					29,1	c-a	
Mo'09	7af	496	ms	lb		3		ff					16,6	a-c-w	
Mo'09	7af	0495	in	dent		f		in					08	mn	
Mo'09	7ag	0582	ms	lb		3		df					13,6	c-ab	
Mo'09	8ae	0834	ms	lb		3		df					12,7	c-ab	
Mo'09	8ac	0738	ms	dent		f		in					11,7	mn	
Mo'09	8ae	0908	in	dent		f		in					09	c-mn	
Mo'09	8ae	0912	ls	lb		3		ff					10,1	c-a-mn-p	
Mo'09	8ae	0901	ms	lb		3		in					13,1	c	
Mo'09	7ag	0371	in	in				in					19,1	c-a-ab	
Mo'09	7ag	0546	ls	lb		3		ff					20,7	c-ab	
Mo'09	7af	0478	ls	lb		3		ff					19,1	c-mn	
Mo'09	8af	1272	ms	lb		3		in					19,3	p-c-a	
Mo'09	8af	1273	ls	dent		f		in					12,4	c-mn	
Mo'09	8af	1269	in	lb		3		df					20,1	c-ab-w	
Mo'09	8af	1267	ms	in				ff					14,2	c-mn-w	
Mo'09	8af	1268	ms	in				in					17,1	c-ab	

Anexo III

Mo'09	8af	1261	ms	lb		3		df					19,8	c-a-w	
Mo'09	8af	1153	ms	lb		3		df					16,1	c-ab	
Mo'09	8af	1153	ms	lb		3		ff					18,1	c-ab	
Mo'09	8af	0839	ms	fb				ff					24,1	c-ab	
Mo'09	8ae	0836	ls	lb		3		ff					23,3	c-mn-ab	
Mo'09	7af	0481	ms	lb		3		mf					13,9	c-mn	
Mo'09	8ac	0775	ls	lb		3		df					24,7	c-mn	
Mo'09	7ad	0418	in	lb		3		df					25,1	a-p-mn	
Mo'09	7ag	0528	ms	lb		3		mf					16,8	c-ab	
Mo'09	7af	0484	ss	in				in					16,3	c-mn	
Mo'09	8af	1265	ls	lb		3		ff					24,6	c-mn	
Mo'09	8ab	0633	in	in				ff					12,1	c-mn	
Mo'09	8ab	0559	ms	lb		3		ff					13,6	mn-c	
Mo'09	8ac	0745	ls	lb		3		ff					17,1	c-mn-a	
Mo'09	8ad	0642	ms	lb		3		ff					18,1	c-ab	
Mo'09	7af	0818	in	lb		3		ff					13,3	c-mn-ab	
Mo'09	8ad	0644	ms	lb		3		ff			3		15,4	c	
Mo'09	7af	0469	ss	lb		3		in					12,3	mn-c	
Mo'09	8ae	0844	ms	lb		3		ff					09	w-mn-c	
Mo'09	8ad	0668	ls	lb		3		ff					21,6	mn-a-w	
Mo'09	8ad	0668	ms	in				mf					11,5	c	
Mo'09	7ag	0587	in	in				in					11,1	c	
Mo'09	7af	0655	ms	lb		3		ff					17,7	mn-c-ab	
Mo'09	7af	0638	ss	in									11,5	c-ab	
Mo'09	7af	0622	ss	lb		3		df					17,9	c	
Mo'09	7af	0462	in	lb		3		ff					15,1	mn-w-c-a	
Mo'09	7af	0590	ms	lb		3		ff					19,8	mn-w-c	
Mo'09	7af	0489	ms	lb		3		mf					13,4	c	
Mo'09	7af	0635	in	lb		3		ff					20,1	c	
Mo'09	7af	0472	in	fb				ff					12,9	mn-c-p	
Mo'09	7af	0470	ms	fb				in					16,1	c-mn-ab-a	
Mo'09	7af	0499	ms	lb		3		ff					32,8	c	
Mo'09	7af	0499	ms	lb		3		ff					27,2	c-w	
Mo'09	7ad	0538	ms	lb		3		ff					20,1	c-mn-p	
Mo'09	7af	0628	ms	in				in					13,1	c-mn	
Mo'09	7af	0621	ms	lb		3		ff					18,9	mn-ab-a-c	
Mo'09	7af	0477	ss	lb		3		df					12,1	c-ab-a	
Mo'09	8ac	0746	in	dent		f		in					08	c-mn	
Mo'09	8ac	0746	in	dent		f		in					15,1	c	
Mo'09	8ae	0843	ms	lb		3		ff					27,1	c-a	
Mo'09	8ae	0846	ls	fb				in					15,8	c-mn	
Mo'09	9ab	0259	ms	lb		3		df			3		13,1	a-w	
Mo'09	7af	0463	ms	lb		3		in					22,1	c-a	
Mo'09	8af	1064	ms	lb		3		ff					26,1	a-mn	

Anexo III

Mo'09	8ag	0429	ss	lb		3		ff					13,4	mn-w-a-c	
Mo'09	7af	0854	ms	in				mf					10,1	ab-c	
Mo'09	8ag	0422	ms	lb		3		df					23,1	ab-c	
Mo'09	7af	0645	ss	in				in					13,7	c	
Mo'09	7af	0608	ss	lb		3		ff					09	c	
Mo'09	7af	0608	in	dent		f		in					12,1	c-mn	
Mo'09	7af	0597	in	lb		3		in					12,2	c	
Mo'09	7af	0637	ms	dent		f		in					17,1	mn-c	
Mo'09	7ag	0539	ms	lb		3		in					14,5	ab-a-c	
Mo'09	7ag	0535	ms	in				ff					11,3	c	
Mo'09	8af	1191	ms	fb				in					13,1	p-c	
Mo'09	8ab	0561	ms	lb		3		df					18,5	c-mn	
Mo'09	7ad	0634	ls	in				ff					22,2	mn-a-p	
Mo'09	8af	1053	ls	lb		3		ff					34,1	mn-w	
Mo'09	8af	1053	ms	lb		3		ff					20,9	mn-w	
Mo'09	8ab	0560	ms	lb		3		in					24,1	c-mn	
Mo'09	7af	0585	ls	dent		f		in					22,1	c	
Mo'09	7af	0589	ms	lb		3		ff					19,6	c	
Mo'09	7af	0595	ms	ab				ff					18,9	c	
Mo'09	7af	0615	in	lb		3		in					14,4	c	
Mo'09	7ag	0436	ss	in				ff					11,4	c-mn	
Mo'09	4ah	0305	ms	fb				ff					17,7	p-mn-w-c	
Mo'09	7ag	0618	ms	fb				df					09	mn-c	
Mo'09	7af	0700	ss	lb		3		ff					14,1	c-mn-ab	
Mo'09	7af	0699	ss	lb		3		ff					12,7	ab-a-mn-c	
Mo'09	7ag	0626	ms	lb		3		ff					13,6	c-ab	
Mo'09	9ac	0431	in	lb		3		in					15,8	c-ab	
Mo'09	9ac	0431	ss	lb		3		ff					11,1	c-mn	
Mo'09	9ac	0431	ms	lb		3		df					10,1	ab-c	
Mo'09	9ac	0431	ss	lb		3		in					12,7	ab	
Mo'09	9ac	0431	ms	lb		3		df			3-5		07	c	
Mo'09	7af	0476	ms	lb		3		in					17,1	mn-w-a	
Mo'09	7ag	0620	ms	lb		3		df					10,7	c-mn	
Mo'09	8ag	0416	ms	lb		3		mf					14,9	c	
Mo'09	8ag	0421	ms	dent		f		in					09	mn	
Mo'09	8ag	0420	ms	lb		3		ff					43,1	mn-c-w	
Mo'09	7ag	0611	ms	lb		3		in					16,6	ab-c-a	
Mo'09	7ag	0611	ms	lb		3		in					20,1	ab-c	
Mo'09	7ag	0616	ms	lb		3		ff					18,8	c-ab	
Mo'09	7ag	0616	ms	lb		3		df					12,1	c-ab	
Mo'09	7ag	0616	ms	lb		3		ff					25,1	a-ab-c	
Mo'09	8ac	0735	in	in				ff			3		07	c	
Mo'09	8ac	0794	in	dent		f		in					09	mn	
Mo'09	8ac	0794	ss	lb		3		ff					09	a-mn.c	

Anexo III

Mo'09	8ac	0794	in	in				mf					11,1	c-mn	
Mo'09	8ac	0794	ss	in				in					10,2	mn-a-c	
Mo'09	8af	1248	ms	dent		f		in					08	c-mn	
Mo'09	8af	1252	in	in				ff					12,1	c-mn-ab	
Mo'09	8af	1262	ms	lb		3		ff					22,1	ab-c-mn	
Mo'09	8ac	0720	ls	lb		3		in		3			12,3	c	
Mo'09	9ab	0433	ms	lb		3		df					29,9	c-ab	
Mo'09	7ah	0442	ms	lb		3		ff					11,4	w-c	
Mo'09	8af	1010	ms	lb		3		ff					10,5	a-w-mn	
Mo'09	8af	1015	ms	lb		3		ff					21,5	c-a	
Mo'09	4ah	0146	ms	lb		3		ff					18,1	a-c	
Mo'09	4ah	0304	ls	lb		3		mf					24,3	c-ab	
Mo'09	4ag	0435	ss	in				mf					08	c-mn	
Mo'09	7ag	0440	ms	dent		f		in					12,8	c	
Mo'09	7ag	0440	ms	lb		3		in					13,5	c	
Mo'09	7ag	0440	ms	ab				in					10,1	c	
Mo'09	7ag	0440	ms	ab				in					10	c-ab	
Mo'09	8ae	0899	ms	lb		3		ff					15,7	c-mn-ab	
Mo'09	7ag	0396	ms	lb		3		ff					23,3	c-ab-a	
Mo'09	7ag	0396	ms	lb		3		in					19,1	c-ab	
Mo'09	7ag	0396	ms	lb		3		ff					12,4	c	
Mo'09	8af	1276	ms	lb		3		ff					22,5	c-mn-w	
Mo'09	8af	1247	ms	lb		3		ff					13,5	mn-a-w	
Mo'09	8af	1256	ms	dent		f		in					13,6	mn-c	
Mo'09	8af	1271	ms	lb		2		in					18,7	c-ab	
Mo'09	8af	1255	ss	lb		3		ff					13,4	mn-w-c-a	
Mo'09	9ac	0432	in	in				ff					09	c-mn	
Mo'09	9ac	0401	ms	lb		3		df					18,5	ab	
Mo'09	9ac	0402	in	lb		3		in					10,2	mn-c	
Mo'09	9ac	0404	ss	lb		3		ff					12,1	mn-w	
Mo'09	9ac	0405	ms	lb		3		ff					22,3	c-ab	
Mo'09	9ac	0405	ms	lb		3		in					28,3	ab-mn-c	
Mo'09	9ac	0405	in	lb		3		df					11,8	c-ab	
Mo'09	9ac	0407	ss	lb		3		ff		3			07	c	
Mo'09	9ac	0410	in	lb		3		in		3			09		
Mo'09	9ac	0411	ms	in				ff					16,8	ab-c	
Mo'09	8ac	0731	ms	lb		3		ff					27,2	mn-a-ab-c	
Mo'09	8af	1279	ms	lb		3		ff					18,4	mn-c	
Mo'00	6af	0489	ms	lb		3		in					19,7	mn-c-ab	
Mo'00	6ae	0040	ss	lb		3		ff					12,9	c	
Mo'00	6af	0470	ls	lb		3		in					19,1	mn-a-p-c	
Mo'00	6af	0453	ls	lb		3		ff					25,1	mn-a-ab-c	
Mo'00	6af	0453	ms	lb		3		ff					19,1	mn-w-ab	
Mo'00	6af	0453	in	dent		f		ff					15,2	c-mn	

Anexo III

Mo'00	6af	0453	ms	in			in					18,1	p-mn-c	
Mo'00	6af	0453	in	dent		f	in					13,4	c	
Mo'00	6af	0453	ms	lb		3	in					21,8	a-c-ab	
Mo'00	6af	0453	ms	in			in		3			09	c	
Mo'00	6af	0453	in	in			ff		3			11,1	c	
Mo'00	6af	0453	ms	lb		3	in					13,9	a-c-ab	
Mo'00	6af	0453	ms	lb		3	in					19,1	p-mn-c	
Mo'00	6af	0453	ms	in			ff		5			17,2	a-c	
Mo'00	6af	0453	ms	in			ff					22,1	mn-w-p	
Mo'00	6af	0453	ms	lb		3	ff					16,8	a-c	
Mo'00	6af	0453	ms	in			ff					12,3	a-w	
Mo'09	8af	1285	in	dent		f	in					09	mn	
Mo'09	7ag	0387	in	in			in					14,1	c-ab	
Mo'09	9af	0407	ls	lb		3	ff					18,3	ab-c	
Mo'00	6af	0398	ss	fb			ff					15,1	a-ab	
Mo'00	6af	0105	ms	lb		3	ff		3			19,1	c	
Mo'00	6ae	0102	ms	lb		3	ff					14,1	ab-mn-w	
Mo'00	6ae	0083	ms	lb		3	df					23,3	c-a-ab	
Mo'00	6ae	0104	ms	lb		3	ff					19,7	mn-c	
Mo'00	6af	0100	ms	ab			in		3			16,1	c	
Mo'00	6af	0256	ms	lb		3	df					25,6	w-mn-ab	
Mo'00	6af	0256	ls	lb		3	in					39,7	a-mn-c	
Mo'00	6af	0403	ls	lb		3	ff					47,1	a-c	
Mo'00	6ae	0050	ss	lb		3	df		3			13,6		
Mo'00	6af	0412	in	lb		3	in					19,1	c	
Mo'00	6af	0396	in	in			in		5			10,1	c	
Mo'00	6af	0212	ls	lb		3	ff		4			25,6	c-a	
Mo'00	6af	0112	ls	lb		3	ff					42,1	c-a-w	
Mo'00	6ae	0335	ss	lb		3	df					21,2	mn-c-w	
Mo'00	6ae	0346	ms	lb		3	ff					21,7	mn-ab-a	
Mo'00	6ae	0396	ms	lb		3	ff					29,1	c-w-mn	
Mo'00	6af	0356	ss	lb		3	df		3			14,9	c	
Mo'00	6ae	0281	ms	lb		3	in					16,6	c	
Mo'00	6af	0425	ms	lb		3	in					17,2	a-c	
Mo'00	6af	0480	ss	lb		3	ff		3			11,2	c	
Mo'00	6af	0406	ms	lb		3	df					22,2	mn-a-w-c	
Mo'00	6af	0406	ms	lb		3	ff					12,1	c-a	
Mo'00	6af	0406	in	lb		3	ff					15,9	a-c-mn	
Mo'00	6af	0147	ms	lb		3	ff					51	ab-c	
Mo'00	6ae	0053	ls	lb		3	df		3			24,1	c-a	
Mo'00	6ae	0092	ms	lb		3	ff					15,2	ab-a	
Mo'00	6af	0245	ms	lb		3	df		5			29,1	a-c	
Mo'00	6af	0262	ls	lb		3	df					29,1	a-c-ab	
Mo'00	6af	0262	ms	lb		3	in					25,1	a-w-c	

Anexo III

Mo'00	6af	0262	ms	lb		3		df					16,9	p-c-a-mn	
Mo'00	6ae	0191	ms	lb		3		df					21,1	a-c	
Mo'00	6ae	0056	ms	lb		3		df			3		10,8	c-a	
Mo'00	6ae	0104	ms	lb		3		in			3		19,7	c	
Mo'00	6ae	0078	ss	fb				ff					20,7	mn-w-c-a	
Mo'00	6ae	0044	ms	in				ff			3		15,2	c	
Mo'00	6af	0111	ms	lb		3		ff					24,6	a-c	
Mo'00	6ae	0268	ms	lb		3		ff					25,1	w-a	
Mo'00	6ae	0435	ms	lb		3		ff					16,7	p-a	
Mo'00	6ae	0412	ms	lb		3		ff					11,5	w-mn-p	
Mo'00	6af	0120	ls	lb		3		ff					40,1	c-a-mn	
Mo'00	6af	0258	ms	lb		3		ff	1lf		4-5		23,1		info fract euivocada de lloc?
Mo'00	6af	0349	ms	lb		3		ff					24,1	mn-c-ab	
Mo'00	6af	0349	ms	lb		3		ff					19,2	a-mn-c	
Mo'00	6af	0349	ss	lb		3		ff					12,4	a-mn-p	
Mo'00	6af	0349	ms	lb		3		ff					20,7	c-ab	
Mo'00	6ae	0319	ms	lb		3		ff			3		25,1	c-ab	
Mo'00	6ae	0140	ms	lb		3		in					23,3	ab-c	
Mo'00	6ae	0145	ls	lb		3		in					43,1	ab-c	
Mo'00	6ae	0378	ms	lb		3		ff					41,3	mn-w-ab	
Mo'00	6ae	0285	ms	lb		3		ff					28,1	mn-w-c	
Mo'00	6ae	0046	lls	ab				in			3		14,1	c-ab	
Mo'00	6af	0467	ms	lb		3		ff					36,4	a-c	
Mo'00	6af	0467	ms	lb		3		ff					25,3	a-c-mn	
Mo'00	6af	0360	ls	fb				in			3-4		27,4	a-c-ab	
Mo'00	6ae	0406	ms	in				ff					27,7	c-a-ab	
Mo'00	6af	0475	ms	lb		3		ff					19,1	p-a-mn	
Mo'00	6af	0390	ms	lb		3		in			4-5		11,8	c	
Mo'00	6af	0390	ms	lb		3		in			4-5		11,3	c	
Mo'00	6af	0363	in	in				df					10,7	mn-c	
Mo'00	6af	0212	ms	fb				ff					42,8	a-p	
Mo'00	6af	0194	ls	fb				in					27,3	ab-c	
Mo'00	6af	0201	ms	lb		3		ff					35,9	a-c	
Mo'00	6af	0188	ms	lb		3		in			5		13,1	c-mn	
Mo'00	5ae	0071	ms	lb		3		ff					21,1	a-p-c	
Mo'00	6ae	0200	ms	lb		3		ff					27,8	a-ab-c	
Mo'00	6ae	0200	ms	lb		3		ff					28,3	c-a-ab	
Mo'00	5ae	0065	ls	lb		3		ff					30,6	c-a-w	
Mo'00	6ae	0084	ms	lb		3		ff					26,7	a-ab-c-p	
Mo'00	6af	0305	ls	lb		3		ff					61	a-ab-c	
Mo'00	6ae	0042	in	in				df			3		18,8	c	
Mo'00	6ae	0328	ms	lb		3		ff			3		23,3	c	
Mo'00	6af	0204	ss	lb		3		ff					10,5	w-p-ab	
Mo'00	6ae	0332	ms	lb		3		ff					38,9	ab-mn-c	

Anexo III

Mo'00	6af	0312	ls	lb		3		ff					65	w-ab-a-c	
Mo'00	6af	0312	ms	lb		3		ff			3		26,3	c-ab	
Mo'00	6af	0312	ms	lb		3		ff					22,4	c-mn-ab	
Mo'00	6af	0312	ms	lb		3		ff					19,1	a-ab-c	
Mo'00	6af	0312	ms	lb		3		ff					28,1	a-ab-mn-c	
Mo'00	6af	0312	ms	lb		3		ff					17,1	c-ab	
Mo'00	6ae	0270	ls	lb		3		ff					44,4	c-mn-ab-a	
Mo'00	6af	0349	ls	lb		3		df					56	c-ab-a-w	
Mo'00	6af	0349	ms	lb		3		in					28,7	c-mn-w-ab	
Mo'00	6af	0349	ms	lb		3		ff					35,7	w-mn-c-a	
Mo'00	6af	0310	ls	in				in			3		25,7	c	
Mo'00	6af	0310	ls	in				in			3		17,1	c	
Mo'00	6af	0310	ls	in				in			3		14,8	c	
Mo'00	6af	0310	ls	ab				in			3-4		13,1	c	
Mo'00	6af	0491	ss	lb				ff			3-4		16,1	c	
Mo'00	6ae	0214	as	fb				ff					17,1	w-ab-p	
Mo'00	6ae	0439	ms	fb				ff					18,5	p-ab	
Mo'00	6ae	0315	in	in				in					18,1	c	
Mo'00	6ae	0315	in	in				in					14,1	c	
Mo'00	6af	0392	ms	lb		3		ff			4		11,1	c	
Mo'00	6ae	0276	ls	lb		3		ff					39,8	a-ab-c	
Mo'00	6ae	0276	ms	lb		3		ff					31,4	a-ab-c-mn	
Mo'00	6af	0166	ls	lb		3	ff	ff			3-4		25,7	c-ab	
Mo'00	6af	0244	ms	lb		3		ff					37,1	a-c-mn	
Mo'00	6af	0244	ms	in				ff					16,6	a-c	
Mo'00	6af	0244	ls	in				df					20,7	a-w-c	
Mo'00	6af	0244	ms	lb		3		ff					23,1	a-c	
Mo'00	6af	0244	in	in				in					16,1	c	
Mo'00	6ae	0288	ls	lb		3		ff					32,1	a-ab-c	
Mo'00	5ae	0074	ms	in				ff					22,1	c-a	
Mo'00	6ae	0100	in	in				df			3		09	c	
Mo'00	6ae	0100	in	in				df			3		06	c	
Mo'00	6ae	0100	in	in				df			3		07	c	
Mo'00	6ae	0100	in	in				df			3		08	c	
Mo'01	7ab	0202	in	in				df			5		05		
Mo'01	7ab	0185	ms	in				ff					29,5	w-a-c-mn-ab	
Mo'01	7ab	0047	in	lb		3		ff					12,1	a-ab-p	
Mo'01	7ab	0195	ss	lb		3		ff					16,1	mn-c-a-ab	
Mo'01	7ab	0215	ss	lb		3		ff					14,4	c-ab	
Mo'04	6af	0573	in	lb		3		in			3		16,1	c-ab	
Mo'04	10ab	0082	ms	in				ff					29,7	c-ab-a	
Mo'04	6af	0588	ms	lb		2		ff					19,9	c	
Mo'04	6af	0587	ls	lb		3		ff					53	c-mn	molt concrecionat

Anexo III

Mo'04	6af	0581	ls	lb		3		ff					50	c-a-ab	
Mo'04	6af	0583	ms	in				ff					36,5	ab-w-c	
Mo'04	6af	0582	ms	in				df					30,1	ab	
Mo'04	6af	0578	ss	lb		3		ff					20,6	c-mn-ab	
Mo'04	6af	0577	ms	lb		3		ff					26,1	ab-c	
Mo'04	6af	0589	ms	in				ff					20,1	c-a	
Mo'04	6af	0589	ms	lb		3		ff					22,1	ab-c	
Mo'15	8ae	1298	ss	lb		3		ff					13,2	mn-p	
Mo'15	8ab	0985	ls	lb		3		ff					14,6	p	
Mo'15	8ab	0985	ms	in				mf					13,9	ab-c	
Mo'15	8ab	0985	ls	lb		3		ff					27,3	mn-c-w	
Mo'15	8af	1484	ms	dent		f		in					16,4	p	
Mo'15	8ag	0593	ms	lb		3		ff					10,1	ab-a	
Mo'15	8ag	0593	in	lb		3		in					10	c-mn	ab
Mo'15	8ag	0593	ss	lb		3		df					12,1	a-p-mn	
Mo'15	8ag	0593	in	in				in					11,2	mn	
Mo'15	8ag	0593	in	in				in					08		
Mo'15	8ag	0593	ss	lb		3		ff					11,2		
Mo'01	7ab	0180	ms	lb		3		df					27,1	ab-a	
Mo'01	7ab	0180	ms	in				df					23,3	ab-a	
Mo'01	7ab	0065	ms	lb		3		ff					21,7	c-mn-p-w-ab	
Mo'01	7ab	0129	ms	in				ff					11,6	ab-c	
Mo'01	7ab	0104	ms	in				df					18,5	a-ab	
Mo'01	7ab	0143	in	in				in					09		
Mo'01	7ab	0143	in	in				in					06		
Mo'01	7ab	0160	ms	in				ff					18,6	ab-a-c	
Mo'01	7ab	0008	ms	lb		3		in					17,5	ab-mn-a	
Mo'09	7ag	0499	ls	lb		3		df					22		fragmentat longitudinalment per meteorització
Mo'09	8ac	0829	in	ab				in					17	c	tot cremat
Mo'09	8ac	0829	in	ab				in					20	c	tot cremat
Mo'09	4ah	0274	ls	lb		3		ff					58	a-c-p-ab	
Mo'00	6ae	0094	ms	lb		3		df					51	w-a-p	ha saltat capa cortical per meteorització
Mo'00	6ae	0097	ls	lb		3		ff	cp				23	ac	
Mo'09	7aj	0502	in	dent		f		in					14	a-ab-p	rodat
Mo'09	4ah		ls	lb		3		ff					60	a-ab-w-p	rodat
Mo'09	4ah		ls	lb		3		ff					32	a-ab-w-p	rodat
Mo'09	4ah		ls	lb		3		ff					31	a-ab-w-p	rodat
Mo'09	4ah		ls	lb		3		ff					29	a-ab-w-p	
Mo'09	4ah		ls	in				in					15		tot cremat
Mo'09	4ah		ms	lb		3		df					27	ab-w-mn	roodat
Mo'01	7ae	0086	ls	lb		3		in					63	ab-a-w-mn	
Mo'09	7af	0360	ls	dent		f		in					13		
Mo'13	7ab(d)	0719	ls	ab		f		in					24	mn-ab-p	

Anexo III

Mo'13	7ab(d)	0719	ms	lb		3		in					25	a-ab-p	rodat
Mo'13	7ab(d)	0719	ms	lb		3		in					15	a-ab-p	rodat
Mo'13	7ab(d)	0719	ms	lb		3		in					13	a-ab-p	rodat
Mo'13	7ab(d)	0719	ms	dent		f		in					14	c	petit fragment esmalt
Mo'01	7ae	0099	ls	lb		3		df					40	c-w	esquerdes longitudinals meteorització
Mo'01	7ae	0099	ms	lb		3		df					58	a-c-w	4 fragments longitudinals
Mo'00	6ae	0290	in	fb				in			3		23	ab-a	tot cremat
Mo'09	5ah	0388	ls	lb		3		ff					41	c-w-p	extracció capa cortical?
Mo'09	5ah	0388	ls	lb		3		in					20	c-w-p	rodat
Mo'09	8ag	0430	ls	lb		3		ff					40	ap	rodat
Mo'09	7af	0759	ls	lb		3		ff					20	a-p-w	rodat
Mo'09	5ah	0387	ms	lb		3		ff					33	a-w-p	rodat
Mo'09	7af	0454	in	dent		f		in					04		fragment cortical
Mo'09	7ag	0489	in	dent		f		in					06		
Mo'09	7af	0842	ls	lb		3		ff					55	a-w	frag longitudinal escamació
Mo'09	7af	0842	ls	lb		3		ff					25	c	
Mo'02	6ag	0079	ms	lb		3		in					26	mn-w-c-p	rodat
Mo'02	6ag	0079	ms	lb		3		in					20	mn-w-c-p	rodat
Mo'02	6ag	0079	ms	lb		3		in					16	mn-w-c-p	rodat
Mo'09	8af	1133	ls	lb		3		ff					40	mn-c	extracció cortical?
Mo'15	8ab	1015	ls	lb		3		ff	ip				36	mn-a-p	
Mo'15	8ab	1015	ls	fb				ff					38	a-w-p	
Mo'15	8ab	1015	ms	fb				ff			3-4		30	w-c	
Mo'15	8ab	1015	ms	lb		3		ff					26	mn-w-p	
Mo'15	8ab	1015	ms	lb		3		ff	lm				19	p-c	
Mo'15	8ab	1015	ms	lb		3		in					22	c-p	
Mo'15	8ab	1015	in	in				in			3		14	c-p	
Mo'15	8ab	1015	in	in				in			3		15	c-p	
Mo'15	8ab	1015	ms	ab				in					14	c-mn	
Mo'13	6ac(c)		ls	lb		3		ff	2 ip				61	a-p-mn	2 notches per percussió. rodat
Mo'13	6ac(c)		ls	lb		3		ff	lnc				38	a-p-mn	rodat
Mo'13	6ac(c)		ls	lb		3		ff					54	a-p-mn	
Mo'13	6ac(c)		ls	lb		3		ff					31	a-p-mn	
Mo'13	6ac(c)		ls	lb		3		ff					35	a-p-mn	
Mo'13	6ac(c)		ls	lb		3		ff					30	a-p-mn	
Mo'13	6ac(c)		ls	lb		3		ff					31	a-p-mn	
Mo'13	6ac(c)		ls	lb		3		ff					23	a-p-mn	
Mo'13	6ac(c)		ls	lb		3		ff					32	a-p-mn	
Mo'13	6ac(c)		ls	lb		3		ff					32	a-p-mn	
Mo'13	6ac(c)		ls	lb		3		ff	ep				20	a-p-mn	
Mo'13	6ac(c)		ls	lb		3		in					33	a-p-mn	
Mo'13	6ac(c)		ls	lb		3		in					23	a-p-mn	
Mo'13	6ac(c)		ls	cra				in					23	a-p-mn	
Mo'13	6ac(c)		ls	fb				in					30	a-p-mn	

Anexo III

Mo'13	6ac(c)		ls	ab			in					16	w-p	
Mo'13	6ac(c)		ls	ab			in					20	w-p	
Mo'13	6ac(c)		ls	dent	molariforme	f	in					21		molariforme
Mo'12	7af	1128	ms	fb			df	ip				25	ab-w-p-a	molt rodat. esquerdes longitudinals
Mo'09	7af	0859	in	in			in					14	ab-w-mn-p	
Mo'00	6af	0375	ss	in			ff					15		
Mo'00	6af	0316	ms	lb		3	in					20	ap	molt rodat
Mo'15	7af	1375	ls	ab			in					30	p	molt rodat
Mo'15	6ac	1449	ls	lb		3	ff					32	w-p	escamació
Mo'12	8ab	0791	in	in			ff					19	c	
Mo'00	6ae	0437	ls	lb		3	ff	ip				50	ac	
Mo'12	8ad	1011	ms	lb		3	in					80	a-ab-p	rodat
Mo'00	6ac	0271	ls	lb		3	ff					76	a-c-p-w	
Mo'12	8ac	1018	ls	lb		3	ff					61	a-mn-p	
Mo'07	8ah	1044	ls	lb		3	in					63	ab-a-w-p	meteorització extrema. foto
Mo'07	8ah	1013	ls	lb		3	in					35	ab-a-w-p	meteorització extrema
Mo'07	8ah	1024	ls	lb		3	in					30	ab-a-w-p	meteorització extrema
Mo'09	8ae	0898	in	ab			in					18	w-a-mn	
Mo'12	8ae	1134	ms	lb		3	in					23	w	
Mo'01	7ad	0219	ms	mn			in					37	c-p-w	
Mo'12	6ag	0286	ls	lb		3	ff					78	a-ab-p-w	esquerdes longitudinals. disolució cortical
Mo'13	7ad	1309	ls	ab			ff					30	a-ab-p	
Mo'13	7ae	1406	ls	dent		f	in					11		
Mo'12	6ae	0807	ms	dent		f	in					06	c	
Mo'06	8af	0418	ms	dent		f	in					10		
Mo'10	7af	0875	ss	ab		f	mf					08		
Mo'06	8ad	0212	ms	dent		f	in					10		3 frags.
Mo'09	7af	0847	in	dent		f	in					06		
Mo'10	7ad	0743	ls	dent		f	in					17		
Mo'13	7ag	0923	ls	dent		f	in					14		
Mo'06	9ad	0082	ms	dent		f	in					11		
Mo'06	8af	0417	in	dent		f	in					10		
Mo'01	5ab	0072	ls	lb		3	ff		3om			70	mn-w	foto
Mo'01	5ab	0072	ls	lb		3	ff					28	a-c-mn-p	
Mo'01	5ab	0072	ls	lb		3	ff					24	a-c-mn-p	
Mo'01	5ab	0072	ls	lb		3	ff					30	a-c-mn-p	
Mo'01	5ab	0072	ms	lb		3	ff					28		
Mo'01	5ab	0072	in	lb		3	ff					15		
Mo'15	8ag	0584	ms	cra			in					21	a-ab-p	
Mo'09	7ah	0443	ls	in			in					33	ab-p	
Mo'13	7ad	1313	ms	ab			in					15	ab	molt rodat
Mo'13	6af	0932	ss	in			in			3		10		tot cremat
Mo'09	4ah	0273	ms	ab		1-5						17		sembla part epifisi

Anexo III

Mo'09	4ah	0247	ms	lb		3		df					23	c	
Mo'09	4ah	0230	ms	lb		3		ff					36	a	
Mo'09	7af	0769	ss	d		f		in					08	c	fragment dent
Mo'09	7af	0774	ls	d		f		in					08	c	fragment dent
Mo'09	7af	0341	ms	lb		3		in					30	c-mn-a	
Mo'09	4ah	0222	ms	lb		3		ff					27	c	
Mo'09	7ad	0462	in	d		f		ff		3			11		fragment dent
Mo'09	6ah	0450	lb	lb		3		ff					39	a-c	
Mo'09	7af	0340	ms	fb				in					11	c	
Mo'09	7af	0335	ms	lb		3		df					22	c	
Mo'09	8ac	0633	in	in				df		3			07	c	
Mo'09	8ac	0643	ms	in				df					08	mn-c	
Mo'09	7ac	0640	in	in				df					49	w	fragment longitudinal
Mo'09	9af	0413	ls	ls		lb		df		3			10	c	
Mo'09	7af	0654	ms	fb				ff					14	a-c	
Mo'09	8ag	0479	ls	in				df		3			09	c	
Mo'09	8ag	0408	ms	fb				ff					10	c	
Mo'09	8ad	0617	in	fb				ff					28	ab-c	
Mo'09	8af	1209	in	in				ff	lcn				15	c	
Mo'09	8af	1238	in	in				fa					16	a-ab	
Mo'09	7af	0398	ls	lb		3		df					23	a-c	
Mo'09	7af	0483	ms	d		f		in					07	mn-c	fragment dent
Mo'09	8af	1123	ms	lb		3		df					18	ab-c	
Mo'09	8ac	0758	in	in				ff		3			07	c	
Mo'09	8af	1120	ms	lb		3		ff	lcp				16	c	
Mo'09	7af	0342	ms	in				ff					07	mn-c	
Mo'09	7ag	0415	ms	in				ff					14	c	
Mo'09	7af	0739	ms	in				df					12	c	
Mo'09	4ah	0200	ms	in				ff					17	a-c-mn	
Mo'09	7ad	0464	ms	fb				df					17	c	
Mo'09	7af	0706	ls	in				ff					16	a-c	
Mo'09	7af	0394	ms	in				df					12	c	
Mo'09	9ae	0149	in	in				df					07	mn-c	
Mo'09	7af	0331	ms	fb				df		3			09	c	
Mo'09	7af	0807	ls	fb				ff					13	a-c	
Mo'09	8af	1207	ms	d		f		ff					11	a	fragment dent
Mo'09	8ad	0556	in	in				df					07	c	
Mo'09	7af	0528	in	in				df					14	a-ab	
Mo'09	7ag	0465	ms	in				ff					10	c	
Mo'09	7af	0431	in	in				mf					07	c	
Mo'09	8ac	0817	ms	in				ff					11	mn-c	
Mo'09	7ag	0590	ms	fb				ff					10	a-c	
Mo'09	8ac	0835	ms	fb				df					17	a-ab	
Mo'02	7ag	0066	ls	lb		3		df					34	a-ac	

Anexo III

Mo'02	8ae	0094	ms	in				df					12	ab-c	
Mo'02	8af	0067	ms	fb				df					18	ab-a-c	
Mo'02	6ag	0086	ms	fb				ff					18	a-c	
Mo'02	8ae	0095	ls	in				df					18	a-ab	
Mo'02	8af	0020	ls	lb		3		df					20	ab-c	
Mo'02	8ae	0050	ls	in				df		3			15	a-c	
Mo'02	5ab	0004	ls	lb		3		ff					29	a	
Mo'02	8ac	0008	ls	in				df		3			09	ab-c	
Mo'02	8ae	0047	ls	in				df		3			15	ab-c	
Mo'02	7ag	0110	ls	fb				ff					16	c	
Mo'02	7ag	0126	ms	lb		3		df					18	ab-c	
Mo'02	7ag	0128	ls	lb		3		df					41	ab-c	
Mo'02	9ag	0113	ls	in				ff					12	mn-c	
Mo'02	7ag	0130	in	in				ff		3			08	c	
Mo'02	7ag	0089	in	fb				df					20	c	
Mo'02	9ac	0028	in	in				df		3			06		
Mo'02	8ad	0077	in	fb				df		3			09		
Mo'02	8ac	0099	ls	in				df					20		
Mo'02	6ag	0105	ms	in				ff					12	c	
Mo'02	9ae	0053	ms	in				ff					18	a-ab	
Mo'01	7ag	0007	ls	lb		3		df		3			17	ab	
Mo'01	7ae	0013	ls	lb		3		df					22	ab-c	
Mo'01	7ae	0112	ms	fb				ff					20	c	
Mo'01	7ac	0185	ms	lb				df					21	a-c	
Mo'01	6ac	0122	ls	lb		3		ff					33	a	
Mo'01	6ac	0102	ls	in				df					17	ab	
Mo'01	7ab	0287	as	in				df					12	mn-c	
Mo'01	7ad	0155	ms	in				df					14	c	
Mo'01	7ae	0019	ls	lb		3		df					32	a-c	
Mo'01	7ae	0118	ms	fb				df					14	c	
Mo'01	7ad	0056	ms	in				ff					19	ab	
Mo'01	7ad	0265	in	in				df					12	c	
Mo'01	6ac	0100	ms	in				ff					15	c	
Mo'01	6ac	0194	ms	fb				ff					12	mn-c	
Mo'01	7ac	0218	in	d		f		df					11	mn-c	
Mo'01	7ac	0225	ls	fb				ff					20	ab-c	
Mo'01	6ab	0047	ms	in				df					12	mn-c	
Mo'01	6ab	0056	in	d				df					12	c	fragment esmalte
Mo'01	6ad	0201	in	in				ff					09	c	
Mo'01	6ac	0126	in	fb				ff					12	ab-c	
Mo'01	6ab	0053	ms	in				ff					10	mn-c	
Mo'01	5ab	0147	in	fb				ff					04	mn-c	
Mo'01	7ad	0063	in	fb				in					14	mn-c	
Mo'01	7ac	0433	in	in				mf					10	a-c	

Anexo III

Mo'01	7ac	0433	ms	fb			ff					13	mn-c	
Mo'01	6ad	0192	in	d		f	df					09	c	
Mo'01	6ad	0192	in	d		f	df					07	c-mn	
Mo'01	6ad	0192	in	d		f	df					08	mn-c	
Mo'12	6ac	0666	ms	in			ff					22	c	
Mo'12	6ac	0664	ms	lb		3	ff					20	a-mn-p	
Mo'12	7ad	1001	ms	lb		3	df					18	mn-c	
Mo'12	6ac	0659	ms	lb		3	df					18	a-c	
Mo'12	6ac	0662	ls	lb		3	df					18	a-ab-c	
Mo'12	6ac	0719	ls	lb		3	df					19	ab-c	
Mo'12	6ac	0709	ms	lb		3	df					20	ab-c	
Mo'12	7ae	1265	ms	fb		3	ff					22	c	
Mo'12	7ac	1190	in	d		f	ff					07	c	fragment dent
Mo'12	6ac	0681	ls	lb		3	ff					31	ab-c	
Mo'12	6ac	0679	ls	lb		3	df					20	a-ab-c	
Mo'12	7ad	1017	in	lb		3	df					19	mn-w	
Mo'12	8ad	0934	ls	lb		3	df					17	ab-mn-a-c	
Mo'12	6ae	0869	ls	in			df					15	a-mn-c	
Mo'12	6ae	0871	in	in			mf					13	mn-c	
Mo'12	6ae	0874	ls	fb			ff					25	c	
Mo'12	8ad	0937	ls	lb		3	ff					25	a-mn-c	
Mo'12	7ae	1266	ms	lb		3	ff					27	mn-c	
Mo'12	6ac	0586	in	in			mf					10	mn-c	
Mo'12	6ac	0723	ls	lb		3	ff					37	ab-mn-c	
Mo'12	8ag	1171	ls	in			df		3			12	ab-c	
Mo'12	7ag	0893	ls	in			df		3			15	a-ab-c	
Mo'12	6ad	0957	ms	in			df					21	a-c	
Mo'12	7ae	1215	ms	fb			ff					17	c	
Mo'12	6ac	0626	ls	in			df					18	a-c	
Mo'12	7ag	0886	ls	fb			ff					21	a-c	
Mo'12	8ae	1100	ms	in			ff					12	c	
Mo'12	7ac	1250	ms	lb		3	ff					26	mn-a-c	
Mo'12	8ac	1072	ms	in			df					21	ab-mn-c	
Mo'12	8ac	1047	ms	lb		3	ff					26	mn-c	
Mo'12	6af	0740	ls	lb		3	df					30	ab-c	
Mo'12	6af	0767	ms	in			df					14	c	
Mo'12	7ag	0900	ms	lb		3	df					22	ab-c	
Mo'12	7ag	0899	ms	fb			ff					21	c	
Mo'09	8af	1202	ss	lb		3	in					25	ab-a-p	
Mo'09	8af	1211	in	lb		3	in					15	ab-mn	
Mo'09	7af	0772	in	lb		3	mf					11	mn	
Mo'09	7af	0755	ss	lb		3	ff					12	mn-a	també fractura moderna
Mo'09	8af	1208	ss	lb		3	ff					15	ab-mn	
Mo'09	8af	1212	in	d		f	in					07		

Anexo III

Mo'09	8ag	0473	in	lb		3		mf					10	ab-mn	
Mo'09	7af	0747	in	lb		3		ff			3		06		
Mo'09	8ad	0685	ms	fb				df					20	ab-c	
Mo'09	8ad	0685	ms	fb				df					16	ab-c	
Mo'09	7ad	0694	ms	lb		3		in					08	ab-a-c	
Mo'09	7ad	0644	in	lb		3		ff					10	mn-ab-a	
Mo'09	7ae	0675	in	lb		3		ff					13	ab-mn	
Mo'09	8af	1228	in	lb		3		ff	cp				15	mn-ab	
Mo'09	7af	0333	ss	lb		3		in					12	c-p	
Mo'09	8ac	0824	in	lb		3		ff					10	ab-a-mn	
Mo'09	7ag	0581	in	lb		3		ff	cp				15	p-ab-a	
Mo'09	7af	0744	in	lb		3		ff					15	c-ab	
Mo'09	7ae	0547	in	lb		3		ff					05	mn-p	
Mo'09	7af	0558	ms	lb		3		in					17	c	
Mo'09	7af	0439	in	lb		3		in					14	c-ab-a	
Mo'09	7af	0613	ms	fb				ff					13	a-ab-mn	
Mo'09	7af	0552	in	lb		3		ff					09	ab	amb fractura moderna
Mo'09	7af	0525	in	lb		3		in					10	ab-a	
Mo'09	7af	0841	in	lb		3		in					10	ab-a-mn	
Mo'09	7af	0833	in	lb		3		ff	cp				10	ab	
Mo'09	8af	1044	in	in				in					14	mn-a-a-b	
Mo'09	7af	0556	ss	lb		3		ff					10	ab	
Mo'09	8ah	1141	ss	lb		3		ff					07	ab	
Mo'09	7ae	0543	in	d		f		in					06		
Mo'09	8ac	0627	in	d		f		in					08	c	
Mo'09	8af	1046	in	fb				df					11	ab-a	
Mo'09	9ae	0151	in	lb		3		in					11	mn-ab	
Mo'09	4ah	0181	ms	in				ff					27	ab-a-mn	
Mo'09	7af	0347	in	in				ff					08	c	
Mo'09	7ae	0455	ls	lb		3		ff					19	mn-a	amb fractura moderna
Mo'09	8af	1112	in	lb		3		ff					09	a-ab	
Mo'09	7af	0446	ms	ab				ff					09	c	
Mo'09	7ag	0507	ms	lb		3		ff					18	ab	
Mo'09	7ae	0512	ls	d		f		in					14		segurament Equus
Mo'09	7ad	0574	ms	fb				ff					15	a-ab	
Mo'09	7ae	0517	in	lb		3		ff					11	ab-mn	
Mo'09	7af	0846	in	in				ff					08	mn	
Mo'09	7af	0370	in	in				ff					06	mn-ab	
Mo'09	7ad	0666	ms	lb		3		ff					16	mn-ab	
Mo'09	8ad	0543	ss	lb		3		ff					09	mn-a	
Mo'09	7af	0376	in	lb		3		in					09	ab	
Mo'09	7ag	0490	in	lb		3		in					10	ab-mn-a	
Mo'09	4ah	0202	ms	lb		3		ff		3			16	c-ab	
Mo'09	7af	0650	ss	in				ff					10	c	

Anexo III

Mo'09	7af	0529	in	in				in					11	c-ab-a	
Mo'09	7af	0531	ss	fb				ff					12	ab-a	
Mo'09	7af	0843	in	in				ff					10	p-c	
Mo'09	7ag	0699	in	lb		3		ff					07	c	
Mo'09	4ah	0281	ls	lb		3		ff					34	mn-ab-a	
Mo'09	7ae	0595	ss	lb		3		in					14	ab-a-mn	
Mo'09	7ad	0472	ms	fb				in					12	ab-a	
Mo'09	7ag	0471	in	lb		3		mf					12	ab	
Mo'09	8ag	467	in	lb		3		in					08	mn	
Mo'09	7af	0527	in	fb				in					07	c-ab	
Mo'09	7af	0532	in	in				in					10	ab-a	
Mo'09	7ac	0670	ss	lb		3		ff		3			10	ab-a	
Mo'09	7af	0425	in	lb		3		in					12	ab-a	
Mo'09	8ae	0725	ss	fb				ff					10	mn-ab	
Mo'01	6ac	0070	ls	in				in					26	c-ab	
Mo'01	7ae	0114	in	in				in		3			12	a-ab-c	
Mo'01	7ad	0061	ms	lb		3		ff					10	a-mn-ab	
Mo'01	7ae	0132	ss	lb		3		in					12	ab-mn-a	
Mo'01	7ae	0134	in	in				in					19	c-ab	
Mo'01	7ae	0137	ls	lb		3		ff					23	c-ab	
Mo'01	6ad	0119	ss	in				ff					10	ab	
Mo'01	6ab	0123	ms	lb		3		ff					21	ab-mn-a	
Mo'01	6ad	0082	ls	lb		3		ff					41	mn-a-ab	
Mo'01	6ac	0176	ss	lb		3		ff					21	ab-a	
Mo'01	7ac	240	ms	in				ff					16	ab-c	
Mo'01	7ac	0310	ss	lb		3		ff					18	ab	
Mo'01	7ac	0221	in	lb		3		ff					09	ab	
Mo'01	7ac	0120	in	in				ff					08	mn	
Mo'01	5ab	0067	in	fb				in					24	ab-a	
Mo'01	6ab	0079	in	in				ff					08	c	
Mo'01	7ac	0220	ss	lb		3		ff					14	mn-a	
Mo'01	7ac	0188	in	lb		3		in					13	mn-ab	
Mo'01	7ac	0244	in	lb		3		in					12	mn	
Mo'01	7ab	0276	in	in				in		3-5			08	ab-c	
Mo'01	6ab	0033	in	lb		3		ff					07	c-ab	
Mo'01	6ad	0146	in	in				ff					3	p	
Mo'12	6ad	1072	ls	fb				ff					31	ab-c	
Mo'12	6ad	1064	ls	in				in					20	ab-c	
Mo'12	8ad	0458	in	fb				ff					21	c-ab-a	
Mo'12	6ae	0836	ms	fb				ff					28	a-ab	
Mo'12	6af	0833	ms	lb		3		df					35	a-ab-c	
Mo'12	8ac	1092	ms	fb				in					17	p-ab-mn	fractura moderna
Mo'12	6af	0827	in	in				in					28	a-c	
Mo'12	6ae	0831	ms	lb		3		ff					21	ab-c	fractura moderna

Anexo III

Mo'12	6ad	1038	ls	costella			ff					31	ab-mn	
Mo'12	6ad	1037	ls	in			in					27	a-mn	
Mo'12	6ad	1041	in	eb			in					72	p-ab	fractura moderna
Mo'12	6ad	1049	ls Equus	dent		f	in					17	c	fragment de molariforme
Mo'12	6ae	0825	ms	lb		3	ff					21	a-c	
Mo'12	7ad	1227	ms	lb		3	df					20	mn-a	
Mo'12	7ae	1224	ls	lb		3	ff					26	c-a-ab	
Mo'12	7ad	1238	ms	fb			ff					22	p-mn-c	
Mo'12	6af	0835	in	in			in					12	mn-c-ab	
Mo'12	6ae	0813	ls	ab			ff					16	c	
Mo'12	7ae	1227	ls	lb		3	ff					15	c-a-ab	
Mo'12	6ad	1071	ls	ab			ff					15	c	
Mo'12	7ae	1230	ss	lb		3	ff					17	mn-a-ab	
Mo'12	8ad	0944	ms	ab			ff					18	c-ab-mn	
Mo'12	6ag	0257	ms	lb		3	in					29	c-a	
Mo'12	8ae	1178	ls Cervu s	dent		f	in					13	c	molariforme per rugositat
Mo'12	8ad	0947	ls	ab			in					23	c-mn	
Mo'12	8ad	0950	ms	in			mf					14	mn-c-ab	
Mo'12	8ad	0984	in	lb		3	ff					29	c-mn-p	
Mo'12	7ac	1225	ms	lb		3	df					14	c	fractura moderna
Mo'12	6af	0834	in	in			in		2			08	c-ab	
Mo'12	7ae	1243	ss	in			ff					12	mn-c	fractura moderna
Mo'12	6af	0822	ls	in			in		4-5			10	c-a	
Mo'12	8ac	1402	ms	fb			ff					13	ab-c-mn	
Mo'12	6af	0841	ls	fb			ff					42	c-ab-a	
Mo'12	6af	0825	ms	in			in		3			07	c	
Mo'12	8ad	0955	ss	fb			in					16	c-a	
Mo'12	8ac	1093	ms	fb			mf					18	a-ab	
Mo'12	7ac	1224	ls	in			ff					18	c-ab	
Mo'12	8af	1401	ls	fb			in					26	a-ab-c	
Mo'12	6ac	0647	lb	in		3	in					16	a	
Mo'12	6ag	0259	ss	lb		3	ff					23	mn-ab	
Mo'12	8ab	0774	ms	lb		3	ff					22	a-ab-c	
Mo'12	6af	0832	ss	fb			in					27	c-a	
Mo'12	6ad	1047	ms	fb			ff					28	mn-ab	
Mo'12	6ad	1036	ls	in			in					16	ab-mn	
Mo'12	6ad	1057	ls	fb			ff					20	a-c	
Mo'12	7ad	1224	ls	lb		3	ff					35	c-a	
Mo'12	6ag	0265	ls	lb		3	ff					12	c-ab	
Mo'12	7af	1192	ls	in			in					26	c-a-mn	
Mo'12	6ad	1066	ss	fb			ff					12	c-ab	fractura moderna
Mo'12	7ad	1210	ls	ab			ff					18	c-a	fractura moderna

Anexo III

Mo'12	7ad	1223	ms	fb			in					25	mn-a-ab	
Mo'12	7ad	1231	ls	lb		3	ff					36	a-c	
Mo'12	6ad	0834	ss	in			df					18	c-a	
Mo'12	6ad	1050	Equus	dent		f	in					14	c	possible fragment d'incisiva
Mo'12	7ad	1225	ls	in			ff					14	mn-a	
Mo'12	8ad	0952	in	lb		3	ff					11	mn-c	fractura moderna
Mo'12	6ad	1063	ls	in			ff					19	c-a	
Mo'12	6ad	1059	ms	lb		3	ff					18	c-mn	
Mo'12	6af	0795	ss	lb		3	ff					16	ab-c	
Mo'12	7ae	1237	ms	fb			in					27	ab-a	
Mo'12	6ae	0835	ss	in			in					17	ab-mn	
Mo'12	8ad	0954	ms	in			ff					15	ab-c-n	
Mo'12	8ab	0783	ls	fb			ff					28	ab-c	
Mo'12	7ae	1223	ms	lb		3	ff					18	c-mn	
Mo'12	6ac	0642	ls	lb		3	in					52	c-ab	
Mo'12	7ag	0888	ms	ab			ff					17	c-mn-ab	
Mo'12	6ag	0271	ms	in			in					17	c-mn	
Mo'12	6ac	0622	ms	ab			ff					19	c	
Mo'12	6ae	0889	ms	lb		3	ff					19	a-ab	
Mo'12	6ag	0261	ms	in			in					14	mn-c	
Mo'12	6ad	0939	ms	fb			ff					19	c-ab	
Mo'12	6af	0851	ls	fb			ff					21	c-a	
Mo'12	6ac	0625	ms	lb		3	df					33	c-ab	fractura moderna
Mo'12	6ac	0623	ms	lb		3	ff					24	ab-a	
Mo'12	7af	1170	ls	ab			ff					16	c-ab	
Mo'12	6ad	0963	in	lb		3	in					26	c-a	
Mo'12	8ae	1111	ms	fb			ff					20	c-mn	fractura moderna
Mo'12	7af	1161	ms	lb		3	ff					23	c-ab	
Mo'12	8af	1156	ls	ab			ff					16	c-mn	
Mo'12	8ae	1149	ls	lb		3	ff					31	ab-a-mn	
Mo'12	6af	0765	ms	ab			in					17	c	
Mo'12	8ae	1142	ms	fb			in					17	mn-a	
Mo'12	7af	1232	ms	fb			ff					12	c-ab	
Mo'12	6ac	0743	ms	lb		3	in					31	mn-c	
Mo'12	7ac	1293	ls	d		f	in					10	c	molariforme
Mo'12	8ae	1116	ms	fb			ff					26	c-ab	
Mo'12	6ag	0307	ms	fn			ff					15	a-ab	
Mo'12	6ag	0304	ss	fb			ff					11	c	
Mo'12	7af	1166	ms	in			ff		3			11	c-a	
Mo'12	7ad	1113	ms	ab			in		3-4			14	c-a	
Mo'12	6ac	0580	ms	ab			ff					13	c	
Mo'12	7ad	1064	ms	lb		3	ff					22	mn-a	
Mo'12	6ac	0591	ms	lb		3	ff					30	mn-ab-a	
Mo'12	6ad	0910	ms	lb		3	ff					32	ab	

Anexo III

Mo'12	6ae	0875	ms	ab			in					11	c	
Mo'12	7ab	0644	ms	lb		3	ff					16	mn-a	
Mo'12	6ae	0877	ms	lb		3	ff					18	a-ab	
Mo'12	8ac	1043	ms	lb		3	df					20	ab-a	
Mo'12	7ad	1208	ms	ab			in					14	c	
Mo'12	7ad	1114	ls	lb		3	ff					22	mn-a	
Mo'12	6ad	0944	ms	fb			ff					18	a-ab	
Mo'12	8ab	0763	ms	lb		3	in					13	mn-ab	
Mo'12	7ad	1046	ms	lb		3	in					19	a-ab	
Mo'12	7ad	1071	ls	fb			ff					31	a-c	
Mo'12	7ad	1109	ms	fb			in					22	a-ab	
Mo'12	7ad	1196	ms	ab			in					18	c-ab	
Mo'12	7ae	1218	ms	ab			ff					13	a-ab	
Mo'12	7ad	1197	m	in			df					18	c-mn	
Mo'12	7ad	1194	ms	fb			df					16	c-a	
Mo'12	6ag	0316	ms	fb			mf					13	a-ab	
Mo'12	7ab	0669	ss	fb			in					13	a-ab-mn	
Mo'12	7ad	1116	ls	fb			ff					16	c-a	fractura moderna
Mo'12	6ag	0313	ss	in			ff					08	a-c	fractura moderna
Mo'12	7ad	1058	ss	in			df					12	c-a	
Mo'12	6ae	0791	ss	lb		3	ff					15	a-ab	
Mo'12	7ae	1206	ls	fb			in					25	c-ab-a	
Mo'12	7ad	1063	ss	fb			ff					14	c-a	
Mo'12	7ae	1193	ms	fb			ff					26	c	
Mo'12	8ad	1015	ms	lb		3	ff					36	a-c-mn	
Mo'12	6ae	778	ms	ab			ff					15	a-ab	
Mo'12	8ae	1140	ms	lb		3	df					15	c-a	
Mo'12	8ae	1135	ss	lb		3	ff					17	mn-c	
Mo'12	7af	1145	ms	fb			ff					24	a-c	
Mo'12	6af	0736	ls	lb		3	df					35	a-c-mn	
Mo'12	8ad	0932	ms	in			ff					15	mn-c	
Mo'12	7ac	1187	ms	fb			ff					25	mn-a-c	
Mo'12	6ac	634	ms	fb			ff					17	c-a	
Mo'12	6af	0738	ms	fb			df					19	c-a	
Mo'12	6ag	0322	ss	lb		3	ff					19	a-ab	
Mo'12	8ad	1006	ss	in			in					20	a-c-mn	
Mo'12	8ad	0996	ms	ab			df					15	a-c	
Mo'12	8ad	0999	ls	in			ff					22	mn-c-a	
Mo'12	7ad	1188	ms	lb			ff					28	c-a	
Mo'12	7ac	1153	ms	lb		3	ff					18	a-c-mn	fractura moderna
Mo'12	6ab	0338	ms	lb		3	in					12	c-a	
Mo'12	8ac	0442	in	in			in					3		
Mo'12	6ae	0865	ls	fb			in					14	c-ab	
Mo'12	7ae	1173	ms	in			mf					36	w-c	
Mo'12	7ae	1173	ms	in								13	c	

Anexo III

Mo'12	6ag	0314	ls	lb		3		ff					37	c-a-ab	
Mo'12	6ag	0264	ms	lb		3		df					22	a-c	
Mo'12	7ad	1131	ls	d		f		in					11	c-a	
Mo'12	8ad	0930	ms	fb				ff					19	c	
Mo'12	7af	1141	ls	in				ff					25	c-mn	
Mo'12	7ac	1263	ls	d		f		in					11	c	fractura moderna
Mo'12	8af	1411	ls	ab				in					13	c	
Mo'12	8af	1608	ms	fb				in					19	c-a	
Mo'12	7af	1131	ms	in				in			3		12	c-ab	
Mo'12	8ae	1101	ms	in				in					16	mn-a	
Mo'12	7ac	1198	ms	fb				df					24	mn-c	
Mo'12	6ae	0809	ms	fb				ff					21	c	
Mo'12	7ab	0651	ss	lb		3		ff					13	c-mn	
Mo'12	6ac	0624	ms	lb		3		df					21	c	
Mo'12	7ad	1128	ms	lb		3		in					23	w-c	
Mo'12	6ag	0276	in	lb		3		ff	cp				14	c-mn	
Mo'12	8ac	1033	ms	fb				in					20	ab-c	
Mo'12	8ac	1030	ms	fb				in					16	a-ab-c	
Mo'12	8ac	1032	ms	fb				in					12	c	
Mo'12	6ac	0641	ls	fb				ff					19	c-a	
Mo'12	7ac	1174	ms	fb				ff					20	c	
Mo'12	7ac	1165	ms	lb		3		in					22	c-a	
Mo'12	7ac	1176	ls	d		f		in					14	c-a	
Mo'12	7af	1181	ms	in				in					16	c-mn	
Mo'12	6af	0800	ms	lb		3		ff					19	c-a	
Mo'12	6af	0800	ms	ab				ff					18	c-a	
Mo'12	7ad	1100	ms	ab				ff					16	c-mn-a	
Mo'12	6ag	0321	ms	ab				in					17	c-a	
Mo'09	7af	0329	ls	in				df					21	c	
Mo'09	7af	0758	ls	lb		3		ff					11	a	
Mo'09	8am	1144	in	in				df					26	ab-a	
Mo'09	8ad	0638	ms	fb				df					39	ab-a-c-w	
Mo'09	8ah	1146	ms	lb		3		ff					19	ab-a-c	
Mo'09	7ad	0528	ms	lb		3		in					18	w-a-mn	
Mo'09	8ag	0462	in	in				in					12	ab-w-mn-p	
Mo'09	7ac	0638	in	fb				df					29	ab-w-a	
Mo'09	7ad	0470	in	in				ff					11	c	
Mo'09	4ah	0185	ls	lb		3		ff					24	c-a	
Mo'09	8ae	0766	ls	fb				df					35	c	fractura moderna
Mo'09	4ah	0257	ms	fb				df					19	c-a	
Mo'09	7ae	0674	ss	lb		3		ff		3			09		fractura moderna
Mo'09	8af	1033	in	in				df	cp				10		
Mo'09	5ah	0402	in	in				mf					13	c	

Anexo III

Mo'09	4ah	0297	in	in			df					11	c	
Mo'09	4ah	0221	ls	lb		3	ff					18	cm	
Mo'09	7af	0363	in	in			df					13	a-c-w	
Mo'09	7ag	0673	ss	fb			ff					10	a-c-mn	
Mo'09	7af	0427	in	dent		f	df					17	a-c	
Mo'09	7af	0780	in	fb			df					09	c-a	
Mo'09	4ah	0188	ls	fb			df					41	c-ab-a	possible costella
Mo'09	7af	0742	in	in			df					20	c-ab	
Mo'09	7af	0704	in	in			in					16	c-a	
Mo'09	8ag	0452	in	in			mf					09	c	
Mo'09	8ah	1153	in	in			in					12	ab-a	
Mo'09	7af	0433	ms	lb			ff					11	c	fractura moderna
Mo'09	7af	0430	ms	lb			ff					14	c	
Mo'09	9ae	0159	in	in			in					09	c	
Mo'09	8ac	0808	in	in			ff			3		10	c	
Mo'09	7ag	0694	ls	in			ff					15	mn-c	
Mo'09	8af	0934	in	in			ff			3		09		
Mo'09	8ae	0950	in	in			df					14	c	
Mo'09	8ad	0522	in	fb			df					13	c	
Mo'09	8ad	618	in	lb		3	df					27	a-ab-w-c	
Mo'09	7ad	0601	in	lb		3	ff					19	mn-c	
Mo'09	7ad	0601	in	lb		3	df					12	mn-c	
Mo'09	8ae	0928	in	in			df					13	c-ab-a	
Mo'09	8ac	0009	ls	lb		3	ff					15	a-c	
Mo'09	8ac	0009	ls	lb		3	ff		1lm			21	a-c	
Mo'09	8ac	0009	ls	lb		3	df					24	a-c-p	
Mo'09	8ad	0033	in	in			ff		3-4			10	c-a	
Mo'02	8af	0024	ls	lb		3	df					20	w-c-p	esquerdes longitudinals
Mo'02	8ag	0051	in	lb		3	df					18	w-a-ba	
Mo'02	8ab	0104	in	d		f	in					06	c-ab	
Mo'02		0033	ls	lb			df						w-ab-c	18 fragments longitudinals
Mo'02	9ae	0038	in	in			df		5			07	c	
Mo'02	8af	0018	in	lb		3	ff					16	w-c-a-ab	
Mo'02	9ab	0043	in	in			df					17	w-c-mn-a	
Mo'02	7ag	0074	in	in			df					17	w-a-ab	
Mo'02	7ag	0068	ls	lb			df					36	c-ab-a-w	
Mo'02	6ag	0084	in	in			df					18	c-a-w	fractura moderna
Mo'02	7ag	0093	in	lb		3	ff					18		fractura moderna
Mo'02	7ag	0114	in	in			df					16	c	
Mo'02	7ag	0120	ms	lb		3	in		3			12	c	
Mo'02	8af	0028	in	fb			df					23	w-c-ab-a	
Mo'02	8ae	0045	ms	lb		3	ff					25	w-c-a-ab	
Mo'02	7ag	0084	ms	lb			df					09	c-w-ab-a	
Mo'02	7ag	0084	ms	lb			df					14	c-w-ab-a	

Anexo III

Mo'01	7ae	0119	in	in				in			3			12	c-a	
Mo'01	7ae	0141	in	lb				df			3			21	c	
Mo'01	7ac	0282	ms	lb		3		df						21	mn-a-c	fractura moderna
Mo'01	7ad	0221	ms	lb				df						41	mn-c-w-ab	
Mo'01	7ad	0260	in	in				df						15	c	
Mo'01	6ac	0053	in	in				in						12	c-mn	
Mo'01	7ad	0257	in	lb				df						15	c-w-ab	esquerdes longitudinals
Mo'01	7ac	0153	ls	lb				in						34	c-w-ab	
Mo'01	7ac	0151	ms	lb		3		ff						16	mn	
Mo'01	6ac	0093	in	in				in						16	c-ab-w	
Mo'01	7ac	0231	in	lb				ff						25	c-mn	
Mo'01	7ad	0115	in	in				in						11	c-mn	fractura moderna
Mo'01	7ae	0157	ls	dent		f		in						15	c	
Mo'01	7ad	0239	in	lb				ff						21	mn-c	
Mo'01	7ab	0270	in	dent		f		mf						10	c	
Mo'12	6ac	0610	in	lb		3		df						14	mn-ab-a-w	
Mo'12	6ac	0601	in	dent		f		in						11	c-mn	
Mo'12	7ac	1163	ls	lb				df						27	w-ab-c	esquerdes longitudinals
Mo'12	6ad	0927	ls	lb		3		df						17	c-ab-a-w-mn	
Mo'12	6ae	0888	ms	lb		3		df						34	c-ab-a	fractura moderna
Mo'12	7ag	1184	in	dent		f		ff						09	c-mn	
Mo'12	8ac	1073	ms	ab				in						12	c-mn	
Mo'12	7ae	1201	ls	lb				df						24	c-a-ab	
Mo'12	7af	1159	ls	lb		3		df						35	c-a	
Mo'12	6af	0776	ms	ab				df						13	c-a	
Mo'09	5am	0419	ls	lb		3		ff						45	w	
Mo'09	8ad	0579	ms	in				mf						19	mn	fragmentat modern
Mo'09	7ad	0631	ms	lb		3		ff						15	a-mn	
Mo'09	7ag	0403	ss	in				mf						12	a	
Mo'09	7ag	0403	ss	lb		3		df						12	a	
Mo'	8ag	0446	ss	in				df						21		
Mo'	8ag	0446	ss	in				mf						19	c	
Mo'	8ag	0443	ss	in				ff						13		
Mo'09	8af	1224	ss	in				mf						20	mn	
Mo'09	4ah	0236	ss	lb		3		df						22	p	
Mo'09	8ae	0808	ms	lb		3		mf						33		fragmentat modern
Mo'	8ag	0441	ms	in				df						25		
Mo'	8ag	0441	in	in				ff						19		
Mo'09	8af	1044	in	in				in			3			13	p	
Mo'09	8ae	0988	ms	lb		3		ff						29	a-mn	
Mo'09	7ag	0468	ss	lb		3		mf						16	c	
Mo'09	9af	0431	ss	in				in						18	a	
Mo'09	7ag	0464	ss	in				df						12	p	

Anexo III

Mo'09	8ae	0887	ms	in				mf					16	mn	
Mo'09	8af	1135	ms	lb		3		df					29		
Mo'09	8ad	0629	ls	lb		3		ff					29	c	
Mo'09	7ag	0516	in	in				ff					30	c	
Mo'09	7ag	0516	in	in				df					17		
Mo'09	8ad	0639	ls	lb		3		ff					30	a-mn	
Mo'09	8ad	0639	ls	lb		3		ff					31	a-mn	
Mo'09	9ab	0241	ms	in				ff					21	c	
Mo'09	8ad	0601	ms	in				ff					20	p	
Mo'09	8ad	0597	in	lb		3		ff					20	c	
Mo'09	8ac	0656	in	in				ff			3		09		
Mo'09	9ab	0251	ms	lb		3		ff					21	c	
Mo'09	7ae	0461	ss	lb		3		mf					20	mn	
Mo'09	8af	1237	ss	lb		3		df					16	a-mn-p	
Mo'09	8af	1241	ss	lb		3		ff					12	a-mn	
Mo'09	4ah	0276	in	lb		3		ff					16	c-a	
Mo'09	8ae	0786	ss	lb		3		ff					15	c-mn	
Mo'09	4ah	0264	in	lb		3		df					13	p-mn	
Mo'09	4ah	0112	ms	lb		3		mf					21	w-mn	
Mo'09	7af	0757	in	lb		3		ff					13	mn	
Mo'09	7af	0444	ms	lb		3		df					13	c	
Mo'09	8af	1213	ls	lb		3		ff					24	a	
Mo'09	7ag	0483	ms	lb		3		df					14	c	
Mo'09	4ah	0246	ls	lb		3		ff					36	c	
Mo'09	9ae	0160	ls	lb		3		df					26	a-c	
Mo'09	8ad	0621	in	in				df			3		16	a-c	
Mo'09	8ad	0673	ss	lb		3		df					26	c	
Mo'09	8ae	0914	ms	lb		3		df					27	c	fragmentat modern
Mo'09	8ac	0828	ss	lb		3		df					19	p-mn	
Mo'09	8ag	0480	ms	lb		3		df					27	a-mn	
Mo'09	4ah	0288	ms	lb		3		mf					30	a	fragmentat modern
Mo'09	8ae	0915	ms	lb		3		ff					16	a	
Mo'09	8ac	0730	ms	lb		3		df					20	a-mn	
Mo'09	8ad	0600	in	lb		3		in					15		
Mo'09	7af	0326	in	in				mf	cp				08		sembla una estella
Mo'09	8af	1119	ms	lb		3		ff					25	a	
Mo'09	8af	1124	ss	lb		3		ff					22	a	
Mo'09	4ah	0253	ms	lb		3		ff					22	a	
Mo'09	8ae	0762	ss	lb		3		ff					17	a	
Mo'09	7ae	0578	in	lb		3		ff					17	a-mn	
Mo'09	7ae	0440	in	in				in					15		
Mo'09	4ah	0283	in	in				mf			3		14	c-a	
Mo'09	7af	0526	in	lb		3		mf					13	a	
Mo'09	7af	0539	ms	lb		3		ff			3		10	c-a	

Anexo III

Mo'09	8ad	0588	ms	lb		3		mf					22	mn	
Mo'09	7ae	0532	in	in				df					15	a	
Mo'09	8ag	0415	ss	lb				df					15	a	
Mo'09	7af	0321	ms	lb		3		ff					17		
Mo'09	4ah	0106	ls	lb		3		df					29	mn-c	
Mo'09	7ae	0551	ms	lb				ff					16	mn-a	
Mo'09	4ah	0272	ls	dent		f		df					12	c	possiblement conill
Mo'09	9ac	0412	in	in				ff			3		14	c	
Mo'09	8af	1200	ms	lb		3		df					15	mn	
Mo'09	7af	0375	in	lb		3		ff					12		
Mo'09	7ag	0472	ls	lb		3		ff					23	c-mn	
Mo'09	4ah	0279	ms	in				ff					14	a	
Mo'09	9af	0427	ls	lb		3		df					30	c-a	
Mo'09	7ag	0476	in	in				ff					12	mn	
Mo'09	7ae	0531	in	in				df					13	a-ab	
Mo'09	8ae	0817	ls	lb		3		ff					29	a-mn	
Mo'09	8af	1110	ss	lb		3		df					12	a	
Mo'09	7af	0644	in	lb		3		ff					12	a-mn	
Mo'09	8af	0426	in	lb		3		mf					15	ab-a	
Mo'09	8ae	0963	ls	lb		3		ff					20	mn-a	
Mo'09	8ad	0631	ss	lb		3		ff					20	a-mn-c	
Mo'09	8ad	0631	ss	lb		3		ff					16	c	
Mo'09	7ad	0397	ms	lb		3		ff					09	mn	
Mo'09	7ad	0597	in	lb		3		df					20	a-mn	
Mo'09	8ae	0919	in	in				mf					16	c	
Mo'09	5ah	0439	ms	in				ff					06	mn-p	
Mo'09	5ah	0439	ms	in				df					14	c	
Mo'09	7af	0846	in	in				ff					09		
Mo'09	7af	0428	in	in				mf					08		
Mo'09	7ag	0555	in	in				df					11	ab	
Mo'02	5ab	0005	ls	lb		3		ff					24	w-mn-a	
Mo'02	7ag	0053	ls	lb		3		df					26	a-c-mn	
Mo'02	7ag	0073	ss	lb		3		df					31	c	
Mo'02	7ag	0079	ms	lb		3		df					24	ab-c-a	
Mo'02	8af	0060	ls	lb		3		df					36	ab-a-c	
Mo'02	8af	0060	ls	lb		3		df					42	c-ab-a	
Mo'02	7ag	0121	ls	lb		3		df					44	ab	
Mo'02	7ae	0119	ls	lb		3		df					23	c	
Mo'02	7ag	0119	ms	lb		3		df					20	p-ab-a	
Mo'02	8ae	0105	ms	lb		3		df					26	ab-a-c	
Mo'02	8ae	0079	ls	lb		3		df					32	a-ab-c	
Mo'02	8ad	0072	in	lb		3		df					19	a-ab-c	
Mo'02	6ag	0082	in	lb		3		df					21	c-a	
Mo'02	9ag	0088	ls	lb		3		df					32	ab-a	

Anexo III

Mo'02	7ag	0122	ls	lb		3		df					33	ab-a-mn	
Mo'02	8ae	0059	in	lb		3		df			3-5		13	ab	
Mo'02	7ab	0090	ls	lb		3		df					42	ab-mn-c	
Mo'02	8ae	0097	in	in				ff			3		07		
Mo'02	8ae	0114	ss	lb		3		df			3		13	p	
Mo'01	7ae	0115	in	in				df			3		14	p-c	
Mo'01	7ae	0115	ms	lb		3		df			3		27	a-c	
Mo'01	7ae	0116	in	in				df			3		08	c	
Mo'01	7ae	0103	ss	lb		3		mf					20	a-mn-c	
Mo'01	7ae	0105	in	in				df					15	c	
Mo'01	7ae	102	in	lb		3		mf					21	mn	fragmentat modern
Mo'01	7ae	0081	ms	lb		3		df					15	c-a	
Mo'01	7ae	0081	in	lb		3		df			3		14	c	
Mo'01	7ae	0081	ss	lb		3		ff			3-5		13	c	
Mo'01	7ae	0081	in	dent		f		ff					11	c	múltiples fragments
Mo'01	6ad	0081	ms	lb		3		mf					15	a-mn	
Mo'01	7ac	0396	ls	lb		3		mf					14	ab	
Mo'01	7ad	0103	ms	lb		3		df					24	mn-a	
Mo'01	7ac	0321	ls	lb		3		mf					26	c-ab	fragmentat modern
Mo'01	7ac	0170	ls	lb		3		df					19	a-c	
Mo'01	7ae	0128	ms	lb		3		df					22	a-ab-c-p	
Mo'01	6ab	0133	ss	lb		3		df					17	mn-a	
Mo'01	6ab	0133	ms	in				df			3		13	c	
Mo'01	7af	0186	ls	lb		3		df					23	ab	
Mo'01	7af	0186	ss	lb		3		ff					10	mn	
Mo'01	7ae	0106	in	lb		3		ff			3-5		10	c	
Mo'01	7ae	0106	ms	fb				in					17	w-a-c	
Mo'01	7ae	0106	ms	fb				ff					13	a-c	
Mo'01	7ae	0106	ls	lb		3		in					25	c-a	
Mo'01	7ae	0018	in	lb		3		mf					17	ab-c	
Mo'01	7ac	0185	in	lb		3		in			3		20	ab	
Mo'01	7ad	0236	in	in				ff					13	ab-a-w	
Mo'01	6ac	0083	ms	lb		3		df					17	ab-a-c	
Mo'01	7ad	0235	in	in				mf					10	mn-a	
Mo'01	7ac	0413	ss	lb		3		df			3		16	c-a	
Mo'01	6ab	0151	ss	lb		3		df			3		15	ab-a	
Mo'12	6ac	0736	ms	dent		f		ff					27	c-mn	
Mo'12	6ac	0745	ls	lb		3		mf					16	c-a	
Mo'12	6ac	0745	in	in				mf					15	mn-ab	
Mo'12	6ac	0742	ms	lb		3		ff	lcn				25	c-mn	
Mo'12	6ad	1045	ms	lb		3		ff					36	c	
Mo'12	7ad	1232	ms	lb		3		ff					20	a-c	
Mo'12	6ac	0731	ms	lb		3		ff					26	a-c	
Mo'12	6ad	1046	ls	ab				df					30	c-a-mn	

Anexo III

Mo'12	6ac	0757	ms	ab				df					19	c	
Mo'12	6ae	0800	ms	fb				df					22	mn	
Mo'12	6ae	0868	ls	ab				df					36	c	
Mo'12	6af	0793	ms	in				df					16	c	
Mo'12	6ag	0272	in	lb		3		df					31	c	
Mo'12	6ag	0260	ls	lb		3		df					25	ab-c	
Mo'12	6ag	0264	in	in				df					20	ab	
Mo'12	7ae	1217	in	in				df					09	ab	
Mo'12	7ag	0880	in	lb		3		ff		3			11	c	
Mo'12	6ac	0756	ms	lb		3		ff					19	ab-mn	
Mo'12	6ae	0793	ls	lb		3		df					18	c	
Mo'12	7af	1126	ls	in				df					21	ab-a-c	
Mo'12	6af	0757	ls	lb		3		mf					28	ab-c	
Mo'12	6ac	0594	ms	in				ff					25	c	
Mo'12	6ac	0593	ms	ab				df					11	mn	
Mo'12	7ag	0877	ms	lb		3		ff					12	a	
Mo'12	8ae	1169	ms	lb		3		df					12	ab-a	
Mo'12	8ac	1038	ms	lb		3		ff					20	mn-a	
Mo'00	6ae	0100	in	in				df		3			05	c	
Mo'00	6ae	0192	ms	lb		3		ff					42,1	a-ab-c-mn	
Mo'00	6ae	0416	ls	fb				in					18,3	a-mn-p	
Mo'00	6ae	0434	ms	lb		3		ff					19,1	p-w-mn-c	
Mo'00	6af	0190	ls	lb		3		df		3-5			16,4	c	
Mo'00	6af	0190	ls	lb		3		df		5			11,5	c	
Mo'00	5ae	0056	ms	lb		3		ff					17,5	c-a	
Mo'00	5ae	0059	in	dent		f		in					11,5	mn	
Mo'00	5ae	0072	ms	lb		3		ff					13,1	a-p-c	
Mo'00	5ae	0057	ls	fb				ff					15,5	c	
Mo'00	5ae	0064	ms	fb				ff					24,1	p-c-a	
Mo'00	6ae	0093	ms	lb		3		ff					28,1	w-c	
Mo'00	6af	0160	ls	lb		3		ff					28,5	a-c-w	
Mo'00	6ae	0392	ss	lb		3		ff	lc				29,1	c-ab-mn	
Mo'00	6ae	0392	ss	in				ff					26,1	mn-c-w	
Mo'00	6ae	0392	ss	lb		3		ff					21,4	mn-c	
Mo'00	6ae	0392	in	in				in					13,1	c-ab	
Mo'00	5ae	0046	ls	in				ff					14,1	c-w-ab	
Mo'00	6af	0364	ms	lb		3		ff					29,1	a-mn-c	
Mo'00	6af	0419	ss	lb		3		in					17,2	mn-c	
Mo'09	7ae	0603	ms	lb		3		ff					21,2	c	
Mo'09	8ad	0549	ls	lb		3		ff					40,1	c-ab	
Mo'09	8ad	0549	ls	lb		3		ff					36,3	c-ab-w	
Mo'09	7ae	0480	ms	in				df		3			14,4	c	
Mo'09	4ah	0289	ss	lb		3		mf					19,1	c-ab	
Mo'09	7ae	0635	ms	lb		3		df		3			15,2	c	

Anexo III

Mo'09	8ae	0984	ms	lb		3		ff					23,2	c-ab	
Mo'09	8ae	0902	ms	lb		3		ff					17,1	a-mn	
Mo'09	4ah	0199	ms	lb		3		ff					16,5	a-ab-mn	
Mo'09	8ad	0686	ms	lb		3		ff					20,1	w-mn-ab	
Mo'09	8ad	0686	ms	lb		3		df					15,1	c-w	
Mo'09	8ad	0686	ms	lb		3		ff					22,1	c-ab	
Mo'09	8ad	0686	ms	lb		3		ff					12,4	c-ab	
Mo'09	8ad	0686	ms	lb		3		df					13,6	c	
Mo'09	8ad	0686	ss	fb				ff					11,3	mn-p-w	
Mo'09	8ad	0686	ms	in				mf					16,2	c	
Mo'09	8af	1220	ms	lb		3		ff					25,7	mn-c-w-ab	
Mo'09	4ah	0115	ls	lb		3		in					29,1	6	
Mo'09	7ae	0465	ss	lb		3		fe					15,1	c-mn	
Mo'09	8af	1223	ss	lb		3		ff					25,3	w-mn-a	
Mo'09	8ac	0802	ms	ab				ff					14,4	ab-c	
Mo'09	7af	0368	ms	fb				in					17,3	c-ab	
Mo'09	7af	0748	ms	ab				df					11,5	c-w	
Mo'09	7ag	0418	ss	in				mf					08	w-c	
Mo'09	7ag	0489	ss	in				ff					12,1	c-ab	
Mo'09	7ag	0489	in	in				ff					11,7	c-ab	
Mo'09	8af	1239	ms	ab				df					10,4	w	
Mo'09	7af	0524	ss	lb		3		df					14,4	w-c	
Mo'09	7af	0524	ss	lb		3		in					19,1	w-ab	
Mo'09	7af	0538	in	dent		f		in					11,1		
Mo'09	7af	0746	in	lb		3		df					10,1	w-c	
Mo'09	7af	0746	in	lb		3		df					10,6	c-ab	
Mo'09	8ac	0844	in	dent		f		in					07		
Mo'09	8ac	0844	ss	lb		3		df					13,1	mn-w	
Mo'02	7ag	0083	ms	lb		3		ff					19,1	ab	
Mo'02	7ag	0046	ls	lb		3		df					38,1	c-a-ab-w	
Mo'02	8ad	0082	ss	lb		3		df					23,1	ab-p-a	
Mo'02	7ag	0071	ls	lb		3		ff					41,4	w-ab-a-c	
Mo'02	7ag	0071	ls	lb		3		ff					33,4	ab-c-w	
Mo'02	8ac	0092	ss	lb		3		df					12,1	a-ab	
Mo'02	7ag	0130	in	in				in		3			08	c	
Mo'02	8ad	0074	ms	lb		3		mf					12,5	w-ab	
Mo'02	8ab	0086	in	in				df					14,2	c-ab	
Mo'02	8ad	0081	ms	lb		3		df					14,1	ab-a	
Mo'02	8ad	0009	ms	lb		3		df		3-4			14,1		
Mo'02	8ac	0052	in	in				in					09	w-a	
Mo'02	8ae	0081	in	dent		f		in					18,3		
Mo'02	8ae	0126	in	in				in					13,3	c	
Mo'02	9ag	0138	ms	lb		3		df					11,1	c-mn	

Anexo III

Mo'02	8ae	0057	in	in			in			5			08	c	
Mo'02	7ag	0111	ms	lb		3	ff						32,1	w-ab	
Mo'02	8af	0023	ms	lb		3	in						20,4	c-w	
Mo'02	8ae	0080	ls	lb		3	ff						33,6	ab-a	
Mo'02	6ag	0091	ss	lb		3	ff		3-4			06	c		
Mo'02	9ad	0078	ms	in			mf						14,1	ab-a	
Mo'02	8ae	0107	ms	lb		3	ff						23,1	w-a-ab	
Mo'02	8ac	0100	ss	lb		3	ff		3			09	c		
Mo'02	9ac	91	ss	lb		2	ff						11,3	ab-w-a	
Mo'02	9ac	0045	in	d		f	in						08		
Mo'02	8ad	0064	ms	lb		3	df						27,1	w-ab	
Mo'02	6ag	0074	ss	lb		3	in						09	ab-c	
Mo'02	8af	0117	in	fb			in		3			10,1	c		
Mo'02	8ae	0120	ss	lb		3	ff						15,2	ab-c	
Mo'02	9ac	0074	ms	lb		3	ff		3				13,1	w-c	
Mo'01	7ae	0117	ms	lb		3	df		3				12,3	c	
Mo'01	7ad	0120	ls	lb		3	ff						19,3	mn-a-ab	
Mo'01	6ad	0193	in	d		f	in						08		
Mo'01	6ad	0200	ms	ld		3	ff						20,1	a-ab	
Mo'01	6ad	0200	ms	in			in						08	ab	
Mo'01	6ad	0200	ms	lb			ff		3				12,2	c	
Mo'01	6ad	0200	ms	lb		3	ff						15,1	ab-a	
Mo'01	6ad	0200	ss	lb		3	in		3				07	c	
Mo'01	6ad	0200	ss	lb		3	mf						13,1	w-mn	
Mo'01	6ad	0200	ss	in			in		3				09	c	
Mo'01	6ad	0200	in	in			in		3				06		
Mo'01	6ad	0200	ss	ab			ff						07	mn-ab	
Mo'12	7af	1212	ls	lb		3	ff						31,4	c-ab	
Mo'12	7af	1209	ms	fb			ff						19,8	a-ab	
Mo'12	6ab	0349	ms	fb			ff						20,1	c	
Mo'12	6ab	0360	in	d		f	in						16,1		
Mo'12	6ab	0356	ms	lb		3	ff						26,1	c-ab-a	
Mo'12	6ad	0917	ls	lb		3	ff						31,5	c-a	
Mo'12	6ab	0350	ms	lb		3	ff						16,1	mn-c	
Mo'12	6ad	0920	ms	lb		3	df						17,1	a-ab-c	
Mo'12	6ad	0918	ms	ab			in						19,1	c-w	
Mo'12	8ab	0778	in	dent		f	in						12,1		
Mo'12	6ab	0600	in	lb		3	ff						26,9	c	
Mo'12	8ae	1139	in	dent		f	in						20,6		
Mo'12	6ac	0620	ss	fb			ff						21,2	c	
Mo'12	6ad	11055	ls	lb		3	ff						46,1	a-ab-c	
Mo'12	6ae	0774	ss	in			in						13,6	mn-w	
Mo'12	8ac	1100	ls	lb		3	df						27,9	mn-a-c	
Mo'12	8ac	0100	ls	lb		3	ff						26,1	ab	

Anexo III

Mo'12	8ac	1101	ls	lb		3		ff					31,2	mn-c-ab	
Mo'12	8ac	1102	ms	in				mf					11,4	w	
Mo'12	8ac	1099	in	lb		3		ff					11,6	c-a	
Mo'12	8ae	1143	ms	lb		3		ff					30,1	c-ab	
Mo'12	6ae	0771	ss	lb		3		ff					16,1	c-a-w	
Mo'12	6ae	0801	ss	lb		3		df					14,6	c	
Mo'12	8ac	1105	in	in				df					08	mn	
Mo'12	6ae	0780	ss	lb		2		ff					16,2	c-ab	
Mo'12	6ab	0351	ms	lb		3		df					22,7	a-ab	
Mo'12	6ac	0713	ms	fb				ff					43,1	c-mn-a	
Mo'12	6ac	0697	ms	lb		3		ff					22,1	c-a-ab-w	
Mo'12	7ad	1002	ms	lb		3		in					18,1	mn-w	
Mo'12	7ad	0995	ms	lb		3		mf					21,3	c	
Mo'12	7ad	1029	ms	lb		3		mf					18,1	ab-w-c	
Mo'12	7ad	1016	ms	lb		2		ff					15,1	mn-w-c	
Mo'12	6ac	0680	ms	lb		3		in					20,1	c	
Mo'12	6ad	0909	ms	lb		3		ff					23,1	a-w-mn-c	
Mo'12	6ac	0671	ms	lb		3		ff					19,1	ab	
Mo'12	6ac	0722	ls	lb		3		ff					35,1	c-w	
Mo'12	6ac	0678	ls	lb		3		df					22,1	c-ab-w	
Mo'12	6ad	0933	ms	lb		3		ff					28,1	c-ab	
Mo'12	6ad	0921	ms	lb		3		ff					16,1	mn-c	
Mo'12	6ad	0914	ms	lb		3		ff					19,1	ab-c	
Mo'12	7ag	0885	ls	lb		3		ff					20,1	c-ab	
Mo'12	6ad	0926	ms	lb		3		in					27,8	w-c	
Mo'12	6ac	0617	ms	lb		3		ff					16,1	a-c	
Mo'12	6ac	0711	ls	lb		3		ff					29,1	c-a-ab	
Mo'12	8ad	0939	ss	lb		2		ff					15,2	c-a	
Mo'12	7ad	0992	ls	lb		3		ff					20,1	mn-c	
Mo'12	6ac	0720	ss	fb				mf					17,1	c	
Mo'12	6ac	0698	as	ab				in					16,4	c	
Mo'12	6ac	0699	in	lb		3		ff					22,1	ab-c	
Mo'12	7ab	0991	ms	ab				mf					13,1	c	
Mo'12	8ad	0940	ss	lb		3		in					18,1	c-a-ab	
Mo'12	6ab	0357	ss	fb				df					17,2	w-a-p-c	
Mo'12	7af	1214	ls	ab				df					23,1	ab-c	
Mo'12	6ad	1080	ms	lb		3		ff					24,6	c-mn-w	
Mo'12	6ae	0812	ls	lb		3		df					32,6	c	
Mo'12	6ad	0912	ms	lb		3		ff					23,1	mn-c-w	
Mo'12	6ad	0980	ms	lb		3		ff					20,2	c	
Mo'12	7ad	1236	ms	in				df					21,2	c-ab	
Mo'12	6ac	0606	ms	lb		3		ff					20,7	c-mn-w	
Mo'12	8ad	1044	ss	lb		3		df					19,7	ab-mn	
Mo'12	6ad	0950	ms	lb		3		in					22,6	w-c	

Anexo III

Mo'12	8ad	0987	ms	in			ff					22,4	ab-mn	
Mo'12	8ad	0990	ls	lb		3	df					18,1	a-c	
Mo'12	8ab	0772	ms	lb		3	ff					19,1	ab-mn-c	
Mo'12	7ae	1192	ms	lb		3	in					15,1	c	
Mo'12	7ae	1171	ss	lb		3	ff					22,1	w-mn-c	
Mo'12	7ae	1189	ls	lb		3	ff					26,1	mn-w-c	
Mo'12	7ad	1027	ls	lb		3	df					16,4	c-w-ab	
Mo'12	6af	0747	ms	lb		3	ff					17,1	c-a	
Mo'12	7ac	1199	ms	lb		3	ff					18,1	c-a-w	
Mo'12	6ag	0297	in	in			in					13,1	c-w	
Mo'12	6ag	0299	ms	lb		3	ff					24,1	a-w	
Mo'12	6ag	0301	ss	lb		3	df					14,2	ab-w	
Mo'12	8ae	1159	ms	lb		3	ff					14,1	mn-c	
Mo'12	7af	1160	ss	lb		3	ff					13,1	w-c-a	
Mo'12	7af	1168	ss	lb		3	df					14,1	w-a	
Mo'12	8ae	1157	ss	lb		3	ff					11,4	mn-a-c	
Mo'12	7ad	1026	in	lb		3	ff					14,1	mn-ab-c	
Mo'12	7ac	1240	ms	lb		3	ff					23,1	c-a	
Mo'12	8ae	1126	ms	lb		3	df					22,6	c-mn	
Mo'12	7ac	1170	ms	lb		3	ff					20,1	c-mn	
Mo'12	7ae	1180	ss	lb		3	ff					12,9	a-c	
Mo'12	7ab	0665	ss	lb		3	ff					09	c-ab	
Mo'12	8ad	0995	ls	lb		3	in		3			13,1	c	
Mo'12	7ab	0676	ss	lb		2	ff					13,3	c-mn	
Mo'12	7af	1150	ss	fb			ff					12,4	w-c	
Mo'12	8ae	1103	ss	lb		3	df					11,1	c	
Mo'12	7ab	0675	ss	lb		3	ff					15,6	c	
Mo'09	8af	1032	in	in			in					12	ab-p	
Mo'09	8af	1031	ms	in			in					13	ab	
Mo'09	9ae	0158	in	lb		3	in					12	w-ab	
Mo'09	7af	0756	ms	lb		3	ff	lcn				21	a-p	
Mo'09	5ah	0386	ls	fb			in		3-4			20	p	
Mo'09	8ab	0614	ms	lb		3	in					12	w	
Mo'09	8ab	0618	in	in			ff		3			12		
Mo'09	8ae	0732	ms	fb			ff					21	w	
Mo'09	9af	0434	in	in			mf					11		
Mo'09	9af	0425	in	in			in					12	a-ab-p	
Mo'09	9af	0433	ms	fb			in					18	a-ab	
Mo'09	7af	0432	ms	fb			df					14	w	en 2 fragments actuals
Mo'09	9ab	0237	ms	lb		3	ff		3			17,2	c	
Mo'09	7ad	0438	ms	lb		3	ff					21,1	mn-w	
Mo'09	7af	0631	ms	lb		3	ff					14,4	mn-c	
Mo'09	8ad	0513	ms	lb		3	ff		3			16,1	c	
Mo'09	7af	0816	ss	lb		2-4	ff					08	mn-c	

Anexo III

Mo'09	7af	0711	ss	lb		3		ff					12,6	c	
Mo'09	4ah	0218	ms	lb		3		ff					27,2	c	
Mo'09	8ac	0777	ms	fb		3		ff					16,1	c	
Mo'09	7ag	0525	in	in				in					20,5	c-a	
Mo'09	7ag	0549	ms	lb		3		ff					19,4	c	
Mo'09	8af	1201	ss	in				df					07	mn-p	
Mo'09	7af	0362	ss	lb		3		ff					11,1	c-w	
Mo'09	7af	0362	ms	ab				ff					13,1	c-ab	
Mo'09	8ag	0449	in	in				mf					14,1	c	
Mo'09	8ag	0447	in	in				mf					16,1	c	
Mo'09	8ae	0715	ms	lb		3		ff					19,7	c-ab	
Mo'09	8af	1011	in	in				in					10,6	p-c	
Mo'09	7af	0652	in	lb		3		ff					13,1	c-ab	
Mo'09	7af	0617	ss	lb		3		ff					21,1	ab-c	
Mo'09	7ad	0552	ms	lb		3		ff					20,1	c	
Mo'09	8af	0428	ls	lb		3		ff					16,1	a-c	
Mo'09	7ae	0602	ms	lb		3		ff					31,6	c	
Mo'09	7ae	0456	in	in				df					11,1	c	
Mo'09	8af	1215	ls	lb		3		ff					28,1	ab-a-mn-w	
Mo'09	8ac	0736	ls	lb		3		df					30,1	w-c-ab	
Mo'09	8af	1130	in	in				mf					16,1	c	
Mo'09	7af	0323	ms	dent		f		in					10,6	c	
Mo'09	8af	1227	ms	lb		3		ff					12,7	w	
Mo'09	4ah	0260	ms	in				df					18,1	c	
Mo'09	4ah	0259	ms	lb		3		in					13,4	c	
Mo'09	8ad	0627	ls	in				ff					26,5	ab-c	
Mo'09	7af	0754	ms	d		f		in					13,7		
Mo'09	4ah	0265	ms	lb		3		ff					38,3	c-a	
Mo'09	7ag	0482	in	in				in					10,2	c	
Mo'09	7af	0327	in	in				in					18,7	c	
Mo'09	7af	0324	ss	lb		3		ff					17,2	mn-c	
Mo'09	7af	0330	in	dent		f		in					07	c	
Mo'09	8ac	0791	ms	lb		3		df					19,4	mn	
Mo'09	7af	0436	in	dent		f		in					09		
Mo'09	7ad	0502	ms	lb		3		ff					22	a-mn-w	
Mo'09	8ad	0619	ms	lb		3		in					20,6	ab	
Mo'09	4ah	0114	ls	lb		3		df					29,1	w-ab	
Mo'09	7af	0345	in	in				in					16,3	c	
Mo'09	9ab	0242	ms	fb				df					24,1	a-ab-c	
Mo'09	7af	0702	ms	lb		3		ff					15,1	c	
Mo'09	7ad	0662	in	dent		f		in					09		
Mo'09	7af	0523	ms	lb		3		df					11,4	c	
Mo'09	7af	0553	in	dent		f		in					09		

Anexo III

Mo'09	8ag	0454	in	dent		f		in					14,6		
Mo'09	8ag	0489	ms	fb				ff					34,8	c-a-ab	
Mo'09	7ad	0660	ms	lb		3		df					16,1	c-mn	
Mo'09	8ad	0676	ms	in				in					23,1	c-ab	
Mo'09	7ae	0607	ms	fb				in					16,7	c	
Mo'09	7ae	0607	ms	lb		3		in					13,7	c	
Mo'09	7af	0438	in	fb				mf					17,1	ab-c	
Mo'09	7ac	0674	in	lb		3		ff					16,4	c-mn-w	
Mo'09	8ad	0675	ms	lb		3		ff					21,3	c-w	
Mo'09	7af	0809	ms	in				in					13,1	c	
Mo'09	4ah	0224	ms	in				in			3		11,5	cn	
Mo'09	8af	1098	ms	lb		3		in					22,5	c-mn	
Mo'09	8ad	0624	ls	lb		3		df					18,2	c-mn-ab	
Mo'09	7ad	0665	ss	lb		3		in					27,2	c-ab	
Mo'09	8ac	0816	in	in				df					17,1	c-mn	
Mo'09	7ad	0453	ss	lb		3		ff					11,1	a-mn-w	
Mo'09	7ag	0512	ms	lb		3		ff					24,1	c	
Mo'09	8ae	0820	ms	lb		3		in					24,2	mn-w	
Mo'09	7ag	0494	ms	in				ff					19,1	w-ab	
Mo'09	4ah	0183	in	in				mf					16,1	w-c	
Mo'09	8ad	0059	ms	fb				ff					48,7	c-ab-a	
Mo'09	4ah	0250	in	in				df			3		19,1	c	
Mo'09	7af	0537	ms	lb		3		ff					21,7	a-ab-c	
Mo'09	7af	0537	ms	lb		3		df					17,1	ab-c	
Mo'09	7af	0367	ms	lb		3		ff					22,1	mn-w-c	
Mo'07	8ac	0313	in	in				ff			3		09	c	
Mo'07	8ah	0982	in	in				df					13	c-ab-a-w	
Mo'07	8ah	0988	in	in				df					10	c-ab-a-w	
Mo'07	8ah	0981	in	in				df					07	c-ab-a-w	
Mo'07	8af	0557	ms	lb				ff					11	c-w-a	
Mo'07	8ah	1068	in	in				in					10	c-ab-a-w	
Mo'07	7ah	0193	in	in				in					14	c-ab-a-w-p	
Mo'07	8ac	0344	in	in				in			3		05	c-mn	
Mo'07	8ah	1057	in	lb				df					27	c-ab-w	
Mo'07	7ah	0207	ls	in				df					25	c-ab-a-w-p	
Mo'07	8ah	0846	ls	lb				df					59	c-ab-a-w	esquerdes longitudinals
Mo'07	8ac	0328	in	in				df					17	c-ab-w	
Mo'07	8ah	0958	in	in				df					10	a-c-mn	
Mo'07	8ag	0314	in	dent		f		df					09	c-mn-a	
Mo'07	8ag	0293	in	in				ff					12	c-a-ab	
Mo'07	8ad	0230	in	lb				ff					18	c-a-mn	
Mo'07	8ac	0397	in	in				df			4		06	c	siglada
Mo'07	9ac	0277	in	in				ff			5		08	c-ab	siglada

Anexo III

Mo'07	8ah	0933	in	in			in					10	mn	siglada
Mo'07	8af	0646	in	dent		f	df					06	c	
Mo'07	9ab	0143	in	in			df					10	c-ab-a	
Mo'12	6af	0739	in	lb		3	df					18	c-a-ab	
Mo'12	7af	1169	ms	lb		3	df					14	c-mn	
Mo'12	6af	0742	in	lb			mf					24	c-ab	fragmentat
Mo'12	6af	0741	in	in			df		4-5			10	c	
Mo'12	8af	1420	ls	lb			df					37	c-ab-w	fragmentat
Mo'12	7ad	1096	ls	lb			ff					18	c-mn-a-w-ab	
Mo'12	6ac	0595	ms	lb			ff					18	c-ff-mn	
Mo'12	8ae	1158	in	lb			df					20	c-w-ab-a	
Mo'12	6af	0850	ls	dent		f	in					10	c-mn	
Mo'12	8ae	1163	ms	ab			df					09	c-mn	
Mo'12	7ac	1209	in	in			mf					09	c-mn	
Mo'12	7af	1188	ls	dent		f	df					17	c-mn	fragments
Mo'12	6af	0798	in	lb			df					22	c-mn	fractura moderna
Mo'12	7ad	1045	in	in			in					14	c-mn-ab	
Mo'12	6ag	0311	in	in			df		3			12	c-mn-a-ab	
Mo'12	8ae	1096	in	fb			ff					08	c-mn-a	
Mo'12	6af	0781	in	in			df		3-4			21	c	
Mo'12	6af	0781	in	in			df		5			11	c	
Mo'12	8ac	1034	in	in			in					10	ab-w-c-mn	
Mo'12	7af	1233	ls	lb			df					48	c-w	16 fragments estelles
Mo'12	6af	0848	in	lb			df					22	c-mn-a	
Mo'12	6af	0759	in	in			df		5			10	c-ab	
Mo'12	7ab	0677	in	dent		f	ff					12	c-mn	garbell
Mo'12	7af	1190	in	in			ff					18	c-mn	
Mo'12	6af	0775	in	dent		f	in					07	c	
Mo'12	6af	0794	in	lb		3	df					24	ab-w-c-a	
Mo'12	7af	1162	in	lb			df					26	c	14 estelles fragmentades
Mo'12	8ac	0998	in	in			in					09	ab-w-c-ap	fractura moderna
Mo'12	7ae	1211	ms	dent		f	df					11	mn-c-a	4 fragments, fractura moderna
Mo'12	7ag	0894	ms	lb		3	df					27	c-ab-w-mn	
Mo'12	7af	1198	in	lb		3	df					21	c-a-mn	
Mo'12	8af	1412	ls	lb		3	df					28	c-mn-a	
Mo'12	6ae	0832	in	lb			df					21	c-ab-a-w	
Mo'12	7af	1172	in	in			df					21	a-ab-w-c	fractura moderna
Mo'12	6af	0814	in	lb		3	ff					17	c	
Mo'12	7ac	1167	in	in			df					11	a-c-ab	
Mo'12	6af	0840	in	in			in		3			08	c-ab	
Mo'12	7ad	1118	ms	dent		f	df		4			16	c-a	fractura moderna
Mo'12	7ac	1180	in	in			df					09	a-c	
Mo'12	6ac	0650	in	lb			df					17	c-a-mn	

Anexo III

Mo'12	7ae	1234	in	dent		f		df					11	c	
Mo'12	8ad	0970	in	lb				df					32	c-a-w-mn-ab	
Mo'12	6ac	0611	in	in				df					12	c-ab	6 fragments
Mo'12	8ae	1164	in	in				df					16	c-ab-mn	
Mo'12	8af	1404	ms	ab				df					14	a-c-w-ab	
Mo'12	8af	1048	in	in				ff					12	c-a	
Mo'12	6ac	0691	ls	in				df					36	c-a-ab-mn	
Mo'12	7ae	1235	in	in				in		3			06	c	
Mo'12	8ae	1166	in	in				df					18	c-a-ab-p	8 fragments
Mo'12	7af	1189	in	in				ff					16	c-mn-a	
Mo'12	7af	1189	in	fb				df					16	c-mn-a	
Mo'12	6af	0831	in	cra				df					08	c-mn-ab-a	
Mo'07	8dh	0963	in	in				df					12	c-ab-p-a	pot ser que quadre equivocat? 8AH? o BH?
Mo'07	9ah	679	ls	lb		3		ff					23	c-a-ab-p	
Mo'07	5ah	0355	ls	lb		3		ff					35	c-mn	
Mo'07	5ah	0352	ms	fb				ff		5			12	mn	
Mo'07	8ac	0315	ms	in				df					18	mn-c-a	
Mo'07	9ah	0687	ms	dent		f		in		3			11	c	
Mo'07	9ah	0682	ls	lb		3		df					30	a-c-p-mn-ab	
Mo'07	7ah	0205	in	in				df					16	c-ab-p-a-w	
Mo'07	8ah	0935	in	in				mf					09	c-mn-a	
Mo'07	8ah	1061	in	lb				df					16	c-mn-a-p-w	
Mo'07	8ah	0936	ls	fb				df					33	a-c-p	
Mo'07	9ac	0193	in	in		in		df	cp				13	p	
Mo'07	9ac	0218	in	in				in	cp				07	mn-c	
Mo'07	7ag	0239	ls	in				df					29	c-ab-a-w	
Mo'07	6ah	0439	in	lb				df					18	c-ab-a	
Mo'07	10ag	1014	ls	lb				df					75	c-ab-mn-p-a	
Mo'07	8ag	0239	ms	lb				df					21	mn-c-ab	
Mo'07	9ac	0312	ms	dent		f		df					12	c-mn	
Mo'07	7ah	0185	in	lb				df					34	c-ab-w	
Mo'07	5ah	0291	ls	lb		3		ff					37	c-ab-w-mn	
Mo'07	8ac	0323	in	in				mf					09	c-mn	
Mo'07	9ac	0223	in	in				in		5			10	mn-p	
Mo'07	8ah	0911	in	lb				df					22	mn-a-c-w	
Mo'07	8ac	0311	in	in				mf					15	c-w-ab	
Mo'07	8ah	1127	in	lb				ff					15	c-mn	
Mo'07	5ah	0328	ms	lb				df					18	mn-c	
Mo'11	6ab	0258	ls	lb				df					53	mn-c-a-ab	
Mo'06	6ae	0213	ls	fb				ff					46	a-c-ab-mn	
Mo'11	7ab	0560	ls	lb		3		df					31	mn-c-ab-a-p	
Mo'11	7ab	0603	ls	fb				df					25	a-ab	

Anexo III

Mo'11	6ab	0326	ls	fb				ff					31	c-mn-a-ab	
Mo'11	7af	1026	ms	ab				df					13	c-mn-ab	
Mo'11	6ad	0753	ms	ab				df					21	a-ab-c	
Mo'01	7af	0029	ms	dent		f		df					16	c-ab	6 fragments
Mo'10	7ac	0797	ls	lb		3		ff					36	mn-a	
Mo'12	7ae	1181	ls	dent		f		df					14	c-ab	
Mo'11	8ag	0555	ms	lb		3		ff					39	mn-c-a-ab	
Mo'06	9ad	0081	ms	dent		f		df			3		18	c-ab-a	esmalt calcinat
Mo'06	9ad	0081	ms	dent		f		df					12	c-ab-a	
Mo'11	7af	1039	ls	lb		3		ff					45	c-ab-a-mn	
Mo'08	7ae	0250	in	dent		f		mf					14	c-ab	
Mo'07	8ag	0346	in	dent		f		df					11	c-ab-a	4 fragments
Mo'07	8ag	0262	in	in				df					24	c-a-ab-p	
Mo'07	8ah	1116	in	in				df					15	ab-c-a	
Mo'07	8ah	1109	in	in				in					12	c-a-ab	
Mo'07	8ah	0932	in	in				in					15	a-c-ab-p	
Mo'07	8af	0611	in	lb				ff					19	c-a-ab	
Mo'07	8af	0536	in	lb				df					16	mn-c-a-ab	
Mo'07	9ab	0153	in	in				in					35	c-ab-p-mn-a	
Mo'07	9ab	0153	in	dent		f		in					10	c-ab	
Mo'07	8ah	1104	in	in				df					12	c-ab	
Mo'07	9ac	0281	in	in				in					09	c-mn-ab-a	
Mo'07	9ac	0253	in	in				df					12	c-ab-a	
Mo'07	6ah	0411	in	in				df					20	c-ab	
Mo'07	8ad	0256	in	in				in					12	c-ab	
Mo'07	8ab	0371	in	in				in					16	c-ab-a	
Mo'07	8ad	0235	in	in				in					14	c-ab	
Mo'07	8ah	0839	ls	lb				mf					34	c-ab-ab	
Mo'07	7af	0210	in	in				df					09	c-ab-a	
Mo'07	7af	0213	in	in				df					12	c-ab-a	
Mo'07	8ac	0401	in	fb				df					09	c-mn	
Mo'07	8ah	0955	in	in				in					07	c-mn-a-p	
Mo'07	8ah	1058	in	in				in					11	ab-c-a	
Mo'07	8ac	0316	in	lb				df					09	mn-ab-p-c	
Mo'07	7ad	0315	in	in				mf					26	c-mn-ab	
Mo'07	7ag	0219	in	in				df					13	a-c	
Mo'07	8ac	0333	in	in				df					13	c-mn-p-ab	
Mo'07	9ah	0715	in	in				df					16	c-ab-a	
Mo'07	8ah	1083	in	in				df					09	a-c-mn	
Mo'07	8af	0688	in	in				in					07	c-ab	
Mo'07	5ah	0285	in	lb		3		in					37	a-ab-c-p	
Mo'07	8ac	0116	in	in				df					14	ab-mn-p-w-c-a	
Mo'07	8af	0672	in	dent		f		df			3-5		10	c-ab	
Mo'07	8ae	0415	ms	dent		f		df					15	c-mn-a-ab	

Anexo III

Mo'12	7ag	0897	ms	in			df					15	mn-c	
Mo'12	7ad	1173	ms	lb		3	ff					22	mn-c	
Mo'12	7ad	1175	ls	lb		3	df					26	mb-c	
Mo'12	7ad	1170	ms	in			df					18	ab-c	
Mo'12	7ad	1184	ms	lb		3	ff					18	a-c	
Mo'12	6af	0773	ls	lb		3	ff					46	a-c	
Mo'12	8ae	1104	ls	lb		3	df					23	c	
Mo'12	6ae	0795	ms	lb		3	ff					16	mn-c	
Mo'12	6ag	0315	in	in			df					26	ab-a-c	
Mo'12	8ae	1095	in	in			df		3			11	c	
Mo'12	6ac	0601	ls	lb		3	ff					35	mn-c	
Mo'12	6ae	0765	ls	lb		3	ff					33	mn-c	
Mo'12	6ac	688	ms	in			df					14	a-c	
Mo'12	6ac	0673	ls	lb		3	ff					39	a-mn-c	
Mo'12	8ae	1119	ls	lb		3	ff					20	a-mn-c	
Mo'12	6ad	0951	ls	lb		3	ff					29	ab-c	
Mo'12	8ae	1121	ms	in			ff					09	a-mn-c	
Mo'12	6ac	0639	in	dent		f	df					10	mn-c	fragment dent
Mo'12	6af	0748	in	in			df		3			10	c	
Mo'12	8ae	1168	ms	in			df		3			13	c	
Mo'12	7ac	1182	ms	dent		f	df					11	mn-c	fragment de dent
Mo'12	7ac	1173	ls	dent		f	ff					14	mn-c	
Mo'12	7ac	1206	in	dent		f	df					07	mn-c	
Mo'12	7af	1195	ls	dent		f	ff					14	mn-c	
Mo'12	6ag	0331	ls	lb		3	df					19	mn-c-w	
Mo'12	8ac	1024	ls	lb		3	ff					18	mn-c	
Mo'12	8ac	1005	ls	d		f	ff					10	c	
Mo'12	7ac	1193	ms	in			df					08	ab-c	
Mo'12	7ac	1192	ms	lb		3	ff					15	mn-c	
Mo'12	6ad	0976	ls	lb		3	mf					16	ab-c	
Mo'12	6ac	0613	ls	lb		3	mf					13	a-c	
Mo'12	7ad	1009	ls	fb			df					14	mn-c	
Mo'12	8ae	1102	ls	lb		3	ff					19	mn-c	
Mo'12	8ac	1012	in	in			ff					07	mn-c	
Mo'12	8ae	1107	ms	in			df					14	w-mn-c	
Mo'12	6ag	0323	ms	lb			df					11	a-c	
Mo'12	6af	0842	ms	in			df					14	w-c	
Mo'12	8ac	1084	ms	lb		3	df					12	a-c	
Mo'12	8ac	1013	ls	in			df					13	ab-c	
Mo'12	6ac	0616	ms	fb			ff					18	a-c	
Mo'12	6af	0796	ms	in			df					13	a-c	
Mo'12	7ac	1175	ms	dent		f	ff					09	mn-c	
Mo'12	6af	0828	in	in			df		3			05	c	
Mo'12	8ae	1092	ms	lb		3	ff					12	a-w-c	

Anexo III

Mo'12	6ag	0310	ls	lb		3		df			3			11	a-ab-c	
Mo'12	8ac	0993	ms	in				df						09	a-c	
Mo'12	6ag	0324	ls	lb		3		df						17	ab-c	
Mo'12	6ac	0621	ms	lb		3		df						15	mn-c	
Mo'12	7af	1122	ls	ld		3		df						17	mn-c	
Mo'12	6af	0744	in	dent		f		ff						06	mn-c	fragment dent
Mo'12	7ae	1194	ls	lb		3		ff						11	c	
Mo'12	7ad	1192	ls	lb		3		df						15	a-c	
Mo'12	7ad	1174	in	in				df						17	c	
Mo'12	7ae	1216	ls	in				df						18	a-c	
Mo'12	6af	0818	ms	lb		3		ff						16	c	
Mo'12	8ab		ms	dent		f		ff						09	mn-c	"garbell 4"
Mo'12	8ab		ms	lb		3		ff						10	c	"garbell 4"
Mo'12	8ab		ls	in				mf						13	ab-mn-c	"garbell 4"
Mo'12	7ad	1217	ms	fb				ff						19	a-mn-c	
Mo'12	6af	0780	ss	dent		f		ff						06	mn-c	
Mo'12	7af	1202	ms	in				df						14	ab-c	
Mo'12	8ac	1027	ls	lb		3		ff			3			16	c	
Mo'12	6af	0756	in	in				ff			3			07	c	
Mo'12	8ad	0978	ls	lb		3		ff						13	ab-a-c	
Mo'12	7ae	1219	ls	lb		3		ff						18	a-c	
Mo'12	8ad	1018	in	in				df						10	w-c	
Mo'12	6ae	0817	ls	lb		3		df						15	ab-c	
Mo'12	7ad	1115	ls	lb		3		df						18	mn-c	
Mo'12	6ag	0306	ms	in				ff						12	a-c	
Mo'12	6ag	0284	in	fb				df						15	ab-a-c	
Mo'12	6af	0838	in	in				mf						13	c	
Mo'12	6ab	0342	ms	lb		3		df						17	c	
Mo'12	8ad	1043	ms	lb		3		ff						26	mn-c	
Mo'12	6af	0820	ls	ab				df			3			16	ab-a-c	diferents frag. podrien (???)
Mo'12	7af	1210	ms	in				mf						15	a-mn-c	
Mo'12	6af	0836	in	fb				ff						10	a-c	
Mo'12	6ag	0263	ls	lb		3		df						14	a-c	
Mo'12	7ad	1205	ss	mt		3		ff						06	mn-c	metàpode
Mo'12	6ac	0695	ms	lb		3		ff						19	a-mn-c	
Mo'12	8af	1515	ms	fb				ff						20	ab-a-c	
Mo'12	7ae	1236	in	in				ff						09	mn-c	
Mo'12	7ae	1187	ms	fb				df						13	a-w-c	
Mo'12	6ae	0885	ls	lb		3		df						20	a-c	
Mo'12	6af	0789	ls	in				mf						17	c	
Mo'12	8ac	1076	ms	ab				df						15	a-ab-c-n	
Mo'12	7ad	0982	in	fb				ff						06	mn-c	
Mo'12	6af	0778	ms	in				ff						13	ab-a-c	
Mo'12	6af	0778	ms	fb				mf						10	a-c	

Anexo III

Mo'07	8ah	1088	ls	in				df					14	c	
Mo'07	8ah	1070	in	in				df					07	a-c	
Mo'07	8ag	0203	ls	lb		3		df					29	a-ab-c-n	
Mo'07	8ah	1069	ls	lb		3		df					21	a-c	
Mo'07	8ah	1046	ls	lb		3		df					21	a-ab-c	
Mo'07	7ah	0194	in	ab				df			3		08	a-c	
Mo'07	9af	0345	ls	lb		3		df					26	ab-w-c	
Mo'07	5ah	0342	in	lb		3		ff	lc	7om s			16	mn-p	middle o large size
Mo'07	8ah	0947	ls	lb		3		df					26	a-c	
Mo'07	8ae	0106	ls	lb		3		df					15	a-mn-c	
Mo'07	7ah	0125	ms	in				df					24	ab-c	
Mo'07	7af	0562	ms	lb		3		ff					15	a-c	
Mo'07	8ah	0919	ls	lb		3		ff					24	a-c	
Mo'07	8ag	0292	ms	in				df					19	a-c	
Mo'06	8af	0722	ms	in				ff					13	a-ab-c	
Mo'07	8ag	0293	ls	lb		3		df					26	a-c-w	
Mo'07	5ah	0316	ls	fb				df					16	a-mn-c	
Mo'07	8ac	0423	ls	in				df					09	a-c-w	
Mo'07	8ah	1005	in	fb				ff		3			16	a-c	
Mo'07	9ae	0122	in	in				df					17	a-c-w	
Mo'07	8af	0637	in	lb		3		df					18	a-ab-c	
Mo'07	9ab	0154	in	dent		f		df					09	c	identificació dubtosa
Mo'07	9ab	0154	ls	in				df		3			12	a-c	
Mo'07	8ac	0405	ms	lb		3		df					22	mn-c	
Mo'07	8ah	0849	ls	lb		3		df					23	a-c	
Mo'11	9ad	0153	ls	lb		3		df					12	a-mn-c-w	
Mo'07	7ag	0225	ls	lb		3		df					52	a-ab-c	
Mo'07	8af	0667	ms	dent		f		ff					07	a-mn-c	fragment dent
Mo'07	5ah	0292	ls	lb		3		df					24	a-ab-c-w	
Mo'07	5ah	0327	ls	lb		3		df		4			15	a-ab-c	
Mo'07	8ah	1129	ls	fb				ff					25	a-mn-c	
Mo'07	7af	0209	in	fb				ff					10	c	
Mo'07	5ah	0365	ls	in				df		3			14	a-c	
Mo'07	5ah	0365	ls	in				df		3			14	a-c	
Mo'07	9ac	0256	in	in				ff		3			06	c	
Mo'07	6ah	0449	ls	lb		3		df					18	a-mn-c	
Mo'07	8ah	0880	in	lb		3		df					13	a-ab-c	marques no identificades separades per foto
Mo'07	8ag	0300	ms	in				df					19	a-ab-c	
Mo'07	8ae	0401	ls	dent cérvol		f		df					16	a-mn-c	frag molariforme. det per rugositat esmalte
Mo'07	8ah	0883	ls	lb		3		df					25	a-w	
Mo'07	8af	0654	in	in				df					15	a-ab-c	
Mo'07	7ag	0226	ls	lb		3		df					44	a-ab-w-c	
Mo'07	7af	1053	ls	lb		3		df					52	a-c-w	

Anexo III

Mo'07	8ab	0374	ms	in				df					13	a-mn-c	
Mo'07	6ah	0436	in	lb		3		df					23	a-ab-c-w-p	
Mo'07	8af	0682	ls	lb		3		df					22	ab-c	
Mo'07	7ag	0227	ms	ab				df					25	a-ab-c-w	fragment d'epífisi
Mo'07	9ac	0283	in	in				df					18	a-ab-mn-c	
Mo'07	8ad	0240	ms	fb				mf					28	a-ab-c	
Mo'07	8ah	1122	ls	lb		3		df					32	ab-c-w	
Mo'11	6ag	0228	in	in				df					17	a-ab-c	
Mo'11	8ae	1078	ms	ab				df					22	a-ab-mn-c	
Mo'15	7ae	1425	in	in				df					16	a-ab-c	
Mo'11	6ab	0313	ms	lb		3		ff					23	a-ab-c	
Mo'08	8ag	0341	in	dent		f		df					11	a-c	
Mo'11	7ae	1074	in	in				df					20	a-mn-c	
Mo'07	9ac	0308	in	lb		3		df			3		15	a-mn-c	
Mo'07	8af	0681	ms	lb		3		mp					19	a-ab-c	
Mo'07	8ah	1113	ls	in				df					20	ab-c-w	
Mo'07	7ag	0234	in	dent		f		ff					11	a-c-mn	
Mo'07	10ae	0429	ls	fb				df					22	a-mn-c	
Mo'07	7ag	0229	in	lb		3		df					20	a-c-w	
Mo'07	7ag	0235	in	in				df					13	a-ab-c	
Mo'07	8ab	0301	in	fb				df					15	a-mn-c	
Mo'07	9ae	0311	in	fb				df					18	a-ab-c	
Mo'07	5ah	0345	ms	fb				ff					21	a-mn-c	
Mo'07	9af	0353	in	in				df					19	a-ab-c	
Mo'07	8ad	0234	ls	lb		3		df					29	ab-c	
Mo'07	9ac	0273	ms	in				df					12	a-c-w	
Mo'07	8af	0588	in	in				df			3		10	a-c	
Mo'07	8ac	0279	in	in				df			3		13	a-c	
Mo'07	8ag	0279	in	lb		3		df					25	a-c	
Mo'07	9ac	0267	in	in				df					16	a-mn-c	
Mo'07	8ae	0410	ls	lb		3		df					25	a-c-w	
Mo'07	8ag	0268	in	in				df			3		09	c	
Mo'07	8af	0669	in	in				df					06	c	
Mo'07	8ag	0280	ls	lb		3		df					35	a-ab-c	
Mo'07	8ae	0412	ls	lb		3		df					16	a-mn-c-w	
Mo'07	7ah	0161	in	in				ff			3		07	c	
Mo'07	9ac	0182	ls	in				df					17	a-ab-c	
Mo'07	5ah	0341	ls	lb		3		mf					25	a-mn-c	
Mo'07	8ac	0341	ms	in				mf					13	ab-mn-c	
Mo'07	9ac	0287	in	in				df			3		10	a-ab-c	
Mo'07	8ag	0242	ms	fb				ff					16	a-mn-c	
Mo'07	8af	0687	ms	dent		f		df					14	ab-c	fragment dent
Mo'07	9af	0350	ms	in				ff			3		10	a-c-p	podria estar digerit. molt polit i brillant. petites perforacions

Anexo III

Mo'07	8af	0718	in	in				df					13	a-c	
Mo'07	9ad	0168	in	fb				df					11	a-mn-c	
Mo'07	9ac	0319	in	lb		3		df					20	a-ab-c-w	
Mo'07	8ah	0914	ms	in				df					14	a-mn-c	
Mo'07	8ah	0865	ls	lb		3		df					27	a-c-w	
Mo'07	7af	0227	ms	in				df					12	ab-c-w	
Mo'07	8ah	0992	in	in				df					13	ab-c-w	
Mo'07	9ac	0303	ms	in				ff			3		11	ab-c	
Mo'07	8af	0573	in	lb		3		df					23	a-ab-mn-c	
Mo'07	8ah	0860	in	fb				ff					12	a-mn-c	
Mo'07	8ag	0290	ms	fb				ff					25	a-c	
Mo'07	8ah	0989	in	in				mf					10	a-c-w	
Mo'07	8af	0590	ls	lb		3		df					14	a-ab-c-mn	
Mo'07	8ah	1008	in	fb				df					16	ab-c-w	
Mo'12	6af	0820	ms	lb		3		df					13,2	c-ab	
Mo'12	6af	0826	ms	lb		3		df					22,6	ab-c	
Mo'12	6af	0844	ms	in				mf					11,1	ab-c	
Mo'12	6ac	0638	ss	lb		3		ff					18,1	c-ab	
Mo'12	6ac	0638	ms	lb		3		ff					12,1	w-c	
Mo'12	6af	0824	in	in				in			3		08	c	
Mo'12	6af	0819	ss	lb		3		df					10,7	c-mn	
Mo'12	6af	0823	ss	lb		3		df			5		12,5	c	
Mo'12	6af	0813	ss	lb		3		ff			3		10,2	c	
Mo'12	6af	0817	ms	lb		3		df			3-5		11,1	c	
Mo'12	7af	1213	ms	lb		3		mf					13,6	w-c	
Mo'12	8ae	1109	ls	lb		3		ff					26,1	c-ab	
Mo'12	8ae	1109	ms	lb		3		df					16,7	c-a	
Mo'12	8ae	1109	ms	lb		3		ff					21,1	ab-w-c	
Mo'12	6af	0846	ss	lb		3		df					13,1	c	
Mo'12	6af	0816	ls	lb		3		df			5		06	c	
Mo'12	6af	0837	ss	lb		2		in					12,1	c-ab	
Mo'12	6af	0815	in	lb		3		ff					15,6	w-c-ab	
Mo'12	7ac	1220	in	lb		3		mf					18,1	w-c-mn	
Mo'07	7ah	0213	ms	lb		3		df			5		16,1	c-w	
Mo'07	8ag	0329	ms	lb		3		in					22,1	ab-c	
Mo'07	7ah	0105	in	in				df			4-5		07	c	
Mo'07	8ag	0325	ls	lb		3		ff					37	ab-c	
Mo'07	8ah	1083	ms	lb		3		mf					14,1	mn-w	
Mo'07	8ah	1087	ss	lb		3		ff					12,1	mn-c	
Mo'07	8ah	1042	ms	lb		3		ff					21,7	w-mn-a	
Mo'07	8ah	1035	ss	lb		3		ff					12,3	mn-c-w	
Mo'07	7ah	0204	ss	lb		3		df					08	c-ab	
Mo'07	9af	0322	ms	lb		3		df			3		12,1	w-ab	
Mo'07	8ag	0294	ms	lb		3		ff					20,1	c-a	

Anexo III

Mo'07	8ag	0303	ls	lb		3		df					17,7	c-ab	
Mo'07	8ag	0295	ls	lb		3		ff					34,4	a-ab-c	
Mo'07	9af	0321	ms	lb		3		df			3		14,5	c	
Mo'07	7ah	0166	ms	lb		3		ff			5		19,4	w-c	
Mo'07	8ag	0328	ls	lb		3		df					32,5	ab-c-w	
Mo'07	9ae	0120	ss	lb		3		df					24,1	c-ab	
Mo'07	7ah	0210	ms	lb		3		ff					15,1	w-ab-c	
Mo'07	8ah	0949	ls	lb		3		df					50	ab-w-a	
Mo'07	8ah	0953	ms	lb		3		ff					23,1	a-c	
Mo'07	9af	0323	ss	lb		3		df		3			15,1	c-a	
Mo'07	8ah	1010	in	in				in					11,1	c	
Mo'12	9ag	0863	ls	lb		3		df					23,6	w-ab-c-mn	
Mo'12	6ac	0635	ms	lb		3		mf					18,7	w-c	
Mo'12	6ae	0803	ms	lb		3		df					17,1	w-c	
Mo'12	8ae	1115	ms	lb		3		df					15,1	mn-w-c	
Mo'12	8ae	1099	ms	lb		3		df					18,8	c-w	
Mo'12	6af	0737	ms	lb		3		df		3			12,5	c	
Mo'12	7ae	1220	ms	lb		3		df					19	w-c-a	
Mo'12	7ad	1136	ms	lb		3		ff					14	w-c-p	
Mo'12	7ae	1221	ss	lb		3		ff					12,1	c-w	
Mo'12	6ac	0598	ms	lb		3		ff					20	c-ab	
Mo'12	8af	1419	ls	lb		3		df					18	mn-w-ab-c	
Mo'12	7ac	1155	ms	dent		f		in					10,1	mn-c	
Mo'12	6ag	0330	ls	lb		3		df					23,4	c-ab	
Mo'12	8ac	1035	ss	lb		2		df					13,7	ab-c	
Mo'12	8ac	1090	ss	lb		3		ff					10,1	w-c-mn	
Mo'12	8af	1417	ms	dent		f		in					10,6		
Mo'12	8ad	0993	ss	lb		3		ff					23,4	c-ab	
Mo'12	8ac	1037	ls	dent		f		in					15	mn	
Mo'12	7ad	1124	ls	lb		3		df					15,1	c-w-ab	
Mo'12	8ae	1141	ms	fb				mf					15,7	c-ab-mn	
Mo'12	7ad	1129	ss	lb		3		df					19,1	a-w-mn-ab	
Mo'15	5ae	0085	ms	ab				in					16	a-c-mn	
Mo'15	6ae	1039	ls	ab				in					16		molt rodat
Mo'15	6ae	1039	ls	dent		f		in					13		
Mo'15	6ae	1039	ms	lb		3		ff					13	c-mn	petita estella
Mo'15	6ae	1039	ms	lb		3		ff					12	mn	petita estella
Mo'15	6ae	1039	ms	lb		3		ff					14	mn-ab	petita estella
Mo'15	6ae	1039	ms	lb		3		fs					17	w-c-p	
Mo'09	4ah	0159	ls	lb		3		ff					68	w-a-p-mn-w	molt gruixut. esquerdes longitudinals per meteorització
Mo'09	4ah	0143	ls	lb		3		ff					47	a-ab-w-p	

Anexo III

Mo'09	4ah	0143	ls	lb		3		ff					35	a-ab-w-p	important disolució
Mo'09	4ah	0161	ls	lb		3		ff					27	a-w-p	
Mo'09	4ah	0144	ls	lb		3		ff					26	a-ab-mn	
Mo'09	4ah	0144	ls	lb		3		df					21	a-ab-c	
Mo'09	4ah	0142	ls	lb		3		ff					18	w-p	
Mo'00	6af	0163	ls	fb				in			3		23	c	tot cremat
Mo'00	6af	0164	ls	fb				in			3		18	c	tot cremat
Mo'09	8ac	0789	ls	lb		3		ff					33	a-ab-p	molt rodat
Mo'09	8ad	0632	ls	fb				in					53	a-ab-p	
Mo'09	7ag	0501	ms	lb		3		in					17	a-ab-p-w-mn	rodat
Mo'00	6af	0380	ms	ab				in			3-4		20	c	tot cremat
Mo'09	7ag	0499	ls	lb		3		in					50	w-a-ab-c	esquerdes longitudinals meteorització
Mo'11	7ag	0826	ls	lb		3		fs					59	a-ab-w	fractures per meteorització longitudinals
Mo'11	7ag	0826	ls	lb		3		fs					37	a-ab-w	fractures per meteorització longitudinals
Mo'11	7ag	0826	ls	lb		3		fs					37	a-ab-w	fractures per meteorització longitudinals
Mo'11	7ag	0826	ls	lb		3		fs					58	a-ab-w	fractures per meteorització longitudinals
Mo'11	7ag	0826	ls	lb		3		fs					21	a-ab-w	fractures per meteorització longitudinals
Mo'11	7ag	0826	ls	lb		3		fs					23	a-ab-w	fractures per meteorització longitudinals
Mo'11	7ag	0826	ls	lb		3		fs					13	a-ab-w	fractures per meteorització longitudinals
Mo'11	7ag	0826	ls	lb		3		fs					14	a-ab-w	fractures per meteorització longitudinals
Mo'11	7ag	0826	ls	lb		3		fs					23	a-ab-w	fractures per meteorització longitudinals
Mo'11	7ag	0826	ls	lb		3		fs					18	a-ab-w-mn	fractures per meteorització longitudinals
Mo'04	10ag	0448	ms	lb		3		fs					35	a-ab-w-p	molt degradat
Mo'13	6ae	1024	ls	lb		3		in					43	a-ab-p-w	molt rodat arrodonit
Mo'13	8ae	1074	ms	in				in					26	ab-w	molt degradat
Mo'11	7ag	0803	ms	lb		3		in					35	a-w-p	
Mo'11	6ae	0724	ms	lb		1-5		in					19	ab-w-f-p	frag epif. rodat
Mo'04	9ah	0284	ms	lb		3		in					25	ab-a-c	molt degradat
Mo'07	4ah	0143	ms	lb		3		ff					25	a-ab-p-w	molt rodat i erosionat
Mo'07	7ah	0145	ms	lb		3		ff					60	a-ab-w-p	esquerdes longitudinals
Mo'11	7ah	0154	ms	lb		3		ff					26	a-ab-p-w	
Mo'00	6af	0495	ls	lb		3		ff		4			33		cremat negre i blanc
Mo'12	6af	0749	in	dent		f		in					11	c	
Mo'12	6ac	0705	ls	lb		1-5		in					31		fragment epifisi
Mo'12	6ac	0703	ls	dent		f		in					10		sembla equus
Mo'12	6ac	0743	ls	dent		f		in					10		sembla equus
Mo'12	8ae	1192	ls	lb		3		fs					40	w	esquerdes longitudinals
Mo'10	8ad	0814	ls	lb		1-5		in					20	ab-p	molt rodat. frag epifisi
Mo'15	8ae	1326	ls	lb		3		ff	cp				35	a-mn	
Mo'09	8ad	0633	ls	dent		f		in		3			11		
Mo'10	7ae	0962	ls	dent		f		in					10		
Mo'15	6ac	1360	ms	ab		f		in					22	p	fragment epifisi rodat
Mo'02	6ag	0024	ls	lb		3		fs					37	ab-a-p-w	molt rodat erosionat esquerdes

Anexo III

Mo'07	8ah	0251	ms	dent		f		in					12		
Mo'07	8ah	0928	ls	lb		3		ff					42	a-ab-w-p	
Mo'07	8af	0537	in	ab		f		in					15	a-p	
Mo'10	7ac	0769	ls	lb		3		ff					28	a	
Mo'10	7ae	0969	ms	ab		f		in					19	ab	disolució
Mo'11	7ad	0948	ms	fb		f		in					18		sembla crani
Mo'11	6ae	0659	ss	fb		f		in					11	c	
Mo'09	8ad	0661	ls	lb		3		ff					42	ab-c	
Mo'00	7ag	0522	ms	lb		3		ff					31	ab-p	
Mo'06	8ah	0702	ls	dent		f		in					11	a-ab	
Mo'12	7ac	1161	ls	lb		3		df					13,1	c	
Mo'12	7af	1133	ms	dent		f		in					07	mn-c	
Mo'12	7af	1134	ms	lb		3		df					16,1	mn-a-w-c	
Mo'12	8ad	1014	ms	fb				ff					19,1	ab-c	
Mo'12	8ad	1001	ss	lb		3		mf					06	mn-w-c	
Mo'12	6ac	0607	in	in				in					08	c	
Mo'12	7ag	0901	ms	lb		3		ff					15,2	c-a	
Mo'12	7ag	0901	ms	lb		3		df					14,1	ab-c	
Mo'12	7ag	0901	ms	fb				ff					16,3	ab-w-c	
Mo'12	7ae	1200	ls	lb		3		ff					18,1	c	
Mo'12	6af	0783	ls	lb		3		ff					36,7	c-mn-ab	
Mo'12	8af	1409	ss	lb		3		ff					17,3	c-ab	
Mo'12	6ag	0303	ss	fb		3		ff					16,5	mn-c	
Mo'12	7ac	1257	ms	dent		f		in					09	mn	
Mo'12	6ag	0291	ss	lb		3		ff					25,1	c-ab	
Mo'12	7ad	1185	ls	lb		3		ff					16,2	w-c-a	
Mo'12	6af	0853	ss	fb				ff					14,7	w-c	
Mo'12	6af	0854	ss	in				ff					12,1	c-mn	
Mo'12	6af	0854	ss	in				df					10,1	a-ab-c	
Mo'12	6af	0803	ls	lb		3		ff					22,1	p-c-ab	
Mo'12	6af	0803	ms	lb		3		df					19,1	ab-c	
Mo'07	5ah	0340	ms	fb				ff					17,2	c-a-w	
Mo'07	5ah	0340	ms	lb		3		ff					16,1	c-w	
Mo'07	8af	0498	ls	lb		3		df					20,1	w-a-ab	
Mo'07	8af	0495	ls	lb		3		df					20,1	w-mn	
Mo'12	7ag	0889	ls	lb		3		ff					35	ab-mn	
Mo'12	7ag	0887	ms	lb		3		df					23	c-a	
Mo'12	6ad	1043	ls	lb		3		ff					41	ab-mn	
Mo'12	6ad	0983	in	lb		3		ff					26	a-c	
Mo'12	7ag	0873	in	in				df					20	ab	
Mo'12	6ae	0866	ms	lb		3		df					33	mn-a	
Mo'12	6ad	0982	ms	lb		3		ff					24	mn-c	
Mo'12	7ae	1210	ms	lb		3		ff					16	ab-mn	
Mo'12	7ac	1160	in	in				df					12	ab-mn	

Anexo III

Mo'12	6ad	0989	in	lb		3		ff					21	c-a	
Mo'12	7ae	1172	in	in				mf					08	c	
Mo'12	7ac	1179	ms	lb		3		df					21	mn-c-ab	
Mo'12	8ae	1114	in	lb		3		ff					14	a-mn	
Mo'12	7ad	1091	ms	lb		3		mf					16	ab	
Mo'12	6af	0839	in	in				df					09	c-mn	
Mo'12	8ad	1013	in	lb		3		ff					14	c	
Mo'12	6ac	0690	ls	lb		3		mf					37	c-ab	fragmentat modern
Mo'12	6ac	0581	ms	lb		3		ff					34	mn-c	
Mo'12	7ac	1207	ss	ab				df					16	c-ab-mn	
Mo'12	7ad	1130	ls	lb		3		mf					25	a-mn	
Mo'12	8ac	0999	ms	lb		3		ff					24	ab-a-mn	
Mo'12	7af	1156	ms	ab				in					14	a	
Mo'12	8ac	1004	ls	lb		3		df					19	ab-mn	
Mo'12	6ac	0599	in	lb		3		ff					20	c	
Mo'12	8af	1413	ls	lb		3		mf					19	a-mn	
Mo'12	7ae	1209	ls	lb		3		df					15		
Mo'12	8ac	1026	ls	lb		3		df					20	p-mn-a	
Mo'12	8ac	1026	ls	lb		3		df					18	c	
Mo'12	7af	1130	ls	lb		3		df					19	ab	
Mo'12	6ae	0956	ls	lb		3		df					17	ab-a	
Mo'12	7ab	0659	in	lb		3		df					11	mn-c	
Mo'12	6ag	0274	in	lb		3		df					14	p-ab-mn	
Mo'12	7ag	0891	ss	lb		3		ff					14	mn-ab	
Mo'12	8ac	0990	in	lb		3		mf					19	a	
Mo'12	6ac	0597	in	in				df					16	a-mn	
Mo'12	8ae	1170	ls	lb		3		ff					16	c-mn-p	
Mo'12	7ad	1169	in	in				mf					23	mn	
Mo'12	7af	1129	in	dent		f		df					16	mn-c	
Mo'12	8ac	1021	ms	lb		3		ff					18	c-mn	
Mo'12	8ae	1130	in	lb		3		df		3			15	c	
Mo'12	6ac	0782	ss	lb		3		ff		3			10		
Mo'12	8ac	1081	in	in				in					12	p-a-c	
Mo'07	5ah	0260	ls	lb		3		ff		3			56	ab-a	
Mo'07	8af	0540	ss	lb		3		df					10	a	
Mo'07	8af	0552	in	in				df					13	ab	
Mo'07	8af	0556	in	dent		f		df					10		
Mo'07	8af	0564	in	dent		f		df					09	a	
Mo'07	8af	0613	ls	lb		3		df					22	w-a	
Mo'07	8af	0535	ms	lb		3		df					16	ab-a-mn	
Mo'07	8ah	0836	ls	lb		3		df					28	w-ab-a-c	
Mo'07	8af	0616	ls	lb		3		df					32	w-ab-a	
Mo'07	8af	0616	ls	lb		3		df					39	w-ab-a	

Anexo III

Mo'07	8af	0616	in	in				df					15	w-ab-a-mn	
Mo'07	8af	0716	in	in				in					11	w-a	
Mo'07	8af	0723	in	lb		3		ff					16	a	
Mo'07	8af	0714	in	in				df					11	ab-p	
Mo'07	8ac	0414	ms	lb		3		df					15	c-ab	
Mo'07	8ad	0233	ms	lb		3		df					18	a-c	
Mo'07	8af	0707	ms	lb		3		df					17	ab-a	
Mo'07	8af	0708	in	lb		3		df					07	w-a	
Mo'06	8af	0706	ss	lb		3		ff		3			10	c-a	
Mo'07	8ah	0967	ms	lb		3		df					25	c-a	
Mo'07	8ah	0974	in	lb		3		df					09	ab-c	
Mo'07	8ah	0973	ms	lb		3		df					17	w-ab-c-a	
Mo'07	8ah	0962	in	lb		3		ff					09	a	
Mo'07	8ah	0829	ms	in				in					17	w	
Mo'07	8ah	1013	ls	lb		3		df					15	mn-ab-a	
Mo'07	8ah	0828	ls	lb		3		mf					14	ab-w-a-c	
Mo'07	9ah	0680	in	lb		3		df					19	ab-mn-a	
Mo'07	8af	0715	in	in				mf					18	a-ab	
Mo'07	8ah	1018	in	in				df					14	ab-p	
Mo'07	8ah	1039	in	in				df					15	a-c	
Mo'07	5ah	0353	ms	in				df					16	a-c	
Mo'07	7af	0217	ms	lb		3		df					15	ab	
Mo'07	7af	0221	in	in				ff					3	w	
Mo'07	8ah	0951	ms	lb		3		df					21	ab-w-c	
Mo'07	8af	0547	in	dent		f		df					16	a-ab	
Mo'07	8ag	0233	in	in				df					15	a	
Mo'07	8ah	1081	ls	in				df		3			19	a	
Mo'07	8af	0709	ls	lb		3		df					18	a-mn	
Mo'07	8ah	1130	ms	in				mf					13	a	
Mo'07	8ah	0908	ls	lb		3		df					39	a-ab-mn	
Mo'07	7ah	0126	ls	lb		3		df					24	a-ab	
Mo'07	8ah	1072	in	lb		3		df					16	w-a-ab	
Mo'07	8ah	1133	ms	lb		3		df					23	ab-w-a	
Mo'07	8ac	0340	ls	lb		3		df					18	w-ab-c	
Mo'07	9ac	0210	in	in				df					18	mn-w-a	
Mo'07	8ah	1060	ss	lb		3		df					16	ab-c	
Mo'07	5ah	0271	ls	lb		3		ff					57	a-c-mn	
Mo'07	5ah	0271	ls	lb		3		ff					48	a-ab-c	
Mo'07	8ah	1128	in	lb		3		ff		3			11	c	
Mo'07	8af	0665	in	lb		3		df					09	c	
Mo'07	8af	0665	in	in				df					06	mn-p	
Mo'07	5ah	0302	in	in				mf					19	ab	
Mo'07	8ae	0413	ss	lb		3		mf					10	mn	

Anexo III

Mo'07	7ah	0112	ms	lb		3		df					16	a-ab	
Mo'07	5ah	0304	ls	lb		3		df					24	ab-c	
Mo'07	8ac	0358	ms	in				mf					09	c-mn	
Mo'07	8ah	0861	ms	in				mf					13	ab-c	
Mo'07	8ah	0843	ls	lb		3		df					31	ab-c	
Mo'07	8ab	0356	in	fb				mf					24	ab-mn	
Mo'07	8ah	1034	in	lb		3		df					10	a	
Mo'07	8af	0643	in	in				mf					08	a-mn	
Mo'07	8af	0705	ms	in				ff					11	a	
Mo'07	9ac	0284	in	in				df					08	ab	
Mo'07	8ah	0988	ms	in				df					13	ab-a	
Mo'07	7af	0239	ms	lb		3		ff					15	mn-c-p	
Mo'08	7af	0300	ms	dent		f		in					15	mn	
Mo'08	7af	0300	ms	dent		f		ff					09	c	
Mo'08	7ah	0340	ms	in				df					09	ab	
Mo'08	8af	0845	ms	in				ff					15	a-mn	
Mo'08	8ae	0639	ls	lb		3		ff					17	c-mn	
Mo'08	8ac	0442	in	in				mf					11	mn-c	
Mo'08	8ac	0548	ms	lb		3		ff					22	mn	
Mo'08	8ae	0678	in	in				df					09	a-ab	
Mo'08	8ae	0678	in	in				df					15	a-mn-c	
Mo'08	7ad	0372	in	lb		3		df					11	mn-a	
Mo'08	8ac	0592	in	in				ff					09	c-mn	
Mo'08	9ac	0344	in	lb		3		ff					14	a-c-mn	
Mo'08	9ab	0206	in	in				df					12	ab-mn	
Mo'08	7ah	0309	ms	in				df					14	ab-mn	
Mo'08	9ab	0148	in	in				df					13	ab-mn-c	
Mo'08	8ad	0309	in	in				ff			3		06	c	
Mo'08	8ae	0456	in	in				df					13	ab-a	
Mo'08	8ae	0456	in	in				df					13	ab-a	
Mo'08	8ae	0637	ms	dent		f		ff					11	mn-c	
Mo'08	8ae	0659	ms	lb		3		mf					11	mn-c	
Mo'08	7ae	0219	ls	lb		3		df					17	ab-mn-c	
Mo'08	7ae	0225	in	in				ff					17	ab-mn-c	
Mo'08	7ae	0228	in	in				mf					13	mn-c	
Mo'08	9ad	0236	ms	lb		3		df					11	a-mn-c	
Mo'08	8ae	0652	in	lb		3		df					09	a-mn-c	
Mo'08	9ad	0231	in	in				df					10	a-mn-c-w	
Mo'08	7af	0299	in	lb		3		df					19	ab-c-w	
Mo'08	7ah	0311	ms	in				df					14	a-ab-w-c	
Mo'08	8af	0901	ms	fb				mf					09	a-mn-c	
Mo'08	7ad	0368	in	in				df					10	mn-c-p	
Mo'08	8ae	0503	ls	lb		3		df					17	a-ab-c	
Mo'08	9ad	0193	in	fb				ff					14	a-mn-c	

Anexo III

Mo'08	8af	0968	ls	lb		3		df					17	a-c	
Mo'08	8af	0931	ls	lb		3		df					17	a-ab-mn-c	
Mo'08	8ag	0340	in	in				ff					07	mn-c	
Mo'08	8af	0868	ls	lb		3		mf					10	a-c	
Mo'08	7ae	0247	in	lb		3		df					14	a-ab-c-mn	
Mo'08	7ad	0347	in	lb		3		df					13	mn-c	
Mo'08	8ae	0504	in	in				df					16	a-ab-c-w	
Mo'08	8af	0942	ls	lb		3		df					46	a-ab-c	
Mo'08	7ae	0419	ms	lb		3		df					17	c	
Mo'08	8af	0795	ms	lb		3		df					15	ab-a	
Mo'08	8af	0840	ls	in				df					15	ab-mn	
Mo'08	7ae	0413	in	in				mf					18	c	
Mo'08	8ab	0401	ms	lb		3		df					15	c-mn	
Mo'08	7ae	0262	ls	lb		3		df					27	ab-c	
Mo'08	8ae	0476	in	in				mf					14	a-ab-c	
Mo'08	7ae	0264	ms	in				df		3			14	mn-c	
Mo'08	8af	0913	in	in				mf					06	p-c	
Mo'08	7ag	0267	ms	in				mf					11	c	
Mo'08	7ae	0309	in	in				df					09	c	
Mo'08	8ae	0442	ms	lb		3		df					21	a-c	
Mo'08	8ac	0595	in	in				mf					08	p-mn	
Mo'08	7ae	0220	in	in				mf					14	mn	
Mo'08	9ad	0241	in	in				ff					11	mn	
Mo'08	9ab	0210	ms	lb		3		ff					07	mn	
Mo'08	7ad	0370	in	lb		3		df					07	a-c	
Mo'08	8ac	0536	ms	lb		3		df					15	a-p-mn	
Mo'08	8ac	0528	in	lb		3		ff		3			14	c	
Mo'08	8ae	0463	ms	lb		3		df					10	p-c	
Mo'08	7ag	0334	in	lb		3		mf					13	ab-a-c	
Mo'08	7ae	0419	ms	lb		3		df					17	c	
Mo'08	8af	0795	ms	lb		3		df					15	ab-a	
Mo'08	8af	0840	ls	in				df					15	ab-mn	
Mo'08	7ae	0413	in	in				mf					18	c	
Mo'08	8ab	0401	ms	lb		3		df					15	c-mn	
Mo'08	7ae	0262	ls	lb		3		df					27	ab-c	
Mo'08	8ae	0476	in	in				mf					14	a-ab-c	
Mo'08	7ae	0264	ms	in				df		3			14	mn-c	
Mo'08	8af	0913	in	in				mf					06	p-c	
Mo'08	7ag	0267	ms	in				mf					11	c	
Mo'08	7ae	0309	in	in				df					09	c	
Mo'08	8ae	0442	ms	lb		3		df					21	a-c	
Mo'08	8ac	0595	in	in				mf					08	p-mn	
Mo'08	7ae	0220	in	in				mf					14	mn	
Mo'08	9ad	0241	in	in				ff					11	mn	

Anexo III

Mo'08	9ab	0210	ms	lb		3		ff					07	mn	
Mo'08	7ad	0370	in	lb		3		df					07	a-c	
Mo'08	8ac	0536	ms	lb		3		df					15	a-p-mn	
Mo'08	8ac	0528	in	lb		3		ff		3			14	c	
Mo'08	8ae	0463	ms	lb		3		df					10	p-c	
Mo'08	7ag	0334	in	lb		3		mf					13	ab-a-c	
Mo'08	8af	0930	ls	lb		3		df					15	a-ab-mn-c	
Mo'08	8ag	0345	in	in				df					12	a-ab-c	
Mo'08	7ab	0347	ms	fb				mf					09	mn-c	
Mo'08	8ac	0551	in	in				df					13	a-ab-c	
Mo'08	8ae	0586	in	in				df					10	ab-mn-c	
Mo'08	8af	0927	in	ab				df					19	a-ab-c	
Mo'08	7ae	0340	ls	lb		3		df					13	a-mn-c	
Mo'08	8af	0846	ls	dent		f		ff					11	a-mn-c	fragment dent
Mo'08	8af	0940	ls	lb		3		df					19	a-c	
Mo'08	8ae	0672	in	in				df					10	a-c	
Mo'08	7ad	0378	in	in				mf					07	c	
Mo'08	7ah	0339	ms	lb		3		df					19	a-c	
Mo'08	8af	0970	ms	fb				ff					12	mn-c	
Mo'08	8af	0823	in	in				df					09	a-mn-c	
Mo'08	8ad	0317	in	in				df					14	ab-c-w	
Mo'08	8af	0911	ls	in				df					12	mn-c	
Mo'08	7ae	0292	ms	lb		3		df					15	a-c	
Mo'08	8ae	0458	ms	dent		f		ff					10	c	
Mo'08	8ae	0497	ls	lb		3		df					23	a-ab-c	
Mo'08	9ab	0182	ls	lb		3		df					24	a-ab-c-w	
Mo'08	7ah	0308	in	in				df					07	a-ab-c	
Mo'08	7ae	0296	ls	lb		3		df					22	a-mn-c	
Mo'08	8ac	0597	ls	lb		3		df					22	a-mn-c	
Mo'08	8ac	0485	in	dent		f		in					06	c	
Mo'08	8ac	0602	ms	lb		3		ff					13	mn-c	
Mo'08	8ae	0494	in	in				df					16	ab-c-w	
Mo'08	8ac	0538	ms	fa				df					14	a-mn-c	
Mo'08	8ae	0648	ls	lb		3		df					20	a-ab-c-w	
Mo'08	8ae	0585	in	lb		3		df					15	a-ab-c-w	
Mo'08	8af	0932	ms	fb				df					11	a-mn-c	
Mo'08	7af	0307	ls	lb		3		df					23	a-ab-c	
Mo'08	8ae	0584	ms	dent		f		ff					11	c	
Mo'08	7ae	0213	in	in				df					09	a-mn-c	
Mo'08	8ae	0630	ls	ab				df					16	a-mn-c-w	
Mo'08	8ad	0311	in	in				df					08	a-ab-c	
Mo'08	8ac	0431	ls	lb		3		mf					21	a-ab-c	
Mo'08	8ad	0278	ms	fb				mf					15	a-ab-c	
Mo'08	7ae	0319	ls	lb		3		df					13	a-c	

Anexo III

Mo'08	7ae	0222	ls	fb				df					18	ab-c-w	
Mo'08	7ae	0341	in	in				ff					10	mn-c	
Mo'08	8ae	0571	ls	lb		3		df					17	a-c-w	
Mo'08	7ah	0380	ms	lb		3		df					12	a-c-w	
Mo'08	7ad	0377	in	in				df					04	mn-c	
Mo'08	8af	0964	ms	fb				ff					12	a-mn-c	
Mo'08	7ae	0217	in	in				mf					13	a-c	
Mo'08	7ae	0400	ls	lb		3		df					20	a-c	
Mo'08	8af	0875	ls	ab				df					27	a-c-w	
Mo'08	7ae	0298	ls	lb		3		df					14	a-mn-ab-c	
Mo'08	7ae	0291	ls	lb		3		df					16	a-mn-c	
Mo'08	8ae	0440	in	in				df					10	a-c-w	
Mo'08	7ah	0310	in	in				df					13	ab-c	
Mo'08	8ab	0492	ms	in				df					14	a-mn-c	
Mo'08	7ah	0310	ms	in				df					12	c	
Mo'08	7ae	0241	ls	lb		3		df					19	a-mn-c	
Mo'08	8ae	0466	ls	lb		3		mf					17	a-c-w	
Mo'08	9ad	0233	in	in				df					07	a-mn-c	
Mo'08	8ae	0671	ls	lb		3		df					18	a-c	
Mo'08	7ae	0240	ms	fb				df					09	a-c-w	
Mo'08	8af	0801	in	lb		3		mf					19	a-ab-c	
Mo'08	8ac	0535	ls	lb		3		df					15	a-mn-c	
Mo'08	7ac	0498	in	in				mf					10	a-mn-c	
Mo'08	4ah	0028	ls	lb		3		df					30	a-ab-c	
Mo'08	8ag	0371	ls	lb		3		df					30	a-c-w	
Mo'08	8ae	0500	ms	fb				in					17	c-w	
Mo'08	7ae	0242	in	fb				in					16	c	
Mo'08	8af	0791	in	lb		3		in					13	w-a-c	
Mo'08	7ag	0287	in	in				in					13	w-c	
Mo'08	8af	0978	in	fb				ff					12	a-mn	
Mo'08	8af	0867	in	in				in					10	mn	
Mo'08	7ah	0398	in	in				mf					10	ab	div frags moderns d'una mateixa peça
Mo'08	7ag	0279	ms	dent		f		in					09		
Mo'08	8ad	0315	ms	lb		3		ff	lcp				13	a-c	
Mo'08	8ae	0674	ms	lb				ff					14		
Mo'08	8af	0784	in	in				in					07	ab	
Mo'08	8ae	0587	in	in				mf					10	c	
Mo'08	8ae	0456	in	in				in					13	ab	
Mo'07	8ab	0325	in	dent		f		df					07	c-mn	
Mo'07	8af	0497	ls	lb				df					43	a-c-ab-p	
Mo'07	8ah	1114	ms	ab				df					15	c-a-ab	
Mo'07	8ah	1080	in	in				df					14	c-mn-ab	
Mo'07	8af	0496	ms	fb				df					11	a-c-ab	
Mo'07	8am	0907	ms	dent		f		df					12	mn-ab-c-a	

Anexo III

Mo'07	5ah	0297	in	fb				df					27	a-c-mn	
Mo'07	8ah	1089	ms	lb				df					18	ab-c-a-p-w	
Mo'07	8af	0617	ls	lb				df					33	a-c-ab	
Mo'07	7ah	0178	ms	dent		f		df					11	c-ab	
Mo'07	9ac	0328	in	dent		f		df					12	c-a-ab	
Mo'07	5ah	0346	in	lb				mf					19	mn-c-a	
Mo'07	8ac	0284	ms	lb				df					26	c-ab-a	
Mo'07	8ah	0946	in	in				df					19	c-a-ab-p	
Mo'07	8ab	0309	ms	lb		3		df					23	ab-c-mn-a	
Mo'07	8ah	0970	in	in				in					08	a-ab-c-p	
Mo'07	9af	0318	in	in				df					24	ab-c-p-a	
Mo'07	5ah	0376	in	in				df					18	ab-p-c-a	7 fragments
Mo'07	8ac	0292	in	in				df					16	c-ab-w	
Mo'08	7ah	0344	ms	lb		3		df					35	ab-c-a-mn	
Mo'08	8ae	0653	ms	lb				ff					18	ab-c-a-mn	
Mo'08	8af	0810	in	lb				ff					19	ab-c-a	
Mo'08	8af	0798	in	ab				ff					18	ab-c-mn-a	
Mo'08	8ae	0443	in	in				df					16	ab-c-a	
Mo'08	8af	0792	in	in				df					19	c-ab-mn-a	
Mo'08	8af	0950	in	in				df					25	c-ab-mn	
Mo'08	8af	0785	in	in				df					12	c-a	
Mo'08	8af	0579	ls	fb				df					39	c-ab-a-w	
Mo'08	8ae	0670	ls	fb				df					21	ab-c-a-mn	
Mo'08	8ae	0669	in	lb				df					27	c-a-ab-a	
Mo'08	8ae	0455	in	fb				in					23	c-ab-a-mn	
Mo'08	7ae	0337	ls	lb				df					34	w-ab-c-mn	
Mo'08	7ae	0335	ms	lb				df					27	c-ab-a-mn	
Mo'08	7ae	0293	in	lb				ff					20	ab-c-mn-a	
Mo'08	8ae	0563	in	lb				ff					31	ab-c-mn-a	
Mo'08	7ae	0311	in	in				df					13	c-ab-mn	
Mo'08	8ac	0556	in	dent		f		df					12	c-a-ab	3 fragments
Mo'08	8af	0953	in	in				df					14	a-ab-c	
Mo'08	8ae	0484	in	fb				df					26	ab-a-c	
Mo'08	8ae	0663	in	in				df					11	mn-c-ab	3 fragments
Mo'08	8ae	0492	in	in				df					22	ab-w-a-c	4 fragments
Mo'08	7ag	0266	in	dent		f		df					12	c-ab-mn	
Mo'08	8ag	0383	in	in				df					14	c-ab-a	
Mo'08	8af	0865	in	in				df					13	c-mn-ab-a	
Mo'08	8af	0839	in	in				df					14	ab-a-c-mn	
Mo'08	8af	0827	in	in				df					15	c-ab-mn	
Mo'08	8af	0824	in	in				in					4	08	c-ab
Mo'08	7af	0309	in	lb				ff					17	c-ab-mn-a	
Mo'08	8ae	0673	in	lb				df					22	c-mn-a	2 estelles

Anexo III

Mo'08	7ae	0218	ms	lb				df					21	c-mn-ab-a	
Mo'08	8af	0983	in	in				df					14	a-ab-c	
Mo'08	8ae	0474	ls	lb				df					46	a-ab-c-w	14 fragments
Mo'08	8af	0836	ls	lb				df					20	a-ab-c-mn	
Mo'08	8ac	0460	ls	lb				df					37	ab-a-c-w	
Mo'08	8ac	0958	in	in				df					17	ab-a-c-mn	
Mo'08	8af	0909	in	dent		f		df					14	ab-c-mn	
Mo'08	8ac	0459	in	in				in					13	ab-w-c-a	
Mo'08	8af	0905	in	in				df		3			07	c-a	
Mo'08	7ae	0243	in	in				df					13	c-mn-a	
Mo'08	7af	0276	in	in				mf					19	ab-c-mn-ab	
Mo'08	8ae	0633	ms	lb				df					12	mn-c-a-ab	
Mo'08	8ae	0675	in	in				df					14	c-ab-w-a	
Mo'08	4ah	0046	in	in				df					16	c-ab	8 fragments
Mo'08	9ac	0337	in	in				ff		3			13	c	
Mo'08	8af	0878	in	in				df		3			10	c	
Mo'08	8af	0928	in	lb				df					12	c-ab-a	
Mo'08	8af	0836	in	in				df					16	c-ab-a	
Mo'08	9ab	0201	in	in				in					16	ab-w-c-a	
Mo'08	8ac	0603	in	in				mf					12	c-ab-mn	
Mo'08	7ad	0381	in	in				mf					07	c	
Mo'08	8ae	0457	in	in				df					15	c-a-ab-mn	
Mo'08	7ae	0231	ms	lb				ff					11	c-mn	
Mo'08	7ae	0294	in	lb				ff					11	c-mn-a	
Mo'08	7ae	0263	in	fb				ff					14	c-a-ab	
Mo'08	7ac	0500	in	in				df					17	c-a	
Mo'08	7af	0283	in	in				mf					12	c-a-mn	
Mo'08	8af	0897	in	in				in		3			08	c	
Mo'08	8ae	0935	in	lb				df					15	c-mn-a-ab	
Mo'08	7ae	0258	ls	lb				df					22	c-ab-a-mn	
Mo'08	7ad	0357	in	in				df					12	c-ab-a-mn	
Mo'08	8ac	0534	in	dent		f		mf					14	c-ab-a	
Mo'08	7af	0271	in	in				df					08	c-ab-a	
Mo'08	8af	0797	in	lb				df					33	c-ab-a	
Mo'08	8ad	0470	ms	fb				ff					44	ab-a-c-mn	
Mo'07	8ae	0409	in	in				df					16	ab-c-w	
Mo'07	8ah	0856	ls	lb		3		df					27	a-c-w	
Mo'07	8ag	0195	ls	in				af					18	a-mn-c	
Mo'07	8af	0519	ms	fb				df					17	a-mn-c	
Mo'07	8ac	0354	in	in				df					16	a-c-mn	
Mo'07	8af	0583	ms	in				ff					12	a-c	
Mo'07	8ah	1101	ss	fb				df					14	a-mn-c	
Mo'07	7af	0215	ls	dent		f		ff		5			10	ab-c	per rugositat podria ser cèvid

Anexo III

Mo'07	5ah	0262	ls	lb		3		df					17	a-mn-c	
Mo'07	8ac	0366	in	in				df					13	a-mn-c	
Mo'07	7ah	0113	in	in				df					13	a-c-w	
Mo'07	9ah	0691	in	fb				ff					14	a-ab-c	
Mo'07	8ag	0302	in	fb				ff					14	a-mn-c	
Mo'07	8ac	0413	ls	in				df					15	a-mn-c	
Mo'07	8ah	1037	ms	fb				ff					12	a-ab-c	
Mo'07	9ac	0206	in	in				df			3		06	c	
Mo'07	9ah	1115	ms	in				df					21	a-c-w	
Mo'07	7ah	0180	in	in				df					09	c	
Mo'07	8ag	0252	in	in				mf					07	a-mn-c	
Mo'07	7ag	0241	in	in				df					14	a-ab-c	
Mo'07	9ac	0213	ss	in				ff					07	mn-c	
Mo'07	8af	0594	ms	fb				ff					19	a-ab-c-w	
Mo'07	8ah	1012	ms	lb		3		mf					10	ab-c	
Mo'07	8ah	1094	in	d		f		ff					04	mn-c	fragment de dent
Mo'07	8ac	0411	ls	lb		3		df					16	ab-mn-c	
Mo'07	9ac	0295	ms	in				df					08	mn-c	
Mo'07	8ah	1015	in	lb		3		ff					17	a-mn-c	
Mo'07	8ah	1004	in	in				df					10	ab-mn-c-w	
Mo'07	9ah	0694	ls	lb		3		df					18	a-ab-c-w	
Mo'07	7ah	0183	ls	fb				mf					11	a-c	
Mo'07	8ah	0980	ms	lb		3		df					10	a-ab-c	
Mo'07	8ah	0993	ms	in				ff					07	a-c	
Mo'07	8af	0530	in	dent		f		ff					12	mn-c	
Mo'07	9ah	0673	ls	lb		3		df					22	a-mn-c	
Mo'07	8af	0684	ls	lb		3		df					16	a-ab-c	
Mo'07	9ae	0114	ms	fb				ff					07	a-mn-c	
Mo'08	8af	0859	ms	in				mf					16	a-c	
Mo'08	7ae	0308	ms	fb				df					16	a-ab-c	
Mo'08	8ae	0573	ls	lb		3		df					17	a-ab-c	
Mo'08	8ae	0646	ms	fb				df					16	a-c	
Mo'08	8ae	0643	ls	lb		3		df					15	a-c	
Mo'08	8af	0846	ls	fb				ff					19	a-c-w	
Mo'07	8af	0594	ms	fb				ff					19	a-ab-c-w	
Mo'07	8ah	1012	ms	lb		3		mf					10	ab-c	
Mo'07	8ah	1094	in	d		f		ff					04	mn-c	fragment dent
Mo'07	8ac	0411	ls	lb		3		df					16	ab-mn-c	
Mo'07	9ac	0295	ms	in				df					08	mn-c	
Mo'07	9ah	1215	in	lb		3		ff					17	a-mn-c	
Mo'07	8ah	1004	in	in				df					10	ab-mn-c-w	
Mo'07	9ah	0694	ls	lb		3		df					18	a-ab-c-w	
Mo'07	7ah	0183	ls	fb				mf					11	a-c	

Anexo III

Mo'07	8ah	0980	ms	lb		3		df					10	a-ab-c	
Mo'07	8ah	0993	ms	in				ff					07	a-c	
Mo'07	8af	0530	in	d		f		in					12	mn-c	
Mo'07	9ah	0673	ls	lb		3		df					22	a-mn-c	
Mo'07	8af	0684	ls	lb		3		df					16	a-ab-c	
Mo'07	9ae	0114	ms	fb				ff					07	a-mn-c	
Mo'08	8af	0859	ms	in				mf					16	a-c	
Mo'08	7ae	0308	ms	fb				df					16	a-ab-c	
Mo'08	8ae	0573	ls	lb		3		df					17	a-ab-c	
Mo'08	8ae	0646	ms	fb				df					16	a-c	
Mo'08	8ae	0643	ls	lb		3		df					15	a-c	
Mo'08	8af	0896	ls	fb				ff					19	a-c-w	
Mo'08	8ac	0546	ls	lb		3		df					23	a-mn-c	
Mo'08	8af	0783	ms	lb				df					19	mn-c	
Mo'08	8af	0857	ms	fb				df					19	a-mn-c	
Mo'08	7ae	0366	ls	lb		3		df					29	a-ab-c	
Mo'08	8ac	0508	ls	lb		3		df					23	a-ab-c	
Mo'08	9ac	0138	ms	lb		3		df					18	a-ab-c-w	
Mo'08	8af	0955	ls	lb		3		df					24	a-ab-c	
Mo'08	7ae	0214	ls	lb		3		df					32	a-ab-c	
Mo'08	9ad	0239	ls	lb		3		df					24	a-ab-c-w	
Mo'08	8af	0980	ls	lb		3		df					20	a-ab-c	
Mo'08	9ae	0139	ms	lb		3		ff					16	a-c	
Mo'08	7ab	0387	ls	lb		3		mf					20	ab-mn-c	
Mo'08	9ad	0234	ms	lb		3		ff		3			12	a-c	
Mo'08	8ab	0304	ls	lb		3		df					41	a-c-w	
Mo'08	8ae	0405	ms	fb				df					13	a-c-w	
Mo'08	7ae	0280	in	in				df					19	a-c	
Mo'08	8ae	0666	ls	lb		3		df					17	a-c	
Mo'08	8ae	0569	ls	lb		3		df					23	a-c-w	
Mo'08	8ae	0578	ls	lb		3		df					33	a-c-mn-w	
Mo'08	8ae	0583	in	d		f		df					06	mn-c	fragment de dent
Mo'12	8ad	1036	ms	lb		1		ff					20	ab-c-mn	
Mo'12	7ae	1269	ss	lb		3		ff					20,1	c-mn-a	
Mo'12	6ac	0694	ms	lb		2-3		ff					27,1	c-mn	
Mo'12	8ab	0785	ms	lb		3		ff					21,8	ab-c	
Mo'12	6ae	0815	ss	lb		3		ff					11,7	c	
Mo'12	6ae	0797	ls	lb		2		ff					20,7	c-a-mn-w	
Mo'12	6ae	0769	ms	lb		3		df					20	c-mn	
Mo'12	7ad	1073	ms	lb		2		ff					18,1	c-mn-a-ab	
Mo'12	7ad	0978	ms	i				ff	lc				12,2	a-w-m	
Mo'12	7ab	0670	ms	lb		1-2		df					18,2	18,2	a-mn
Mo'12	6af	0751	ms	lb		3		df					14,4	c-mn-ab	
Mo'12	8ac	1029	ms	lb		3		ff					21,6	c-a	

Anexo III

Mo'12	7ac	1190	ms	lb		2		ff					22,6	c-mn-w	
Mo'12	8ac	1001	ms	dent		f		ff					13,4	mn-c	
Mo'07	8ah	1030	ms	lb		3		df					17	a-ab	
Mo'07	8af	0653	ms	in			ff	cp					12	c	fragment trencat
Mo'07	8ac	0372	in	in			df			3		09	ab		
Mo'07	9ac	0241	ms	lb		1		df					21	c	
Mo'07	8ah	1095	in	in				mf					09		
Mo'07	8ah	1027	in	in				ff					11	c	
Mo'07	8af	0655	in	in				ff					05		
Mo'07	8af	0659	ms	fb				df					10		
Mo'07	8af	0710	ms	lb		3		df					19	a-ab	
Mo'07	8af	0662	in	in				in					08	p	
Mo'07	8af	0672	in	in				in					08	p	
Mo'07	7ah	0142	ms	lb				df					21	a	
Mo'07	8ah	1099	ms	lb		3		in		2tpi			tpi	31	
Mo'07	8af	0520	ms	lb		3		ff					17	amc	
Mo'07	8ah	1126	in	in				ff					14	c	
Mo'07	8af	0720	ms	fb				ff					13	a	
Mo'07	9ac	0240	in	in				ff			3		70	a	
Mo'07	7ah	0137	ms	fb		3		mf					20	ac	
Mo'07	9ac	0235	in	in				in					70		
Mo'07	7ah	0157	in	in				df					10	mn-a	
Mo'07	8af	0724	in	in				ff					90	a	
Mo'07	6ah	0438	ms	lb				ff	ip				32	w	
Mo'07	8am	0835	ms	fb		3		in					12	p	
Mo'07	8ah	0824	ms	lb				df					19	ab	
Mo'07	5ah	0259	in	in				in					14	w	
Mo'07	8ag	0315	ss	in				df					10	c	
Mo'07	9ad	0173	ms	fb				df					21	c	
Mo'07	9ac	0246	ms	fb		3		df					13	ac	
Mo'07	9ae	0107	ss	in				in					12	w	
Mo'07	8af	0639	ss	in				df			5		70	w	
Mo'07	9ah	0688	ss	in				ff					14	c	
Mo'07	9ad	0178	ls	dent		f		in					12		
Mo'07	9ag	0242	ms	fb		3		df					13	ac	
Mo'07	5ah	0333	ms	fb		3		ff					16	a-w	
Mo'07	8ah	1028	ms	fb		3		in					13	a	
Mo'09	7ag	0658	in	d		f		in					13	a	
Mo'07	9ab	0150	in	in				df					20	a-p	
Mo'07	6ah	0442	ms	lb		3		df					14	c	
Mo'07	8ah	0957	ms	lb		3		ff	lc				34	c	
Mo'07	8af	0721	ss	in				df					10	c	
Mo'07	9af	0327	ms	lb		3		ff					21	w-c	
Mo'07	8ae	0399	ms	lb		3		df					22	c	

Anexo III

Mo'07	9ad	0160	ms	lb			ff					22	a	forat nutricional
Mo'07	8ah	0948	ms	lb		3	ff					19	c	
Mo'07	7ag	0257	ms	lb		3	in					21		
Mo'07	7ag	0242	ms	lb		3	mf					20		
Mo'07	7ag	0244	ms	lb		2	in		1ts			23		cut mark moderna
Mo'07	8ah	0922	ss	lb		3	ff					17	mn	
Mo'07	7ah	0201	ss	fb			in			3		09		
Mo'07	8ag	0214	ms	lb		3	ff					40	a	
Mo'07	8ah	0927	ss	fb			df					13		
Mo'07	7af	0212	ss	fb			ff					12		
Mo'07	8ag	0210	ms	lb		3	ff					21	a	
Mo'07	10ae	0421	ss	lb		2	mf					23	a-c	
Mo'07	8ad	0249	ms	lb		3	in					25	c	
Mo'07	8af	0517	ss	in			in					16	a	
Mo'07	8ac	0303	ms	lb		3	df					22	c-w	
Mo'07	8ab	0341	ss	lb		3	in					23		
Mo'07	7ah	0214	ms	lb		2	in					30	a	
Mo'07	5ah	0298	ms	lb		3	in					18	w-mn	
Mo'07	5ah	0299	ms	lb		3	ff					20	mn-b	
Mo'07	7ag	0222	ms	lb		3	in					24	a	
Mo'07	8ah	0852	ms	fb			in					16	c-a	
Mo'07	7ag	0221	ms	lb		3	in					26	a	
Mo'07	8ac	0355	ss	lb		3	in					14	mn	
Mo'07	5ah	0363	ms	lb		3	df					15	mn-w	
Mo'07	9ad	0155	ms	lb		3	ff					11	c-a	
Mo'09	7ad	0679	ms	fb			in					12	w	
Mo'07	8ah	1021	ms	lb		3	in	lc				19	a	
Mo'07	8ac	0347	ms	in			in			3		12	c	
Mo'07	8ad	053	ms	lb		3	ff					16	mn	
Mo'07	5ah	0364	ms	lb		3	ff					16	mn	
Mo'07	8az	0724	ls	dent		f	in					15	c	
Mo'10	6ad	0389	ls	lb		3	ff					34	mn-w	esquerdes
Mo'10	6ad	0346	ms	lb		3	ff					27	p-mn-w	rodat
Mo'10	6ad	0454	ls	dent		f	in					07		molariforme
Mo'07	8ab	0324	ls	dent		f	in					10		molariforme. poc desgast
Mo'11	6af	0705	ls	lb		3	ff	ip				70	a	
Mo'11	6ae	0741	ls	lb		3	ff					51	a-mn	
Mo'09	7ad	0471	ms	lb		3	ff					34	ab-a	
Mo'09	7ad	0471	ms	lb		3	ff					29	a-ab	en 10 frgments
Mo'13	7ac	1365	ls	lb		3	ff	lcn				52	a-ab-mn-p-w	
Mo'12	8ae	1151	ls	ab		f	in					22	a-c-p	
Mo'07	7ag	0240	ms	lb		3	ff					48		12 fragments
Mo'05	2ah	0442	ms	lb		3	in					58	a-ab-w	en 7 fragments molt alterats
Mo'09	8ad	0646	ms	lb		3	ff					56	a-ab-w	

Anexo III

Mo'07	9ag	0237	ms	lb		3		ff					58	a-ab-w-p	molt alterat
Mo'07	8ah	0855	ls	lb		3		in					30	a-w-p	molt alterada, meteoritzacó. està blanc
Mo'00	6ae	0493	ms	lb		3		ff					32	a-ab-w-mn	molt alterat
Mo'00	6ae	0493	ms	lb		3		ff					19	mn-w	
Mo'00	6ae	0493	ms	lb		3		ff	cp				20	a-w-p	
Mo'00	6ae	0493	ms	lb		3		ff	cp				16	a-w-p	
Mo'00	6ae	0493	ls	dent		f		in					15		
Mo'08	8ad	0446	ls	lb		3		df					24	a-mn-c	
Mo'08	9ad	0219	ls	lb		3		df					26	a-c-w	
Mo'08	9ac	0364	ms	in				df		3			07	a-c	
Mo'08	8ad	0347	ls	lb		3		df					54	a-mn-c-w	
Mo'08	9ae	0137	ms	fb				df					16	a-mn-c	
Mo'08	8ab	0504	ms	fb				df					08	a-mn-c	
Mo'08	9ad	0251	ms	fb				ff					09	a-mn-c-p	
Mo'08	7ad	0323	ls	lb		3		df					52	a-c-w	
Mo'08	9ad	0250	ms	fb				df					15	a-c-w	
Mo'08	7ah	0236	in	fb				df					15	a-c-w	
Mo'08	9ac	0265	ls	lb		3		df					24	a-c-w	
Mo'08	8af	0741	ls	lb		3		df					26	a-c	
Mo'08	8af	0923	ls	lb		3		df					22	a-c	
Mo'08	7ah	0247	ls	ab				df					23	a-c	
Mo'08	9ad	0255	in	in				df					19	a-ab-c	
Mo'08	8af	0924	ms	in				df					16	a-ab-c	
Mo'08	9ad	0267	ms	fb				df					12	a-mn-c	
Mo'08	7ab	0375	in	in				mf					09	mn-c	
Mo'08	7ah	0317	in	in				df					07	a-c-w	
Mo'08	4ah	0076	ls	ab				df					26	ab-c-w	
Mo'08	8ad	0335	ls	lb		3		df		3			20	a-ab-c	
Mo'08	8af	0750	ls	lb		3		af					24	a-mn-c	
Mo'08	8af	0751	in	in				df					18	c	
Mo'08	7ad	0388	in	in				mf					08	c	
Mo'08	4ah	0052	ls	lb		3		df					22	a-c-w	
Mo'08	9ad	0248	ms	fb				ff					11	mn-c	
Mo'08	7ag	0319	ms	fb				ff					15	a-c	
Mo'08	7ad	0393	ms	fb				ff					12	a-mn-c	
Mo'08	8ag	0356	in	in				df					11	a-mn-c	
Mo'08	8ab	0495	ms	fb				df					11	a-mn-c	
Mo'08	7ad	0319	in	in				df					10	a-mn-c	
Mo'08	8ad	0380	ms	lb		3		df					14	a-ab-mn-c	
Mo'08	8af	0948	ls	in				df					15	a-mn-c	
Mo'08	7ah	0238	as	in				df					12	a-ab-c	
Mo'08	8af	0758	ls	lb		3		df					19	a-ab-c	
Mo'08	8af	0918	ls	in				df					22	a-mn-c	

Anexo III

Mo'08	7af	0757	in	in				ff					10	a-c	
Mo'08	7af	0255	ms	in				df					09	mn-c	
Mo'08	7af	0254	ls	in				df					16	ab-mn-c	
Mo'08	7af	0252	ms	fb				df					10	a-ab-c	
Mo'08	7af	0249	ms	in				ff					11	a-mn-c	
Mo'08	7af	0248	ls	lb		3		df					29	a-ab-mn-c	
Mo'08	8af	0814	ms	in				df					17	a-c	
Mo'08	8ab	0442	ms	in				df					18	ab-mn-c	
Mo'08	8af	0805	in	in				df					07	a-mn-c	
Mo'08	8ac	0462	in	lb		3		df					15	a-mn-c	fragment diàfisi
Mo'08	8af	0769	in	in				df					13	a-c	
Mo'08	9ad	0266	ls	lb		3		df					12	a-mn-c	
Mo'08	9ac	0370	ls	lb		3		df					20	a-ab-c	
Mo'08	9af	403	ls	lb		3		df					16	a-mn-c-w	
Mo'08	9ac	0373	ms	fb				df			3		11	a-ab-c	
Mo'08	9ac	0371	in	in				df			3		20	ab-c	
Mo'08	8ac	0502	ms	ab				df					14	ab-mn-c	
Mo'08	8ac	0501	ms	dent		f		df					11	a-mn-c-w	
Mo'08	7ag	347	ls	lb		3		df					20	a-c-w	
Mo'08	8ae	0611	ls	lb		3		df					21	a-ab-c-w	
Mo'08	8ae	0600	ms	in				df					13	a-mn-c-w	
Mo'08	8af	0789	in	fb				df					14	a-c-w	
Mo'08	9ac	0366	in	in				ff					11	a-mn-c	
Mo'08	8ae	0603	ms	lb		3		df					15	a-c-w	
Mo'08	8ae	0604	ms	fb				ff					07	a-mn-c	
Mo'08	8af	0766	in	in				df					11	a-mn-c	
Mo'08	7ah	0272	in	fb				df					10	a-ab-c	
Mo'08	8ac	0058	ls	lb		3		df					33	a-ab-c-w	
Mo'08	9ab	0163	as	ab				df					10	a-ab-c	
Mo'08	7af	0289	ls	lb		3		df					15	ab-mn-c	
Mo'08	7ah	0259	ls	fb				df			3		17	a-mn-c	
Mo'08	8af	0799	ms	fb				df					12	a-mn-c	
Mo'08	8af	0759	in	in				df					11	a-ab-c	
Mo'08	8ac	0574	ms	fb				df					09	ab-mn-c	
Mo'08	8ad	0344	ls	lb		3		df					15	a-c-w	
Mo'08	4ah	0027	ls	lb				ff					49	c-a	
Mo'08	7ah	298	ms	lb		3		ff					50	c-ab-a	
Mo'08	7ab	0359	ms	fb				ff					41	c-a-ab-mn	
Mo'08	7af	0256	ms	lb				ff					44	c-ab-a	
Mo'08	4ah	0097	in	lb				df					38	c-ab-a	
Mo'08	8ad	0341	in	in				df					32	ab-a-c	
Mo'08	8af	0958	in	lb				df					22	c-ab	
Mo'08	9ac	0379	in	in				in		4			05	c	
Mo'08	8af	0921	in	lb				ff					38	a-c-ab	

Anexo III

Mo'08	8ad	0336	in	in				df					35	ab-c-a-w	
Mo'08	9af	0397	in	in				df					25	ab-a-c	
Mo'08	8ad	0379	in	in				df					16	c-ab-a	
Mo'08	8ac	0492	in	in				ff					11	mn-c-ab	
Mo'08	7ad	0329	in	in				df					11	c-ab	
Mo'08	9ac	0362	in	in				df		3			21	c-ab-a-mn	
Mo'08	8af	0960	in	in				mf					20	c-ab	
Mo'08	7ae	0257	in	in				df		3			11	c-mn-ab	
Mo'08	7ah	0265	in	dent			f	df					11	a-c	
Mo'08	8ad	0340	in	lb				df					27	a-c-ab	
Mo'08	8ac	0585	in	in				df					22	a-c-ab-mn	
Mo'08	8ac	0499	in	in				df					12	ab-a-c	
Mo'08	8ae	0609	in	in				df		3			09	c-ab-a	
Mo'08	7ah	0271	in	in				df					09	c-ab	
Mo'08	8ag	0357	ms	lb				df					70	a-ab-c	
Mo'08	9ae	0125	ms	lb				ff					16	ab-c-a	
Mo'08	9ab	0172	in	in				df					40	c-ab-a	
Mo'08	9ae	0133	in	in				df					11	c-a	
Mo'08	9ab	0166	in	fb				df					27	ab-w-c-a	
Mo'08	10ac	0146	in	in				df					15	c-ab	
Mo'08	9af	0391	in	in				df					13	c-ab	
Mo'08	8ab	0459	in	ab				ff					17	mn-c-ab	
Mo'08	7af	0264	in	in				df					10	c-a	
Mo'08	8ad	0337	in	in				df					20	c-ab-a	
Mo'08	9ab	0175	in	in				df					15	c-a-ab	
Mo'08	8af	0800	ms	fb	2-3			df					32	c-ab-mn-a	
Mo'08	8ad	0334	in	in				ff					26	a-ab-c-w	
Mo'08	9ad	0201	ms	lb	3			ff		3			13	c	
Mo'08	4ah	0080	ls	lb	3			ff					58	ab-a-c	
Mo'08	8ab	0361	ms	lb	3			ff					22	c-a	
Mo'08	8ad	0331	in	in				ff		3			12	c-ab	
Mo'08	7ac	0535	ms	lb	3			df					16	c-a-ab	
Mo'08	9af	0395	ms	lb	3			ff		3			18	c-ab	
Mo'08	7ag	0345	ls	lb	3			ff					46	c-ab-a	4 fragments
Mo'08	9af	0394	in	lb				ff					22	ab-a-c	
Mo'08	8ag	0375	ls	lb	3			ff					45	c-a-ab	
Mo'08	8af	0775	ms	lb	3			ff					15	c-a	
Mo'08	7ag	0334	in	in				df					10	c-mn	
Mo'08	7ae	0376	ls	lb	3			df					15	mn-a-c	
Mo'08	8ac	0530	in	dent			f	ff		3			08	c	
Mo'08	7ag	0325	ms	lb	3			df					17	c-mn	
Mo'08	7ag	0290	ls	lb	3			df					23	c	
Mo'08	7ag	0294	in	lb	3			df					11	c-ab	
Mo'08	7ag	0291	ls	lb	3			mf					17	c	

Anexo III

Mo'08	7ah	0385	ls	lb		3		df					18	a-ab-c	
Mo'08	7ae	0355	ls	lb		3		mf					24	mn-c	
Mo'08	7ac	0470	in	in				mf					06		molts fragments
Mo'08	8ae	0597	ms	lb		3		df					11	c	
Mo'08	8ae	0597	ss	fb				ff					10	mn-c	
Mo'08	8ac	0594	ls	lb		3		mf					12	ab-mn	
Mo'08	7ac	0469	ms	lb		3		ff					14	w	
Mo'08	9ab	0209	in	in				mf					07	ab	
Mo'08	8af	0749	in	in				df					09	a-c	
Mo'08	9af	0377	in	in				df					16	c	
Mo'08	9af	0377	in	in				df					17	mn-c	
Mo'08	7af	0263	ms	lb		3		df					09	a-mn	
Mo'08	8ac	0500	ls	lb		3		ff					25	ab-mn-a	
Mo'08	8ac	0500	ls	lb		3		df					19	mn-ab	
Mo'08	7af	0259	in	in				df			3		10	p-c	
Mo'08	8ac	0564	in	lb		3		df					16	a-c-ab	
Mo'08	8ad	0339	ls	lb		3		df					35	c-ab	
Mo'08	7ad	0331	ms	lb		3		df					15	c-ab	
Mo'08	7ag	0265	in	lb		3		mf					10	c	
Mo'08	8ad	0382	ls	lb		3		ff					21	c	
Mo'08	8ad	0382	ls	lb		3		ff					22	c	
Mo'08	8ad	0382	ls	lb		3		ff					21	c	
Mo'08	8ad	382	ls	lb		3		df					28	c-ab	
Mo'08	8ae	0619	ls	lb		3		df					19	c	
Mo'08	8ab	0444	ms	lb		3		df					19	c-a-mn	
Mo'08	9ad	0258	ls	in				df					20	ab-a	
Mo'08	8ae	0547	ms	lb		3		ff					18	a	
Mo'08	7ae	0411	ls	lb		3		df					29	a-c	
Mo'08	7ah	0249	ms	lb		3		df					14	ab-a-c	
Mo'08	7ah	0244	ls	lb		3		df					14	a-ab-c	
Mo'08	7ah	0244	ls	lb		3		df					16	c-a	
Mo'08	8ae	0512	ls	lb		3		df					30	ab-a-c	fractura ovalada
Mo'08	7ae	0390	ls	lb		3		df					15	c-ab	
Mo'08	7ag	0344	ls	lb		3		df					20	ab-c	
Mo'08	9ad	0290	ls	lb		3		df					28	ab-c	fractura ovalada
Mo'00	6ae	0493	in	dent		f		in					10		
Mo'00	6af	0859	ms	dent		f		in					11		
Mo'10	7ac	0723	in	dent		f		in					08		
Mo'10	7af	0978	ls	lb		3		ff	4ip				48	a-mn-p-w	ip2 i 2 en costats oposats
Mo'05	10am	0510	ms	fb				in					40	a-ab-c	
Mo'04	6af	0580	ms	lb		3		ff					79	a-mn-w	
Mo'09	8ac	0734	ms	lb		3		ff					43	a-c-w	4 frags capes longitudinals per meteorització
Mo'08	8ag	0339	in	dent		f		in					14		molariforme
Mo'12	7ae	1196	ls	lb		3		ff					36	mn-w	estella, amb DF també

Anexo III

Mo'01	5ab	0042	ls	fb				in					60	a-c-w	
Mo'00	7ac	0022	in	in				in					28	a-c-p	fragment cònic molt alterat
Mo'08	4ah	ms	ls	lb		3		df					46	a-w-mn	frag longitudinal
Mo'08	8af	0802	ms	fb				in					28	a-mn-p	
Mo'13	6ab	0422	ls	lb		3		ff		4mt			47	a-mn-p-w	brillant 4 marques tall prop fractura. foto
Mo'07	5ah	0268	ms	in				ff					22	a-mn	
Mo'11	8ad	0901	ms	fb				in			3		36	c	
Mo'07	8af	0678	ms	lb		3		ff	cp				12	ac-p	
Mo'07	5ah	0347	ls	dent		f		in					17		
Mo'08	8ag	0377	ls	dent		f		in					20		molarifirme
Mo'07	7ah	0188	ms	lb		3		ff					20	ab-a-mn	
Mo'07	7ah	0197	ms	lb		3		ff					14	w-ab	
Mo'07	8af	0546	ms	fb				ff					26	c-ab	
Mo'07	8ac	0280	ms	fb				ff					24	c-a	fractura moderna
Mo'07	8ag	0299	ls	lb		3		ff					21	c-ab	
Mo'07	9ab	0137	ms	lb		3		ff					27	w-ab	
Mo'07	8ah	0837	ms	lb		3		in					14	w-a	
Mo'07	5ah	0267	ls	lb		3		ff					29	ab-a-mn	
Mo'07	9ah	0692	ls	fb				df					24	mn-ab-a	
Mo'07	9ah	0699	ms	fb				df			3		12	a	
Mo'07	8ag	0236	ms	lb		3		df					18	ab	
Mo'07	10ag	1006	ls	in				in					22	a-ab	
Mo'07	7af	0234	ms	lb		3		df					17	mn-c	
Mo'07	9af	0352	ms	lb		3		df					20	c-ab	
Mo'07	8ah	1050	ms	fb				in					12	c-a	
Mo'07	5ah	0344	ms	lb		3		ff					34	c	fractura moderna
Mo'07	9ac	0218	ms	ab				in		3-5			10	c	
Mo'07	8ag	0240	ms	lb		3		df					18	c-a	
Mo'07	8ah	0954	ms	fb				ff					35	a-c	
Mo'07	8ah	0593	ms	fb				ff					20	mn-ab	
Mo'07	8ah	0884	ms	lb		3		in					31	a-c-mn	
Mo'07	5ah	0315	ms	lb		3		in					19	mn-a	
Mo'07	10ae	0428	ss	lb		3		in					18	a-ab	
Mo'07	8af	0619	ss	fb				in					19	c-ab	
Mo'07	8af	0619	ss	lb		3		in					20	a-mn	
Mo'07	8ag	0205	ms	fb				df					28	c-a	
Mo'07	8ah	1082	in	in				in		3			10	c	
Mo'07	7ah	0156	ms	lb		3		df					16	ab-c	
Mo'07	8ad	0221	ls	fb				in					49	c-ab	
Mo'07	8ah	1135	ls	lb		3		in		3-4			19	a-c	
Mo'07	5ah	0350	ms	lb		3		in			3		17	c	
Mo'07	4ac	0255	ss	lb		3		ff					14	c-ab	
Mo'07	7ag	0253	ms	lb		3		ff					19	a-c-ab	
Mo'07	9ac	0217	ss	fb				in					12	c-ab	

Anexo III

Mo'07	8ah	1038	ms	in				in					18	mn-c-ab	
Mo'07	8ah	1086	ss	fb				in					09	c-w-ab	
Mo'07	8ah	1077	ss	in				df					12	c-ab	
Mo'07	9ac	0300	ms	fb				in					17	c-ab-a	
Mo'07	6ah	0437	ms	lb		3		in					24	mn-c-a	
Mo'07	8ah	1090	ss	in				mf					07	ab-c	
Mo'07	8ac	0415	in	dent		f		in					05	c	
Mo'07	8ah	0969	in	fb				in					06	mn-c	
Mo'07	8ac	0370	ms	lb		3		df					07	a-mn	
Mo'07	8ah	1106	ms	lb		3		in					14	ab-c	
Mo'07	8ah	1073	in	dent		f		in					12	c	
Mo'07	7ah	0154	in	lb		3		df					08	a-ab-c	
Mo'07	8af	0499	in	fb				in					07	a-c	
Mo'07	8ac	0406	ss	lb		3		in					11	c-mn	
Mo'07	8ah	0830	ss	fb				df					10	c-ab	
Mo'07	7af	0237	ss	in				df					11	c-mn	
Mo'07	9ac	0242	ms	lb		3		df					19	c-mn-ab	
Mo'07	8af	0680	ss	in				mf					4	c	
Mo'07	8af	0694	ms	lb		3		ff					13	a-c	
Mo'07	8af	0521	ms	lb		3		ff	cp				10	w-mn	
Mo'07	9ac	0220	ms	lb		3		ff					14	ab-c	
Mo'07	7ah	0177	in	dent		f		in					09	c	
Mo'07	9ac	0187	ms	lb		3		in					26	c-ab-a	
Mo'07	7ag	0216	in	lb		3		mf					12	c-ab	
Mo'07	5ah	0357	ms	lb		3		df					26	a-c	
Mo'07	7ah	0202	ss	lb		3		in					09	c-ab	
Mo'07	9ac	0276	ss	in				in					09	ab-c	
Mo'07	8ab	0327	ss	lb		3		df					17	c-a-ab	
Mo'07	8ah	0925	ss	fb				mf					10	ab-a-c	
Mo'07	8ah	1107	ms	ab				ff					10	c-ab	
Mo'07	5ah	0279	ms	lb		3		ff					16	mn-c	fractura moderna
Mo'07	8ad	0242	ms	lb		3		df					14	mn-p	
Mo'07	8ad	0242	ms	fb				in					22	ab-c	
Mo'07	8ag	0257	in	in				mf					05	ab-c	
Mo'07	8ah	0987	ss	lb		3		ff					09	c-a	
Mo'07	8ab	0328	in	in				in					15	inc-ab	
Mo'07	8af	0531	in	fb				df					08	ab-w	
Mo'07	8af	0651	ms	lb		3		in					10	c-ab-a	
Mo'07	8af	0635	ss	fb				ff					13	c-ab	
Mo'07	7ah	0135	ss	lb		3		df					08	w-mn-c	
Mo'07	8af	0642	in	in				in					06	w-c	
Mo'07	7ag	0258	ms	in				in				3	12	c-ab	
Mo'07	8ae	0406	ss	in				df					10	c-ab	
Mo'07	9ab	0162	ms	lb		3		df					13	ab-c	

Anexo III

Mo'07	8ah	0834	ss	lb		3		in			3			09	w-ab	
Mo'07	9ac	0289	in	lb		3		in						12	c-ab	
Mo'07	8ag	0327	in	fb				in						13	c-ab	
Mo'07	8ah	1105	in	in				mf						08	c-ab	
Mo'07	8ah	1125	in	in				in						08	c-ab	
Mo'07	9ad	0177	in	d		f		in						09	c	
Mo'07	8ab	0361	ss	lb		3		in						14	c-mn	
Mo'07	8ab	0383	in	d		f		in						06	c	
Mo'07	8af	0683	in	ab				in						07	c-w-ab	
Mo'07	9ac	0181	in	lb		3		in						10	c-ab	
Mo'07	9ac	0315	ms	in				df			3			10	c-ab	
Mo'07	8af	0703	in	dent		f		in						05	c	
Mo'07	8ah	1076	ms	fb				in						13	c-mn-f	fractura moderna
Mo'07	10ae	0431	ss	lb		3		in						11	c-p	
Mo'08	8ac	0546	ls	lb		3		df						22	c-ab	
Mo'08	8ac	0545	ms	lb		3		ff			3			09	c	
Mo'08	8af	0908	ms	lb		3		df						18	c-ab	
Mo'08	7ae	0418	ms	lb		3		df						17	c-ab	
Mo'08	8ad	0282	lb	fb				df						20	c-ab-a	
Mo'08	8af	0499	ls	lb		3		mf						29	w-c-ab	
Mo'08	8ae	0445	ms	lb		3		ff						26	c-ab	fractura moderna
Mo'08	8ae	0439	ls	lb		3		df						27	c-ab-a	
Mo'08	8ae	0437	ms	lb		3		df						21	a-c	
Mo'08	8ad	0305	ls	lb		3		df						26	a-c-ab	
Mo'08	8af	0969	ls	lb		3		df						22	c-a	
Mo'08	8ae	0479	ms	lb		3		df						21	c-ab	
Mo'08	8af	0910	ms	in				in			3			12	c	
Mo'08	8ae	0436	ls	lb		3		df						20	a-c-ab	
Mo'08	8ae	0665	ss	lb		3		df						12	c-a	
Mo'08	8af	0853	ss	in				in						08	mn-c	
Mo'08	8af	0967	ss	fb				df						17	c-a	
Mo'08	8af	0976	ms	lb		3		df						30	c-ab	
Mo'08	8af	0977	ms	fb				in						15	c-a	
Mo'08	8ae	0438	ms	lb		3		df						18	c-a	
Mo'08	8af	0982	ls	lb		3		in						17	c-mn-p	
Mo'08	8ae	0462	ms	ab				in						11	c	
Mo'08	8ae	0570	ms	lb		3		df						18	c-a	
Mo'08	8af	0862	ms	lb		3		df						14	c	
Mo'08	4ad	0242	ms	in				in			3			13	c	
Mo'08	8af	0951	ms	lb		3		in						16	c-a-ab	
Mo'08	7ad	0350	ms	fb				df						19	c-ab-a	
Mo'08	7ae	0269	ms	lb		3		ff						17	c-a	
Mo'08	7af	0296	ls	lb		3		df						19	c-a	
Mo'08	8af	0871	ms	lb		3		ff						18	c-a	

Anexo III

Mo'08	8af	0441	ms	lb		3		mf					18	c-a-p	
Mo'08	8af	0860	ss	lb		3		in					12	c-a	
Mo'08	7af	0401	ls	lb		3		df					16	c	
Mo'08	4ah	0072	ls	lb		3		in		3-4			16	c	
Mo'08	7ad	0379	ss	lb		3		df					08	ab-c	
Mo'08	8ae	0470	ss	lb		3		ff					21	ab-c	
Mo'08	7ae	0283	ms	lb		3		mf					17	c-a	
Mo'08	7ae	0289	ms	fb				in					18	mn-c	
Mo'08	9ad	0190	ss	fb				in					10	ab-a	
Mo'08	7af	0295	ms	lb		3		mf					16	mn-c-p	
Mo'08	8ac	0540	ms	lb		3		ff					24	mn-c	
Mo'08	7ae	0318	ms	fb				in					18	c-a	
Mo'08	8ad	0357	ss	lb		3		in					12	c-ab-w	
Mo'08	7ae	0246	ms	in				in					15	c-ab	
Mo'08	7ah	0306	ms	lb		3		ff					24	c-ab-a	
Mo'08	8ac	0488	ss	in				in					05	c-mn-w	
Mo'08	8ae	0685	ss	lb		3		df					18	c-ab	
Mo'08	8ac	0522	ms	lb		3		df					35	w-c	
Mo'08	7ae	0234	ms	lb		3		in					48	c-ab-a	
Mo'08	8af	0912	ss	fb				ff					11	c	
Mo'08	7ad	0344	ss	lb		3		ff					12	c-w	fractura moderna
Mo'08	7ac	0547	ss	lb		3		df					18	c-a	
Mo'08	8ae	0502	ms	ab				in					12	c	
Mo'08	8ac	0445	ss	lb		3		ff					14	c-mn	fractura moderna
Mo'08	8af	0786	ss	lb		3		ff					16	c-mn-p	
Mo'08	8ac	0598	ss	lb		3		df					13	ab-c-mn	
Mo'08	8af	0906	ss	lb		3		in					10	mn-c	
Mo'08	7ah	0336	ss	in				df					08	c	
Mo'08	7af	0272	ms	lb		3		in					33	c-ab-w	
Mo'08	8af	0972	ms	lb		3		df					16	c-p-ab	
Mo'08	7ae	0362	ms	lb		3		in					14	c-mn	
Mo'08	7ah	0375	ss	lb		3		df					14	c-ab	
Mo'08	8af	0974	ss	lb		3		in					14	mn-c	
Mo'08	7ae	0332	ms	lb		3		in					18	mn-c-ab	
Mo'08	8ae	0545	ss	in				df					12	ab-c-a	
Mo'08	8ad	0365	ss	lb		3		mf					19	c-mn	
Mo'08	7ad	0380	ls	lb		3		in					35	c-ab	
Mo'08	9ad	0226	ms	fb				mf					17	c-ab	
Mo'08	9ad	0197	ss	lb		3		ff					12	c-ab	
Mo'08	9ad	0228	ss	lb		3		mf					18	c-a-ab	
Mo'08	8ag	0342	ms	in				in					11	c-ab-p	
Mo'08	6ac	0268	ms	lb		3		mf					12	mn-c	
Mo'08	8ae	0575	ms	in				in					17	c-ab	
Mo'08	8ae	0638	ss	lb		3		mf					12	c-ab	

Anexo III

															08	c	fractura moderna
Mo'08	7af	0291	ss	lb		3		df									
Mo'08	7ae	0287	ms	lb		3		ff							22	c-ab	
Mo'07	8ah	1041	in	in				in							13	ab-a	
Mo'07	8ah	0983	ms	lb		3		ff							20	w-a-p	
Mo'07	9ac	0335	ss	ab				df							10	w-a	
Mo'07	8ah	1075	ms	lb		3		df							15	a-c-mn	
Mo'07	9ac	0299	ms	lb		3		mf							14	a-c-mn	
Mo'07	8ag	0332	ss	lb		3		in							16	ac	
Mo'07	8af	0572	ms	lb		3		in							22	a-c	
Mo'07	8af	0569	ss	lb		3		mf							12	ac	
Mo'07	8ah	0966	ss	lb		3		mf							12	c	
Mo'07	8af	0728	ss	in				in							11	c	
Mo'08	8ad	0410	ms	lb		3		in							26	c	
Mo'08	7ab	0276	ms	in				df							10	a-ab-c	
Mo'08	8ae	0518	in	lb		3		ff							14	a-mn-c-w	
Mo'08	7ag	0300	ms	in				df							12	a-c	
Mo'08	9ab	0212	in	in				df			3				09	a-ab-c	
Mo'08	8ab	0507	ls	dent		f		in							14	mn-c	
Mo'08	7ab	0344	in	fb				df							13	mn-c	
Mo'08	7ae	0374	ls	lb		3		df							21	a-mn-c-w	
Mo'08	9ab	0217	in	in				mf							10	a-c	
Mo'08	7ab	0336	ms	in				mf							11	a-c	
Mo'08	8ac	0577	ls	lb		3		df		3					11	a-c	
Mo'08	7am	0379	in	lb		3		df							21	mn-c	
Mo'08	9ab	0222	ls	lb		3		df							18	a-c-w	
Mo'08	8af	0748	ms	lb		3		df							16	a-mn-c	
Mo'08	8ad	0330	ms	fb				df							10	a-c	
Mo'08	9ad	0183	ls	lb		3		df							12	a-mn-c	
Mo'08	8ad	0333	ls	ab				df							20	a-c-w	
Mo'08	8ab	0474	ss	in				mf							06	a-mn-c	
Mo'08	8ag	0359	ms	fb				df							12	c	
Mo'08	7ag	0394	ls	lb		3		df							13	a-ab-c-w	
Mo'08	7ah	0296	ms	in				df							12	a-c	
Mo'08	7af	0294	ms	fb				mf							09	mn-c	
Mo'08	8ac	0573	in	in				df							09	a-mn-c-w	
Mo'08	9ad	0289	ls	lb		3		df		3					19	a-mn-c	
Mo'08	4ah	0073	ls	lb		3		df							22	a-c-w	
Mo'08	7ah	0347	ls	lb		3		df							11	a-c-w	
Mo'08	7ah	0273	ms	fb				df							12	a-c-w	
Mo'08	8ag	0367	in	in				df							13	a-mn-c	
Mo'08	7ah	0309	ms	in				df							12	a-c-w	
Mo'08	9ad	0275	ms	in				df							08	a-c-w	
Mo'08	7af	0292	in	in				ff	cp						13	a-mn-c	
Mo'08	9ac	0389	in	in				mf							09	a-c	

Anexo III

Mo'08	8af	0771	ms	lb		3		df					11	a-c-w	
Mo'08	8ab	0417	ms	fb				df					13	mn-c	
Mo'08	7ah	0368	ms	lb		3		df					13	a-c-w	
Mo'08	7ah	0242	ms	in				mf					13	mn-w	
Mo'08	8ac	0526	in	fb				df					14	a-mn-c	
Mo'08	8ad	0284	in	in				df					06	mn-c	
Mo'08	8ac	0506	ms	dent		f		in					09	c	
Mo'08	7ah	0351	in	fb				df					14	a-c	
Mo'08	7ah	0286	ms	in				df					15	a-c-w	
Mo'08	7ab	0337	ms	fb				df					12	mn-c	
Mo'08	8ag	0395	ss	in				df					12	a-c	
Mo'08	8af	0963	ls	lb		3		df					17	a-mn-c-w	
Mo'08	7ae	0403	ls	lb		3		df					41	c	
Mo'08	9ad	0285	ms	fb				df					16	a-mn-c-w	
Mo'08	8ad	0323	ls	lb		3		df					16	a-mn-ab-c	
Mo'08	8ae	0546	ms	in				df					16	a-c	
Mo'08	7ah	0358	ls	lb		3		df					20	a-mn-c-w	
Mo'08	7ag	0348	ls	lb		3		df					17	a-mn-c-w	
Mo'08	4ah	0079	ls	lb		3		df					24	a-c	
Mo'08	8ab	0510	ms	in				df					10	a-c	
Mo'08	7ah	0399	ms	dent		f		df					09	a-c	
Mo'08	9af	0381	ms	fb				df					13	a-c-w	
Mo'08	8ab	0422	in	in				df					14	c	
Mo'08	7ah	0224	in	fb				df					09	a-c	
Mo'08	8ae	0545	in	in				df					14	mn-c	
Mo'08	9ab	0221	ls	lb		3		df		3			13	a-ab-c	
Mo'08	9af	0388	ms	fb				df					18	a-mn-c	
Mo'08	8af	0382	as	fb				df					15	a-ab-mn-c	
Mo'08	7ah	0290	in	in				df					08	a-c	
Mo'08	9af	0372	ls	lb		3		df					24	a-c-w	
Mo'08	7af	0260	ls	lb		3		df					28	a-c	
Mo'08	7ah	0266	in	fb				df					15	a-c-w	
Mo'08	7ah	0333	ms	fb				df					15	a-c-w	
Mo'08	7ah	0302	in	in				df					12	a-c	
Mo'08	8ad	0264	ms	ab				ff					14	a-c-p	
Mo'08	8ac	0527	ls	ab				df					19	mn-c	
Mo'08	7ah	0304	ls	lb		3		df					19	a-c-w	
Mo'11	6af	0678	ls	lb		3		df					62	a-c-w	
Mo'11	6ae	0711	ls	lb		3		df					46	a-ab-c	
Mo'11	9ad	0329	ls	lb		3		df					34	a-c-w	
Mo'11	8ag	0550	ls	lb		3		ff					25	a-mn-c-w	
Mo'11	6ac	0445	ms	fb				ff					24	a-mn-c	
Mo'11	8ag	0533	ls	lb		3		df					29	a-mn-c	
Mo'11	6ad	0871	in	in				in					07	mn-c	

Anexo III

Mo'11	6af	0685	ms	in				df					16	a-ab-c	
Mo'11	8ad	0910	ls	lb		3		df					20	a-c-w	
Mo'11	7ag	1127	in	in				df					14	mn-c	
Mo'11	9ad	0330	ms	lb		3		df		3			20	a-ab-c	
Mo'11	6ab	0276	ms	fb				ff					20	a-c	
Mo'11	6af	0710	ls	lb		3		df					28	a-mn-c	
Mo'11	8ag	0551	in	lb				ff					17	a-mn-c	
Mo'11	6ab	0331	ms	dent		f		in					10	c	
Mo'11	7ae	1107	ls	lb		3		df					27	a-mn-c	
Mo'11	6ad	0814	ms	in				mf					19	mn-c	
Mo'11	6af	0704	ms	fb				df					23	a-c	
Mo'11	6ac	0468	ms	in				df					24	a-c	
Mo'11	6ad	0701	ms	fb				mf					16	c	
Mo'11	6ad	0798	ls	lb		3		df					10	a-c	
Mo'11	6ad	0783	in	in				ff					09	mn-c	
Mo'11	6ad	0702	ms	ab				df					14	a-c	
Mo'11	6ae	0725	ls	lb		3		df					29	a-ab-c	
Mo'11	7ae	1017	ms	fb				in					15	a-mn-c	
Mo'11	6ae	0725	ls	lb		3		df					29	a-mn-c	
Mo'11	7ae	1020	ms	ab				df					24	a-c	
Mo'11	6ag	0242	ls	lb		3		df					27	a-c	
Mo'11	7ad	0926	ls	lb		3		df					22	a-mn-c	
Mo'11	7ac	0937	ms	lb		3		df					28	a-c	
Mo'11	7ac	1059	ms	fb				df					20	a-mn-c-p	
Mo'11	6ae	0607	ms	fb				df					19	a-c-w	
Mo'11	8ae	1085	ms	fb				df					21	a-mn-c	
Mo'11	7ae	1022	ms	in				df					24	a-mn-c	
Mo'11	6ab	0231	ms	ab				df					20	a-c	
Mo'11	6ab	0252	ls	lb		3		df					35	a-c	
Mo'08	7ag	0264	in	dent		f		ff					10	c	
Mo'08	8af	0806	ls	lb		3		ff					15	a-c	
Mo'08	8af	0806	ls	lb		3		df					23	a-c	
Mo'08	7af	0285	ls	lb		3		df					23	a-mn	
Mo'08	8af	0778	in	in				mf					10	mn	
Mo'08	9ad	0295	in	in				df		3			12	a-ab	
Mo'08	8ad	0329	in	in				df		3			06	c	
Mo'08	8af	0761	ms	fb				mf					11	mn-c	
Mo'08	9af	0401	in	in				df		3			10	a	
Mo'08	7ah	0293	in	lb		3		mf					10	ab-a	
Mo'08	9af	0383	ms	lb		3		df					13	ab-a	
Mo'08	7ag	0352	ls	lb		3		df					15	a-c	
Mo'08	7ac	0376	ls	lb		3		df					16	c-ab-a	
Mo'08	4ah	0082	ls	lb		3		ff					26	c-mn	
Mo'08	8ad	0374	ls	lb		3		df					19	ab-c	

Anexo III

Mo'08	8ad	0322	in	lb		3		df					12	ab	
Mo'08	8ag	0401	in	ls		3		mf					15	a-c	
Mo'08	8ac	0567	ls	lb		3		df					19	mn-c	
Mo'08	8ad	0332	ls	lb		3		df		3			15	c	
Mo'08	7ah	0394	ls	lb		3		df					22	w-ab	
Mo'08	7ah	0254	ss	lb		3		ff					09	a	
Mo'08	7ah	0395	in	in				mf					07	c	
Mo'08	8ac	0533	in	in				mf					12	c-mn	
Mo'08	9ae	0135	in	lb		3		df					14	ab-c	
Mo'08	8ae	0517	ls	lb		3		df					35	c-ab	
Mo'08	7ac	0481	in	lb		3		mf					17	c	
Mo'08	7ag	0304	in	in				mf					06	c-mn	
Mo'08	8ae	0538	ms	lb		3		df					19	mn-ab-c	
Mo'08	8ae	0538	in	in				df					09	c	
Mo'08	7ah	0366	ms	lb		3		mf					16	c-ab	
Mo'08	7ah	0366	in	lb		3		mf					17	ab-c	
Mo'08	7af	0780	ss	lb		3		df					10	mn-c	
Mo'08	8ab	0425	ss	lb		3		df					12	c	
Mo'08	8ae	0520	ls	lb		3		df					17	c-mn	
Mo'11	8ag	0546	ms	llb		3		ff					26	c	
Mo'11	6ad	0825	in	in				ff					12	mn	
Mo'11	7ae	1137	in	lb		3		ff					16	mn	
Mo'11	6ac	0545	ls	lb		3		ff					32	c-ab	
Mo'11	6ad	0799	ls	lb		3		df					21	mn	
Mo'11	6ad	0765	in	in				df					11	c	
Mo'11	7ac	1022	in	in				ff					10	c	
Mo'11	7ac	1035	in	dent		f		in					11		
Mo'11	6ac	0563	ls	lb		3		ff					27	mn	
Mo'11	6af	0697	ms	ab				df		3			17	c	
Mo'11	6af	0715	ls	lb		3		ff					27	mn-a	
Mo'11	6ad	0664	ls	lb		3		df					29	c	
Mo'11	6ac	0559	ls	lb		3		df					21	a-c	
Mo'11	6ac	0557	ls	lb		3		df					24	c	
Mo'11	6ad	0792	in	lb		3		ff					13	a-c	
Mo'11	6ad	0809	in	lb		3		df					14	a-c	
Mo'11	7ae	1058	in	in				ff					13	c	
Mo'11	7ac	0934	in	lb		3		ff					22	mn	
Mo'11	6ad	0808	in	in				df					10	a-c	
Mo'11	6ae	0721	in	lb		3		df					18	c	
Mo'11	7af	1103	in	dent		f		df					22	c	
Mo'11	6af	0722	ls	lb		3		ff					20	a	
Mo'11	8ae	1069	ls	lb		3		df					21	p	
Mo'11	6ae	0601	in	in				ff					12	mn	
Mo'11	6ad	0885	ls	lb		3		ff					30	mn	

Anexo III

Mo'11	6ad	0873	ls	dent		f		in					15		
Mo'11	6ad	0887	in	lb		3		ff					13	mn	
Mo'11	9ae	1067	ls	lb		3		df					26	ab	
Mo'11	7ag	0856	ls	lb		3		ff					22	a-mn	
Mo'08	7ah	0253	in	in				df					11	ab-mn-a-c	
Mo'08	8ag	0372	in	in				ff					18	c-ab-a	
Mo'08	8ag	0350	in	in				ff					12	c	
Mo'08	9ad	0259	in	lb				df					10	c-a-ab	
Mo'08	9af	0402	in	in				df					11	a-ab-c-p	
Mo'08	8ab	0505	in	in				ff					06	c-mn	
Mo'08	8ae	0612	ls	lb		3		ff					36	c-a-mn	
Mo'08	8ae	0606	ms	lb		3		ff					14	c-ab	
Mo'08	7ah	0329	in	lb		3		df					24	a-ab-w-c	
Mo'08	9ad	0262	in	fb				df					21	c-ab-a	
Mo'08	8ac	0575	ms	lb		3		df					12	c-ab-a-mn	
Mo'08	8ab	0475	in	in				ff					07	c-ab	
Mo'08	8ag	0363	in	in				df					14	c-a	
Mo'08	9ah	0050	in	lb		3		ff					28	c-ab-a-mn	
Mo'08	8af	0737	in	in				df					11	c-ab-p	
Mo'08	8ag	0319	in	in				df					11	mn-c-a-ab	
Mo'08	8ab	0448	in	in				df					10	c-a-mn	
Mo'08	7ag	0339	ms	fb				ff					21	a-c-ab	
Mo'08	8ab	368	in	in				ff					12	ab-c-mn-a	
Mo'08	8ad	0324	in	in				df					15	ab-c-p	
Mo'08	4ah	0057	ls	lb		3		ff					70	ab-a-c	
Mo'08	7ah	0261	ms	lb		3		ff		3-5			17	ab-a-c	
Mo'08	7ah	0262	in	in				df					22	ab-c-a-p	
Mo'08	7ah	0260	in	in				df					13	p-c-mn	
Mo'08	8ad	0265	in	in				in					18	c-mn	
Mo'08	8ad	0276	in	in				df					14	c-mn	
Mo'08	8ad	0277	in	in				df					10	c-ab-a-m-p	
Mo'08	7ah	0356	in	in				df					09	ab-a-c-p	
Mo'08	8af	0620	in	in				mf					10	c-a	7 fragments
Mo'08	4ah	0055	ls	lb		3		ff					45	c-a	
Mo'08	8ae	0513	ls	lb		3		df					22	c-ap-ab	
Mo'11	7ac	1104	in	in				df					15	c-a	
Mo'11	6ad	0698	in	in				df					17	c-mn	
Mo'11	7ac	0855	in	in				df					07	c-mn-ab	
Mo'11	8ag	0938	in	fb				df					21	c-a	
Mo'11	7ae	1037	in	fb				df					13	c-ab	
Mo'11	6ac	0546	in	lb		3		df					33	c-a	
Mo'11	7ac	1046	in	lb				ff					13	mn-c-a	
Mo'11	7ag	0852	in	in				df					14	c-mn-a	

Anexo III

Mo'11	6ae	0797	in	in				df					18	c-ab-a	
Mo'11	7ae	1138	in	in				df					16	c-mn	
Mo'08	7ah	0331	ss	lb		3		in					10	c-p	
Mo'08	7ah	0321	ss	lb		3		ff					10	c-a	
Mo'08	9ad	0216	ss	in				in					20	w-c-ab	
Mo'08	7ah	0288	ss	lb		3		df					11	c-ab	fractura moderna
Mo'08	9af	0387	ss	lb		3		mf					14	a-c	
Mo'08	8ac	0565	ms	lb		3		df					18	mn-c	
Mo'08	9ac	0361	ms	in				df		3			11	c-a	
Mo'08	8ae	0523	ms	fb				in					21	c-a	
Mo'08	7ah	0268	ss	lb		3		df					10	w-c	
Mo'08	9ad	0257	ss	lb		3		df		3			14	c-ab	
Mo'08	7ah	0303	ss	in				df					12	c	
Mo'08	8ae	0621	ss	lb		3		df					12	c-mn	
Mo'08	7ah	0294	ss	lb		3		ff					13	c-a	
Mo'08	8ab	0511	ss	dent		f		in					08		
Mo'08	8ad	0375	ms	lb		3		ff					26	c-a	
Mo'08	8ab	0423	ms	lb		3		ff					18	c-m	fractura moderna
Mo'08	8ab	0424	ss	dent		f		in					08	c	
Mo'08	8ae	0524	ms	ab				ff					14	w-c-mn	
Mo'08	9ab	0187	ss	in				in					12	c-a	
Mo'08	8af	0777	ss	lb		3		df					11	c-ab	
Mo'08	4ah	0056	ms	lb		3		ff					30	c	
Mo'08	7ab	0394	ms	lb		3		df					14	c-ab-a	
Mo'08	7ah	0332	ss	in				df					08	c-ab	
Mo'08	7ae	0396	ss	lb		3		ff					18	c-ab	
Mo'08	8ae	0519	ms	ab				in					18	c-ab-a	
Mo'08	8ab	0416	ss	lb		3		df					12	mn-c	
Mo'08	8ac	0563	ss	lb		3		in					15	m-c	
Mo'08	7ah	0284	ss	lb		3		in					22	c-ab-w	
Mo'08	8ad	0269	ms	lb		3		ff					15	ab-a-c	
Mo'08	9ad	0184	ms	fb				df					23	ab-a-c	
Mo'08	7af	0266	in	in				in					07		
Mo'08	8ab	0432	ss	in				df					12	mn-a-c	
Mo'08	9ae	0126	ss	lb		3		mf					11	c-ab	
Mo'08	8af	0815	ss	in				mf					09	ab-c	
Mo'08	8ac	0572	ss	in				in					11	c-ab	
Mo'08	8ae	0529	ss	lb		3		df					09	c-a	
Mo'08	7ah	0318	ss	lb		3		mf					09	c-w-ab	
Mo'11	6ae	0599	ms	lb		3		df					31	c-a	fractura moderna
Mo'11	6ae	0636	ms	lb		3		mf	cp				21	c-a	
Mo'11	8ag	0557	ms	lb		3		df					24	c-a-mn	
Mo'11	9ac	0439	ms	lb		3		df					24	c-a	

Anexo III

Mo'11	7ae	1169	ls	lb		3		ff						a-ab-mn-w	uns 50 fragments. longitud conssuència de meteorització	
Mo'13	8ae(a)	1254	ls	lb		3		ff	2ip					71	a-ab-w	separada foto
Mo'13	8ae	1118	ls	lb		3		ff						75	a-mn-w-p	esquerdes longitudinals
Mo'13	6ad	1310	ls	lb		3		ff	1ip					87	a-mn-w	
Mo'11	6ae	0681	ls	lb		3		ff						45	a-ab-w-mn-p	molt arrodonit. 2 fragments
Mo'08	8ae	0564	ls	lb		3		ff						67	a-ab-w	
Mo'08	7af	0279	ls	lb		3		in						78	a-ab-w	esquerdes longitudinals. foto
Mo'09	7af	0863	ls	lb		3		ff	lcn					72	a-w	
Mo'11	8ag	0530	ls	in				in						33	a-ab-w	
Mo'10	8ad	0818	ls	ab				in						20	a-ab-mn	té diversos forats
Mo'10	8ad	0830	ls	lb		3		ff	2ip					31	a-ab-mn	
Mo'10	8ad	0805	ls	fb				in						14	ap-w	
Mo'10	8ad	0902	ls	lb		3		in						27	a-ab-c	
Mo'05	8ah	0229	in	dent		f		in						15		
Mo'08	7af	0250	ls	dent		f		in						14		
Mo'10	8ac	0912	ms	ab		f		in						14	mn-a-p	
Mo'10	8af	1376	ls	dent		f		in						16		
Mo'10	6af	0667	in	lb		3		ff	lc					23	a-w	és una ascla
Mo'10	6ad	0559	ls	fb				in						34	a-mn-p	arrodonit
Mo'10	7ad	0703	ls	lb		3		ff	lc	3om				29		3 marques obliques en un fragment tipus ascla. foto
Mo'05	10ag	0906	ls	ab				in						20	ab-w-p	molt desgradat
Mo'11	6ac	0479	ls	dent		f		in						17	c	molariforme
Mo'13	7af	1288	ls	lb		3		df						40	a-mn-w	
Mo'11	6ac	0515	ms	lb		3		ff	1ip					43	a-mn-p-w	2 fragments. 515 i 516 semblen del mateix os
Mo'11	6ac	0516	ms	lb		3		ff	1ip					62	a-mn-p-w	515 i 516 semblen del mateix os
Mo'12	6ac	0677	ms	lb		3		ff	1ip					22	a-mn-w-p	
Mo'13	7af	1292	ls	lb		3		ff						33	a-mn-p-w	
Mo'09	8ae	0785	ls	lb		3		ff	cp					23	p-mn	frag que saltat al picar. foto
Mo'13	6ac(d)	0869	ls	lb		3		in						45	ap-w	arrodonit
Mo'13	6ac(d)	0869	ls	lb		3		ff						29	ap-mn-w	
Mo'13	6ac(d)	0869	ls	ab				in						22	a-ad	
Mo'13	6ac(d)	0869	ls	in				in						19	aw	
Mo'13	6ac(d)	0869	ls	ld		3		in						23	a-w-c-p	
Mo'13	6ac(d)	0869	ls	in				in						27	a-w	
Mo'13	6ac(d)	0869	ms	fb		4		in						16	a-mn	
Mo'13	6ac(d)	0869	ms	lb		3		ff	1ip					33	ac	
Mo'13	6ac(d)	0869	ms	lb		3		ff	1ip					26	a-w	
Mo'13	6ac(d)	0869	ms	lb		3		ff						19	c	
Mo'15	6ac	1493	ls	lb		3		df						32	w	foto meteorització
Mo'02	8ae	0103	ms	fb				in						17	a	
Mo'09	7af	0445	ms	ab				in						13	a	
Mo'11	7ac	0868	in	fb				in						07	mn	
Mo'11	9ad	0325	in	in				in						06	mn-c	

Anexo III

Mo'11	7ac	1106	ls	lb		3	ff					27	w-c	
Mo'11	6ad	0820	in	in			mf					10	w-c	diversos frags no mesurables
Mo'11	8ac	0958	in	in			in					10	w-c	
Mo'11	8ac	0958	in	in			in					12	w-c	
Mo'11	8ac	0958	in	in			in					12	w-ab	
Mo'11	8ac	0958	in	in			in					10	w-ab	
Mo'11	7ab	0562	in	in			in							no measurable
Mo'06	8ah	0759	in	fb			ff					11	ab	
Mo'06	8af	0278	in	lb		3	df					14	a-ab	
Mo'06	8ac	0247	in	in			df					14	w-mn	
Mo'06	8ac	0266	in	fb			df					20	a-ab-	
Mo'06	8ah	0656	ms	lb		3	ff					08	ab-w	
Mo'06	8ab	0222	in	in			df		1			10	ab-w	
Mo'06	9ag	0216	ls	in			df		3-4-5			14	c	
Mo'06	9ah	0562	ms	lb		3	ff					17	w-a-ab	
Mo'06	8ah	0787	in	in			in					14	a	3 fragments que possiblement remunten
Mo'06	8ah	0774	ls	ms			in					15	a-mn	
Mo'06	10ag	0926	in	in			in			3		16	ab-c	
Mo'06	8af	0470	in	lb		3	in					14	a-ab	
Mo'06	8ag	0257	in	in			df					07	mn	
Mo'06	10ag	0968	in	lb		3	df					36	a-w-ab	
Mo'06	9af	0279	in	in			in					15	a-w-ab	
Mo'06	9ac	0119	in	fb			in		3			07	c	
Mo'06	8ab	0161	in	in			in		3			14	a-w-ab	
Mo'06	9ah	0636	in	fb			df					12	ab	
Mo'06	9ah	0623	in	in			df					11	ab	
Mo'06	10af	0397	in	lb		3	df					17	w-ab	
Mo'06	9af	0270	in	in			in					30	w-a-ab	
Mo'06	9ac	0160	in	in			in		4			07	ab	elemento ossi?
Mo'06	8af	0355	ls	lb		3	in					18	a-ab	
Mo'06	9ad	0140	in	in			in					25	ab	
Mo'06	10ad	0206	in	in			in		3-4-5-			13	ab	
Mo'06	8ah	0626	in	in			in		3			07		
Mo'06	8ae	0240	in	in			in					10	ab	
Mo'06	10ah	0685	in	in			in					22	c	
Mo'06	9ad	0138	in	in			in					07	ab	
Mo'06	8af	0337	ms	lb		3	in					31	a-w-ab	
Mo'06	8af	0260	in	in			in		3			07		
Mo'06	10ah	0682	ls	in			in					14	w-mn	
Mo'06	8ad	163	in	in			in		3			10	ab	
Mo'11	7ac	0933	ms	dent		f	in					11	c	esmalt
Mo'11	6ad	0692	in	in			ff					11	c-mn	
Mo'11	7ae	1108	in	lb			df					18	c-mn	
Mo'11	7ac	1060	in	in			df					14	c-mn-a	

Anexo III

Mo'11	6ae	0712	in	dent		f		df					13	c	
Mo'11	6ac	0449	in	in				ff					14	mn-ab	
Mo'11	8ag	0532	in	lb				ff					19	mn-c-a	
Mo'11	7ac	0989	in	in				df					07	c-mn-a	
Mo'11	7ae	1081	in	in				ff					51	mn-a-c	
Mo'11	6ac	0953	ms	lb				ff					11	c-a	
Mo'11	7af	1008	in	lb				df					25	c-a-ab	
Mo'11	6ae	0655	in	in				ff					11	mn-c-a	
Mo'11	7ac	0886	in	in				df					14	c-a-mn-p	
Mo'11	8ae	1084	in	in				df			3-4-5		23	c-mn-a	
Mo'11	6ac	0448	in	in				ff					14	p-mn-c-a-ab	
Mo'11	6ad	0771	in	fb				ff					16	c-a-mn	
Mo'11	7ac	1027	in	fb				df			3		11	mn-c	
Mo'11	7ac	0921	in	fb				ff					12	a-ac-mn	
Mo'11	6ae	0646	ms	lb				df					26	c-mn-ab-a	
Mo'11	7ae	1139	in	in				ff					19	c-ab-mn-a	
Mo'11	7ac	1040	in	in				df					11	c-mn	
Mo'11	6ae	0600	in	in				df					21	mn-c-a-p	
Mo'11	8ae	1092	in	in				fp	cp				11	mn-c-a	
Mo'11	8ag	0547	ms	ab				df					16	c-mn-a	
Mo'11	6ae	0665	in	in				df					13	c-mn-a	
Mo'11	6ae	0648	in	dent		f		ff					07	c-mn	
Mo'11	7ae	1031	in	in				mf					10	c-a	
Mo'11	6ab	0253	ms	in				df					18	c-a-mn-ab	
Mo'11	6ad	0675	in	dent		f		df					09	mn-c	esmalt
Mo'11	6ad	0830	in	fb				df					15	c-a-ab	
Mo'11	7ac	1023	in	in				df					14	mn-c-a	
Mo'11	6ab	0327	in	lb				df					29	p-mn-c-a	
Mo'11	7ae	1106	in	in				df					16	c-ab-a-mn	
Mo'11	7ae	1030	in	dent		f		df					10	c-a	
Mo'11	7ae	1097	in	in				df					16	c-ab-a	
Mo'11	7ae	1027	in	in				df					13	c-ab-mn-a	
Mo'11	6ad	0840	in	dent		f		df					08	mn-c-a	
Mo'11	6ad	0782	in	fb				df					18	c-a-ab	
Mo'11	6ac	0530	in	dent		f		df					14	c-a.mn	
Mo'11	6ad	0653	in	ab				ff					13	c-a	
Mo'11	7ae	1105	in	in				df					16	c-mn-a	
Mo'11	6ad	0791	ms	lb		3		ff			3-5		09	c-ab-a	
Mo'11	6ad	0658	in	in				df					22	c-mn-a-ab	
Mo'11	6ab	0321	in	lb				df					19	c-a	
Mo'11	6ac	0531	ls	dent		f		ff					11	c-a	
Mo'11	7ae	1047	in	in				ff					10	p-mn-c-a	
Mo'11	6ad	0823	in	dent		f		df					11	c-a-ab	
Mo'11	7ac	0945	in	lb		3		df					18	ab-c-a-mn	

Anexo III

Mo'11	7ac	1109	in	lb				df					22	c-mn-ab-a	
Mo'11	6af	0699	ls	lb				ff					15	mn-c-a-p	
Mo'11	8ag	0543	in	in				df					32	c-mn-a-ab	
Mo'11	7ac	0883	in	in				df					22	c-ab-mn	
Mo'11	6af	0674	in	in				df					15	mn-c	
Mo'11	7ad	0935	in	in				df					18	mn-c	
Mo'11	6ad	0870	in	in				df					14	mn-c-a	
Mo'11	7ac	0879	in	in				mf					08	c-mn	
Mo'11	7ae	1142	in	in				df					15	mn-c-a	
Mo'11	6af	0681	in	in				df					14	c-mn-a	
Mo'11	7af	1044	in	in				df					15	a-c	
Mo'11	7ac	0860	in	in				ff					09	mn-c	
Mo'11	7ac	1056	in	in				ff					16	c-mn-a	
Mo'11	7ac	1000	in	in				df					13	mn-c-a	
Mo'11	7ae	1119	in	in				df					15	ab-a-c-mn	
Mo'11	6ac	0571	in	dent		f		df					12	c-mn-a	
Mo'11	7ab	0509	in	in				df					11	p-c-a-mn	
Mo'11	7ab	0516	in	in				df					13	a-c-mn	
Mo'11	6ad	0604	in	in				df					12	c-m-a	
Mo'11	6ad	0833	in	in				df					13	c-mn	
Mo'11	9ae	0168	in	in				df					16	a-ab-a	
Mo'11	8af	1398	in	in				df					12	c-a-ab	
Mo'11	8ad	0917	in	in				df					14	c-a-ab-mn	
Mo'11	7af	1115	ms	in				mf					08	a-c-p	
Mo'11	7af	1039	in	lb				df					17	c-n-a-ab	
Mo'11	7ag	0814	in	in				df					15	a-ab-mn-c	
Mo'11	6ae	0658	ms	dent		f		df					10	mn-c-a	
Mo'11	6ad	0612	in	in				df					15	c-mn-a-ab	
Mo'11	6ad	0600	in	fb				df					20	c-a-ab-mn	
Mo'11	6ac	0565	in	in				df					19	c-ab	
Mo'11	7ac	1097	in	lb				df					16	c-mn-a	
Mo'11	7ac	0873	in	dent		f		df					09	c-a-ab	
Mo'11	8ag	549	in	in				df					17	c-ab-mn	
Mo'11	8ae	1079	in	in				df					12	c-mn-a-ab	
Mo'11	7ae	1015	in	in				df					07	c-a-mn	
Mo'11	7af	1025	in	dent		f		df					07	c-a-mn	
Mo'11	7af	1025	in	dent		f		df					13	c-a	
Mo'11	7ad	0910	in	in				df					13	c-a-ab	
Mo'11	7ad	0908	in	in				df					16	mn-c-a-ab	
Mo'11	8ag	0529	in	ab				df					15	c-mn-a	
Mo'11	6af	0689	in	in				df					13	c-ab-a	
Mo'11	6ad	0670	in	in				df					17	c-ab-a	
Mo'11	7ag	0823	in	in				df					19	p-ab-a-w-a-c	
Mo'11	7ae	1028	in	in				df					09	c-mn-a	

Anexo III

Mo'11	7ad	0922	in	in				df					14	c-a-mn	
Mo'11	8ac	0953	in	in				df					07	p	
Mo'11	7ae	1019	in	in				df					13	c-a-ab	
Mo'11	9ad	0327	in	in				df					20	c-ab-a	
Mo'11	7ae	1038	in	in				df					15	c-mn-p	
Mo'11	6af	0709	in	in				df		3			14	c-a	
Mo'11	7ae	1029	in	in				df					08	c-mn-a	
Mo'11	6ad	0865	in	in				df					09	mn-c-a	
Mo'11	6ad	0834	in	dent			f	df					13	c	
Mo'11	6ae	0637	in	in				df					18	c-a-mn	
Mo'11	9ad	0307	in	in				df					14	c-mn	
Mo'11	6ad	0621	in	in				df					12	c-ab	
Mo'11	7ad	0907	in	lb				df					16	c-ab-mn-a	
Mo'11	8af	1389	in	in				df					10	mn-c-a	
Mo'11	8ae	0626	in	in				ff					11	mn-c	
Mo'11	7ac	0854	in	in				df		4			10	c-a	
Mo'11	6ac	0548	in	fb				df					16	c-a	
Mo'11	6ac	0539	ls	dent			f	df					16	c-mn-a	
Mo'11	6ac	0539	in	lb				ff					20	c-mn-a	
Mo'11	6ac	0539	ls	in				df					19	c-a	
Mo'11	6ac	0539	in	in				df					19	c-a	
Mo'11	9ad	0309	in	in				df					17	a-c-mn-w	
Mo'11	8ae	1064	ls	lb		3		ff					27	mn	
Mo'11	6ac	0496	ls	lb		3		df					21	p-mn	
Mo'11	7ae	1067	in	in				df					08	ab-c	
Mo'11	6ac	0476	in	lb		3		df					14	a	
Mo'11	6ac	0476	ls	in		3		ff					17	p-c	
Mo'11	6ac	0575	in	lb		3		df					11	c	
Mo'11	6ad	0786	ms	lb		3		df					28	c-mn	
Mo'11	6ag	0214	ls	lb		3		ff					23	mn-c-a	
Mo'11	6ag	0214	ms	lb		3		ff					22	c	
Mo'11	6af	0683	in	in				ff					12	c	
Mo'11	7ae	1146	ss	lb		3		ff					15	a	
Mo'11	7ac	1101	in	lb		3		df					13	mn-c	
Mo'11	8ad	0920	in	lb		3		df					17	ab	
Mo'11	7ag	0853	ls	lb		3		df		3			22	p-c	
Mo'11	6ab	0260	ls	lb		3		df					23	mn-a	
Mo'11	7ag	0820	ms	lb		3		ff					19	c	
Mo'11	6ad	0892	in	lb		3		df					15	c	
Mo'11	6ad	0749	ms	lb		3		df					16	c-mn	
Mo'11	6ad	0778	in	lb		3		ff					16	a	
Mo'11	7ag	0831	ls	lb		3		ff					19	a-c-m	
Mo'11	6af	0702	in	in				ff					25	mn-c	
Mo'11	7ae	1059	in	in				df					11	mn-a	

Anexo III

Mo'11	7ag	0806	ls	lb		3		df					28	ab-a-c	
Mo'11	6ad	0872	ss	lb		3		df					16	c	
Mo'11	8ae	1068	in	dent		f		in					18	c-mn	
Mo'11	7ag	0821	in	lb		3		ff					22	ab	hi ha un foramen nutrici
Mo'11	7ag	0818	ls	in				ff					16	c-mn	
Mo'11	6ab	0299	in	in				ff					16	a	
Mo'11	6ad	0606	in	lb		3		ff					28	c	
Mo'11	6ad	0590	in	in				df					12	a-c	
Mo'11	6af	0706	in	in				ff					18	c-mn	
Mo'08	8ae	0537	in	lb		3		ff					14	c-mn	
Mo'11	6ae	0644	in	in				ff					10	mn-c	
Mo'11	8ac	0945	in	in				df					13	c	
Mo'11	6ad	094	in	lb		3		df					15	a-p	
Mo'11	6ad	0787	in	lb		3		df			3		14	mn-c	
Mo'11	7ac	0922	in	in				df					10	a-mn	
Mo'11	7ae	1126	in	in				ff					12	mn	
Mo'11	6ae	0643	in	lb		3		df					12	c	
Mo'11	7ae	1136	in	in				ff					09	mn	
Mo'11	8ad	0914	in	lb		3		ff			3		16	c	
Mo'11	7ac	0862	in	in				ff					13	c	
Mo'11	7ae	1071	in	in				mf					13	a	
Mo'11	7ac	0932	in	in				mf					14	a	
Mo'11	7ab	0525	in	lb		3		ff					23	c	
Mo'11	7ab	0556	in	in				df					13	c	
Mo'11	7ae	1026	in	in				df					05	mn-c	
Mo'11	7ae	1133	in	in				mf					06	mn	
Mo'11	6ad	0845	in	lb		3		df					17	a	
Mo'11	6ad	0843	in	in				df					11	mn	
Mo'11	7af	1103	in	in				df					14	a-mn	
Mo'11	7af	1099	in	lb		3		ff					16	a-mn	
Mo'11	7ad	0929	in	in				df					13	a	
Mo'11	7af	1098	in	in				mf					14	c	
Mo'11	6ad	0866	in	in				mf					18	a-c	
Mo'11	6ad	0598	in	in				df					15	a	
Mo'11	7ae	1129	in	in				in			3			no mesurable	
Mo'11	6ae	0642	in	in				df					14	c	
Mo'11	6ae	0611	ls	lb		3		df					19	c	
Mo'11	6ae	0612	ls	lb		3		ff					27	a-mn	
Mo'11	6af	0740	in	in				ff					08	a	
Mo'11	6ae	0610	in	in				ff					14	a-c	
Mo'11	6ac	0572	in	lb		3		df					09	a	
Mo'11	7ac	0897	in	in				df					13	c-a	
Mo'11	7ae	1140	in	lb		3		mf					11	c	
Mo'11	6ae	0609	in	lb		3		df					15	c	

Anexo III

Mo'11	6ac	0440	ms	lb		3		df					13	mn-c	
Mo'11	6ab	0294	in	lb		3		ff	tp				27	mn	IP dubtosa
Mo'11	8ae	1088	ls	lb		3		df					27	a	
Mo'11	8ae	1088	ls	lb		3		ff					26	a-mn	
Mo'11	8ae	1088	ls	lb		3		ff					16	a	
Mo'11	7af	1039	in	lb		3		df					17	mn-a	
Mo'11	7ab	0544	in	dent		f		df					12	a-mn	
Mo'11	6ae	0603	in	lb		3		mf					29	c	
Mo'11	6ad	0628	in	dent		f		df					08	c-mn	
Mo'11	9ad	0320	ls	in				mf					23	a-c	
Mo'11	7ae	1121	in	in				mf					08	mn	
Mo'11	6ae	0685	in	in				mf					14	c	
Mo'11	ac	0949	in	in				mf					11	a-c	sense ref nº quadre
Mo'11	6ad	0877	in	lb		3		df					16	c	
Mo'11	6ad	0660	in	in				mf					17	c	
Mo'11	6ae	0749	in	lb		3		ff					18	a-mn	
Mo'11	6ad	0582	in	in				ff					14	a-mn	
Mo'06	8ab	0126	ls	lb		3		ff					20	mn	
Mo'11	8ad	0904	in	in				df		3			10	a-c	
Mo'11	7ag	0851	ls	lb		3		df					23	a-c	
Mo'11	6ac	0467	ls	dent		f		df					12	a-c	
Mo'11	6ac	0549	ls	lb		3		df					17	a-c	
Mo'11	8ag	0535	ls	lb				df					25	a-c	
Mo'11	7ad	0966	ls	lb		3		df					25	a-mn-c	
Mo'11	7ac	1051	ls	lb		3		df					27	a-mn-c	
Mo'11	7ad	0905	in	fb				ff					24	a-c	
Mo'11	6ad	0868	in	dent		f		df					09	mn-c	
Mo'11	6ab	0228	ls	lb		3		df					26	a-c	
Mo'11	7ag	0824	ls	lb		3		df					32	a-ab-c-w	
Mo'11	7ag	0836	ms	in				df					16	a-ab-c	
Mo'11	7ac	0965	ms	fb				df					23	a-mn-c	
Mo'11	6ad	0864	in	dent		f		df					16	mn-c	2 fragments de dent
Mo'11	6ac	0489	ls	in				df					20	a-mn-ab-c	2 perforacions. foto
Mo'11	9ae	0166	ms	fb				df					18	a-c	
Mo'11	9ae	0169	ms	in				df					22	a-mn-c	
Mo'11	6ad	0668	ms	fb				ff					14	mn-c	
Mo'11	8ad	0896	ms	fb				df		3			18	a-ab-c	
Mo'11	9ae	0164	ms	fb				df					13	a-c-w	
Mo'11	9ad	0321	in	lb		3		in					11	a-mn-c	
Mo'11	7ae	1132	in	fb				ff					09	a-c	
Mo'11	7ae	1054	ls	lb		3		df					17	a-mn-c	
Mo'11	8af	1395	ls	lb		3		df					32	a-ab-c	
Mo'11	7ad	0944	in	in				df					19	a-mn-c	
Mo'11	6ae	0717	in	in				df					14	mn-c	

Anexo III

Mo'11	7af	1013	ls	in				df					15	a-mn-c	
Mo'11	7ab	0566	ls	lb		3		df					16	a-mn-c	
Mo'11	7ad	0917	ms	lb		3		df					17	mn-c-w	
Mo'11	6ad	0666	in	in				df					16	a-mn-c	
Mo'11	6ae	0670	ms	fb				df					10	a-c	
Mo'11	7ac	1039	ms	dent		f		ff					11	mn-c	fragment dent
Mo'11	7ac	1105	in	in				df					12	c	
Mo'11	6ae	0692	ms	fb				ff					15	a-mn-c	
Mo'11	7ac	1062	in	in				df					09	mn-c	
Mo'11	6ad	0717	ls	lb		3		df					19	a-ab-c	
Mo'11	7ab	0528	ss	dent		f		ff					08	mn-c	
Mo'11	6ad	0636	ls	dent		f		df					13	a-mn-c	podria ser Equus
Mo'11	6ae	0699	in	fb				df					22	a-mn-c	
Mo'11	6ac	0564	in	dent		f		df					12	c	fragment dent
Mo'11	6ad	0711	ls	dent		f		df					14	a-mn-c	fragment dent
Mo'11	9ad	0331	in	fb				df					16	a-mn-c	
Mo'11	7ac	0984	in	in				df					13	a-mn-c	
Mo'11	7ac	1052	in	dent		f		ff					05	mn-c	fragment dent
Mo'11	7ac	0983	ls	in				df					18	a-mn-c	
Mo'11	7ac	1068	ms	in				df					15	a-mn-c	
Mo'11	7ae	1102	ms	fb				df					18	mn-c	
Mo'11	7ag	0812	in	in				ff					20	a-c	
Mo'11	7ac	0977	ms	in				df					14	a-mn-c	
Mo'11	6ad	0709	ms	fb				df					17	a-mn-c	
Mo'11	6ad	0594	in	dent		f		df					11	a-c	
Mo'11	6ad	0710	in	in				df					18	a-c	
Mo'11	8af	1397	in	in				df					11	a-mn-c	
Mo'11	6ae	0689	in	dent		f		ff					15	a-mn-c	
Mo'11	7ac	1047	ss	dent		f		ff					07	mn-c	
Mo'11	7af	1015	ms	fb				df					20	a-c	
Mo'11	6ac	0534	ls	in				df					15	a-mn-c	
Mo'11	7ac	0946	ls	lb		3		df					24	a-mn-c	
Mo'11	7ac	0898	ls	lb		3		df					39	a-c	
Mo'11	8ac	0948	in	in				df		3			06	a-c	
Mo'11	8ag	0548	ms	fb				df					14	a-c	
Mo'11	6ad	0595	ms	lb		3		df					20	a-mn-c	
Mo'11	8af	1394	in	in				df					09	a-mn-c	
Mo'11	7ae	1064	in	in				df					10	a-mn-c	
Mo'11	6ae	0726	ms	in				df					16	a-c	
Mo'11	6ad	0849	in	dent		f		ff					06	c	
Mo'11	6ae	0680	ls	lb		3		df					20	a-c	
Mo'11	8ac	0955	in	in				df					20	a-mn-c	
Mo'11	6ac	0492	ls	in				df					20	a-c-w	
Mo'11	7ac	0861	ss	fb				mf					11	a-mn-c	

Anexo III

Mo'11	8af	1393	ms	in				df					14	a-mn-c	
Mo'11	8af	1392	ls	lb		3		df					24	a-c	
Mo'11	8ac	0954	ms	in				ff					17	a-mn-c	
Mo'11	7ac	0900	ms	fb				df					12	c	
Mo'11	7ac	0957	ms	fb				df					17	a-mn-c	
Mo'11	7ae	1144	in	in				mf					08	a-c	
Mo'11	7ab	0558	ms	fb				df					13	a-mn-c	
Mo'11	7ae	1070	ms	in				df					12	a-c	
Mo'11	7ag	0805	in	in				df					15	a-c-w	
Mo'11	6af	0717	ms	fb				df					12	a-c	
Mo'11	6ae	0675	in	in				df					11	a-mn-c	
Mo'11	7ac	0976	in	in				ff					09	mn-c	
Mo'11	7ab	0550	in	in				df					15	a-c	
Mo'11	7ac	0857	in	in				df					11	a-mn-c	
Mo'11	9ad	0319	ms	in				df		3			09	a-c	
Mo'11	7ac	1069	ms	fb				df					15	a-mn-c	
Mo'11	7ae	1035	in	in				df					06	c	
Mo'06	9ah	0659	ms	in				df					12	a-mn-c-p	
Mo'06	10ag	0989	ls	fb				df		3			11	a-c	
Mo'06	9ab	0100	in	in				df					21	a-c-w	
Mo'06	8ah	0546	ls	lb		3		df					20	a-mn-c	
Mo'06	8ad	0102	ls	lb		3		df					18	a-c-w	
Mo'06	8ac	0210	ms	fb				df					23	a-mn-c	
Mo'06	8ah	0704	ms	lb		3		df					19	a-mn-c-w	
Mo'06	8ac	0224	in	in				df					11	mn-c	
Mo'06	8ad	0131	ms	fb				df					16	a-mn-c	
Mo'06	8ac	0122	in	in				in		3			05	c	
Mo'06	8ah	0665	ms	fb				df					09	a-mn-c	
Mo'06	8af	0262	ms	fb				df					17	a-mn-c-w	
Mo'06	8ac	0235	ls	lb		3		df					20	a-mn-c	
Mo'06	8ac	0238	ms	fb				df					15	a-mn-c	
Mo'06	9ah	0611	in	in				df					07	a-mn-c	
Mo'06	8ah	0629	ls	lb		3		df					16	a-mn-c	
Mo'06	9ab	0120	in	in				in					19	c	
Mo'06	8ah	0790	in	in				df					12	a-c	
Mo'06	8ah	0594	in	in				df					10	mn-c	
Mo'06	8ac	0212	in	fb				in					08	mn-c	
Mo'06	8ah	0576	ls	fb				df					19	a-mn-c	
Mo'06	10ae	0396	ms	lb		3		df					13	a-c-w	
Mo'06	9ab	0123	in	in				df		3			07	a-c	
Mo'06	9ab	0118	in	in				df		3			10	a-c	
Mo'06	8ad	0209	ms	pb				df					17	c	
Mo'06	8ac	0255	in	in				df					15	a-c	
Mo'06	8ad	0208	ls	lb		3		df					20	a-mn-c	

Anexo III

Mo'06	8ae	0313	ls	lb		3		df					24	a-c-w	
Mo'06	8ad	0175	in	fb				df					16	a-c-w	
Mo'06	8ae	0310	in	in				in					11	mn-c	
Mo'06	9ab	0091	ms	fb				df					12	mn-c	
Mo'06	9ab	0088	in	in				df					12	a-c-w	
Mo'06	9ab	0073	ls	lb		3		df					23	a-c-w	
Mo'06	9ad	0100	in	in				df					18	a-c-w	
Mo'06	9ad	0099	ms	fb				df					11	mn-c	
Mo'06	8af	0344	in	in				df					08	mn-c	
Mo'06	9ah	0622	ms	fb				df					14	a-mn-c	
Mo'06	9ah	0563	ms	lb		3		df					11	a-c-w	
Mo'06	8ag	0173	in	in				df					08	a-mn-c	
Mo'06	8ae	0342	ls	lb		3		df					20	a-mn-c	
Mo'06	8ad	0096	ls	lb		3		df					14	a-c	
Mo'06	8ae	0334	in	in				df					16	a-mn-c	
Mo'06	8ad	0097	ls	lb		3		df					27	a-c-w	
Mo'06	9ah	0545	ms	in				in					11	a-mn-c	
Mo'06	9ac	0171	ms	fb				df					09	c	
Mo'06	8ae	0336	ms	fb				df					10	a-mn-c-w	
Mo'06	8ae	0335	ms	fb				df					12	a-mn-c	
Mo'06	8ae	0327	in	in				df					09	a-mn-c	
Mo'06	10ag	0922	ls	lb		3		df					32	a-c-w	
Mo'11	6ad	0704	ls	lb		3		ff					18	c	
Mo'11	6ae	0751	in	in				ff					17	c	
Mo'11	6ae	0687	in	lb		3		df					27	c	
Mo'11	6af	0693	in	in				df					21	c	
Mo'11	6ad	0665	in	dent		f		in					19	c	
Mo'11	6ad	0703	in	in				df					25	c	
Mo'11	8ah	0537	in	in				df					25	ab	problema quadre "A4"?
Mo'11	7ab	0619	in	in				df					15	c	
Mo'11	7ad	0970	in	ab				in					12	c	
Mo'11	6ad	0679	in	in				mf					15	w	
Mo'11	8ad	0919	in	in				df					16	c	
Mo'11	6ae	0662	in	in				df					14		
Mo'11	6ae	0732	in	in				in					16	c	
Mo'11	6ad	0780	in	in				mf					11	c-ab	
Mo'11	7ac	0959	in	lb		3		ff					15	c	
Mo'11	8af	1391	in	in				mf					16		
Mo'11	7ae	1072	in	in				in					11	mn	
Mo'11	6af	0692	in	in				in					20	c	amb fractures modernes
Mo'11	6ae	0645	in	ab				in					11	c	teixit esponjós
Mo'11	6ae	0627	in	in				df					14	c	
Mo'11	6ac	0494	in	ab				in					14	c	
Mo'11	7ae	1079	in	in				df					12		

Anexo III

Mo'11	7ad	0953	ls	in				ff					16			
Mo'11	6ad	0626	in	in				df					11			
Mo'11	6ac	0552	in	in				df					14	c	amb fractura moderna	
Mo'11	7ae	1056	in	fb				in					12	c		
Mo'11	6ae	0621	in	in				mf					13	c		
Mo'11	8ah	0552	in	in				df					15	a-c	el mateix: posa 8a4	
Mo'11	7ad	0967	in	ab				mf					13	c		
Mo'11	6ae	0669	in	in				in					16			
Mo'11	8ad	0916	ss	in				ff					10	c		
Mo'11	8ae	1083	in	in				ff					15	mn-a		
Mo'11	7ac	1117	in	in				ff					17	mn	fractura moderna	
Mo'11	6ad	0654	in	lb		3		in					16	mn-a	fractura moderna	
Mo'11	7ae	1073	in	in				df					15	a		
Mo'11	8af	0956	in	lb		3		in					16		fractura moderna	
Mo'11	6ae	0615	in	in				mf					14	c		
Mo'11	7ae	1080	in	in				df					12			
Mo'11	6ac	0524	in	in				ff					15			
Mo'11	7ad	0951	in	in				in					12	a		
Mo'11	7ad	0962	ls	in				ff					15	mn		
Mo'11	8af	1399	ls	in				df					22	c		
Mo'10	6ae	0513	ls	lb		3		ff	1lmn-1ip				58	a-ab-mn	fragment ascla. foto	
Mo'05	10af	0358	ms	dent		f		in					10	c		
Mo'08	8af	0831	ls	lb		3		ff					41	a-ab-w	separació capes longitud per meteorització	
Mo'10	6ad	0371	ls	dent		f		in					18	gn	rosegador	
Mo'09	9ab	0245	ms	fb		f		in		1tf			25	mn	solc profund foto	
Mo'10	7ah	0517	ls	lb		3		ff	1ip				55	a-ab-mn-w	4 frag longitud per meteorització	
Mo'10	7ah	0517	ls	lb		3		ff	cp				20	a-w	associat a l'anterior	
Mo'09	7ae	0566	ls	lb		3		ff	2ip				40	a-w	esquerdes longitudinals	
Mo'05	10ag	0478	ms	fb				in					18	a-ab-p		
Mo"08	8ag	0348	ms	ab		f		in					18	a-w	4 fragments que no remunten	
Mo'11	6ad	0884	ls	lb		3		ff	1ep				75	a-ab-p-w		
Mo'09	9ab	0243	ls	lb		3		in					43	a-ab-w	molt erosionat	
Mo'10	6ad	0362	ms	lb		3		in					20	a-ab-mn		
Mo'08	8ad	0369	ms	ab		f		in					22	a-ab-p		
Mo'04	10ag	0422	ls	fb		f		in					36	a-ab-w	sembla fragment crani	
Mo'08	8af	0830	ms	lb		3		ff	1ip				51	a-mn-w		
Mo'08	7ag	0330	ms	lb		3		in					30	w-c		
Mo'10	7af	0908	ls	lb		3		ff					44	a-p-w	molt rodat	
Mo'02	8ag	0050	ls	dent		f		in					18	a-ab	frag arrel	
Mo'09	7ah	0411	ls	in				in					29	a-ab-c		
Mo'10	6ae	0580	ls	lb		3		ff					37	a		
Mo'15	6ad	1439	ls	dent		f		in					22		molariforme	
Mo'00	6af	0359	ms	lb		3		ff	1ip				75	a-ab		

Anexo III

Mo'10	7af	0952	ls	lb		3		ff		3tf				41	a-mn-w-p	tall foto
Mo'10	7af	0945	ms	dent		f		in						34		fragment arrel
Mo'09	8ad	0515	ls	lb		3		ff		3of				45	a-ab-w	3 tails. alterada per arrels. foto
Mo'07	8ad	0222	ms	lb		3		df						45	a-c-w	molts frags per meteorització
Mo'08	8ac	0456	in	dent		f		in						12	c	
Mo'10	7ag	0768	ls	ab		f		in						23	a-ab	
Mo'10	6ac	0422	ms	lb		3		df						27	a-mn	
Mo'07	8ad	0223	ms	lb		3		ff						28	a-c-w	
Mo'05	8ah	0228	ls	dent		f		in			5			18	a	
Mo'07	8ad	0224	ms	lb		3		df						29	ab-c-w	fractura per meteorització
Mo'10	8ad	0760	ls	dent		f		in						16	mn	
Mo'10	6af	0597	ms	lb		3		ff	cp					12	w	
Mo'13	6ag	0431	ss	lb		3		df						09	c	
Mo'10	7ae	0889	ms	fb				in						15	a-p	
Mo'06	8ae	0180	ms	dent		f		in						10		
Mo'09	8ad	0681	ms	lb		3		ff						33	a-ab	
Mo'06	9ad	0084	ls	dent		f		in						18		
Mo'07	8af	0612	ms	dent		f		in						10		
Mo'11	7ae	1055	ms	lb		3		df						29	mn-a-w	
Mo'11	6ad	0831	ls	lb		3		df						31	mn-w	
Mo'11	6ag	0213	ms	ab				in						16	c	
Mo'11	8ag	0545	ss	lb		3		ff						24	c-a	
Mo'11	6ac	0544	ss	lb		3		df						26	c-a	
Mo'11	6ac	0800	ss	fb				df						14	mn-c-a	
Mo'11	7ad	0469	ss	lb		3		df						15	mn-c	
Mo'11	7ae	1103	ms	dent		f		in						12	c	
Mo'11	6ad	0755	ss	lb		3		ff						16	c-a	

Anexo III

- Experimental

Ref	Nº coor	Taxa	Anatòm	Costat	Part	Edat	Fract	Fract ant	CM	L màx	Observacions
p6	1	sus	femur	dret	1	sa	ff	6 ip	1tf	122	1 ip en la cara cranial 1 ip en la cara lateral 4 ip molt seguits en la cara caudal a conseqüència d'un percusor amb crestes marcades esquerda longitudinal a la cara cranial al llarg de la diafisis.
p6	2	sus	femur	dret	5	sa	ff	2 ip 2 lcn 2 ep		84	2 ip cara caudal i lateral. Esquerda longitudinal en cara cranial
p6	3	sus	femur	dret	3	sa	ff	lc		20	
p6	4	sus	femur	dret	3	sa	ff	lc		17	
p6	5	sus	femur	dret	3	sa	ff	cp		15	
p6	6	sus	femur	dret	3	sa	ff	cp		13	
p6	7	sus	femur	dret	3	sa	ff			18	
p6	8	sus	femur	dret	3	sa	ff	lc		14	
p6	9	sus	femur	dret	3	sa	ff	cp		16	
p6	10	sus	femur	dret	3	sa	ff			09	
p6	11	sus	femur	dret	3	sa	ff	cp		14	
p6	12	sus	femur	dret	3	sa	ff			13	
p5	13	sus	umer	esquerra	1	sa	ff	3 ip 3 ep 1 epe		109	1 ip cara medial 2 ip cara lateral
p5	14	sus	umer	esquerra	5	sa	ff	1 ip		91	1 ip en cara lateral
p5	15	sus	umer	esquerra	3	sa	ff	1 ep 1 ip		25	
p5	16	sus	umer	esquerra	3	sa	ff			14	
p5	17	sus	umer	esquerra	3	sa	ff			09	
p5	18	sus	umer	esquerra	3	sa	in			09	
p5	19	sus	umer	esquerra	3	sa	in			07	
p4	20	sus	ulna	esquerra	1	sa	ff	2 ip		128	1 ip cara lateral 1 ip cara cranial
p4	21	sus	radi	esquerra	1	sa	ff	2 ip		63	1 ip cara lateral 1 ip cara cranial
p4	22	sus	ulna	esquerra	5	sa	ff			83	en connexió amb 23
p4	23	sus	radi	esquerra	5	sa	ff	1 ep 2 ip		75	2 ip cara lateral 1 ep cara cranial en connexió amb 22
p4	24	sus	radi	esquerra	3	sa	ff	2 ip		80	2 ip en cara medial
p4	25	sus	radi	esquerra	3	sa	ff			50	
p4	26	sus	carpat scaphoide	esquerra	c	sa				25	scaphoide en connexió anatomica amb 27 i 28

Anexo III

p4	27	sus	carpat lunatum	esquerda	c	sa			26	lunatum
p4	28	sus	carpat piramidal	esquerda	c	sa			20	piramidal
p4	29	sus	radi ulna	esquerda	3	sa	ff	lc 1 ep	24	
p4	30	sus	radi ulna	esquerda	3	sa	ff	lc 1 ep	21	
p4	31	sus	radi ulna	esquerda	3	sa	ff		25	
p4	32	sus	radi ulna	esquerda	3	sa	ff	1 cp	22	
p4	33	sus	radi ulna	esquerda	3	sa	ff	lc	19	
p4	34	sus	radi ulna	esquerda	3	sa	ff		13	
p4	35	sus	radi ulna	esquerda	3	sa	ff		18	
p4	36	sus	radi ulna	esquerda	3	sa	ff		18	
p4	37	sus	radi ulna	esquerda	3	sa	ff	lc	15	
p4	38	sus	radi ulna	esquerda	3	sa	ff	lc	14	
p4	39	sus	radi ulna	esquerda	3	sa	in		16	
p4	40	sus	radi ulna	esquerda	3	sa	ff		10	
p4	41	sus	radi ulna	esquerda	3	sa	ff		08	
p4	42	sus	radi ulna	esquerda	3	sa	ff		09	
p4	43	sus	radi ulna	esquerda	3	sa	in		07	
p4	44	sus	radi ulna	esquerda	3	sa	ff		09	
p4	45	sus	radi ulna	esquerda	3	sa	ff	lc	10	
p3	46	bos	femur	dret	1 2 3	nf	ff	2 ip 1 lcn 1 epe	130	3 esquerdes longitudinals, 1 cara cranial, 2 cara caudal ip cara caudal lcn cranial-lateral epe medial
p3	47	bos	femur	dret	1	nf			31	cap del femur aïllat
p3	48	bos	femur	dret	1	nf			60	gran trocanter aïllat
p3	49	bos	femur	dret	3 4 5	nf	ff	4 ip 1 ep	157	1 ip cara cranial 1 ip cara caudal 1 ip cara medial 1 ip cara lateral esquerda en cara caudal i cranial
p3	50	bos	femur	dret	5	nf			131	epifisi distal aïllada

Anexo III

p3	51	bos	femur	dret	3	sa	ff	lc 1 ip		56	1 ip
p3	52	bos	femur	dret	3	sa	ff	cp		41	
p3	53	bos	femur	dret	3	sa	ff	cp		42	
p3	54	bos	femur	dret	3	sa	ff			34	
p3	55	bos	femur	dret	3	sa	ff			42	
p3	56	bos	femur	dret	3	sa	ff	lc		29	
p3	57	bos	femur	dret	3	sa	ff			31	
p3	58	bos	femur	dret	3	sa	ff	cp		30	
p3	59	bos	femur	dret	3	sa	ff	cp		32	
p3	60	bos	femur	dret	3	sa	ff			24	
p3	61	bos	femur	dret	3	sa	ff	lc ip		20	
p3	62	bos	femur	dret	3	sa	ff			23	
p3	63	bos	femur	dret	3	sa	ff			14	
p3	64	bos	femur	dret	3	sa	ff	cp		22	
p3	65	bos	femur	dret	3	sa	ff	cp		18	
p3	66	bos	femur	dret	3	sa	ff			18	
p3	67	bos	femur	dret	3	sa	ff			20	
p3	68	bos	femur	dret	3	sa	ff			17	
p3	69	bos	femur	dret	3	sa	ff			20	
p3	70	bos	femur	dret	3	sa	ff	lc		14	
p3	71	bos	femur	dret	3	sa	ff	lc ip		22	
p3	72	bos	femur	dret	3	sa	ff	lc ip		21	
p3	73	bos	femur	dret	3	sa	ff	lc		19	
p3	74	bos	femur	dret	3	sa	ff			25	
p3	75	bos	femur	dret	3	sa	ff			18	
p3	76	bos	femur	dret	3	sa	ff	cp		15	
p3	77	bos	femur	dret	3	sa	ff	lc		18	
p3	78	bos	femur	dret	3	sa	ff			11	
p3	79	bos	femur	dret	3	sa	ff			14	
p3	80	bos	femur	dret	3	sa	ff	cp		18	
p3	81	bos	femur	dret	3	sa	ff			12	
p3	82	bos	femur	dret	3	sa	ff			12	
p3	83	bos	femur	dret	3	sa	ff			13	
p3	84	bos	femur	dret	3	sa	ff			14	
p3	85	bos	femur	dret	3	sa	ff			12	
p3	86	bos	femur	dret	3	sa	ff			12	
p3	87	bos	femur	dret	3	sa	ff	cp		13	
p3	88	bos	femur	dret	3	sa	ff	lc		13	
p3	89	bos	femur	dret	3	sa	ff			11	
p3	90	bos	femur	dret	3	sa	ff			11	
p3	91	bos	femur	dret	3	sa	ff	cp		14	

Anexo III

p3	92	bos	femur	dret	3	sa	ff		09	
p3	93	bos	femur	dret	3	sa	ff		14	
p3	94	bos	femur	dret	3	sa	ff		10	
p3	95	bos	femur	dret	3	sa	ff		11	
p3	96	bos	femur	dret	3	sa	ff		15	
p3	97	bos	femur	dret	3	sa	ff		11	
p3	98	bos	femur	dret	3	sa	ff		11	
p3	99	bos	femur	dret	3	sa	ff	lc	10	
p3	100	bos	femur	dret	3	sa	ff	cp	14	
p3	101	bos	femur	dret	3	sa	ff		13	
p3	102	bos	femur	dret	3	sa	ff	lc	12	
p3	103	bos	femur	dret	3	sa	ff	cp	11	
p3	104	bos	femur	dret	3	sa	ff		10	
p3	105	bos	femur	dret	3	sa	ff	lc	08	
p3	106	bos	femur	dret	3	sa	ff		12	
p3	107	bos	femur	dret	3	sa	ff		14	
p3	108	bos	femur	dret	3	sa	ff		15	
p3	109	bos	femur	dret	3	sa	ff	lc	11	
p3	110	bos	femur	dret	3	sa	ff		14	
p3	111	bos	femur	dret	3	sa	ff		11	
p3	112	bos	femur	dret	3	sa	ff	lc	17	
p3	113	bos	femur	dret	3	sa	ff		09	
p3	114	bos	femur	dret	3	sa	ff		08	
p3	115	bos	femur	dret	3	sa	ff		10	
p3	116	bos	femur	dret	3	sa	ff		12	
p3	117	bos	femur	dret	3	sa	ff		12	
p3	118	bos	femur	dret	3	sa	ff		11	
p3	119	bos	femur	dret	3	sa	ff		10	
p3	120	bos	femur	dret	3	sa	ff		11	
p3	121	bos	femur	dret	3	sa	ff		09	
p1	122	sus	femur	esquerda	1 2 3	sa	ff	ip	133	esta fusionant-se ip cara lateral esquerda longitudinal en cara cranial i lateral
p1	123	sus	femur	esquerda	5	sa	ff		57	
p1	124	sus	femur	esquerda	3	sa	ff	ip	43	esquerda longitudinal desde l'impacte ip cara cranial ip cara cranial
p1	125	sus	femur	esquerda	3	sa	ff	ip	24	ip cara cranial
p1	126	sus	femur	esquerda	3	sa	ff		44	
p1	127	sus	femur	esquerda	3	sa	ff	lc	31	
p9	128	sus	tibia	dret	4 5	nf	ff	2 ip	74	1 ip cara cranial 1 ip cara caudal
p9	129	sus	tibia	dret	4 5	nf	ff	1 ep 1 ip	51	1 ep cara cranial 1 ip cara cranial
p9	130	sus	tibia	dret	5	nf			41	epifisi distal aïllada

Anexo III

p9	131	sus	tibia	dret	3	nf	ff	1 ep 4 ip		82	ep cara cranial 3 ip cara cranial 1 ip cara caudal esquerda longitudinal cara medial
p9	132	sus	tibia	dret	3	nf	ff	3 ip		40	3 ip cara cranial
p9	133	sus	tibia	dret	1	nf				58	epifisi proximal aillada
p9	134	sus	tibia	dret	2 1	nf	ff	2 ip		40	1 ip cara media 1 ip cara cranial
p9	135	sus	tibia	dret	2 1	nf	ff			30	
p9	136	sus	fibula	dret	1	nf				25	epifisi proximal aillada
p9	137	sus	fibula	dret	5	nf				27	epifisi distal aillada
p9	138	sus	fibula	dret	2 3	nf	ff	3 ip		70	1 ip cara lateral 2 ip cara caudal
p9	139	sus	fibula	dret	4	nf	ff	2 ip 1 ep		46	1 ip cara caudal 1 ip cara cranial 1 ep cara lateral
p9	140	sus	fibula tibia	dret	3	nf	ff	1 ip ep		44	fragment
p9	141	sus	fibula tibia	dret	3	nf	ff	lc		34	
p9	142	sus	fibula tibia	dret	3	nf	ff	lc		29	esquerda longitudinal
p9	143	sus	fibula tibia	dret	3	nf	ff	1 ep 1 ip		26	fragment
p9	144	sus	fibula tibia	dret	3	nf	ff			33	
p9	145	sus	fibula tibia	dret	3	nf	ff	1 ip		30	
p9	146	sus	fibula tibia	dret	4 5	nf	ff	1 ip		23	
p9	147	sus	fibula tibia	dret	4	nf	ff			16	
p9	148	sus	fibula tibia	dret	4	nf	ff			15	
p9	149	sus	fibula tibia	dret	3	nf	ff			16	
p9	150	sus	fibula tibia	dret	5	nf	ff			14	
p9	151	sus	fibula tibia	dret	3	nf	ff			18	
p9	152	sus	fibula tibia	dret	3	nf	ff			16	
p9	153	sus	fibula tibia	dret	3	nf	ff	lc		15	
p9	154	sus	fibula tibia	dret	3	nf	ff	lc		13	

Anexo III

p9	155	sus	fibula tibia	dret	3	nf	df	lc		12	
p9	156	sus	fibula tibia	dret	3	nf	ff	ip		16	
p9	157	sus	fibula tibia	dret	3	nf	ff	ip		17	
p9	158	sus	fibula tibia	dret	3	nf	ff	lc		23	
p9	159	sus	fibula tibia	dret	3	nf	ff	lc		18	
p9	160	sus	fibula tibia	dret	3	nf	ff			20	
p9	161	sus	fibula tibia	dret	3	nf	in			16	
p9	162	sus	fibula tibia	dret	3	nf	ff	cp		13	
p9	163	sus	fibula tibia	dret	3	nf	ff			11	
p9	164	sus	fibula tibia	dret	3	nf	ff			11	
p7	165	sus	pelvis	esquerra	5	nf	ff			46	
p7	166	sus	pelvis	esquerra	4	nf	ff			31	
p7	167	sus	pelvis	esquerra	4	nf	ff	4 ip		60	
p7	168	sus	pelvis	esquerra	4	nf	ff	2 ip		44	
p7	169	sus	pelvis	esquerra	3	nf	ff			33	fragment de acetabul
p7	170	sus	pelvis	esquerra	3	nf	ff			28	fragment de acetabul
p7	171	sus	pelvis	esquerra	3	nf	ff	1 ip		50	
p7	172	sus	pelvis	esquerra	3	nf	ff	1 ip		40	
p7	173	sus	pelvis	esquerra	2 1	nf	ff			46	
p7	174	sus	pelvis	esquerra	in	nf	ff	1 ip		42	
p7	175	sus	pelvis	esquerra	1	nf	ff	1 ip 2 ep		40	
p7	176	sus	pelvis	esquerra	1	nf	ff			37	esquerda longitudinal
p7	177	sus	pelvis	esquerra	1	nf	ff	2 ip		45	
p7	178	sus	pelvis	esquerra	2 1	nf	ff	1 ip 4 ep		56	esquerda profunda que divideix la peça en 2
p7	179	sus	pelvis	esquerra	in	nf	ff	1 ip		44	
p7	180	sus	pelvis	esquerra	in	nf	ff			35	
p7	181	sus	pelvis	esquerra	1	nf	ff	4 ip		65	
p7	182	sus	pelvis	esquerra	in	nf	ff	3 ep 1 ip		45	
p7	183	sus	pelvis	esquerra	in	nf	ff	2 ip		31	
p7	184	sus	pelvis	esquerra	in	nf	ff	1 ip		33	
p7	185	sus	pelvis	esquerra	in	nf	ff	2 ip		40	
p7	186	sus	pelvis	esquerra	in	nf	ff			30	
p7	187	sus	pelvis	esquerra	in	nf	ff	lc		28	

Anexo III

p7	188	sus	pelvis	esquerda	in	nf	ff		42	
p7	189	sus	pelvis	esquerda	in	nf	ff	2 ip	54	
p7	190	sus	pelvis	esquerda	in	nf	ff		25	
p7	191	sus	pelvis	esquerda	in	nf	ff	1 ip 1 ep	28	
p7	192	sus	pelvis	esquerda	in	nf	ff	1 ip	27	
p7	193	sus	pelvis	esquerda	in	nf	ff		22	
p7	194	sus	pelvis	esquerda	in	nf	ff	lc	28	
p7	195	sus	pelvis	esquerda	in	nf	ff		16	
p7	196	sus	pelvis	esquerda	in	nf	ff		19	
p7	197	sus	pelvis	esquerda	in	nf	ff	1 ip	24	
p7	198	sus	pelvis	esquerda	in	nf	ff		39	
p7	199	sus	pelvis	esquerda	in	nf	ff	lc	20	
p7	200	sus	pelvis	esquerda	in	nf	ff	lc	22	
p7	201	sus	pelvis	esquerda	in	nf	ff		22	
p7	202	sus	pelvis	esquerda	in	nf	ff		33	
p7	203	sus	pelvis	esquerda	in	nf	ff	1 ip	18	
p7	204	sus	pelvis	esquerda	in	nf	ff		24	
p7	205	sus	pelvis	esquerda	in	nf	ff	lc	16	
p7	206	sus	pelvis	esquerda	in	nf	ff	lc	19	
p7	207	sus	pelvis	esquerda	in	nf	ff	ip	18	
p7	208	sus	pelvis	esquerda	in	nf	ff		21	
p7	209	sus	pelvis	esquerda	in	nf	in		12	fragment medular
p7	210	sus	pelvis	esquerda	in	nf	in		19	
p7	211	sus	pelvis	esquerda	in	nf	in		23	fragment medular
p7	212	sus	pelvis	esquerda	in	nf	ff	1 ip lc	20	
p7	213	sus	pelvis	esquerda	in	nf	in		19	
p7	214	sus	pelvis	esquerda	in	nf	in		19	
p7	215	sus	pelvis	esquerda	in	nf	in		14	
p7	216	sus	pelvis	esquerda	in	nf	ff	cp	20	
p7	217	sus	pelvis	esquerda	in	nf	ff	2 ip	20	
p7	218	sus	pelvis	esquerda	in	nf	in		14	
p7	219	sus	pelvis	esquerda	in	nf	in		15	fragment dmedular
p7	220	sus	pelvis	esquerda	in	nf	ff	1 ip	16	
p7	221	sus	pelvis	esquerda	in	nf	ff		17	
p7	222	sus	pelvis	esquerda	in	nf	ff	1 ip 1 cp 1 ep	13	
p7	223	sus	pelvis	esquerda	in	nf	ff	lc	15	
p7	224	sus	pelvis	esquerda	in	nf	ff		10	
p7	225	sus	pelvis	esquerda	in	nf	in		17	fragment medular
p7	226	sus	pelvis	esquerda	in	nf	in		10	
p7	227	sus	pelvis	esquerda	in	nf	ff	1 ep 1 ip	16	

Anexo III

p7	228	sus	pelvis	esquerda	in	nf	in		13	
p7	229	sus	pelvis	esquerda	in	nf	in		14	
p7	230	sus	pelvis	esquerda	in	nf	ff	lc	11	
p7	231	sus	pelvis	esquerda	in	nf	ff	lc	16	
p7	232	sus	pelvis	esquerda	in	nf	in		11	
p7	233	sus	pelvis	esquerda	in	nf	ff	lc	14	
p7	234	sus	pelvis	esquerda	in	nf	ff	2 ip	12	
p11	235	sus	ulna	esquerda	1 2 3	nf	ff	5 ip	93	varies esquerdes laterals 2 ip media 1 ip cranial 1 ip lateral 1 ip caudal
p11	236	sus	ulna	esquerda	1	nf			35	epifisi proximal aïllada
p11	237	sus	ulna	esquerda	3	nf	ff	3 ip 2 ep	35	
p11	238	sus	ulna	esquerda	3	nf	ff	1 ip	38	
p11	239	sus	ulna	esquerda	3	nf	ff	3 ip	51	
p11	240	sus	ulna	esquerda	3	nf	mf	1 ip	15	
p11	241	sus	carpat scaphoide	esquerda	c				25	en connexió amb 242
p11	242	sus	carpat lunatum	esquerda	c				26	en connexió amb 241
p11	243	sus	ulna	esquerda	5	nf			32	epifisi distal aïllada
p11	244	sus	radi	esquerda	1 2	sa	ff	5 ip	45	2 ip caudal 2 ip cranial 1 ip medial
p11	245	sus	radi	esquerda	3 4	nf	ff	3 ip	75	3 esquerdes longitudinals
p11	246	sus	radi	esquerda	4	nf	ff	1 ip	37	
p11	247	sus	radi	esquerda	5	nf			36	epifisi distal aïllada
p11	248	sus	radi ulna	esquerda	4	nf	ff	1 ip	32	esquerra longitudinal
p11	249	sus	radi ulna	esquerda	3	sa	ff	1 ip	37	
p11	250	sus	radi ulna	esquerda	4	nf			22	
p11	251	sus	radi ulna	esquerda	3	sa	ff	2 ip	39	
p11	252	sus	radi ulna	esquerda	3	sa	ff	lc	35	
p11	253	sus	radi ulna	esquerda	3	sa	ff	3 ip 1 ep	40	
p11	254	sus	radi ulna	esquerda	3	sa	ff	2 ip	37	
p11	255	sus	radi ulna	esquerda	3	sa	ff	1 ip	30	
p11	256	sus	radi ulna	esquerda	in	sa	ff	2 ip 1 ep	40	

Anexo III

p11	257	sus	radi ulna	esquerda	3	sa	ff	lc		27	petita esquerda transversal
p11	258	sus	radi ulna	esquerda	3	sa	ff	lc		33	
p11	259	sus	radi ulna	esquerda	in	sa	ff			23	
p11	260	sus	radi ulna	esquerda	3	sa	ff	2 ip lc		20	
p11	261	sus	radi ulna	esquerda	3	sa	ff	lc 1 ip		25	
p11	262	sus	radi ulna	esquerda	3	sa	ff	2 ip lc		21	
p11	263	sus	radi ulna	esquerda	in	sa	in			16	fragment medular
p11	264	sus	radi ulna	esquerda	in	sa	in			15	fragment medular
p11	265	sus	radi ulna	esquerda	in	sa	in			13	fragment medular
p11	266	sus	radi ulna	esquerda	in	sa	ff			19	
p11	267	sus	radi ulna	esquerda	3	sa	in	1 ip		24	
p11	268	sus	radi ulna	esquerda	3	sa	ff	lc		17	
p11	269	sus	radi ulna	esquerda	3	sa	ff			25	
p11	270	sus	radi ulna	esquerda	3	sa	ff	lc		23	
p11	271	sus	radi ulna	esquerda	in	sa	in			12	fragment medular
p11	272	sus	radi ulna	esquerda	3	sa	ff	1 ip		16	
p11	273	sus	radi ulna	esquerda	in	sa				15	posiblement part d'epifisi distal de radi
p11	274	sus	radi ulna	esquerda	3	sa	ff	1 ip		19	
p11	275	sus	radi ulna	esquerda	3	sa	ff	2 ip		26	varies esquerdes
p11	276	sus	radi ulna	esquerda	in	sa	in			13	
p11	277	sus	radi ulna	esquerda	4	nf	ff	1 ip		16	
p11	278	sus	radi ulna	esquerda	4	nf	ff			18	
p11	279	sus	radi ulna	esquerda	3	sa				17	fragment medular
p11	280	sus	radi ulna	esquerda	3	sa	ff	lc		15	

Anexo III

p11	281	sus	radi ulna	esquerra	3	sa	ff	1 ip lc		15	
p11	282	sus	radi ulna	esquerra	in	sa				12	fragment medular
p11	283	sus	radi ulna	esquerra	3	sa	ff	lc		20	
p11	284	sus	radi ulna	esquerra	3	sa	ff	lc		12	
p11	285	sus	radi ulna	esquerra	in	sa	in			16	
p11	286	sus	radi ulna	esquerra	3	sa	ff	lc		15	
p11	287	sus	radi ulna	esquerra	3	sa	ff	2 ip		17	
p11	288	sus	radi ulna	esquerra	3	sa	ff	1 ip lc		11	
p11	289	sus	carpat piramidal	esquerra	c					22	
p11	290	sus	carpat piramidal	esquerra	c					26	
p11	291	sus	carpat pisiforme	esquerra	c					25	
p11	292	sus	radi	esquerra	5	nf				27	
p11	293	sus	radi ulna	esquerra	in	sa				18	
p11	294	sus	radi ulna	esquerra	in	sa	in			21	más 79 astillas
p2	295	bos	radi	esquerra	1 2 3	sa	ff	6 ip	6 ls	160	3 ip cranial 3 ip caudal 2 esquerdes longitudinal per la meitat
p2	296	bos	radi	esquerra	4 5	sa	ff	1 ep 8 ip	2 ls	113	te en connexió anatomicà la epifisi distal de la ulna 3 ip cranial 4 ip caudal 1 ip medial 1 esquirla parasita caudal
p2	297	bos	ulna	esquerra	2 3	sa	ff	6 ip	3 ls	165	1 ip cara cranial 4 ip lateral 1 ip mediañ
p2	298	bos	ulna	esquerra	4	nf	ff	2 ip		98	2 ip lateral
p2	299	bos	ulna	esquerra	1 2	sa	ff	8 ip		92	5 ip lateral 2 ip medial 1 ip caudal
p2	300	bos	radi	esquerra	3	sa	ff	lc		40	
p2	301	bos	radi	esquerra	3	sa	ff	1 ip lc		76	1 ip cranial
p2	302	bos	radi	esquerra	3	sa	ff	lc 1 ip		36	1 ip caudal

Anexo III

p2	303	bos	radi	esquerra	3	sa	ff	lc 1 ip		42	
p2	304	bos	radi	esquerra	3	sa	ff	1 ip 1 ep		21	
p2	305	bos	radi	esquerra	3	sa	ff	2 ip		26	
p2	306	bos	radi	esquerra	3	sa	ff	2 ip cp		23	
p2	307	bos	radi	esquerra	3	sa	ff	lc		20	
p2	308	bos	radi	esquerra	3	sa	ff			11	
p2	309	bos	radi ulna	esquerra	in	sa	ff	lc		20	
p2	310	bos	radi ulna	esquerra	in	sa	ff	lc		24	
p13	311	bos	ulna	esquerra	1	nf				60	epifisi proximal aïllada
p13	312	bos	ulna	esquerra	2	nf	ff	12 ip		93	2 ip cranial 6 ip lateral 3 ip caudal 1 ip medial
p13	313	bos	ulna	esquerra	3	nf	ff	4 ip	1 tf	94	
p13	314	bos	ulna	esquerra	3 4	nf	ff	1 ip		127	
p13	315	bos	radi	esquerra	1 2	sa	ff	8 ip		115	1 ip lateral 7 ip caudal
p13	316	bos	radi	esquerra	1 2	sa	ff	9 ip		91	4 ip cranial 2 ip medial 3 ip caudal
p13	317	bos	radi	esquerra	1 2	sa	ff	2 ip		49	2 ip caudal
p13	318	bos	radi	esquerra	2	sa	ff	1 ip		31	1 ip caudal
p13	319	bos	radi	esquerra	4 5	sa	ff	7 ip	5 tm	122	3 ip cranial 2 ip medial 2 ip caudal te en connexió una epifisi distal d'ulna aïllada
p13	320	bos	radi	esquerra	3	sa	ff	4 ip lc(-)		79	4 ip cara medial laска cortical negativa en cara medial
p13	321	bos	radi	esquerra	3	sa	ff	2 ip lc		42	2 ip caudal
p13	322	bos	radi ulna	esquerra	3	sa	ff	lc 2 ip		76	
p13	323	bos	radi ulna	esquerra	in	sa	ff	3 ip		44	
p13	324	bos	radi ulna	esquerra	3	sa	ff	lc 1 ip		43	
p13	325	bos	radi ulna	esquerra	3	sa	ff	1 ip		51	
p13	326	bos	radi ulna	esquerra	3	sa	ff	cp 2 ip		53	
p13	327	bos	radi ulna	esquerra	3	sa	ff	1 ip		52	

Anexo III

p13	328	bos	radi ulna	esquerda	3	sa	ff	2 ip 1 ep		44	
p13	329	bos	radi ulna	esquerda	3	sa	ff	1 ip		48	
p13	330	bos	radi ulna	esquerda	3	sa	ff	1 ep		45	
p13	331	bos	radi ulna	esquerda	3	sa	ff	3 ip		40	
p13	332	bos	radi ulna	esquerda	3	sa	ff	3 ip		46	
p13	333	bos	radi ulna	esquerda	3	sa	ff	1 ip		46	
p13	334	bos	radi ulna	esquerda	3	sa	ff	3 ip		44	
p13	335	bos	radi ulna	esquerda	3	sa	ff	4 ip 1 ep		27	
p13	336	bos	radi ulna	esquerda	3	sa	ff	1 ip		29	
p13	337	bos	radi ulna	esquerda	3	sa	ff	lc 1 ip		23	
p13	338	bos	radi ulna	esquerda	3	sa	ff	1 ip		30	
p13	339	bos	radi ulna	esquerda	3	sa	ff	1 ip 1 ep		34	
p13	340	bos	radi ulna	esquerda	3	sa	ff	1 ip		26	
p13	341	bos	radi ulna	esquerda	3	sa	ff	lc 2 ip		29	
p13	342	bos	radi ulna	esquerda	3	sa	ff	3 ip		27	
p13	343	bos	radi ulna	esquerda	in	sa	in			24	fragment d'epifisi
p13	344	bos	radi ulna	esquerda	3	sa	ff	cp		32	
p13	345	bos	radi ulna	esquerda	3	sa	ff	lc 3 ip		33	
p13	346	bos	radi ulna	esquerda	in	sa	in			18	fragment d'epifisi
p13	347	bos	radi ulna	esquerda	3	sa	ff	3 ip		22	
p13	348	bos	radi ulna	esquerda	in	sa	ff			25	
p13	349	bos	radi ulna	esquerda	3	sa	ff	lc		24	
p13	350	bos	radi ulna	esquerda	3	sa	ff	cp		18	
p13	351	bos	radi ulna	esquerda	3	sa	ff	1 ip cp		27	

Anexo III

p13	352	bos	radi ulna	esquerda	3	sa	ff	1 ep		21	
p13	353	bos	radi ulna	esquerda	3	sa	ff	cp 1 ip		30	
p13	354	bos	radi ulna	esquerda	3	sa	ff	lc 1 ip		21	
p13	355	bos	radi ulna	esquerda	3	sa	ff			23	
p13	356	bos	radi ulna	esquerda	3	sa	ff	2 ip		18	
p13	357	bos	radi ulna	esquerda	3	sa	ff	1 ip		25	
p13	358	bos	radi ulna	esquerda	3	sa	ff	2 ip		20	
p13	359	bos	radi ulna	esquerda	3	sa	ff	2 ep 1 ip		21	
p13	360	bos	radi ulna	esquerda	3	sa	ff	lc		19	
p13	361	bos	radi ulna	esquerda	3	sa	ff	cp		20	
p13	362	bos	radi ulna	esquerda	3	sa	ff	1 ep		21	
p13	363	bos	radi ulna	esquerda	3	sa	ff			20	
p13	364	bos	radi ulna	esquerda	3	sa	ff	2 ip cp		16	
p13	365	bos	radi ulna	esquerda	3	sa	ff	1 ip		21	
p13	366	bos	radi ulna	esquerda	3	sa	ff			22	
p13	367	bos	radi ulna	esquerda	3	sa	ff			19	
p13	368	bos	radi ulna	esquerda	3	sa	ff	cp		19	
p13	369	bos	radi ulna	esquerda	3	sa	ff	1 ip		21	
p13	370	bos	radi ulna	esquerda	3	sa	ff			18	
p13	371	bos	radi ulna	esquerda	3	sa	ff	1 ip		16	
p13	372	bos	radi ulna	esquerda	3	sa	ff	lc		17	
p13	373	bos	radi ulna	esquerda	3	sa	ff	1 ip 1 ep		15	
p13	374	bos	radi ulna	esquerda	3	sa	ff	1 ip		21	
p13	375	bos	radi ulna	esquerda	3	sa	ff	2 ip		17	

Anexo III

p13	376	bos	radi ulna	esquerda	3	sa	ff	1 ip		15	
p13	377	bos	radi ulna	esquerda	3	sa	ff	lc		19	
p13	378	bos	radi ulna	esquerda	3	sa	ff	1 ep		11	
p13	379	bos	radi ulna	esquerda	3	sa	ff	lc		16	
p13	380	bos	radi ulna	esquerda	3	sa	in			20	fragment medular
p13	381	bos	radi ulna	esquerda	3	sa	ff	lc 1 ip		16	
p13	382	bos	radi ulna	esquerda	3	sa	ff	lc		17	
p13	383	bos	radi ulna	esquerda	in	sa	in			12	
p13	384	bos	radi ulna	esquerda	3	sa	ff			19	
p13	385	bos	radi ulna	esquerda	3	sa	ff	lc		19	
p13	386	bos	radi ulna	esquerda	3	sa	ff	1 ip		13	
p13	387	bos	radi ulna	esquerda	3	sa	ff	lc		20	
p13	388	bos	radi ulna	esquerda	3	sa	ff	cp		12	
p13	389	bos	radi ulna	esquerda	3	sa	ff	1 ip		15	
p13	390	bos	radi ulna	esquerda	3	sa	ff			14	
p13	391	bos	radi ulna	esquerda	3	sa	ff	1 ip 1 ep		13	
p13	392	bos	radi ulna	esquerda	3	sa	ff			13	
p13	393	bos	radi ulna	esquerda	3	sa	ff			12	
p13	394	bos	radi ulna	esquerda	3	sa	ff	1 ip		15	
p13	395	bos	radi ulna	esquerda	3	sa	ff	1 ip		15	
p13	396	bos	radi ulna	esquerda	3	sa	ff	1 ip 1 ep		16	
p13	397	bos	radi ulna	esquerda	3	sa	ff	cp		14	
p13	398	bos	radi ulna	esquerda	3	sa	ff			12	
p13	399	bos	radi ulna	esquerda	3	sa	ff			14	

Anexo III

p13	400	bos	radi ulna	esquerda	3	sa	ff	cp 1 ip		18	
p13	401	bos	radi ulna	esquerda	3	sa	ff	1 ip		11	
p13	402	bos	radi ulna	esquerda	3	sa	ff			13	
p13	403	bos	radi ulna	esquerda	3	sa	ff	lc		13	
p13	404	bos	radi ulna	esquerda	3	sa	ff	cp		11	
p13	405	bos	radi ulna	esquerda	3	sa	ff			10	
p13	406	bos	radi ulna	esquerda	3	sa	ff	lc 1 ip		19	
p13	407	bos	radi ulna	esquerda	3	sa	ff			15	
p13	408	bos	radi ulna	esquerda	3	sa	ff			14	
p13	409	bos	radi ulna	esquerda	3	sa	ff	cp		16	
p13	410	bos	radi ulna	esquerda	3	sa	ff	1 ip		11	
p13	411	bos	radi ulna	esquerda	3	sa	ff	lc		13	
p13	412	bos	radi ulna	esquerda	3	sa	ff			13	
p13	413	bos	radi ulna	esquerda	3	sa	ff	1 ip		08	
p13	414	bos	radi ulna	esquerda	3	sa	ff	2 ip		13	
p13	415	bos	radi ulna	esquerda	3	sa	ff			10	
p13	416	bos	radi ulna	esquerda	3	sa	ff	lc		08	
p13	417	bos	radi ulna	esquerda	3	sa	ff	lc 1 ip		12	
p13	418	bos	radi ulna	esquerda	3	sa	ff	lc		15	
p13	419	bos	radi ulna	esquerda	3	sa	ff	1 ip cp		17	
p13	420	bos	radi ulna	esquerda	3	sa	ff			15	
p13	421	bos	radi ulna	esquerda	3	sa	ff	2 ip		13	
p13	422	bos	radi ulna	esquerda	3	sa	ff			12	
p13	423	bos	radi ulna	esquerda	3	sa	ff	lc 1 ip		10	

Anexo III

p13	424	bos	radi ulna	esquerra	3	sa	ff	cp		11	
p13	425	bos	radi ulna	esquerra	3	sa	ff	cp		12	
p13	426	bos	radi ulna	esquerra	3	sa	ff	1 ip		14	
p13	427	bos	radi ulna	esquerra	3	sa	ff			11	
p13	428	bos	radi ulna	esquerra	3	sa	ff	lc 1 ip		08	
p13	429	bos	radi ulna	esquerra	3	sa	ff	lc		10	
p13	430	bos	radi ulna	esquerra	3	sa	ff			12	más 183 astillas
p8	431	bos	femur	esquerra	2	nf	ff	8 ip 1 ep		71	5 ip cranial 3 ip caudal ep cranial
p8	432	bos	femur	esquerra	2	nf	ff	10 ip		67	5 ip cranial 5 ip caudal esquerda lateral
p8	433	bos	femur	esquerra	2 3	sa	ff	8 ip	3 of	84	5 ip caudal 2 ip lateral 1 ip medial
p8	434	bos	femur	esquerra	3	sa	ff	4 ip	2 of	96	
p8	435	bos	femur	esquerra	3	sa	ff	5 ip	4 of	62	
p8	436	bos	femur	esquerra	3	sa	ff	6 ip	3 tf	107	
p8	437	bos	femur	esquerra	3	sa	ff	5 ip 2 ep		70	
p8	438	bos	femur	esquerra	3	sa	ff	6 ip 2 ep	3 os 1 tf	98	
p8	439	bos	femur	esquerra	4	sa	ff	1 ip		48	
p8	440	bos	femur	esquerra	3	sa	ff	5 ip	2 os	71	
p8	441	bos	femur	esquerra	3	sa	ff	6 ip 1 ep	2 ls 1 om	83	
p8	442	bos	femur	esquerra	1	nf				73	cap del femur aïllat
p8	443	bos	femur	esquerra	1 2	sa	ff	1 ep 2 ip		88	trocanter aïllat
p8	444	bos	femur	esquerra	5	sa				138	epifisi distal aïllada
p8	445	bos	femur	esquerra	3	sa	ff	1 ip		50	
p8	446	bos	femur	esquerra	3	sa	ff	3 ip 1 ep		81	
p8	447	bos	femur	esquerra	3	sa	ff			35	
p8	448	bos	femur	esquerra	in	sa	in		1 of	49	
p8	449	bos	femur	esquerra	in	sa	in			30	fragment d'epifisi
p8	450	bos	femur	esquerra	3	sa	ff	1 ip		24	
p8	451	bos	femur	esquerra	3	sa	ff	2 ip		43	
p8	452	bos	femur	esquerra	3	sa	ff	2 ip	2 os	53	

Anexo III

p8	453	bos	femur	esquerra	3	sa	ff	1 ip		33	
p8	454	bos	femur	esquerra	3	sa	ff			35	esquerda longitudinal
p8	455	bos	femur	esquerra	3	sa	ff	1 ip		24	
p8	456	bos	femur	esquerra	in	sa	in			20	
p8	457	bos	femur	esquerra	in	sa	in			22	fragment medular
p8	458	bos	femur	esquerra	3	sa	ff			27	
p8	459	bos	femur	esquerra	3	sa	ff			26	
p8	460	bos	femur	esquerra	3	sa	ff	1 ip		20	
p8	461	bos	femur	esquerra	3	sa	in			19	
p8	462	bos	femur	esquerra	3	sa	ff	lc		19	
p8	463	bos	femur	esquerra	3	sa	ff	1 ip 1 ep		16	esquerda longitudinal
p8	464	bos	femur	esquerra	3	sa	in			13	
p8	465	bos	femur	esquerra	3	sa	ff			27	
p8	466	bos	femur	esquerra	in	sa	in			21	
p8	467	bos	femur	esquerra	3	sa	ff	1 ep		14	
p8	468	bos	femur	esquerra	3	sa	ff	lc		18	
p8	469	bos	femur	esquerra	3	sa	ff	lc		10	
p8	470	bos	femur	esquerra	3	sa	ff			21	
p8	471	bos	femur	esquerra	3	sa	ff	cp		21	
p8	472	bos	femur	esquerra	3	sa	ff			22	
p8	473	bos	femur	esquerra	3	sa	ff	1 ip		21	
p8	474	bos	femur	esquerra	3	sa	ff	lc		13	
p8	475	bos	femur	esquerra	3	sa	in			20	
p8	476	bos	femur	esquerra	3	sa	in	1 ip		17	
p8	477	bos	femur	esquerra	3	sa	ff			21	
p8	478	bos	femur	esquerra	3	sa	ff	2 ip		22	
p8	479	bos	femur	esquerra	3	sa	ff	1 ip		16	
p8	480	bos	femur	esquerra	in	sa	in			10	fragment medular
p8	481	bos	femur	esquerra	in	sa	in			14	fragment medular
p8	482	bos	femur	esquerra	in	sa	in			10	fragment medular
p8	483	bos	femur	esquerra	in	sa	in			13	fragment medular
p8	484	bos	femur	esquerra	in	sa	in			09	fragment medular
p8	485	bos	femur	esquerra	3	sa	ff	1 ip		09	
p8	486	bos	femur	esquerra	3	sa	ff			12	
p8	487	bos	femur	esquerra	3	sa	ff	1 ip 1 ep		11	
p8	488	bos	femur	esquerra	3	sa	ff	lc		10	
p8	489	bos	femur	esquerra	3	sa	ff	1 ip		13	
p8	490	bos	femur	esquerra	3	sa	ff			13	
p8	491	bos	femur	esquerra	3	sa	in			11	
p8	492	bos	femur	esquerra	3	sa	ff	lc		10	
p8	493	bos	femur	esquerra	3	sa	ff	1 ip		12	
p8	494	bos	femur	esquerra	3	sa	ff			12	
p8	495	bos	femur	esquerra	3	sa	ff	1 ip		10	

Anexo III

p8	496	bos	femur	esquerra	in	sa	in		11	
p8	497	bos	femur	esquerra	3	sa	ff		14	
p8	498	bos	femur	esquerra	3	sa	ff	lc	12	
p8	499	bos	femur	esquerra	3	sa	ff		17	
p8	500	bos	femur	esquerra	3	sa	ff	lc	13	
p8	501	bos	femur	esquerra	3	sa	ff	lc	08	más 19 astillas
p12	502	sus	tarsal cuboide	dret		sa			24	en connexió amb 508 i 509
p12	503	sus	astragal	dret		sa			51	astragal aïllat
p12	504	sus	calcany	dret		sa			86	calcany aïllat
p12	505	sus	tibia	dret	1	nf			41	fragment d'epifisi proximal aïllada
p12	506	sus	tibia	dret	1	nf			26	fragment d'epifisi proximal aïllada
p12	507	sus	tibia	dret	1	nf			38	fragment d'epifisi proximal aïllada
p12	508	sus	tarsal navicular	dret		sa			14	en connexió amb 502 i 509
p12	509	sus	tarsal cuneiforme	dret		sa			16	en connexió amb 502 i 508
p12	510	sus	fibula	dret	2 3	nf	ff	4 ip	80	2 ip cara lateral 2 ip medial
p12	511	sus	fibula	dret	3 4	nf	ff	2 ip	53	1 ip lateral 1 ip medial
p12	512	sus	tibia	dret	4 5	sa	ff	9 ip	48	2 ip cranial 1 ip medial 3 ip lateral 3 ip caudal
p12	513	sus	tibia	dret	2 3	sa	ff	3 ip	72	1 ip cranial 2 ip caudal
p12	514	sus	tibia	dret	2 3	sa	ff	3 ip	68	1 ip cranial 2 ip caudal
p12	515	sus	tibia	dret	2	sa	ff	1 ip	28	
p12	516	sus	tibia	dret	2 3	sa	ff	1 ip	39	
p12	517	sus	tibia	dret	3	sa	ff	2 ep 4 ip	41	
p12	518	sus	tibia	dret	3	sa	ff	1 ip	26	
p12	519	sus	tibia	dret	3	sa	ff	lc	18	
p12	520	sus	tibia	dret	3	sa	ff	1 ip	23	
p12	521	sus	tibia	dret	3	sa	ff	2 ip	23	
p12	522	sus	tibia	dret	3	sa	ff	lc	19	
p12	523	sus	tibia	dret	2 3	sa	ff	2 ip	27	
p12	524	sus	tibia	dret	3	sa	ff	lc 2 ip	22	
p12	525	sus	tibia	dret	3	sa	ff	2 ip	18	
p12	526	sus	tibia	dret	3	sa	ff	2 ip	23	
p12	527	sus	tibia	dret	in	sa	in		18	
p12	528	sus	tibia	dret	3	sa	ff	1 ip 2 ep	18	

Anexo III

p12	529	sus	tibia	dret	1	sa	ff		26	
p12	530	sus	tibia	dret	3	sa	ff	2 ip lc	20	
p12	531	sus	tibia	dret	in	sa	in		19	fragment d'epifisi
p12	532	sus	tibia	dret	in	sa	in		22	fragment d'epifisi
p12	533	sus	tibia	dret	in	sa	in		12	fragment d'epifisi
p12	534	sus	tibia	dret	3	sa	ff	1 ip	21	
p12	535	sus	tibia	dret	3	sa	ff	1 ip	12	
p12	536	sus	tibia	dret	3	sa	ff	cp	14	
p12	537	sus	tibia	dret	3	sa	ff	2 ep	13	
p12	538	sus	tibia	dret	3	sa	ff	lc	11	
p12	539	sus	tibia	dret	3	sa	ff	lc 1 ip	12	
p12	540	sus	tibia	dret	3	sa	ff	lc	14	
p12	541	sus	tibia	dret	3	sa	ff		07	